

(19) 日本国特許庁(JP)

(12) 公開特許公報(A)

(11) 特許出願公開番号

特開2015-144606

(P2015-144606A)

(43) 公開日 平成27年8月13日(2015.8.13)

(51) Int.Cl.	F 1	テーマコード (参考)
C 12 N 15/09 (2006.01)	C 12 N 15/00	A 2 G 04 5
C 12 Q 1/04 (2006.01)	C 12 N 15/00	F 4 B 02 4
C 12 Q 1/68 (2006.01)	C 12 Q 1/04	4 B 02 9
C 12 M 1/34 (2006.01)	C 12 Q 1/68	4 B 06 3
C 12 M 1/00 (2006.01)	C 12 M 1/34	Z

審査請求 有 請求項の数 25 O L (全 157 頁) 最終頁に続く

(21) 出願番号	特願2015-44674 (P2015-44674)	(71) 出願人	511118469 ベラサイト インコーポレイテッド アメリカ合衆国 カリフォルニア州 サウス サンフランシスコ ショアライン コート 7000 スイート 250
(22) 出願日	平成27年3月6日 (2015.3.6)	(74) 代理人	100102978 弁理士 清水 初志
(62) 分割の表示	特願2011-536339 (P2011-536339) の分割 原出願日 平成21年11月17日 (2009.11.17)	(74) 代理人	100102118 弁理士 春名 雅夫
(31) 優先権主張番号	61/199,585	(74) 代理人	100160923 弁理士 山口 裕幸
(32) 優先日	平成20年11月17日 (2008.11.17)	(74) 代理人	100119507 弁理士 刑部 俊
(33) 優先権主張国	米国 (US)	(74) 代理人	100142929 弁理士 井上 隆一
(31) 優先権主張番号	61/270,812		
(32) 優先日	平成21年7月13日 (2009.7.13)		
(33) 優先権主張国	米国 (US)		

最終頁に続く

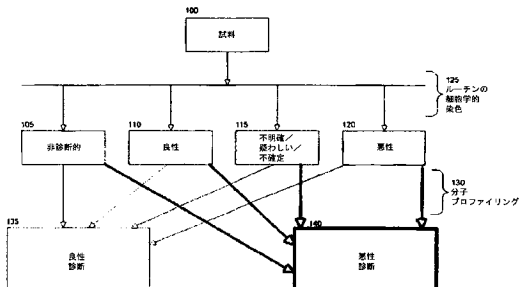
(54) 【発明の名称】疾患診断のための分子プロファイリングの方法および組成物

(57) 【要約】 (修正有)

【課題】早期かつ正確な診断を行える甲状腺癌を診断する方法の提供。

【解決手段】以下の工程を含む、甲状腺癌を診断する方法。
(a) 遺伝子発現産物を含む生物学的試料100を該対象から得る工程
(b) 生物学的試料100の、特定のリストから選択される遺伝子に対応する一つ又は複数の遺伝子発現産物について、発現レベルを測定する工程
(c) 遺伝子発現レベルを該生物学的試料における甲状腺癌の存在と相関させることにより、該生物学的試料を癌性として同定する工程。

【選択図】図18A



【特許請求の範囲】**【請求項 1】**

以下の工程を含む、対象における甲状腺癌を診断する方法：

(a) 遺伝子発現産物を含む生物学的試料を該対象から得る工程；

(b) 該生物学的試料の、図6から選択される遺伝子に対応する一つまたは複数の遺伝子発現産物について、発現レベルを測定する工程；および

(c) 遺伝子発現レベルを該生物学的試料における甲状腺癌の存在と相關させることにより、該生物学的試料を癌性として同定する工程。

【請求項 2】

前記生物学的試料が甲状腺細胞を含む、請求項1記載の方法。 10

【請求項 3】

前記生物学的試料が組織試料である、請求項1記載の方法。

【請求項 4】

前記試料が、針吸引、細針吸引、コア針生検、吸引生検、ラージコア (large core) 生検、切開生検、切除生検、パンチ生検、薄片生検、または皮膚生検により得られる、請求項1記載の方法。

【請求項 5】

前記遺伝子発現産物がRNAである、請求項1記載の方法。

【請求項 6】

前記遺伝子発現産物が、mRNA、rRNA、tRNA、またはmiRNAである、請求項5記載の方法。 20

【請求項 7】

RNA発現レベルが、マイクロアレイ、SAGE、プロッティング、RT-PCR、または定量的PCRにより測定される、請求項5記載の方法。

【請求項 8】

前記遺伝子発現産物がタンパク質である、請求項1記載の方法。

【請求項 9】

タンパク質遺伝子発現レベルが、ELISA、質量分析、プロッティング、プロテオミクス技術、または免疫組織化学的検査により測定される、請求項8記載の方法。

【請求項 10】

前記一つまたは複数の遺伝子発現産物の前記発現レベルを、対照試料における各遺伝子発現産物についての対照発現レベルと比較する工程であって、前記生物学的試料と該対照試料との間に遺伝子発現産物の遺伝子発現レベルの差が存在する場合、該生物学的試料が癌性として同定される工程

をさらに含む、請求項1記載の方法。 30

【請求項 11】

前記生物学的試料と前記対照試料との間のmRNAレベルの差が、訓練されたアルゴリズムを使用して比較される、請求項10記載の方法。

【請求項 12】

前記一つまたは複数の遺伝子発現産物が、表3、表4または表5から選択される遺伝子に 対応する、請求項1記載の方法。 40

【請求項 13】

前記一つまたは複数の遺伝子発現産物が、リスト1～31または表6のうちの一つまたは複数から選択される遺伝子に対応する、請求項1記載の方法。

【請求項 14】

前記遺伝子発現産物が、急性骨髓性白血病シグナル伝達経路、2型ソマトスタチン受容体シグナル伝達経路、cAMP媒介シグナル伝達経路、細胞周期およびDNA傷害チェックポイント (cell cycle and DNA damage checkpoint) シグナル伝達経路、Gタンパク質共役型受容体シグナル伝達経路、インテグリンシグナル伝達経路、黒色腫細胞シグナル伝達経路、リラキシンシグナル伝達経路、または甲状腺癌シグナル伝達経路由来である、請求項1記載の方法。 50

【請求項 15】

前記一つまたは複数の遺伝子発現産物が、接着経路、ECM経路、甲状腺癌経路、接着斑経路、アポトーシス経路、p53経路、密着結合経路、TGF 経路、ErbB経路、Wnt経路、癌概要経路（pathway in cancer overview）、細胞周期経路、VEGF経路、Jak/STAT経路、MAPK経路、PPAR経路、mTOR経路、または自己免疫性甲状腺経路由来である、請求項1記載の方法。

【請求項 16】

前記遺伝子発現産物が接着経路由来である、請求項15記載の方法。

【請求項 17】

少なくとも2つの遺伝子発現産物が測定され、かつ該遺伝子発現産物が少なくとも2つの異なる経路由来である、請求項15記載の方法。 10

【請求項 18】

少なくとも一つの遺伝子発現産物が接着経路由来であり、かつ少なくとも一つの遺伝子発現産物が接着斑経路由来である、請求項17記載の方法。

【請求項 19】

前記密着結合経路からの第二の遺伝子発現産物をさらに含む、請求項18記載の方法。

【請求項 20】

前記遺伝子発現産物が複数の経路にカテゴリー化される、請求項15記載の方法。

【請求項 21】

前記遺伝子発現産物が前記接着経路および前記接着斑経路にカテゴリー化される、請求項20記載の方法。 20

【請求項 22】

前記遺伝子発現産物が前記密着結合経路にもカテゴリー化される、請求項21記載の方法。
。

【請求項 23】

前記遺伝子発現産物が、細胞老化オントロジー群、細胞皮質オントロジー群、細胞周期オントロジー群、細胞死／アポトーシスオントロジー群、細胞分化オントロジー群、細胞分裂オントロジー群、細胞間結合オントロジー群、細胞遊走オントロジー群、細胞形態形成オントロジー群、細胞運動オントロジー群、細胞突起オントロジー群、細胞増殖オントロジー群、細胞認識オントロジー群、細胞体オントロジー群、細胞表面オントロジー群、細胞表面結合型受容体シグナル伝達オントロジー群、細胞接着オントロジー群、転写オントロジー群、免疫応答オントロジー群、血管形成オントロジー群、細胞膜オントロジー群、稀少膜成分オントロジー群、細胞頂端膜オントロジー群、細胞側底膜または細胞側膜オントロジー群、インテグリンオントロジー群、細胞表面オントロジー群、細胞外空間オントロジー群、細胞骨格オントロジー群、または炎症オントロジー群由来である、請求項1記載の方法。 30

【請求項 24】

図6にリスト化された一つまたは複数の遺伝子が、癌を示す代謝経路またはシグナル伝達経路のセットに対応する代表的な配列を含有している、請求項1記載の方法。

【請求項 25】

工程(d)の結果が、示唆された治療的介入を提供することをさらに含む、請求項1記載の方法。 40

【請求項 26】

発現分析の結果が、所定の診断が正確である90%を超える統計的信頼水準を提供する、請求項1記載の方法。

【請求項 27】

発現分析の結果が、所定の診断が正確である95%を超える統計的信頼水準を提供する、請求項1記載の方法。

【請求項 28】

予備的診断を得るため、工程(a)の後、前記生物学的試料の一部に対して細胞学的分 50

析を実施する工程

をさらに含む、請求項1記載の方法。

【請求項 29】

不確定試料および非診断的試料という予備的診断を有する試料が、工程(b)および(c)の方法によりさらに分析される、請求項28記載の方法。

【請求項 30】

図6から選択される遺伝子が、図2、図3、図4、または図5にリスト化された遺伝子からさらに選択される、請求項1記載の方法。

【請求項 31】

前記生物学的試料の遺伝子発現産物のうちの少なくとも2つの発現レベルを測定する工程

を含む、請求項1記載の方法。

【請求項 32】

前記生物学的試料の遺伝子発現産物のうちの少なくとも5つの発現レベルを測定する工程

を含む、請求項1記載の方法。

【請求項 33】

前記生物学的試料の遺伝子発現産物のうちの少なくとも10個の発現レベルを測定する工程

を含む、請求項1記載の方法。

【請求項 34】

遺伝子発現レベルの差が少なくとも10%である、請求項1記載の方法。

【請求項 35】

遺伝子発現レベルの差が少なくとも25%である、請求項1記載の方法。

【請求項 36】

遺伝子発現レベルの差が少なくとも50%である、請求項1記載の方法。

【請求項 37】

遺伝子発現レベルの差が少なくとも2倍である、請求項1記載の方法。

【請求項 38】

遺伝子発現レベルの差が少なくとも5倍である、請求項1記載の方法。

【請求項 39】

遺伝子発現レベルの差が少なくとも10倍である、請求項1記載の方法。

【請求項 40】

前記生物学的試料が、75%より高い精度で癌性として同定される、請求項1記載の方法

。

【請求項 41】

前記生物学的試料が、70%より高い感度で癌性として同定される、請求項1記載の方法

。

【請求項 42】

前記生物学的試料が、70%より高い特異度で癌性として同定される、請求項1記載の方法。

【請求項 43】

前記生物学的試料が、70%より高い感度および70%より高い特異度で癌性として同定される、請求項1記載の方法。

【請求項 44】

前記生物学的試料が、95%より高い陽性適中率で癌性として同定される、請求項1記載の方法。

【請求項 45】

前記生物学的試料が、95%より高い陰性適中率で癌性として同定される、請求項1記載の方法。

10

20

30

40

50

【請求項 4 6】

精度が、訓練されたアルゴリズムを使用して計算される、請求項40～45のいずれか一項記載の方法。

【請求項 4 7】

前記対照試料が、試験試料と同一の個体、該試験試料とは異なる個体、組織バンク、または細胞バンクから得られる、請求項1記載の方法。

【請求項 4 8】

前記対照試料の遺伝子発現産物の遺伝子レベルがデータベース由来である、請求項1記載の方法。

【請求項 4 9】

前記試料が術前検体である、請求項1記載の方法。

10

【請求項 5 0】

前記試料が術後検体である、請求項1記載の方法。

【請求項 5 1】

悪性甲状腺癌を良性甲状腺疾患と区別する、請求項1記載の方法。

【請求項 5 2】

前記生物学的試料において、濾胞性腺腫、濾胞癌、リンパ性甲状腺炎、濾胞型甲状腺乳頭癌 (follicular variant papillary thyroid carcinoma)、甲状腺乳頭癌、結節性過形成、甲状腺髓様癌、ハースル細胞癌、ハースル細胞腺腫、または甲状腺未分化癌を同定する、請求項1記載の方法。

20

【請求項 5 3】

前記生物学的試料において、転移性非甲状腺癌を同定する、請求項1記載の方法。

【請求項 5 4】

前記生物学的試料において、転移性副甲状腺癌、転移性黒色腫、転移性腎癌、転移性乳癌、または転移性B細胞リンパ腫を同定する、請求項1記載の方法。

【請求項 5 5】

同定された情報を有する結果のセットを伝達する工程
をさらに含む、請求項1記載の方法。

【請求項 5 6】

前記情報がインターネットを通して伝達される、請求項55記載の方法。

30

【請求項 5 7】

以下の工程を含む、癌を分類する方法：

- (a) 遺伝子発現産物を含む生物学的試料を得る工程；
- (b) 該生物学的試料の、図6から選択される遺伝子に対応する一つまたは複数の遺伝子発現産物について、発現レベルを測定する工程；
- (c) 該一つまたは複数の遺伝子発現産物の該発現レベルを、対照試料における各遺伝子発現産物についての対照発現レベルと比較する工程；および
- (d) 指定された信頼水準で、該生物学的試料と該対照試料との間に遺伝子発現レベルの差が存在する場合に、該生物学的試料を癌の亜型について陽性として同定する工程。

【請求項 5 8】

前記生物学的試料において、濾胞性腺腫、濾胞癌、リンパ性甲状腺炎、濾胞型甲状腺乳頭癌、甲状腺乳頭癌、結節性過形成、甲状腺髓様癌、ハースル細胞癌、ハースル細胞腺腫、または甲状腺未分化癌を同定する、請求項57記載の方法。

40

【請求項 5 9】

前記生物学的試料において、転移性非甲状腺癌を同定する、請求項57記載の方法。

【請求項 6 0】

前記生物学的試料において、転移性副甲状腺癌、転移性黒色腫、転移性腎癌、転移性乳癌、または転移性B細胞リンパ腫を同定する、請求項57記載の方法。

【請求項 6 1】

図6にリスト化された一つもしくは複数の遺伝子発現産物の一部に、またはそれらの相

50

補体に結合するプローブを含む、癌を診断するための組成物。

【請求項 6 2】

前記プローブが抗体である、請求項61記載の組成物。

【請求項 6 3】

前記プローブがオリゴヌクレオチドである、請求項61記載の組成物。

【請求項 6 4】

前記プローブが共有結合的に付着している、基板
をさらに含む、請求項61記載の組成物。

【請求項 6 5】

訓練されたアルゴリズムを使用した指定された信頼水準での癌の診断において使用する
のに適している、請求項64記載の組成物。 10

【請求項 6 6】

前記癌が甲状腺癌である、請求項65記載の組成物。

【請求項 6 7】

前記プローブが、表3、表4、または表5から選択される遺伝子に対応する一つまたは複
数の遺伝子発現産物に結合する、請求項61記載の組成物。

【請求項 6 8】

前記プローブが、リスト1～31または表6のうちの一つまたは複数から選択される遺伝子
に対応する一つまたは複数の遺伝子発現産物に結合する、請求項61記載の組成物。 20

【請求項 6 9】

前記プローブが、急性骨髓性白血病経路、2型ソマトスタチン受容体経路、cAMP媒介経
路、細胞周期およびDNA傷害チェックポイント経路、Gタンパク質共役型受容体経路、イン
テグリン経路、黒色腫細胞経路、リラキシン経路、または甲状腺癌シグナル伝達経路から
の遺伝子のうちの一つまたは複数の一部に結合する、請求項61記載の組成物。

【請求項 7 0】

前記プローブが、接着経路、ECM経路、甲状腺癌経路、接着斑経路、アポトーシス経路
、p53経路、密着結合経路、TGF 経路、ErbB経路、Wnt経路、癌概要経路、細胞周期経路
、VEGF経路、Jak/STAT経路、MAPK経路、PPAR経路、mTOR経路、または自己免疫性甲状腺
経路からの遺伝子のうちの一つまたは複数の一部に結合する、請求項61記載の組成物。 30

【請求項 7 1】

少なくとも2つの異なる経路からの遺伝子発現産物に結合する少なくとも2個のプローブ
が存在する、請求項61記載の組成物。

【請求項 7 2】

少なくとも遺伝子発現産物が接着経路由来であり、かつ少なくとも一つの遺伝子発現
産物が接着斑経路由来である、請求項71記載の組成物。

【請求項 7 3】

密着結合経路からの遺伝子発現産物をさらに含む、請求項72記載の組成物。

【請求項 7 4】

前記遺伝子発現産物が複数の経路にカテゴリー化される、請求項61記載の組成物。

【請求項 7 5】

前記遺伝子発現産物が接着経路および接着斑経路にカテゴリー化される、請求項74記載
の組成物。 40

【請求項 7 6】

前記遺伝子発現産物が密着結合経路にもカテゴリー化される、請求項75記載の組成物。

【請求項 7 7】

前記遺伝子発現産物が、細胞老化オントロジー群、細胞皮質オントロジー群、細胞周期
オントロジー群、細胞死／アポトーシスオントロジー群、細胞分化オントロジー群、細胞
分裂オントロジー群、細胞間結合オントロジー群、細胞遊走オントロジー群、細胞形態
形成オントロジー群、細胞運動オントロジー群、細胞突起オントロジー群、細胞増殖オント
ロジー群、細胞認識オントロジー群、細胞体オントロジー群、細胞表面オントロジー群、
50

細胞表面結合型受容体シグナル伝達オントロジー群、細胞接着オントロジー群、転写オントロジー群、免疫応答オントロジー群、血管形成オントロジー群、細胞膜オントロジー群、稀少膜成分オントロジー群、細胞頂端膜オントロジー群、細胞側底膜または細胞側膜オントロジー群、インテグリンオントロジー群、細胞表面オントロジー群、細胞外空間オントロジー群、細胞骨格オントロジー群、または炎症オントロジー群からの遺伝子のうちの一つまたは複数の一部を含む、請求項61記載の組成物。

【請求項 7 8】

以下の工程を含む、分子プロファイリングビジネスを実行する方法：

(a) 請求項1記載の遺伝子発現産物のレベルを測定することにより、癌の診断またはモニタリングのサービスを提供する工程；または

(b) 一つまたは複数の請求項1記載の遺伝子発現産物の量を測定するために、請求項61記載の組成物を使用する工程；

(c) (a) または (b) の得られたデータに基づき、診断、予後、および必要とされる治療に関して助言する工程；および

(d) (a)、(b)、または(c) のサービスを、医師、病院、および診療所に、協同的にまたは独立して販売する工程。

【発明の詳細な説明】

【技術分野】

【0 0 0 1】

相互参照

本願は、2008年11月17日出願の「Methods and Compositions of Molecular Profiling for Diagnosis of Cancer」という名称の米国仮出願第61/199,585号、および2009年7月13日出願の「Methods and Compositions of Molecular Profiling for Diagnosis of Cancer」という名称の米国仮出願第61/270,812号の恩典を主張し、これらは、いずれも、参照によりその全体が本明細書に組み入れられる。

【背景技術】

【0 0 0 2】

発明の背景

癌は、米国における死因の第2位であり、世界中の主要な死因のうちの一つである。現在、ほぼ2500万人が癌を有して生存しており、毎年1100万の新たな症例が診断されている。さらに、一般集団は高齢化を続けているため、癌はますます大きな問題になると考えられる。World Health Organizationは、2020年までに、世界的な癌の率が50%増加すると考えられると見積もっている。

【0 0 0 3】

癌の処置の成功は、早期かつ正確な診断により始まる。現在の診断法には、生検により採取された組織試料の細胞学的調査、または異常な細胞増殖の証拠のための組織および器官の画像化を含む。これらの技術は、有用であり、かつ低コストであることが判明しているが、多数の欠点を有する。第一に、癌診断のための細胞学的分析および画像化技術は、しばしば、悪性の可能性を判断するために主観的な査定を必要とする。第二に、これらの技術の使用が増加したため、確定診断をなすことができない不確定結果の数が急増した。第三に、これらのルーチンの診断法は、正確な診断の確率を求めるための精密な方法を欠く。第四に、これらの技術は、極めて初期の段階では悪性増殖を検出することができない。第五に、これらの技術は、異常な細胞増殖の基礎に関する情報を提供しない。

【0 0 0 4】

より新しい世代の癌処置の多くは、大いに低下した副作用を示すが、ある種の代謝経路またはシグナル伝達経路を特異的に標的としており、その経路に頼っている癌に対してしか有効でない。さらに、処置のコストが、個体、保険提供者、または政府実体にとってひどく高い場合がある。このコストは、初期段階で、癌および癌が頼っている経路を正確に診断する、改善された方法により、少なくとも部分的に差し引かれる可能性がある。これらの改善された方法は、不必要的治療的介入を防止するためにも、処置を指図するために

10

20

30

40

50

も、有用であると考えられる。

【0005】

甲状腺癌の場合、米国において、悪性と推測されるために実施される毎年およそ130,000件の甲状腺除去手術のうち、約54,000件のみが必要である。従って、年間およそ76,000件の不必要的手術が実施されている。さらに、失われた甲状腺機能を補充するために生涯にわたり薬物治療が必要となるため、処置コストおよび合併症が引き続き存在する。従って、癌診断の現在の方法を改善する、改善された試験モダリティおよび商慣習が必要とされている。

【0006】

甲状腺は、ホルモンを作成する少なくとも二種類の細胞を有する。濾胞細胞は、心拍数、体温、およびエネルギーレベルに影響を与える甲状腺ホルモンを作成する。C細胞は、血中カルシウムレベルの制御を補助するホルモン、カルシトニンを作成する。甲状腺における異常増殖は、良性または悪性のいずれかであり得る結節の形成をもたらし得る。甲状腺癌には、甲状腺の少なくとも四種類の異なる悪性腫瘍：乳頭癌、濾胞癌、髄様癌、および未分化癌が含まれる。

10

【発明の概要】

【0007】

本発明は、(a) 対象からの核酸試料を準備する工程；(b) 表2にリスト化された遺伝子または転写物からなる群より選択される、一つもしくは複数の遺伝子、遺伝子産物、もしくは転写物、またはそれらの相補体の量を検出する工程；および(c) 工程(b)の結果に基づき、対象が悪性または良性の甲状腺状態を有するか否かまたは有する可能性が高いか否かを判定する工程を含む、対象における甲状腺疾患を診断する方法を含む。

20

【0008】

本発明は、表にリスト化された多型からなる群より選択される一つまたは複数の多型に特異的に結合する一つまたは複数の結合剤を含む組成物も含む。

【0009】

参照による組み入れ

本明細書中に言及された全ての刊行物および特許出願が、あたかも個々の刊行物または特許出願が、各々、具体的にかつ個々に、参照により組み入れられると示されたかのごとく、参照により本明細書に組み入れられる。

30

【0010】

本発明の新規の特色は、添付の特許請求の範囲に詳細に示される。本発明の特色および利点のより良好な理解は、本発明の原理を用いる例示的な態様を示す以下の詳細な説明、および以下のような添付の図面を参照することにより得られると考えられる。

【図面の簡単な説明】

【0011】

【図1-1】悪性試料と良性試料と正常試料との間で有意に差次的に発現されるかまたは選択的スプライシングを受ける遺伝子を同定するため、Affymetrix Human Exon 10STアレイを使用して遺伝子発現分析について調査された75個の甲状腺試料をリスト化する表である。各試料の名称および病理学的分類がリスト化される。

40

【図1-2】図1-1の続きを示す図である。

【図1-3】図1-2の続きを示す図である。

【図2-1】遺伝子レベルで差次的に発現される遺伝子の上位100個をリスト化する表である。データは、良性甲状腺試料と悪性甲状腺試料と正常甲状腺試料とが遺伝子レベルで比較されたデータセットに由来する。マーカーは、偽検出率(false discover rate)(FDR)についてのBenjaminiおよびHochbergの補正後、統計的有意性に基づき選択された。正の数は発現の上方制御を意味し、負の数は下方制御を意味する。

【図2-2】図2-1の続きを示す図である。

【図2-3】図2-2の続きを示す図である。

【図2-4】図2-3の続きを示す図である。

50

【図3-1】選択的スプライシングを受ける遺伝子の上位100個をリスト化する表である。データは、良性甲状腺試料と悪性甲状腺試料と正常甲状腺試料とが遺伝子レベルで比較されたデータセットに由来する。マーカーは、偽検出率(FDR)についてのBenjaminiおよびHochbergの補正後、統計的有意性に基づき選択された。

【図3-2】図3-1の続きを示す図である。

【図3-3】図3-2の続きを示す図である。

【図3-4】図3-3の続きを示す図である。

【図4-1】プローブセットレベルで差次的に発現される遺伝子の上位100個をリスト化する表である。データは、プローブセッタデータセットに由来する。正の数は発現の上方制御を意味し、負の数は下方制御を意味する。

【図4-2】図4-1の続きを示す図である。

【図4-3】図4-2の続きを示す図である。

【図4-4】図4-3の続きを示す図である。

【図5-1】遺伝子レベル分析により判定された有意な診断マーカーの上位100個をリスト化する表である。このリスト中のマーカーは、差次的な遺伝子発現および選択的エキソンススプライシングの両方を示す。正の数は上方制御を意味し、負の数は下方制御を意味する。この表は、悪性群と良性群との比較、良性群と正常群との比較、および悪性群と正常群との比較を可能にする、所定のマーカーについて計算された3セットの変化倍率をリスト化する。

【図5-2】図5-1の続きを示す図である。

【図5-3】図5-2の続きを示す図である。

【図5-4】図5-3の続きを示す図である。

【図6-1】遺伝子発現レベルおよび/または選択的エキソンススプライシングの分子プロファイリングにより、甲状腺癌診断に寄与するとして同定された遺伝子をリスト化する表である。良性試料、悪性試料、および正常試料が遺伝子レベルで分析されたデータセットから同定されたマーカーは、データソース列においてBMNと呼ばれ；同様に、良性試料および悪性試料が遺伝子レベルで分析されたデータセットから同定されたマーカーは、データソース列においてBMと呼ばれる。同様に、良性試料および悪性試料が分析されたデータセットからプローブセットレベルで同定されたマーカーは、データソース列においてプローブセットと呼ばれる。

【図6-2】図6-1の続きを示す図である。

【図6-3】図6-2の続きを示す図である。

【図6-4】図6-3の続きを示す図である。

【図6-5】図6-4の続きを示す図である。

【図6-6】図6-5の続きを示す図である。

【図6-7】図6-6の続きを示す図である。

【図6-8】図6-7の続きを示す図である。

【図6-9】図6-8の続きを示す図である。

【図6-10】図6-9の続きを示す図である。

【図6-11】図6-10の続きを示す図である。

【図6-12】図6-11の続きを示す図である。

【図6-13】図6-12の続きを示す図である。

【図6-14】図6-13の続きを示す図である。

【図6-15】図6-14の続きを示す図である。

【図6-16】図6-15の続きを示す図である。

【図6-17】図6-16の続きを示す図である。

【図6-18】図6-17の続きを示す図である。

【図6-19】図6-18の続きを示す図である。

【図6-20】図6-19の続きを示す図である。

【図6-21】図6-20の続きを示す図である。

10

20

30

40

50

- 【図6-22】図6-21の続きを示す図である。
【図6-23】図6-22の続きを示す図である。
【図6-24】図6-23の続きを示す図である。
【図6-25】図6-24の続きを示す図である。
【図6-26】図6-25の続きを示す図である。
【図6-27】図6-26の続きを示す図である。
【図6-28】図6-27の続きを示す図である。
【図6-29】図6-28の続きを示す図である。
【図6-30】図6-29の続きを示す図である。
【図6-31】図6-30の続きを示す図である。
【図6-32】図6-31の続きを示す図である。
【図6-33】図6-32の続きを示す図である。
【図6-34】図6-33の続きを示す図である。
【図6-35】図6-34の続きを示す図である。
【図6-36】図6-35の続きを示す図である。
【図6-37】図6-36の続きを示す図である。
【図6-38】図6-37の続きを示す図である。
【図6-39】図6-38の続きを示す図である。
【図6-40】図6-39の続きを示す図である。
【図6-41】図6-40の続きを示す図である。
【図6-42】図6-41の続きを示す図である。
【図6-43】図6-42の続きを示す図である。
【図6-44】図6-43の続きを示す図である。
【図6-45】図6-44の続きを示す図である。

10

20

30

【図7-1】遺伝子発現分析について調査された組織試料をリスト化する表である。試料は病理学的分析により良性(B)または悪性(M)として分類された。良性試料は、さらに、濾胞性腺腫(FA)、リンパ性甲状腺炎(LCT)、または結節性過形成(NHP)として分類された。悪性試料は、さらに、ハースル細胞癌(HC)、濾胞癌(FC)、濾胞型甲状腺乳頭癌(follicular variant papillary thyroid carcinoma)(FVPTC)、甲状腺乳頭癌(PTC)、甲状腺髓様癌(MTC)、または未分化癌(ATC)として分類された。

- 【図7-2】図7-1の続きを示す図である。
【図7-3】図7-2の続きを示す図である。
【図7-4】図7-3の続きを示す図である。
【図7-5】図7-4の続きを示す図である。
【図7-6】図7-5の続きを示す図である。
【図7-7】図7-6の続きを示す図である。

40

【図8-1】遺伝子発現分析について調査された細針吸引液試料をリスト化する表である。試料は、病理学的分析により良性(B)または悪性(M)として分類された。良性試料は、さらに、濾胞性腺腫(FA)、リンパ性甲状腺炎(LCT)、ハースル細胞腺腫(HA)または結節性過形成(NHP)として分類された。悪性試料は、さらに、ハースル細胞癌(HC)、濾胞癌(FC)、濾胞型甲状腺乳頭癌(FVPTC)、甲状腺乳頭癌(PTC)、甲状腺髓様癌(MTC)、または未分化癌(ATC)として分類された。

- 【図8-2】図8-1の続きを示す図である。
【図8-3】図8-2の続きを示す図である。

50

【図9-1】悪性試料と良性試料との分類のため、LIMMA(マイクロアレイデータのための線形モデル(linear models for micro array data))およびSVM(サポートベクターマシン(support vector machine))を使用したフィーチャー選択により判定された、悪性試料と良性試料との間で発現の有意な差を示す、図7にリスト化された組織試料の発現分析から同定された遺伝子をリスト化する表である。ランクは、偽検出率(FDR)についてのBenjaminiおよびHochbergの補正後のマーカーの有意性を意味する(ランクが低いほど)

ど、有意性が高い）。遺伝子記号は、遺伝子の名称を意味する。TCIDは、Affymetrix Human Exon 10STアレイにおいて使用された遺伝子の転写物クラスタIDを意味する。Ref Seqは、その遺伝子に対応する参照配列の名称を意味する。「新たに発見されたマーカー」と表示された列は、悪性甲状腺組織と良性甲状腺組織とで差次的に発現されることが以前に記載されていない遺伝子発現マーカーを意味する。

【図9-2】図9-1の続きを示す図である。

【図9-3】図9-2の続きを示す図である。

【図10-1】MTC試料とその他の試料との分類のため、LIMMA（マイクロアレイデータのための線形モデル）およびSVM（サポートベクターマシン）を使用したフィーチャー選択により判定された、甲状腺腫瘍癌（MTC）とその他の病態との間で発現の有意な差を示す、図8にリスト化された組織試料の発現分析から同定された遺伝子をリスト化する表である。ランクは、偽検出率（FDR）についてのBenjaminiおよびHochbergの補正後のマーカーの有意性を意味する（ランクが低いほど、有意性が高い）。遺伝子記号は、遺伝子の名称を意味する。TCIDは、Affymetrix Human Exon 10STアレイにおいて使用された遺伝子の転写物クラスタIDを意味する。P値は、MTC試料と非MTC試料との間の差次的な発現の統計的有意性を示す。変化倍率は、MTC試料と非MTC試料との間の差次的な発現の程度を示す。「新たに発見されたマーカー」と表示された列は、悪性甲状腺組織と良性甲状腺組織とで差次的に発現されることが以前に記載されていない遺伝子発現マーカーを意味する。

【図10-2】図10-1の続きを示す図である。

【図10-3】図10-2の続きを示す図である。

【図11-1】再現性に基づくメタ分析分類アルゴリズムにより判定された、良性試料と悪性試料との間で発現の有意な差を示す、図7および8にリスト化された試料の発現分析から同定された遺伝子をリスト化する表である。

【図11-2】図11-1の続きを示す図である。

【図11-3】図11-2の続きを示す図である。

【図11-4】図11-3の続きを示す図である。

【図12-1】差次的に発現される遺伝子のベイズランク付け（Bayesian ranking）により判定される、良性試料と悪性試料との間で発現の有意な差（事後確率 $> .9$ ）を示す、図7および8にリスト化された試料の発現分析から同定された遺伝子をリスト化する表である。事前確率を求めるため、以前に発表された研究から第一種および第二種の過誤の率を導出し、差次的な遺伝子発現の事後確率を推定するため、これらの事前確率を、図10にリスト化された試料の発現分析から導出されたデータセットの出力と組み合わせ、次いで、差次的な遺伝子発現の最終事後確率を計算するため、図11にリスト化された試料の発現分析の結果を、推定された事後確率と組み合わせる。次いで、これらの事後確率を、差次的に発現される遺伝子をランク付けるために使用した。

【図12-2】図12-1の続きを示す図である。

【図12-3】図12-2の続きを示す図である。

【図13-1】分類のためLIMMA（マイクロアレイデータのための線形モデル）およびSVM（サポートベクターマシン）を使用したフィーチャー選択により判定された、FA、LCT、NHP、HC、FC、FVPTC、PTC、MTC、またはATCとしてカテゴリー化された試料の間で差次的な発現を示す、図7にリスト化された試料の発現分析から同定された遺伝子をリスト化する表である。

【図13-2】図13-1の続きを示す図である。

【図13-3】図13-2の続きを示す図である。

【図13-4】図13-3の続きを示す図である。

【図13-5】図13-4の続きを示す図である。

【図13-6】図13-5の続きを示す図である。

【図13-7】図13-6の続きを示す図である。

【図13-8】図13-7の続きを示す図である。

【図14-1】Agilent Human v2 miRNAマイクロアレイチップを使用してマイクロRNA（m

10

20

30

40

50

iRNA) 発現分析について調査された細針吸引液試料をリスト化する表である。試料は病理学的分析により良性(B)または悪性(M)として分類された。良性試料は、さらに、濾胞性腺腫(FA)または結節性過形成(NHP)として分類された。悪性試料は、さらに、濾胞癌(FC)、濾胞型甲状腺乳頭癌(FVPTC)、甲状腺乳頭癌(PTC)、または甲状腺髓様癌(MTC)として分類された。

【図14-2】図14-1の続きを示す図である。

【図14-3】図14-2の続きを示す図である。

【図15】Illumina Human v2 miRNAアレイを使用してマイクロRNA(miRNA)発現分析について調査された細針吸引液試料をリスト化する表である。試料は、病理学的分析により良性(B)、非診断的、または悪性(M)として分類された。良性試料は、さらに、良性結節(BN)、濾胞性新生物(FN)、(LCT)、または(NHP)として分類された。悪性試料は、さらに、(FVPTC)または(PTC)として分類された。

【図16】良性または悪性としてカテゴリー化された試料の間で差次的な発現を示す、図14にリスト化された試料の分析から同定されたマイクロRNA(miRNA)をリスト化する表である。miRNA列は、miRNAの名称を意味する。CHR列は、miRNAが位置する染色体を意味する。P列は、分析により提供された統計的信頼またはp値を意味する。DE列は、リスト化されたmiRNAが、悪性試料において上方制御されているか(1)、それとも悪性試料において下方制御されているか(-1)を示す。特許列は、これらのmiRNAを記載している特許または出願を意味する。

【図17-1】良性または悪性としてカテゴリー化された試料の間で差次的な発現を示す、図15にリスト化された試料の分析から同定されたマイクロRNA(miRNA)をリスト化する表である。miRNA列は、miRNAの名称を意味する。プローブID列は、illuminaアレイにおける対応するプローブIDを意味する。CHR列は、miRNAが位置する染色体を意味する。P列は、分析により提供される統計的信頼またはp値を意味する。DE列は、リスト化されたmiRNAが、悪性試料において上方制御されているか(記号なし)、それとも悪性試料において下方制御されているか(マイナス記号)を示す。Rep列は、ハイブリダイゼーションデータの「ホットプローブ」型分析により提供された再現性スコアを意味する。特許列は、これらのmiRNAを記載している特許または出願を意味する。

【図17-2】図17-1の続きを示す図である。

【図17-3】図17-2の続きを示す図である。

【図17-4】図17-3の続きを示す図である。

【図17-5】図17-4の続きを示す図である。

【図18A】分子プロファイリングが、ルーチンの細胞学的調査の精度を改善するために、どのように使用され得るかを記載するフローチャートである。分子プロファイリングビジネスの別の態様を記載する。

【図18B】分子プロファイリングが、ルーチンの細胞学的調査の精度を改善するために、どのように使用され得るかを記載するフローチャートである。分子プロファイリングビジネスの別の態様を記載する。

【図19】分子プロファイリングビジネスにより提供されるキットの例示である。

【図20】分子プロファイリング結果レポートの例示である。

【図21】本発明の方法において有用な、分子プロファイリングからの診断結果の表示、保存、検索、もしくは計算；ゲノムもしくは核酸の発現分析からの生データの表示、保存、検索、もしくは計算；または試料情報もしくはカスタマー情報の表示、保存、検索、もしくは計算のために有用なコンピュータを示す。

【図22】SVMに基づく分類アルゴリズムを使用した遺伝子数に対する過誤率の滴定曲線を示す。滴定曲線は、分類アルゴリズムが200～250個の遺伝子を調査する時にプラトーに達する。これらのデータは、本アルゴリズムの全体過誤率が4% (5/138) であったことを示す。

【発明を実施するための形態】

【0012】

10

20

30

40

50

発明の詳細な説明

I. 序論

本開示は、生物学的試験試料から異常な細胞増殖を診断するための新規の方法、ならびに関連するキットおよび組成物を提供する。本発明は、濾胞癌(FC)、濾胞型甲状腺乳頭癌(FVPTC)、ハースル細胞癌(HC)、ハースル細胞腺腫(HA)；甲状腺乳頭癌(PTC)、甲状腺髓様癌(MTC)、および未分化癌(ATC)を含む癌；濾胞性腺腫(FA)を含む腺腫；結節性過形成(NHP)；コロイド結節(CN)；良性結節(BN)；濾胞性新生物(FN)；リンパ性自己免疫性甲状腺炎を含むリンパ性甲状腺炎(LCT)；副甲状腺組織；腎癌の甲状腺への転移；黒色腫の甲状腺への転移；B細胞リンパ腫の甲状腺への転移；乳癌の甲状腺への転移；良性(B)腫瘍、悪性(M)腫瘍、および正常(N)組織のような、異常な細胞増殖の型の鑑別診断のための方法および組成物も提供する。本発明は、細胞増殖の診断、特徴決定、および処置のために有用な、マイクロRNA(miRNA)および遺伝子発現産物マーカーを含む新規のマーカー、ならびに遺伝子およびマーカーの新規の群をさらに提供する。さらに、本発明は、細胞増殖の増強された診断、鑑別診断、モニタリング、および処置を提供するビジネス方法を提供する。

10

【0013】

癌は、米国における主要な死因である。この疾患の効果的な管理のためには、癌の早期かつ正確な診断が重大である。従って、より正確かつより早期の癌診断を可能にするための試験モダリティおよび商慣習を開発することは、重要である。分子プロファイリングとも呼ばれる発現産物プロファイリングは、生物学的試料からの、腫瘍またはその他の型の癌の早期かつ正確な診断のための強力な方法を提供する。

20

【0014】

典型的には、腫瘍またはその他の型の癌の存在についてのスクリーニングは、例えば、生検のような様々な方法により採取された生物学的試料を分析することを含む。次いで、生物学的試料は、当業者により調製され調査される。調製の方法には、様々な細胞学的染色および免疫組織化学的方法が含まれ得るが、これらに限定されない。残念ながら、癌診断の伝統的な方法は、多数の欠陥を有する。これらの欠陥には、以下のことが含まれる：(1) 診断は、主観的な査定を必要とし、従って、不正確さおよび再現性欠如の傾向を有することがあること、(2) 方法は、結果として生じた病理発生の基礎をなす遺伝学的経路、代謝経路、またはシグナル伝達経路を確定し得ないことがあること、(3) 方法は、試験結果の定量的な査定を提供しないことがあること、かつ(4) 方法は、ある種の試料について明確な診断を提供し得ないことがあること。

30

【0015】

癌の1つの顕著な特徴は、遺伝子またはmiRNAのような他のRNA転写物の異常な発現をもたらす、正常な転写制御の調節不全である。異常に発現される転写物としては、細胞形質転換に関する遺伝子、例えば、腫瘍抑制因子および癌遺伝子がある。腫瘍抑制遺伝子および癌遺伝子は、正常組織と比較して、腫瘍において上方制御または下方制御される場合がある。公知の腫瘍抑制因子および癌遺伝子には、brca1、brca2、bcr-abl、bcl-2、HER2、N-myc、C-myc、BRAF、RET、Ras、KIT、Jun、Fos、およびp53が含まれるが、これらに限定されない。この異常発現は、多様な異なる機序を通して起こり得る。異常発現の機序、または発癌が起こる機序を理解することは、本発明において必要ではない。にも関わらず、試料において、正常試料と比較して、発現が上方制御されているかまたは下方制御されているマーカーまたはマーカーのセットを見出すことは、癌を示すことができる。さらに、特定の異常に発現されるマーカーまたはマーカーのセットは、癌の特定の型を示すことができ、または推奨される処置プロトコルすら示すことができる。さらに、本発明の方法は、正統的に定義された腫瘍抑制因子または癌遺伝子にのみ限定されるものではない。むしろ、発現レベルまたは選択的遺伝子スプライシングに関して、良性診断、悪性診断、または正常診断と統計的に有意な相関を有することが判定された任意のマーカー、遺伝子、または遺伝子もしくはマーカーのセットが、本発明に包含されることが理解される。

40

【0016】

50

一つの態様において、本発明の方法は、癌診断の現在の方法の精度を改善するためのものである。改善された精度は、複数の遺伝子および／もしくは発現マーカーの測定、高い診断力もしくは統計的有意性でのmiRNA、rRNA、tRNA、およびmRNA遺伝子発現産物のような遺伝子発現産物の同定、または高い診断力もしくは統計的有意性での遺伝子および／もしくは発現産物の群の同定、またはそれらの任意の組み合わせに起因し得る。

【0017】

例えば、多数の受容体チロシンキナーゼの発現の増加が、発癌に関連付けられている。癌細胞において差次的に発現されることが公知の特定の受容体チロシンキナーゼの遺伝子発現産物レベルの測定は、低い正確度をもたらす不正確な診断結果を提供することができる。複数の受容体チロシンキナーゼの測定は、代替的な発現された遺伝子の組み合わせが起こることを必要とすることにより、正確度を増加させることができる。従って、いくつかの場合において、複数の遺伝子の測定は、試料がランダムな確率で異常な遺伝子発現プロファイルを示す可能性を低下させることにより、診断の精度を増加させることができる。

10

【0018】

同様に、受容体チロシンキナーゼのような群の中のいくつかの遺伝子発現産物は、発現レベルが正常より高いかまたは低い場合、疾患または状態を示すことができる。その同一群の中の他の遺伝子産物の発現レベルの測定は、診断的な利用可能性を提供する場合がある。従って、一つの態様において、本発明は、ある群の中の2つまたはそれ以上の遺伝子発現産物を測定する。例えば、いくつかの態様において、1個、2個、3個、4個、5個、6個、7個、8個、9個、10個、15個、20個、25個、30個、35個、40個、45個、または50個の遺伝子発現産物が、ある群から測定される。甲状腺癌の亜型の診断のために有用な群、または特定のオントロジー群に属する遺伝子発現産物の群のような、様々な群が、本明細書において定義される。別の態様において、複数の群からの、癌の存在または欠如を正確に示す遺伝子のセットの発現レベルを測定することが、有利であると考えられる。例えば、本発明は、1個、2個、3個、4個、5個、6個、7個、8個、9個、10個、15個、20個、25個、30個、35個、40個、45個、または50個の遺伝子発現群を使用し、各々、1個、2個、3個、4個、5個、6個、7個、8個、9個、10個、15個、20個、25個、30個、35個、40個、45個、または50個の遺伝子発現産物を測定することを企図する。

20

【0019】

さらに、生物学的試料における、例えば、Rasのようなその他の癌遺伝子の発現の増加も、癌性細胞の存在を示すことができる。いくつかの場合において、例えば、受容体チロシンキナーゼ、細胞質チロシンキナーゼ、GTPase、セリン／トレオニンキナーゼ、脂質キナーゼ、マイトジエン、増殖因子、および転写因子のような、癌遺伝子のいくつかの異なるクラスの発現レベルを測定することが有利であり得る。癌進行に関与している遺伝子の異なるクラスまたは群の発現レベルおよび／もしくはエキソン使用の決定は、いくつかの場合において、本発明の診断力を増加させる。

30

【0020】

発現マーカーの群には、代謝経路内もしくはシグナル伝達経路内のマーカー、または遺伝学的にもしくは機能的に相同なマーカーが含まれ得る。例えば、一つのマーカー群には、上皮増殖因子シグナル伝達経路に関与する遺伝子が含まれ得る。別のマーカー群には、マイトジエン活性化プロテインキナーゼが含まれ得る。本発明は、複数のかつ／または独立した代謝経路またはシグナル伝達経路からの遺伝子発現マーカーを検出（即ち、測定）、測定するための方法および組成物も提供する。

40

【0021】

一つの態様において、本発明の発現産物マーカーは、複数の発現産物マーカーおよび統計分析の使用を通して、癌診断の精度を増加させ得る。特に、本発明は、甲状腺癌に関連したRNA発現プロファイルを提供するが、これに限定されない。本発明は、甲状腺組織試料を特徴決定する方法、ならびに該方法の適用のために有用なキットおよび組成物も提供する。開示は、分子プロファイリングビジネスを実行する方法をさらに含む。

【0022】

50

本開示は、癌を診断するための現在の最先端技術を改善するための方法および組成物を提供する。

【0023】

いくつかの態様において、本発明は、以下の工程を含む、癌を診断する方法を提供する：遺伝子発現産物を含む生物学的試料を得る工程；該生物学的試料の一つまたは複数の遺伝子発現産物について発現レベルを測定する工程；および、該遺伝子発現レベルが、該生物学的試料における甲状腺癌の存在を示す場合、該生物学的試料を癌性として同定する工程。これは、遺伝子発現レベルを、生物学的試料における甲状腺癌の存在と相關させることにより、なされ得る。一つの態様において、遺伝子発現産物は図6から選択される。いくつかの態様において、該方法は、一つまたは複数の遺伝子発現産物の発現レベルを、対照試料における各遺伝子発現産物についての対照発現レベルと比較する工程であって、該生物学的試料における該遺伝子発現産物と該対照試料における遺伝子発現産物との間に、遺伝子発現レベルの差が存在する場合、該生物学的試料が癌性として同定される工程をさらに含む。

10

【0024】

いくつかの態様において、本発明は、以下の工程を含む、癌を診断する方法を提供する：選択的スプライシングを受ける遺伝子発現産物を含む生物学的試料を得る工程；該生物学的試料の一つまたは複数の遺伝子発現産物について発現レベルを測定する工程；および、該遺伝子発現レベルが、生物学的試料における甲状腺癌の存在を示す場合、該生物学的試料を癌性として同定する工程。これは、遺伝子発現レベルを生物学的試料における甲状腺癌の存在と相關させることによりなされ得る。一つの態様において、選択的スプライシングを受ける遺伝子発現産物は図6から選択され、差次的な遺伝子発現産物選択的エキソン使用が、生物学的試料と対照試料との間で比較され；指定された信頼水準で、生物学的試料と対照試料との間に遺伝子発現産物選択的エキソン使用の差が存在する場合、生物学的試料は癌性として同定される。いくつかの態様において、図6から選択される遺伝子は、図2、図3、図4、または図5にリスト化された遺伝子からさらに選択される。

20

【0025】

いくつかの態様において、本発明は、遺伝子発現産物レベルが、生物学的試料と対照試料との間で比較され；指定された信頼水準で、生物学的試料と対照試料との間に遺伝子発現レベルの差が存在する場合、生物学的試料が癌性として同定される、本明細書に記載された本発明の方法を使用して、70%より高い特異度または感度を与える、癌を診断する方法を提供する。いくつかの態様において、本方法の特異度および／または感度は、少なくとも70%、75%、80%、85%、86%、87%、88%、89%、90%、91%、92%、93%、94%、95%、96%、97%、98%、99%、またはそれ以上である。

30

【0026】

いくつかの態様において、名目上の特異度は70%以上である。名目上の陰性適中率(NPV)は95%以上である。いくつかの態様において、NPVは、少なくとも95%、95.5%、96%、96.5%、97%、97.5%、98%、98.5%、99%、99.5%、またはそれ以上である。

【0027】

感度とは、典型的には、式中、TPが真陽性であり、FNが偽陰性である、 $TP/(TP+FN)$ をさす。継続不確定(Continued Indeterminate)結果の数は、判定された組織病理学診断に基づく悪性結果の総数により割られる。特異度とは、典型的には、式中、TNが真陰性であり、FPが偽陽性である、 $TN/(TN+FP)$ をさす。良性結果の数は、判定された組織病理学診断に基づく良性結果の総数により割られる。陽性適中率(PPV)： $TP/(TP+FP)$ ；陰性適中率(NPV)： $TN/(TN+FN)$ 。

40

【0028】

マーカーパネルは、良性発現プロファイルの非良性発現プロファイルからの妥当な分離に適応するよう選ばれる。この多次元分類器(即ち、アルゴリズム)の訓練は、>300個の甲状腺FNAを含む、500個を超える甲状腺試料に対して実施された。多くの訓練／試験セットが、予備アルゴリズムを開発するために使用された。例示的なデータセットは図22に

50

示される。まず、全体アルゴリズム過誤率が、良性試料対非良性試料について、遺伝子数の関数として示される。全ての結果が、クロスバリデートされたモード（30倍）で試料に対して訓練かつ試験されるサポートベクターマシンモデルを使用して得られる。

【0029】

いくつかの態様において、遺伝子発現レベルの差は、少なくとも10%、15%、20%、25%、30%、35%、40%、45%、または50%、またはそれ以上である。いくつかの態様において、遺伝子発現レベルの差は、少なくとも2倍、3倍、4倍、5倍、6倍、7倍、8倍、9倍、10倍、またはそれ以上である。いくつかの態様において、生物学的試料は、75%、80%、85%、90%、95%、99%、またはそれ以上より高い精度で、癌性として同定される。いくつかの態様において、生物学的試料は、95%より高い感度で癌性として同定される。いくつかの態様において、生物学的試料は、95%より高い特異度で癌性として同定される。いくつかの態様において、生物学的試料は、95%より高い感度および95%より高い特異度で癌性として同定される。いくつかの態様において、精度は訓練されたアルゴリズムを使用して計算される。

10

【0030】

いくつかの態様において、本発明は、表3、表4、および／または表5から選択される遺伝子に対応する遺伝子発現産物を提供する。

【0031】

いくつかの態様において、本発明は、以下のシグナル伝達経路のうちの一つまたは複数からの遺伝子発現産物を使用することを含む、癌を診断する方法を提供する。遺伝子が選択され得るシグナル伝達経路には、急性骨髄白血病シグナル伝達、2型ソマトスタチン受容体シグナル伝達、cAMP媒介シグナル伝達、細胞周期およびDNA傷害チェックポイントシグナル伝達、Gタンパク質共役型受容体シグナル伝達、インテグリンシグナル伝達、黒色腫細胞シグナル伝達、リラキシンシグナル伝達、および甲状腺癌シグナル伝達が含まれるが、これらに限定されない。いくつかの態様において、生物学的試料と対照試料との間の差次的な遺伝子発現産物レベルを測定し比較するため、複数の遺伝子が、単一のシグナル伝達経路から選択される。その他のシグナル伝達経路には、接着経路、ECM経路、甲状腺癌経路、接着斑経路、アポトーシス経路、p53経路、密着結合経路、TGF β 経路、ErBB経路、Wnt経路、癌概要経路（pathway in cancer overview）、細胞周期経路、VEGF経路、Jak/STAT経路、MAPK経路、PPAR経路、mTOR経路、または自己免疫性甲状腺経路が含まれるが、これらに限定されない。他の態様において、生物学的試料と対照試料との間の差次的な遺伝子発現産物レベルを測定し比較するため、少なくとも2つの遺伝子が、少なくとも2つの異なるシグナル伝達経路から選択される。本発明の方法および組成物は、1個、2個、3個、4個、5個、6個、7個、8個、9個、10個、15個、20個、25個、30個、35個、40個、45個、50個、またはそれ以上のシグナル伝達経路から選択される遺伝子を有することができ、各シグナル伝達経路からの1個、2個、3個、4個、5個、6個、7個、8個、9個、10個、15個、20個、25個、30個、35個、40個、45個、50個、またはそれ以上の遺伝子発現産物を任意の組み合わせで有することができる。いくつかの態様において、組み合わせられた遺伝子のセットは、70%、75%、80%、85%、86%、87%、88%、89%、90%、91%、92%、93%、94%、95%、96%、97%、98%、99%、もしくは99.5%より高い特異度もしくは感度、または少なくとも95%、95.5%、96%、96.5%、97%、97.5%、98%、98.5%、99%、99.5%、もしくはそれ以上の陽性適中率もしくは陰性適中率を与える。

20

【0032】

いくつかの態様において、本発明は、少なくとも2つの異なるオントロジー群から選択される遺伝子を含む、癌を診断する方法を提供する。いくつかの態様において、遺伝子が選択され得るオントロジー群には、細胞老化、細胞皮質、細胞周期、細胞死／アポトーシス、細胞分化、細胞分裂、細胞間結合、細胞遊走、細胞形態形成、細胞運動、細胞突起、細胞増殖、細胞認識、細胞体、細胞表面、細胞表面結合型受容体シグナル伝達、細胞接着、転写、免疫応答、または炎症が含まれるが、これらに限定されない。いくつかの態様において、生物学的試料と対照試料との間の差次的な遺伝子発現産物レベルを測定し比較す

30

40

50

るため、複数の遺伝子が、単一のオントロジー群から選択される。他の態様において、生物学的試料と対照試料との間の差次的な遺伝子発現産物レベルを測定し比較するため、少なくとも2つの遺伝子が、少なくとも2つの異なるオントロジー群から選択される。本発明の方法および組成物は、1個、2個、3個、4個、5個、6個、7個、8個、9個、10個、15個、20個、25個、30個、35個、40個、45個、50個、またはそれ以上の遺伝子オントロジー群から選択される遺伝子を有することができ、各遺伝子オントロジー群からの1個、2個、3個、4個、5個、6個、7個、8個、9個、10個、15個、20個、25個、30個、35個、40個、45個、50個、またはそれ以上の遺伝子発現産物を任意の組み合わせで有することができる。いくつかの態様において、組み合わせられた遺伝子のセットは、70%、75%、80%、85%、86%、87%、88%、89%、90%、91%、92%、93%、94%、95%、96%、97%、98%、99%、もしくは99.5%の特異度もしくは感度、または少なくとも95%、95.5%、96%、96.5%、97%、97.5%、98%、98.5%、99%、99.5%、もしくはそれ以上の陽性適中率もしくは陰性適中率を与える。

10

【0033】

いくつかの態様において、本発明は、以下の工程を含む、癌を分類する方法を提供する：遺伝子発現産物を含む生物学的試料を得る工程；癌の異なる亜型において差次的に発現される、該生物学的試料の一つまたは複数の遺伝子発現産物について、発現レベルを測定する工程；および、該遺伝子発現レベルが癌の亜型を示す場合、該生物学的試料を癌性として同定する工程。いくつかの態様において、該方法は、該一つまたは複数の遺伝子発現産物の該発現レベルを、対照試料における各遺伝子発現産物についての対照発現レベルと比較する工程であって、該生物学的試料における遺伝子発現産物と該対照試料における遺伝子発現産物との間に遺伝子発現レベルの差が存在する場合、該生物学的試料が癌性として同定される工程をさらに含む。いくつかの態様において、本発明の方法は、髄様癌から濾胞癌を区別する。いくつかの態様において、本発明の方法は、悪性甲状腺腫瘍／癌から良性甲状腺疾患を区別する。

20

【0034】

いくつかの態様において、本発明の方法の遺伝子発現産物はタンパク質であり、タンパク質の量が比較される。タンパク質の量は、以下のうちの一つまたは複数によって測定され得る：ELISA、質量分析、プロッティング、または免疫組織化学的検査。RNAは、以下のうちの一つまたは複数によって測定され得る：マイクロアレイ、SAGE、プロッティング、RT-PCR、または定量的PCR。

30

【0035】

いくつかの態様において、癌を診断するために使用され得る、生物学的試料と対照試料との間の遺伝子発現レベル、例えば、mRNA、タンパク質、または選択的スプライシングを受ける遺伝子産物の差は、少なくとも1.5倍、2倍、2.5倍、3倍、3.5倍、4倍、4.5倍、5倍、5.5倍、6倍、6.5倍、7倍、7.5倍、8倍、8.5倍、9倍、9.5倍、10倍、またはそれ以上である。

【0036】

いくつかの態様において、生物学的試料は、75%、80%、85%、86%、87%、88%、89%、90%、91%、92%、93%、94%、95%、96%、97%、98%、99%、または99.5%より高い精度で、癌性として分類されるか、または癌の亜型について陽性として分類される。本明細書において使用されるような診断精度には、特異度、感度、陽性適中率、陰性適中率、および／または偽検出率が含まれる。

40

【0037】

癌の診断のために生物学的試料を分類する場合、典型的には、バイナリーの分類器からの四つの可能性のある結果が存在する。予測からの結果がpであり、実際の値もpである場合には、それは真陽性(TP)と呼ばれる。しかしながら、実際の値がnである場合には、それは偽陽性(FP)であると言われる。反対に、予測結果および実際の値の両方がnである場合には、真陰性が起こっており、偽陰性とは、予測結果はnであるが、実際の値がpである場合である。一つの態様において、ある者がある種の疾患を有するか否かを判定する

50

ための診断試験を検討する。この場合の偽陽性は、その者の試験結果が陽性であるが、実際には疾患を有していない場合に起こる。他方、実際には疾患を有しているにも関わらず、その者の試験結果が陰性であって、健康であることが示唆される場合に、偽陰性が起こる。いくつかの態様において、亜型の現実の有病率を仮定するROC曲線が、関連する割合で入手可能な試料において達成された過誤を再抽出することによって生成され得る。

【0038】

疾患の陽性適中率(PPV)、または正確度、または検査後確率は、正確に診断される陽性試験結果を有する患者の割合である。それは、陽性試験が、試験されている基礎をなす状態を反映している確率を反映するため、診断法の最も重要な測定値である。しかしながら、その値は、変動し得る疾患の有病率に依る。一例において、FP(偽陽性)；TN(真陰性)；TP(真陽性)；FN(偽陰性)。

10

【0039】

偽陽性率() = $FP/(FP+TN)$ - 特異度

【0040】

偽陰性率() = $FN/(TP+FN)$ - 感度

【0041】

力 = 感度 = $1 - \beta$

【0042】

陽性尤度比 = 感度 / (1 - 特異度)

20

【0043】

陰性尤度比 = $(1 - \text{感度}) / \text{特異度}$

【0044】

陰性適中率は、正確に診断される陰性試験結果を有する患者の割合である。PPVおよびNPVの測定値は、適切な疾患亜型有病率推定値を使用して導出され得る。プールされた悪性疾患有病率の推定値は、手術によってBかMかに大まかに分類される不確定のプールから計算され得る。亜型特異的な推定値について、いくつかの態様において、入手可能な試料がないために、疾患有病率が計算不能である場合がある。これらの場合には、プールされた疾患有病率推定値を亜型疾患有病率の代わりに用いることができる。

【0045】

いくつかの態様において、発現産物のレベルまたは選択的エキソン使用は、以下のうちの一つを示す：濾胞細胞癌、未分化癌、髓様癌、または肉腫。いくつかの態様において、癌を診断するための本発明の方法を使用して選択された一つまたは複数の遺伝子は、癌を示す代謝経路またはシグナル伝達経路のセットに対応する代表的な配列を含有している。

30

【0046】

いくつかの態様において、本発明の方法の発現分析の結果は、所定の診断が正確である統計的信頼水準を提供する。いくつかの態様において、そのような統計的信頼水準は、85%、90%、91%、92%、93%、94%、95%、96%、97%、98%、99%、または99.5%を超えていている。

【0047】

別の局面において、本発明は、図6にリスト化された遺伝子のうちの一つもしくは複数の一部を含むオリゴヌクレオチド、またはそれらの相補体と、オリゴヌクレオチドが共有結合的に付着している基板とを含む、癌を診断するための組成物を提供する。本発明の組成物は、訓練されたアルゴリズムを使用した、指定された信頼水準での癌の診断において使用するのに適している。一例において、本発明の組成物は、甲状腺癌を診断するために使用される。

40

【0048】

本開示の一つの局面において、細胞学関連企業により加工され、ルーチンの方法および染色に供され、診断され、カテゴリー化された試料は、次いで、二次診断スクリーニングとしての分子プロファイリングに供される。この二次診断スクリーニングは、(1)偽陽性および偽陰性の有意な低下、(2)結果として生じる病態の基礎をなす遺伝学的経路、

50

代謝経路、またはシグナル伝達経路の確定、(3)診断の精度に統計的確率を割り当てる能力、(4)不明確な結果を分解する能力、および(5)癌の亜型を区別する能力を可能にする。

【0049】

例えば、甲状腺癌の特定の場合において、本発明の分子プロファイリングは、さらに、特定の型の甲状腺癌（例えば、乳頭癌、濾胞癌、髓様癌、または未分化癌）の診断を提供することができる。分子プロファイリングの結果は、さらに、科学者または医療従事者のような当業者が、特定の治療的介入を提案するかまたは処方することを可能にし得る。生物学的試料の分子プロファイリングは、初期診断後に特定の処置の効力をモニタリングするためにも使用され得る。いくつかの場合において、分子プロファイリングは、確立されている癌診断法に加えて、ではなく、確立されている癌診断法の代わりに使用され得ることがさらに理解される。10

【0050】

一つの局面において、本発明は、遺伝性障害の診断およびモニタリングのために使用され得るアルゴリズムおよび方法を提供する。遺伝性障害は、遺伝子または染色体の異常により引き起こされる疾病である。癌のようないくつかの疾患は、一部、遺伝性障害によるが、環境因子によっても引き起こされ得る。いくつかの態様において、本明細書に開示されたアルゴリズムおよび方法は、甲状腺癌のような癌の診断およびモニタリングのために使用される。20

【0051】

遺伝性障害は、典型的には、単一遺伝子障害および多因子性多遺伝子性（複合）障害という2つのカテゴリーへ類別され得る。単一遺伝子障害は、単一の変異型遺伝子の結果である。単一遺伝子の欠陥により引き起こされるヒト疾患は、4000種を超えると推定されている。単一遺伝子障害は、いくつかの方式で、後の世代に引き継がれ得る。常染色体優性遺伝、常染色体劣性遺伝、X連鎖優性遺伝、X連鎖劣性遺伝、Y連鎖遺伝、およびミトコンドリア遺伝を含むが、これらに限定されない、いくつかの型の単一遺伝子障害の遺伝が存在する。ある者が常染色体優性障害により影響を受けるためには、遺伝子の一つの変異型コピーのみが必要であると考えられる。常染色体優性型の障害の例には、ハンチントン病、神経纖維腫症1型、マルファン症候群、遺伝性非ポリポーラス結腸直腸癌、および遺伝性多発性外骨腫が含まれるが、これらに限定されない。常染色体劣性障害においては、ある者が常染色体劣性障害により影響を受けるためには、遺伝子の2つのコピーが変異型でなければならない。この型の障害の例には、囊胞性纖維症、鎌型赤血球症（部分鎌型赤血球症も）、ティ・サックス病、ニーマン・ピック病、脊髄筋萎縮症、および乾性耳垢が含まれるが、これらに限定されない。X連鎖優性障害は、X染色体上の遺伝子の変異により引き起こされる。ほんの少数の障害が、この遺伝パターンを有し、主要な例は、X連鎖低リノン血症性くる病である。男女共にこれらの障害において影響を受けるが、典型的には男性の方が女性より重度に影響を受ける。レット症候群、色素失調症2型、およびアイカルディ症候群のようないくつかのX連鎖優性状態は、通常、子宮内または出生直後の男性において致命的であり、従って、主として女性に見られる。X連鎖劣性障害も、X染色体上の遺伝子の変異により引き起こされる。この型の障害の例には、血友病A、デュシェンヌ型筋ジストロフィー、赤緑色盲、筋ジストロフィー、および男性型脱毛症が含まれるが、これらに限定されない。Y連鎖障害は、Y染色体上の変異により引き起こされる。例には、男性不妊および耳介多毛症（hypertrichosis pinnae）が含まれるが、これらに限定されない。母性遺伝としても公知のミトコンドリア遺伝は、ミトコンドリアDNA内の遺伝子に当てはまる。この型の障害の一例は、レーバー遺伝性視神経萎縮症である。30

【0052】

遺伝性障害は、複合型、多因子性、または多遺伝子性でもあり得る。これは、それらが、生活様式および環境因子と組み合わせられた複数の遺伝子の効果に関連している可能性が高いことを意味する。複合型障害は、しばしば家族内に多発するが、明確な遺伝パターンを有していない。そのため、ある者が、これらの障害を遺伝するかまたは伝達するリス40

クを確定することは困難である。これらの障害の大部分を引き起こす特定の因子がまだ同定されていないため、複合型障害は、研究し処置するのも困難である。本発明のアルゴリズムおよび方法を使用して診断され、特徴決定され、かつ／またはモニタリングされ得る多因子性または多遺伝子性の障害には、心疾患、糖尿病、喘息、自閉症、多発性硬化症のような自己免疫疾患、癌、纖毛関連疾患、口蓋裂、高血圧、炎症性腸疾患、精神遅滞、および肥満が含まれるが、これらに限定されない。

【0053】

本発明のアルゴリズムおよび方法を使用して診断され、特徴決定され、かつ／またはモニタリングされ得るその他の遺伝性障害には、1p36欠失症候群、21水酸化酵素欠損症、22q11.2欠失症候群、47,XYY症候群、48,XXXX、49,XXXXX、無セルロプラスミン血症、軟骨無発生症II型、軟骨無形成症、急性間欠性ポルフィリン症、アデニロコハク酸リアーゼ欠損症、副腎白質ジストロフィー、ALA欠損性ポルフィリン症、ALAデヒドラターゼ欠損症、アレキサンダー病、アルカプトン尿症、-1アンチトリプシン欠損症、アルストレーム症候群、アルツハイマー病（1型、2型、3型、および4型）、エナメル質形成不全、筋萎縮性側索硬化症、筋萎縮性側索硬化症2型、筋萎縮性側索硬化症4型、筋萎縮性側索硬化症4型、アンドロゲン不応症、貧血、アンジェルマン症候群、アペール症候群、毛細血管拡張性運動失調、ベアレ・スティーブンソン脳回状頭皮（Beare-Stevenson cutis gyrata）症候群、ベンジャミン症候群、サラセミア、ビオチニダーゼ欠損症、パート・ホッグ・デューベ症候群、膀胱癌、ブルーム症候群、骨疾患、乳癌、CADASIL、彎曲肢異形成症、カナバン病、癌、セリアック病、CGD慢性肉芽腫性障害、シャルコー・マリー・トゥース病、シャルコー・マリー・トゥース病1型、シャルコー・マリー・トゥース病4型、シャルコー・マリー・トゥース病2型、シャルコー・マリー・トゥース病4型、コケーン症候群、コフイン・ローリー症候群、コラゲノパシー（collagenopathy）II型およびXI型、結腸直腸癌、先天性精管欠損症、先天性両側精管欠損症、先天性糖尿病、先天性赤血球生成性ポルフィリン症、先天性心疾患、先天性甲状腺機能低下症、結合組織病、カウデン症候群、猫泣き、クローン病、線維性狭窄（fibrostenosing）、クルーゾン症候群、クルーゾン皮膚骨格（Crouzonodermoskeletal）症候群、囊胞性纖維症、ド・グルーシー（De Grouchy）症候群、神経変性疾患、デント病、発達障害、ディジョージ症候群、遠位型脊髄性筋萎縮症V型、ダウン症候群、低身長症、エーラース・ダンロス症候群、エーラース・ダンロス症候群関節弛緩型、エーラース・ダンロス症候群古典型、エーラース・ダンロス症候群皮膚緩型、エーラース・ダンロス症候群後側彎型、血管型、骨髄性プロトポルフィリン症、ファブリー病、顔面損傷および顔面障害、第V因子ライデン栓友病、家族性大腸ポリポーシス、家族性自律神経異常症、ファンコニー貧血、FG症候群、脆弱X症候群、フリードライヒ運動失調症（Friedreich ataxia）、フリードライヒ運動失調症（Friedreich's ataxia）、G6PD欠損症、ガラクトース血症、ゴーシェ病（1型、2型、および3型）、遺伝性脳障害、グリシン脳症、ヘモクロマトーシス2型、ヘモクロマトーシス4型、道化師様魚鱗癬、頭部および脳の奇形、聴覚障害および聴覚消失、小児聴覚障害、ヘモクロマトーシス（新生児、2型、および3型）、血友病、骨髄肝性ポルフィリン症、遺伝性コプロポルフィリン症、遺伝性多発性外骨腫症、遺伝性圧脆弱性ニューロパシー、遺伝性非ポリポーシス結腸直腸癌、ホモシスチン尿症、ハンチントン病、ハッチンソン・ギルフォード・プロジェクトニア症候群、原発性高シュウ酸尿症、高フェニルアラニン血症、軟骨低発生症、軟骨低形成症、idic15、色素失調症、乳児ゴーシェ病、乳児発症上行性遺伝性痙攣性麻痺、不妊症、ジャクソン・ワイス症候群、ジュベル症候群、若年型原発性側索硬化症、ケネディ病、クラインフェルター症候群、クニースト骨異形成症、クラッベ病、学習障害、レッシュ・ナイハン症候群、白質ジストロフィー、リー・フラウメニ症候群、家族性リポタンパク質リバーゼ欠損症、男性生殖器障害、マルファン症候群、マクキューン・オールブライト症候群、マクロード症候群、家族性地中海熱、MEDNIK、メンケス病、メンケス症候群、代謝障害、グロビン型メトヘモグロビン血症、先天性メトヘモグロビン血症、メチルマロン酸血症、ミクロ（Micro）症候群、小頭症、運動障害、モワット・ウィルソン症候群、ムコ多糖症（MPS I）、ムンケ（Muenke）症候群、筋ジストロフィー、デュシェンヌ型筋ジス

10

20

30

40

50

トロフィーおよびベッカー型筋ジストロフィー、デュシェンヌ型筋ジストロフィーおよびベッカー型筋ジストロフィー、筋緊張性ジストロフィー、筋緊張性ジストロフィー1型および2型、新生児ヘモクロマトーシス、神経線維腫症、神経線維腫症1型、神経線維腫症2型、神経線維腫症I型、神経線維腫症II型、神経疾患、神経筋障害、ニーマン・ピック病、非ケトーシス型高グリシン血症、非症候性難聴、常染色体劣性非症候性難聴、ヌーナン症候群、骨形成不全症（I型およびIII型）、耳脊椎巨大骨端異形成症、パントテン酸キナーゼ関連神経変性症、パトー症候群（13番染色体トリソミー）、ペンドレッド症候群、ポイツ・ジェガース症候群、ブファイファー症候群、フェニルケトン尿症、ポルフィリン症、晚発性皮膚ポルフィリン症、プラダー・ウィリ症候群、原発性肺高血圧症、ブリオン病、早老症、プロピオン酸血症、プロテインC欠損症、プロテインS欠損症、偽性ゴーシエ（pseudo-Gaucher）病、弾力線維性仮性黄色腫、網膜障害、網膜芽細胞腫、網膜芽腫、FA-フリートライヒ運動失調症、レット症候群、ルビンシュタイン・ティビ症候群、SADDAN、サンドホフ病、感覚性自律神経性ニューロパチーIII型、鎌状赤血球貧血、骨格筋再生、皮膚色素異常症、スミス・レムリ・オピツ症候群、発話障害およびコミュニケーション障害、脊髄性筋萎縮症、球脊髄性筋萎縮症、脊髄小脳変性症、ストラドヴィック型脊椎骨端骨幹端異形成、先天性脊椎骨端骨幹端異形成、ステイックラー症候群、ステイックラー症候群COL2A1、ティ・サックス病、テトラヒドロビオブテリン欠損症、致死性骨異形成、糖尿病および感音難聴を伴うチアミン反応性巨赤芽球性貧血、甲状腺疾患、トウレット症候群、トリーチャー・コリンズ症候群、トリプルX症候群、結節性硬化症、ターナー症候群、アッシャー症候群、異型ポルフィリン症、フォンヒッペル・リンダウ病、ワールデンブルグ症候群、ワイセンバッハ・ツウェイミュラー（Weissenbacher-Zweymuller）症候群、ウイルソン病、ウォルフ・ヒルシュホーン症候群、色素性乾皮症、X連鎖重症複合免疫不全、X連鎖鉄芽球性貧血、ならびにX連鎖球脊髄性筋萎縮症が含まれるが、これらに限定されない。
10

【0054】

一つの態様において、本発明の方法およびアルゴリズムは、甲状腺癌を診断し、特徴決定し、かつモニタリングするために使用される。本発明のアルゴリズムおよび方法を使用して診断され、特徴決定され、かつ／またはモニタリングされ得るその他の型の癌には、副腎皮質癌、肛門癌、再生不良性貧血、胆管癌、膀胱癌、骨癌、骨転移、中枢神経系（CNS）癌、末梢神経系（PNS）癌、乳癌、キャッスルマン病、子宮頸癌、小児非ホジキンリンパ腫、結腸直腸癌、子宮内膜癌、食道癌、ユーイング肉腫ファミリー腫瘍（Ewing's family of tumors）（例えば、ユーイング肉腫）、眼癌、胆嚢癌、胃腸カルチノイド腫瘍、胃腸間質腫瘍、妊娠性トロホblast疾患、ヘアリーセル白血病、ホジキン病、カポジ肉腫、腎臓癌、喉頭および下咽頭癌、急性リンパ性白血病、急性骨髓性白血病、小児白血病、慢性リンパ性白血病、慢性骨髓性白血病、肝臓癌、肺癌、肺カルチノイド腫瘍、非ホジキンリンパ腫、男性乳癌、悪性中皮腫、多発性骨髓腫、骨髓異形成症候群、骨髓増殖性疾患、鼻腔および副鼻腔癌、鼻咽腔癌、神経芽腫、口腔および中咽頭癌、骨肉腫、卵巣癌、膀胱癌、陰茎癌、下垂体腫瘍、前立腺癌、網膜芽細胞腫、横紋筋肉腫、唾液腺癌、肉腫（成人軟部組織癌）、黒色腫皮膚癌、非黒色腫皮膚癌、胃癌、精巣癌、胸腺癌、子宮癌（例えば、子宮肉腫）、腫瘍、外陰癌、およびワルデンシュトレームマクログロブリン血症が含まれるが、これらに限定されない。
20

【0055】

いくつかの態様において、本発明の遺伝子発現産物マーカーは、低い量および品質の複数の遺伝子発現産物マーカーの使用、ならびに本発明のアルゴリズムを使用した統計分析を通して、遺伝性障害または癌の診断の精度を増加させ得る。特に、本発明は、甲状腺癌に関連した遺伝子発現プロファイルを診断し、特徴決定し、かつ分類する方法を提供するが、これに限定されない。本発明は、甲状腺組織試料を特徴決定し分類するためのアルゴリズム、ならびに該方法の適用のために有用なキットおよび組成物も提供する。本開示は、分子プロファイリングビジネスを実行する方法をさらに含む。
30

【0056】

50

20

30

40

50

本発明の一つの態様において、マーカーおよび遺伝子は、甲状腺良性試料と比較して、甲状腺癌試料において差次的な発現を有すると同定され得る。良性病態を有する例示的な例には、濾胞性腺腫、ハースル細胞腺腫、リンパ性甲状腺炎、および結節性過形成が含まれる。悪性病態を有する例示的な例には、濾胞癌、濾胞型甲状腺乳頭癌、髓様癌、および甲状腺乳頭癌が含まれる。

【0057】

生物学的試料を、DNAまたはRNAのような核酸を抽出するために処理することができる。核酸を、ハイブリダイゼーションを可能にする条件の下で、本発明のプローブのアレイと接触させることができる。ハイブリダイゼーションの程度は、当技術分野において公知の多数の方法を使用して、定量的にアッセイされ得る。いくつかの場合において、あるプローブ位置におけるハイブリダイゼーションの程度は、アッセイ法により提供されるシグナルの強度に関連し、従って、試料中に存在する相補的な核酸配列の量と関連している可能性がある。発現された遺伝子、エキソン、イントロン、およびmiRNAを含むヒトゲノムまたはトランスクリプトームの全体で、プローブからのアレイ強度データを抽出し、ノーマライズし、サマライズし、分析するためには、ソフトウェアを使用することができる。いくつかの態様において、差次的な発現が試料中で起こっているか否かを判定するため、良性または悪性いずれかの試料における所定のプローブの強度を、参照セットと比較してもよい。発現された配列に対応するアレイ上のマーカー位置における相対強度の増加または減少は、対応する発現された配列の発現の増加または減少をそれぞれ示す。あるいは、相対強度の減少は、発現された配列の変異を示す場合がある。

10

20

30

40

50

【0058】

各試料についてもたらされた強度値は、データの固有の特性を見ることによりフィーチャーの関連を査定するフィルター技術、フィーチャーサブセット検索にモデル仮説を埋め込むラッパー（wrapper）法、および最適のフィーチャーセットについての検索が分類アルゴリズムへと組み立てられる組み込み（embedded）技術を含む、フィーチャー選択技術を使用して分析され得る。

【0059】

本発明の方法において有用なフィルター技術には、(1)二標本t検定、ANOVA分析、ペイズフレームワーク、および分布モデルの使用のようなパラメトリック法、(2)ウィスコクスンの順位和検定、級間・級内平方和検定(between-within class sum of squares tests)、順位積(rank products)法、ランダム順列(random permutation)法、または2つのデータセット間の発現の変化倍率について閾値を設計し、次いで、誤分類の数を最小化する各遺伝子における閾値を検出することを含むTNoMの使用のようなモデルフリーの方法、ならびに(3)二変量法、相関に基づくフィーチャー選択(correlation based feature selection)法(CFS)、最小重複性最大関連性(minimum redundancy maximum relevance)法(MRMR)、マルコフブランケット(Markov blanket)フィルター法、および非相関収縮重心(uncorrelated shrunken centroid)法のような多変量法が含まれる。本発明の方法において有用なラッパー法には、逐次検索(sequential search)法、遺伝的アルゴリズム、および分布推定(estimate of distribution)アルゴリズムが含まれる。本発明の方法において有用な組み込み法には、ランダムフォレスト(random forest)アルゴリズム、サポートベクターマシン重みベクター(weight vector of support vector machine)アルゴリズム、およびロジスティック回帰重み(weights of logistic regression)アルゴリズムが含まれる。Bioinformatics. 2007 Oct 1; 23(19):2507-17は、強度データの分析のための前掲のフィルター技術の相対的な長所の概要を提供している。

【0060】

次いで、選択されたフィーチャーは、分類アルゴリズムを使用して分類され得る。例示的なアルゴリズムには、主成分分析アルゴリズム、部分最小二乗法、および独立成分分析アルゴリズムのような変数の数を低下させる方法が含まれるが、これらに限定されない。例示的なアルゴリズムには、統計的方法および機械学習技術に基づく方法のような多数の変数を直接扱う方法が含まれるが、これらに限定されない。統計的方法には、罰則付き(

penalized) ロジスティック回帰、マイクロアレイ予測分析 (prediction analysis of microarrays) (PAM)、収縮重心に基づく方法、サポートベクターマシン分析、および正則化線形判別分析 (regularized linear discriminant analysis) が含まれる。機械学習技術には、バギング (bagging) 法、ブースティング (boosting) 法、ランダムフォレストアルゴリズム、およびそれらの組み合わせが含まれる。Cancer Inform. 2008; 6: 77-97は、マイクロアレイ強度データの分析のための前掲の分類技術の概要を提供している。

【0061】

本発明のマーカーおよび遺伝子は、細胞または組織の癌性状態または非癌性状態を特徴決定するために使用され得る。本発明は、対象の甲状腺試料における、図2~6、9~13、16、または17にリスト化されたマーカーまたは遺伝子の差次的な発現を測定する工程を含む、悪性の組織または細胞から良性の組織または細胞を診断する方法を含む。本発明は、対象の甲状腺試料における、図10にリスト化されたマーカーまたは遺伝子の差次的な発現を測定することを含む、甲状腺臓様癌を診断する方法も含む。本発明は、対象の甲状腺試料における、図13にリスト化されたマーカーまたは遺伝子の差次的な発現を測定する工程を含む、甲状腺病態の亜型を診断する方法も含む。本発明は、対象の甲状腺試料における、図16または17にリスト化されたmiRNAであるmiRNAの差次的な発現を測定する工程を含む、悪性の組織または細胞から良性の組織または細胞を診断する方法も含む。

【0062】

上記に従い、本明細書に開示されるような遺伝子、マーカー、miRNA、またはそれらの組み合わせの差次的な発現は、この目的のためのプローブを開発するため、ノーザンプロットティングを使用し、本明細書において同定されるような配列を用いて、測定され得る。そのようなプローブは、DNAまたはRNAまたは合成ヌクレオチドまたはそれらの組み合わせから構成され得、有利には、図2~6、9~13、16、または17に同定されるような配列に一致するかまたは相補的であるヌクレオチド残基の連続ストレッチから構成され得る。そのようなプローブは、最も有用には、図2~6、9~13、16、または17に同定されるような配列のうちの一つまたは複数からの15、16、17、18、19、20、21、22、23、24、25、26、27、28、29、30、31、32、33、34、35、36、37、38、39、40、41、42、43、44、45、46、47、48、49、50、51、52、53、54、55、56、57、58、59、60、61、62、63、64、65、66、67、68、69、70、71、72、73、74、75、80、85、90、95、100、110、120、130、140、150、160、175、または200ヌクレオチド、またはそれ以上を含む、少なくとも15~200残基またはそれ以上の連続ストレッチを含むと考えられる。従って、単一のプローブが、癌性であるか、癌性であると推測されるか、または癌性化する素因を有する細胞の試料のトランスクリプトームに複数回結合し、同一の器官または組織の非癌性細胞のゲノムに由来する類似した量のトランスクリプトームへの同プローブの結合が、観察可能に多いかまたは少ない結合をもたらす場合、これは、配列決定されたプローブが由来する、図2~6、9~13、16、または17に同定される配列を含むかまたはそれらに対応する遺伝子、複数の遺伝子、マーカー、またはmiRNAの差次的な発現を示す。

【0063】

一つのそのような態様において、同一の器官の正常な細胞および/または組織と比較して上昇した発現は、対応するcDNAの作製等により、RNAの転写の相対速度を測定し、次いで、図2~6、9~13、16、または17に同定されるような遺伝子配列から開発されたプローブを使用して、もたらされたDNAを分析することにより測定される。従って、癌性であると推測される細胞の完全RNA相補体と共に逆転写酵素を使用することにより作製されたcDNAのレベルは、対応する量のcDNAを作製し、次いで、それが、もたらされたcDNAの相対レベルを測定し、それにより、遺伝子発現の相対レベルを測定するため、ポリメラーゼ連鎖反応、または線形增幅、等温增幅、NASB、もしくはローリングサークル增幅のような他の何らかの手段を使用して増幅され得る。

【0064】

発現の増加は、本明細書に開示された遺伝子の発現産物に選択的に結合し、それにより、その存在を検出する薬剤を使用して判定されてもよい。例えば、抗体、おそらくは、萤

10

20

30

40

50

光標識または放射標識に結合している抗体のような、適切に標識された抗体を、図2～6および9～13に同定されるような配列を含むポリペプチドのうちの一つに対して生成することができ、該抗体は、次いで、本明細書に開示された配列に対応する遺伝子のうちの一つによりコードされたポリペプチドに、選択的にまたは特異的に結合して、反応すると考えられる。次いで、そのような抗体の結合、特に、他の非癌性の細胞および組織に対立するものとしての癌性と推測される細胞および組織に由来する試料におけるそのような結合の相対的な程度が、本明細書に同定された癌関連遺伝子の発現または過剰発現の程度の測定値として使用され得る。従って、癌性の細胞および組織において過剰発現されるとして本明細書に同定された遺伝子は、コピー数の増加によりまたは過剰転写により、過剰発現される場合がある。例えば、過剰発現は、遺伝子を活性化し、RNAポリメラーゼの反復結合をもたらす転写因子が過剰産生され、それにより、正常より多い量のRNA転写物が生成され、それが、続いて、図2～6および9～13に同定されるようなアミノ酸配列を含むポリペプチドのようなポリペプチドへと翻訳されることによる。そのような分析は、本発明によって同定された遺伝子の発現を確認し、それにより、試験される患者に由来する試料における癌性状態の存在、該患者における後に癌を発症する素因の存在を判定する付加的な手段を提供する。

【0065】

本発明の方法の使用において、癌性状態を示す遺伝子またはマーカーの発現は、癌性であることが見出された全ての細胞の特徴である必要はないことが、心に留めておかれるべきである。従って、本明細書に開示された方法は、一部の細胞が完璧な過剰発現のパターンを示す組織において、癌性状態の存在を検出するために有用である。例えば、図2～6、9～13、16、または17に同定されるような配列のうちの少なくとも一つとストリンジントな条件の下で相同であるか、または少なくとも90%、好ましくは95%同一である配列を含む選択された遺伝子またはマーカーのセットが、腫瘍試料または悪性組織の試料に由来する細胞の60%程度の少ない細胞に存在し、対応する非癌性組織または正常組織に由来する細胞の60%程度の多くの細胞には存在しない（従って、そのような正常組織細胞の40%程度の多くの細胞に存在する）ことが、適切なDNAプローブまたはRNAプローブのいずれかを使用して見出され得る。一つの態様において、そのような発現パターンは、癌性組織から採取された細胞の少なくとも70%に存在し、対応する正常非癌性組織試料の少なくとも70%に存在しないことが見出される。別の態様において、そのような発現パターンは、癌性組織から採取された細胞の少なくとも80%に存在し、対応する正常非癌性組織試料の少なくとも80%に存在しないことが見出される。別の態様において、そのような発現パターンは、癌性組織から採取された細胞の少なくとも90%に存在し、対応する正常非癌性組織試料の少なくとも90%に存在しないことが見出される。別の態様において、そのような発現パターンは、癌性組織から採取された細胞の少なくとも100%に存在し、対応する正常非癌性組織試料の少なくとも100%に存在しないことが見出されるが、後者の態様は稀にしか起こらない可能性がある。

【0066】

いくつかの態様において、分子プロファイリングは、核酸（DNAもしくはRNA）、タンパク質、またはそれらの組み合わせの検出、分析、または定量化を含む。本発明の方法により診断される疾患または状態には、例えば、皮膚、心臓、肺、腎臓、乳房、膵臓、肝臓、筋肉、平滑筋、膀胱、胆嚢、結腸、腸、脳、食道、または前立腺を含むが、これらに限定されない、対象の一つまたは複数の組織における異常増殖の状態が含まれる。いくつかの態様において、本発明の方法により分析される組織には、甲状腺組織が含まれる。

【0067】

いくつかの態様において、本発明の方法により診断される疾患または状態には、癌、過形成、または新生物を含むが、これらに限定されない、良性および悪性の過剰増殖性障害が含まれる。いくつかの場合において、本発明の方法により診断される過剰増殖性障害には、乳腺の管組織における腺管癌、髄様癌、膠様癌、管状癌、および炎症性乳癌のような乳癌；卵巣における腺癌のような卵巣上皮腫瘍、および卵巣から腹腔へ移動した腺癌を含

む卵巣癌；子宮癌；扁平上皮癌および腺癌を含む子宮頸部上皮における腺癌のような子宮頸癌；腺癌または骨へ移動した腺癌から選択される前立腺癌のよう前立腺癌；臍管組織における類上皮細胞癌および臍管における腺癌のような臍臓癌；膀胱における移行上皮癌、尿路上皮癌（移行上皮癌）、膀胱を裏打ちする尿路上皮細胞における腫瘍、扁平上皮癌、腺癌、および小細胞癌のような膀胱癌；急性骨髓性白血病（AML）、急性リンパ性白血病、慢性リンパ性白血病、慢性骨髓性白血病、ヘアリーセル白血病、脊髄形成異常症、骨髓増殖性障害、急性骨髓性白血病（AML）、慢性骨髓性白血病（CML）、肥満細胞症、慢性リンパ性白血病（CLL）、多発性骨髓腫（MM）、および骨髓異形成症候群（MDS）のような白血病；骨癌；扁平上皮癌、腺癌、および大細胞未分化癌に分けられる非小細胞肺癌（NSCLC）ならびに小細胞肺癌のような肺癌；基底細胞癌、黒色腫、扁平上皮癌、および扁平上皮癌へと進展することもある皮膚状態である日光角化症のような皮膚癌；眼網膜芽細胞腫；皮膚黒色腫または眼球内（眼）黒色腫；原発性肝臓癌（肝臓において発生する癌）；腎臓癌；びまん性大細胞型B細胞リンパ腫、B細胞免疫芽球性リンパ腫、および小型非切れ込み核細胞性リンパ腫のようなエイズ関連リンパ腫；カポジ肉腫；B型肝炎ウイルス（HBV）、C型肝炎ウイルス（HCV）、および肝細胞癌を含むウイルスにより誘導される癌；ヒトリンパ球向性ウイルス1型（HTLV-1）および成人T細胞白血病／リンパ腫；およびヒトパピローマウイルス（HPV）により誘導される子宮頸癌を含む、ウイルスにより誘導される癌；神経膠腫（星状細胞腫、未分化星状細胞腫、または多形神経膠芽腫）、乏突起細胞腫、上衣細胞腫、髄膜腫、リンパ腫、シュワン腫、および髄芽腫を含む原発性脳腫瘍のような中枢神経系癌（CNS）；聴神経腫瘍、ならびに神経纖維腫およびシュワン腫を含む悪性末梢神経鞘腫瘍（MPNST）、悪性線維性細胞腫、悪性線維性組織球腫、悪性髄膜腫、悪性中皮腫、ならびに悪性ミュラー管混合腫瘍のような末梢神経系（PNS）癌；下咽頭癌、喉頭癌、上咽頭癌、および中咽頭癌のような口腔および中咽頭の癌；リンパ腫、胃間質腫瘍、およびカルチノイド腫瘍のような胃癌；精上皮腫および非精巣上皮腫を含む胚細胞性腫瘍（GCT）、ならびにライディッヒ細胞腫瘍およびセルトリ細胞腫瘍を含む性腺間質腫瘍のような精巣癌；胸腺腫、胸腺癌、ホジキン病、非ホジキンリンパ腫カルチノイド、またはカルチノイド腫瘍のような胸腺癌；直腸癌；ならびに結腸癌が含まれるが、これらに限定されない。いくつかの場合において、本発明の方法により診断される疾患または状態には、例えば、濾胞性腺腫、ハースル細胞腺腫、リンパ性甲状腺炎、および甲状腺過形成を含むが、これらに限定されない、良性甲状腺障害のような甲状腺障害が含まれるが、これらに限定されない。いくつかの場合において、本発明の方法により診断される疾患または状態には、例えば、濾胞癌、濾胞型甲状腺乳頭癌、髄様癌、および乳頭癌のような悪性甲状腺障害が含まれるが、これらに限定されない。いくつかの場合において、本発明の方法は、疾患を有するかそれとも正常であるかの組織の診断を提供する。他の場合において、本発明の方法は、正常、良性、または悪性の診断を提供する。いくつかの場合において、本発明の方法は、良性／正常または悪性の診断を提供する。いくつかの場合において、本発明の方法は、本明細書に提供される特定の疾患または状態のうちの一つまたは複数の診断を提供する。

【0068】

II. 生物学的試料の入手

いくつかの態様において、本発明の方法は、対象から試料を得ることを提供する。本明細書において使用されるように、対象という用語は、ヒト、非ヒト靈長類、げっ歯類、イヌ、ブタ等を含むが、これらに限定されない、任意の動物（例えば、哺乳類）をさす。本明細書に提供される得る方法には、細針吸引、コア針生検、吸引生検、切開生検、切除生検、パンチ生検、薄片生検、または皮膚生検を含む生検法が含まれる。試料は、皮膚、心臓、肺、腎臓、乳房、臍臓、肝臓、筋肉、平滑筋、膀胱、胆嚢、結腸、腸、脳、前立腺、食道、または甲状腺を含むが、これらに限定されない、本明細書に提供される組織のいずれかから得られ得る。あるいは、試料は、血液、汗、毛包、頬組織、涙、月経、便、または唾液を含むが、これらに限定されない、その他の起源から得られてもよい。本発明のいくつかの態様において、医療従事者が、試験のために生物学的試料を得てもよい。いくつ

10

20

30

40

50

かの場合において、医療従事者は、生物学的試料の寄託のため、対象を試験施設または検査室に照会させててもよい。他の場合において、対象が、試料を提供してもよい。いくつかの場合において、本発明の分子プロファイリングビジネスが、試料を得てもよい。

【0069】

試料は、本明細書に提供される生検法、拭き取り、擦過、静脈切開のような当技術分野において公知の方法、または当技術分野において公知のその他の任意の方法により得られる。いくつかの場合において、試料は、本発明のキットの構成要素を使用して、得られるか、保管されるか、または輸送され得る。いくつかの場合において、複数の甲状腺試料のような複数の試料が、本発明の方法による診断のために得られ得る。いくつかの場合において、一つの組織型（例えば、甲状腺）からの一つまたは複数の試料、および別の組織（例えば、頬）からの一つまたは複数の試料、のような複数の試料が、本発明の方法による診断のために得られ得る。いくつかの場合において、一つの組織型（例えば、甲状腺）からの一つまたは複数の試料、および別の組織（例えば、頬）からの一つまたは複数の試料、のような複数の試料は、同一の時点でまたは異なる時点で得られてもよい。いくつかの場合において、異なる時点で得られた試料は、異なる方法により分析されかつ／または保管されてもよい。例えば、試料は、細胞学的分析（ルーチンの染色）により得られ分析され得る。いくつかの場合において、さらなる試料が、細胞学的分析の結果に基づき、対象から得らされてもよい。癌の診断には、医師、看護師、またはその他の医療従事者による対象の検査が含まれ得る。検査は、ルーチンの検査の一部であってもよいし、または、検査は、以下のうちの一つを含むが、これらに限定されない、特定の愁訴によるものであってもよい：疼痛、疾病、疾病の予想、疑わしいしこりもしくは腫瘍の存在、疾患、または状態。対象は、疾患または状態に気づいていてもよいし、または気づいていなくてもよい。医療従事者が、試験のために生物学的試料を得てもよい。いくつかの場合において、医療従事者は、生物学的試料の寄託のために対象を試験施設または検査室に照会させてもよい。

10

20

30

【0070】

いくつかの場合において、対象は、さらなる診断のために、腫瘍学者、外科医、または内分泌学者のような専門医に照会させられ得る。専門医は、同様に、試験のために生物学的試料を得てもよいし、または生物学的試料の寄託のために個体を試験施設もしくは検査室に照会させてもよい。いずれの場合にも、生物学的試料は、医師、看護師、または医療技術者、内分泌学者、細胞学者、採血者、放射線技師、もしくは呼吸器科医のような他の医療従事者により得られ得る。医療従事者が、試料に対して実行する適切な試験もしくはアッセイ法を示してもよいし、または、本開示の分子プロファイリングビジネスが、どのアッセイ法もしくは試験が最も適切に示されるかに関して助言してもよい。分子プロファイリングビジネスは、助言事業、試料の取得およびもしくは保管、材料、または与えられた全ての製品およびサービスについて、個体または医療提供者または保険提供者に代金を請求することができる。

【0071】

本発明のいくつかの態様において、医療従事者は、初期診断または試料取得に関与しないなくてもよい。あるいは、個体が、店頭販売のキットの使用を通して試料を得てもよい。キットは、本明細書に記載されるような試料を得るために手段、検査のために試料を保管するための手段、およびキットの適正使用のための説明書を含有し得る。いくつかの場合において、分子プロファイリングサービスが、キットの購入価格に含まれていてもよい。他の場合において、分子プロファイリングサービスは別料金である。

40

【0072】

分子プロファイリングビジネスが使用するために適している試料は、試験される個体の組織、細胞、核酸、遺伝子、遺伝子断片、発現産物、遺伝子発現産物、または遺伝子発現産物断片を含有している任意の材料であり得る。試料の適応性および／または妥当性を判定する方法が提供される。試料には、個体の組織、細胞または細胞に由来するもしくは細胞から得られる生物学的材料が含まれ得るが、これらに限定されない。試料は、細胞また

50

は組織の不均一集団または均一集団であり得る。生物学的試料は、本明細書に記載された分析法に適している試料を提供することができる、当技術分野において公知の任意の方法を使用して得られ得る。

【0073】

試料は、皮膚または頸部の擦過、頬の拭き取り、唾液収集、尿収集、便収集、月経、涙、または精液の収集を含むが、これらに限定されない、非侵襲的な方法により得られ得る。他の場合において、試料は、生検、肺胞もしくは肺の洗浄、針吸引、または静脈切開を含むが、これらに限定されない、侵襲的な手法により得られる。生検の方法には、さらに、切開生検、切除生検、パンチ生検、薄片生検、または皮膚生検が含まれ得る。針吸引の方法には、さらに、細針吸引、コア針生検、吸引生検、またはラージコア (large core) 生検が含まれ得る。いくつかの態様において、十分な量の生物学的材料を確実にするために、複数の試料が本明細書中の方法により得られてもよい。適当な甲状腺の試料を得る方法は、当技術分野において公知であり、さらに、参照によりその全体が本明細書に組み入れられるATA Guidelines for thyroid nodule management (Cooper et al. Thyroid Vol. 16 No. 2 2006) に記載されている。生物学的試料を得るための一般的な方法も、当技術分野において公知であり、さらに、例えば、参照によりその全体が本明細書に組み入れられるRamzy, Ibrahim Clinical Cytopathology and Aspiration Biopsy 2001に記載されている。一つの態様において、試料は、甲状腺結節または推測される甲状腺腫瘍の細針吸引液である。いくつかの場合において、細針吸引液の採取法は、超音波、X線、またはその他の画像化装置の使用によるガイド下でなされてもよい。

10

20

30

【0074】

本発明のいくつかの態様において、分子プロファイリングビジネスは、対象から直接、医療従事者から、第三者から、または分子プロファイリングビジネスもしくは第三者により提供されたキットから、生物学的試料を得ることができる。いくつかの場合において、生物学的試料は、対象、医療従事者、または第三者が生物学的試料を取得し、分子プロファイリングビジネスへと送付した後、分子プロファイリングビジネスにより得られてもよい。いくつかの場合において、分子プロファイリングビジネスは、生物学的試料の保管および分子プロファイリングビジネスへの輸送のための適当な容器および賦形剤を提供してもよい。

【0075】

III. 試料の保管

いくつかの態様において、本発明の方法は、試料が得られた後、試料が本発明の一つまたは複数の方法により分析される前に、数秒、数分、数時間、数日、数週間、数ヶ月、数年、またはそれ以上のような時間、試料を保管することを提供する。いくつかの場合において、試料の異なる一部分が、保管、細胞学的分析、妥当性試験、核酸抽出、分子プロファイリング、またはそれらの組み合わせを含むが、これらに限定されない、異なる下流の方法または過程を受けるよう、対象から得られた試料は、保管またはさらなる分析の工程の前に細分される。

【0076】

いくつかの場合において、試料の一部分は保管され、試料の別の一部分はさらに操作されてもよい。そのような操作には、分子プロファイリング；細胞学的染色；核酸（RNAもしくはDNA）の抽出、検出、または定量化；遺伝子発現産物（RNAもしくはタンパク質）の抽出、検出、または定量化；固定；および検査が含まれ得るが、これらに限定されない。試料は、グルタルアルデヒド、ホルムアルデヒド、またはメタノールの使用のような、当技術分野において公知の任意の方法により、保管前または保管中に固定されてもよい。他の場合において、試料は、得られ、保管され、保管工程後に、試料の異なる一部分が、保管、細胞学的分析、妥当性試験、核酸抽出、分子プロファイリング、またはそれらの組み合わせを含むが、これらに限定されない、異なる下流の方法または過程を受けるよう、さらなる分析のために細分される。いくつかの場合において、試料は、得られ、例えば、細胞学的分析により分析され、もたらされた試料材料が、本発明の一つまたは複数の分子プロ

40

50

ロファイリング法によりさらに分析される。そのような場合、試料は、細胞学的分析工程と分子プロファイリング工程との間、保管されてもよい。試料は、取得後、輸送を容易にするか、またはその他の分析の結果を待つために保管されてもよい。別の態様において、試料は、医師またはその他の医療従事者からの説明を待つ間、保管されてもよい。

【0077】

取得された試料は、短期または長期の保管のため、適当な培地中、賦形剤中、溶液中、または容器中に置かれ得る。保管は、冷蔵または冷凍の環境において試料を維持することを必要とする場合がある。試料は、冷凍環境において保管前に急速に凍結させられ得る。凍結試料は、グリセロール、エチレンギリコール、ショ糖、またはグルコースを含むが、これらに限定されない、適当な低温保存培地または化合物と接触させられ得る。適当な培地、賦形剤、または溶液には、ハンクス塩溶液、生理食塩水、細胞増殖培地、硫酸アンモニウムもしくはリン酸アンモニウムのようなアンモニウム塩溶液、または水が含まれるが、これらに限定されない。アンモニウム塩の適当な濃度には、約0.1g/ml、0.2g/ml、0.3g/ml、0.4g/ml、0.5g/ml、0.6g/ml、0.7g/ml、0.8g/ml、0.9g/ml、1.0g/ml、1.1g/ml、1.2g/ml、1.3g/ml、1.4g/ml、1.5g/ml、1.6g/ml、1.7g/ml、1.8g/ml、1.9g/ml、2.0g/ml、2.2g/ml、2.3g/ml、2.5g/ml、またはそれ以上の溶液が含まれる。培地、賦形剤、または溶液は、無菌であってもよいし、または無菌でなくてもよい。

10

【0078】

試料は、例えば、0C、-1C、-2C、-3C、-4C、-5C、-6C、-7C、-8C、-9C、-10C、-12C、-14C、-15C、-16C、-20C、-22C、-25C、-28C、-30C、-35C、-40C、-45C、-50C、-60C、-70C、-80C、-100C、-120C、-140C、-180C、-190C、または約-200Cを含む、室温、または低温（例えば、約20～約0）もしくは冷凍温度のような低温で保管され得る。いくつかの場合において、試料は、冷蔵装置内で、氷もしくは凍結ゲルパック上で、冷凍装置内で、低温貯蔵装置内で、ドライアイス上で、液体窒素中で、または液体窒素で平衡化された蒸気相で保管され得る。

20

【0079】

培地、賦形剤、または溶液は、後の診断もしくは操作のための妥当な状態に試料を維持するため、または凝固を防止するため、保存剤を含有していてもよい。保存剤には、クエン酸、エチレンジアミン四酢酸、アジ化ナトリウム、またはチメロサール（thimerosal）が含まれ得る。培地、賦形剤、または溶液は、トリス緩衝剤またはリン酸緩衝剤、ナトリウム塩（例えば、NaCl）、カルシウム塩、マグネシウム塩等のような適当な緩衝剤または塩を含有していてもよい。いくつかの場合において、試料は、例えばCytoc ThinPrep、SurePath、またはMonoprepであるがこれらに限定されない、後の細胞学的分析のための細胞の保管のために適している商業的な調製物の中に保管されてもよい。

30

【0080】

試料容器は、カップ、蓋付きカップ、チューブ、無菌チューブ、真空チューブ、注射器、ボトル、顕微鏡用スライド、またはその他の適当な容器を含むが、これらに限定されない、生物学的試料の保管およびまたは輸送のために適している任意の容器であり得る。容器は、無菌であってもよいし、または無菌でなくてもよい。

40

【0081】

IV. 試料の輸送

本発明の方法は、試料の輸送を提供する。いくつかの場合において、試料は、診療所、病院、医院、またはその他の位置から第二の位置へ輸送され、そこで、試料は、保管され、かつ／または、例えば、細胞学的分析もしくは分子プロファイリングにより分析され得る。いくつかの場合において、試料は、本明細書に記載された分析を実施するため、分子プロファイリング企業へ輸送されてもよい。他の場合において、試料は、臨床検査室改善法（Clinical Laboratory Improvement Amendments）（CLIA）検査室のような、認可された検査室、または本発明の方法を実施することができる検査室のような検査室へ輸送されてもよい。試料は、試料が由来する個体により輸送されてもよい。個体による輸送には、個体が分子プロファイリングビジネスまたは指定された試料受容所を訪れ、試料を提供す

50

10
ることが含まれ得る。試料の提供は、本明細書に記載された試料取得の技術のいずれかを含んでもよいか、または、試料は、既に取得され、本明細書に記載されるような適当な容器で保管されていてもよい。他の場合において、試料は、宅配便、郵便、海運、または適当な様式で試料を輸送することができる任意の方法を使用して、分子プロファイリングビジネスへ輸送され得る。いくつかの場合において、試料は、第三者試験検査室（例えば、細胞診検査室）により、分子プロファイリングビジネスへ提供されてもよい。他の場合において、試料は、対象のプライマリケア医、内分泌学者、またはその他の医療従事者により、分子プロファイリングビジネスへ提供されてもよい。輸送費用は、個体、医療提供者、または保険提供者へ請求され得る。分子プロファイリングビジネスは、受け取り後、直ちに試料の分析を開始してもよいし、または本明細書に記載された任意の様式で試料を保管してもよい。保管の方法は、分子プロファイリングビジネスが試料を受け取る前に選ばれたものと同一であってもよいしまたは同一でなくてもよい。

【0082】

試料は、低温保存培地または液状化細胞診調製物のような、試料の保管のために適している、本明細書に提供される任意の培地または賦形剤を含む、任意の培地または賦形剤で輸送され得る。いくつかの場合において、試料は、本明細書に提供される適当な試料保管温度のいずれかで、冷凍輸送または冷蔵輸送されてもよい。

【0083】

分子プロファイリングビジネス、その代理人もしくはライセンサー、医療従事者、研究者、または第三者検査室もしくは試験施設（例えば、細胞診検査室）による試料の受け取り後、試料は、細胞学的アッセイ法およびゲノム分析のような当技術分野において公知の多様なルーチンの分析を使用してアッセイされ得る。そのような試験は、癌、癌の型、その他の疾患もしくは状態、疾患マーカーの存在、または癌、疾患、状態、もしくは疾患マーカーの欠如を示し得る。試験は、下記のような顕微鏡検査を含む細胞学的調査の形態をとり得る。試験は、一つまたは複数の細胞学的染色の使用を含み得る。生物学的材料は、生物学的試料の調製のための当技術分野において公知の適当な方法により、試験の投与前に、試験のために操作または調製され得る。実施される特定のアッセイ法は、分子プロファイリング企業、試験を注文した医師、または助言医療従事者、細胞診検査室、試料が由来する対象、もしくは保険提供者のような第三者により決定され得る。特定のアッセイ法は、確定診断が得られる可能性、アッセイ法のコスト、アッセイ法のスピード、または提供された材料の型へのアッセイ法の適応性に基づき、選ばれ得る。

【0084】

V. 妥当性についての試験

試料取得の後または間、例えば、試料を保管する工程の前または後、生物学的材料は、例えば、本発明の方法および組成物において使用するための試料の適応性を査定するため、収集され、妥当性について査定され得る。査定は、試料を得る個体、分子プロファイリングビジネス、キットを使用する個体、または細胞診検査室、病理学者、内分泌学者、もしくは研究者のような第三者により実施され得る。試料は、以下のものを含むが、これらに限定されない、多くの因子により、さらなる分析のために妥当であるかまたは妥当でないと判定され得る：不十分な細胞、不十分な遺伝材料、不十分なタンパク質、DNA、もしくはRNA、必要とされる試験にとって不適切な細胞、または必要とされる試験にとって不適切な材料、試料の古さ、試料が得られた様式、または試料が保管もしくは輸送された様式。妥当性は、細胞染色法、細胞数もしくは組織量の測定、全タンパク質の測定、核酸の測定、視覚的検査、顕微鏡検査、または温度もしくはpHの測定のような、当技術分野において公知の多様な方法を使用して判定され得る。一つの態様において、試料妥当性は、遺伝子発現産物レベル分析実験を実施した結果から判定されると考えられる。別の態様において、試料妥当性は、試料妥当性のマーカーの含量を測定することにより判定されると考えられる。そのようなマーカーには、ヨウ素、カルシウム、マグネシウム、リン、炭素、窒素、硫黄、鉄等のような元素；例えばチログロブリンであるがこれに限定されない、タンパク質；細胞量；およびタンパク質、核酸、脂質、または炭水化物のような細胞成分が

含まれる。

【0085】

いくつかの場合において、ヨウ素は、参照によりその全体が本明細書に組み入れられる米国特許第3645691号に記載されたような化学的方法、またはヨウ素含量を測定するための当技術分野において公知のその他の化学的方法により測定され得る。ヨウ素測定のための化学的方法には、SandellおよびKolthoffの反応に基づく方法が含まれるが、これらに限定されない。反応は以下の式に従って進行する。



【0086】

ヨウ素は、反応の課程で触媒効果を有する、即ち、分析される調製物中に存在するヨウ素が多いほど、速く反応が進行する。反応のスピードは、ヨウ素濃度に比例する。いくつかの場合において、この分析法は、以下の様式で実施され得る。

10

【0087】

予め測定された量の酸化ヒ素 As_2O_3 の濃硫酸溶液または濃硝酸溶液を、生物学的試料に添加し、混合物の温度を、反応温度、即ち、通常20 ~ 60 の温度に調整する。予め測定された量の硫酸セリウム(IV)の硫酸溶液または硝酸溶液を、そこに添加する。その後、混合物を、一定時間、予め測定された温度で反応させる。反応時間は、測定されるヨウ素の量の桁、およびそれぞれの選択された反応温度によって選択される。反応時間は、通常、約1分~約40分である。その後、セリウム(IV)イオンの試験溶液の含量を、測光法により測定する。測光法により測定されたセリウム(IV)イオン濃度が低いほど、反応スピードが高く、従って、触媒剤、即ち、ヨウ素の量が多い。このようにして、試料のヨウ素を、直接かつ定量的に測定することができる。

20

【0088】

他の場合において、例えば、 ^{123}I 、 ^{124}I 、 ^{125}I 、および ^{131}I のようなヨウ素の特定の同位体を検出することによっても、甲状腺組織の試料のヨウ素含量を測定することができる。さらに他の場合において、マーカーは、炭素、窒素、硫黄、酸素、鉄、リン、または水素の同位体のような別の放射性同位体であってもよい。いくつかの例において、試料収集より前に、放射性同位体を投与することができる。妥当性試験のために適している放射性同位体投与の方法は、当技術分野において周知であり、静脈もしくは動脈への注射、または摂取を含む。同位体の一部を甲状腺組織へと吸収させるための、同位体の投与と甲状腺結節試料の取得との間の適当な期間は、約1分、2分、5分、10分、15分、30分、1時間、8時間、12時間、24時間、48時間、72時間、または約1週間、1.5週間、もしくは2週間を含む、約1分~数日または約1週間の期間を含み得、当業者により容易に決定され得る。あるいは、ヨウ素、カルシウム、マグネシウム、炭素、窒素、硫黄、酸素、鉄、リン、または水素の放射性同位体のような同位体の天然レベルについて、試料を測定してもよい。

30

【0089】

(i) 細胞および/または組織の含量妥当性試験

組織の量を測定する方法には、試料の計量または試料の体積の測定が含まれるが、これらに限定されない。細胞の量を測定する方法には、いくつかの場合において、例えば、トリプシンもしくはコラゲナーゼのような酵素による、または、例えば、組織ホモジナイザーの使用のような物理的手段による、脱凝集の後に実施され得る、細胞計数が含まれるが、これらに限定されない。回収された細胞の量を測定するための別の方法には、細胞材料に結合する色素の定量化、または遠心分離後に得られた細胞ペレットの体積の測定が含まれるが、これらに限定されない。妥当な数の特定の型の細胞が存在することを判定する方法には、PCR、Q-PCR、RT-PCR、免疫組織化学的分析、細胞学的分析、顕微鏡的分析、およびまたは視覚的分析が含まれる。

40

【0090】

(ii) 核酸含量妥当性試験

当技術分野において公知の多様な方法を使用して、生物学的試料からの抽出後に核酸含量を測定することにより、試料を分析することができる。いくつかの場合において、RNA

50

またはmRNAのような核酸が、核酸含量分析前に他の核酸から抽出される。核酸含量は、抽出され、精製され、分光光度計を使用して、260ナノメートルにおける吸光度を含むが、これに限定されない、紫外吸光度により測定され得る。他の場合において、核酸の含量または妥当性は、試料を染色剤と接触させた後、蛍光光度計により測定され得る。さらに他の場合において、核酸の含量または妥当性は、電気泳動後に、または、例えば、agilentバイオアナライザーのような装置を使用して、測定され得る。本発明の方法は、核酸の含量およびまたは完全性を測定するための特定の方法に限定されないことが理解される。

【0091】

いくつかの態様において、所定の試料からのRNAの量または収量は、ナノグラム～マイクログラムの範囲で、NanoDrop分光光度計を使用して、精製の直後に測定される。いくつかの態様において、RNA品質は、Agilent 2100 Bioanalyzer装置を使用して測定され、計算されたRNAインテグリティナンバー（Integrity Number）（RIN、1～10）により特徴決定される。NanoDropはキュベットなしの分光光度計である。それは、試料 $1\mu\text{l}$ 当たり5ng～3,000ngを測定するために1マイクロリットルを使用する。NanoDropの重大な特色には、低い試料の容量、キュベットがない点；5ng/ μl ～3,000ng/ μl という大きなダイナミックレンジ；DNA、RNA、およびタンパク質の定量化を可能にする点が含まれる。NanoDrop（商標）2000cは、キュベットまたはキャピラリーの必要なしに、0.5 μl ～2.0 μl の試料の分析を可能にする。

10

【0092】

RNA品質は、計算されたRNAインテグリティナンバー（RIN）により測定され得る。RNAインテグリティナンバー（RIN）とは、RNA測定値に完全性の値を割り当てるためのアルゴリズムである。RNAの完全性は、遺伝子発現研究のための主要な問題であり、伝統的には、28S rRNAと18S rRNAとの比を使用して評価されているが、この方法には一貫性がないことが示されている。RINアルゴリズムは、電気泳動によるRNA測定に適用され、よりロバスト（robust）な普遍的な測定値を提供するための、RNA完全性に関する情報に寄与する異なる特色の組み合わせに基づく。いくつかの態様において、RNA品質は、Agilent 2100 Bioanalyzer装置を使用して測定される。RNA品質を測定するためのプロトコルは、公知であり、例えば、Agilentウェブサイトで、商業的に入手可能である。簡単に説明すると、第一工程で、研究者がRNA Nano LabChipへ全RNA試料を委託する。第二工程で、LabChipがAgilentバイオアナライザーに挿入され、分析が実行され、デジタル電気泳動図が生成される。次いで、第三工程で、新たなRINアルゴリズムが、試料の完全性を判定するため、分解産物の存在または欠如を含む、RNA試料の電気泳動記録の全体を分析する。次いで、アルゴリズムは、レベル10のRNAが完璧に完全である、1～10のRINスコアを割り当てる。電気泳動図の解釈が自動的であり、個々の解釈を受けないため、試料の普遍的で公平な比較が可能になり、実験の再現性が改善される。RINアルゴリズムは、主として、ヒト、ラット、およびマウスの組織から得られた真核生物全RNA試料の大きなデータベースと共に、ニューラルネットワークおよび適応的学習（adaptive learning）を使用して開発された。RINの利点には、以下の点が含まれる。RNAの完全性の数的な査定が得られる点；例えば、アーカイブ（archival）の前後で、RNA試料が直接比較される点、異なる検査室間の同一組織の完全性が比較される点；実験の再現性が確実になる点、例えば、RINが所定の値を示し、マイクロアレイ実験のために適している場合、同一の生物／組織／抽出法が使用されるのであれば、同一の値のRINが、常に、類似した実験のために使用され得る（Schroeder A, et al. BMC Molecular Biology 2006, 7:3 (2006)）。

20

30

40

【0093】

いくつかの態様において、RNA品質は、10が最高品質である、RIN 1～10の尺度で測定される。一つの局面において、本発明は、6.0またはそれ未満のRNA RIN値を有する試料からの遺伝子発現を分析する方法を提供する。いくつかの態様において、1.0、2.0、3.0、4.0、5.0、または6.0のRIN数を有するRNAを含有している試料が、本発明の方法およびアルゴリズムを使用して、マイクロアレイ遺伝子発現のために分析される。いくつかの態様において、試料は、甲状腺組織の細針吸引液である。試料は、2.0程度の低いRINで分解されて

50

いてもよい。

【0094】

所定の試料における遺伝子発現の測定は、複雑で、動的で、かつ高コストの過程である。RIN 5.0を有するRNA試料は、典型的には、多重遺伝子マイクロアレイ分析のためには使用されず、その代り、単一遺伝子のRT-PCRアッセイ法および／またはTaqManアッセイ法のためにのみ使用され得る。品質によるRNAの有用性のこの二分は、従来、試料の有用性を制限し、研究努力を妨害してきた。本発明は、低濃度のRNAを含有している試料、例えば、甲状腺FNA試料から、意味のある多重遺伝子発現結果を得るために、低品質RNAが使用され得る方法を提供する。

【0095】

さらに、通常、多重遺伝子発現プロファイリングのためには妥当でないと見なされる、NanoDropによる低くかつ／または測定不能なRNA濃度を有する試料が、本発明の方法およびアルゴリズムを使用すれば、測定され分析され得る。今日、検査室で核酸収量を測定するために使用されている最も高感度の「最先端技術」機器が、NanoDrop分光光度計である。その種類の多くの定量化装置と同様に、NanoDrop測定値の精度は、極めて低いRNA濃度では有意に減少する。マイクロアレイ実験への入力のために必要なRNAの最少量も、所定の試料の有用性を制限する。本発明においては、極少量の核酸を含有している試料が、NanoDrop装置およびBioanalyzer装置の両方からの測定値の組み合わせを使用して推定され得、それにより、多重遺伝子発現アッセイ法および分析のため試料が最適化される。

【0096】

(iii) タンパク質含量妥当性試験

いくつかの場合において、生物学的試料中のタンパク質含量は、以下のものを含むが、これらに限定されない、当技術分野において公知の多様な方法を使用して測定され得る：280ナノメートルにおける紫外吸光度、本明細書に記載されるような細胞染色、または、例えば、クーマシープルーもしくはビシンコニン酸によるタンパク質染色。いくつかの場合において、タンパク質は、試料の測定前に生物学的試料から抽出される。いくつかの場合において、試料の妥当性についての複数の試験が、並行して、または一つずつ実施されてもよい。いくつかの場合において、試料は、妥当性査定の前、間、または後に、複数の診断試験を実施するため、一定分量へと分割されてもよい。いくつかの場合において、妥当性試験は、さらなる診断試験に適していてもよいし、または適していないてもよい少量の試料に対して実施される。他の場合において、試料全体が妥当性について査定される。いずれの場合にも、妥当性についての試験の代金は、対象、医療提供者、保険提供者、または政府実体に請求され得る。

【0097】

本発明のいくつかの態様において、試料は収集後すぐにまたは直ちに妥当性について試験され得る。いくつかの場合において、試料妥当性試験が、試料の十分な量または十分な品質を示さない場合には、追加的な試料を採取することができる。

【0098】

VI. 試料の分析

一つの局面において、本発明は、低い量および品質のDNAまたはRNAのようなポリヌクレオチドを用いて、マイクロアレイ遺伝子発現分析を実施する方法を提供する。いくつかの態様において、本開示は、低い量および品質のRNAを用いて、遺伝子発現を分析することにより、癌を診断し、特徴決定し、かつ／またはモニタリングする方法を記載する。一つの態様において、癌は甲状腺癌である。甲状腺RNAは細針吸引液（FNA）から得られ得る。いくつかの態様において、遺伝子発現プロファイルは、9.0、8.0、7.0、6.0、5.0、4.0、3.0、2.0、1.0、またはそれ未満のRNA RIN値を有する分解された試料から得られる。特定の態様において、遺伝子発現プロファイルは、6またはそれ未満、即ち、6.0、5.0、4.0、3.0、2.0、1.0、またはそれ未満のRINを有する試料から得られる。甲状腺FNA試料のような低濃度の核酸を含有している試料から意味のある遺伝子発現結果を得るために、低品質RNAが使用され得る方法が、本発明により提供される。

10

20

30

40

50

【 0 0 9 9 】

遺伝子発現アッセイ法のための試料の有用性の別の推定値は、典型的にはナノグラム～マイクログラムの量で測定されるRNA収量である。今日、検査室で核酸収量を測定するために使用されている最も高感度の「最先端技術」機器は、NanoDrop分光光度計である。その種類の多くの定量化装置と同様に、NanoDrop測定値の精度は、極めて低いRNA濃度では有意に減少する。マイクロアレイ実験への入力のために必要なRNAの最少量も、所定の試料の有用性を制限する。いくつかの局面において、本発明は、NanoDrop装置およびBioanalyzer装置の両方からの測定値の組み合わせを使用して、試料入力を推定することにより、低いRNA濃度の問題を解決する。遺伝子発現研究から得られるデータの品質はRNA量に依存するため、NanoDropにより測定された低いまたは測定不能なRNA濃度を有する試料から、意味のある遺伝子発現データが作成され得る。

10

【 0 1 0 0 】

本方法および本アルゴリズムは、以下のことを可能にする：(1) 低い量かつ／または低い品質の核酸を含有している試料の遺伝子発現分析、(2) 偽陽性および偽陰性の有意な低下、(3) 結果として生じる病態の基礎をなす遺伝学的経路、代謝経路、またはシグナル伝達経路の確定、(4) 遺伝性障害の診断の精度に統計的確率を割り当てる能力、(5) 不明確な結果を分解する能力、および(6) 癌の亜型を区別する能力。

【 0 1 0 1 】**細胞学的分析**

試料は、生物学的試料中の細胞の顕微鏡的検査と組み合わせられた細胞染色により分析され得る。細胞染色、または細胞学的調査は、以下のものを含むが、これらに限定されない、当技術分野において公知の多数の方法および適当な試薬により実施され得る：EA染色、ヘマトキシリン染色、サイトステイン(cytostain)、パパニコロウ染色、エオシン、ニッスル染色、トルイジンブルー、銀染色、アゾカルミン染色、ニュートラルレッド、またはヤヌスグリーン。いくつかの場合において、細胞は、染色法の前または間に、例えば、メタノール、エタノール、グルタルアルデヒド、またはホルムアルデヒドにより固定され、かつ／または透過性化される。いくつかの場合において、細胞は固定されない。いくつかの場合において、複数の染色が組み合わせて使用される。他の場合において、染色は全く使用されない。いくつかの場合において、核酸含量の測定は、例えば、臭化工チジウム、ヘマトキシリン、ニッスル染色、または当技術分野において公知の任意の核酸染色による染色法を使用して実施される。

20

【 0 1 0 2 】

本発明のいくつかの態様において、細胞は、細胞学的調査のための当技術分野において周知の標準的な方法によりスライドへ塗沫されてもよい。他の場合において、液状化細胞診(LBC)法が使用されてもよい。いくつかの場合において、LBC法は、細胞診スライド調製の改善された手段、より均一な試料、増加した感度および特異度、ならびに改善された試料の扱いの効率を提供する。液状化細胞診の方法においては、生物学的試料が、対象から、例えば、Cytoc ThinPrep、SurePath、Monoprep、または当技術分野において公知のその他の液状化細胞診調製溶液のような液状化細胞診調製溶液を含有している容器またはバイアルに移される。さらに、試料の実質的に定量的な転移を確実にするために、試料は、液状化細胞診調製溶液で収集装置から容器またはバイアルへと灌がれてもよい。次いで、液状化細胞診調製溶液中に生物学的試料を含有している溶液は、ガラススライド上に細胞の層を作製するために、機械により、または当業者により、保管され、かつ／または加工され得る。試料は、さらに、従来の細胞診調製物と同一の方式で、染色され、顕微鏡下で調査されてもよい。

30

【 0 1 0 3 】

本発明のいくつかの態様において、試料は、免疫組織化学的染色により分析されてもよい。免疫組織化学的染色は、生物学的試料(例えば、細胞または組織)における、抗体の使用による、特定の分子または抗原の存在、位置、および分布の分析を提供する。抗原は、低分子、タンパク質、ペプチド、核酸、または抗体により特異的に認識され得るその他

40

50

の任意の分子であり得る。試料は、先に固定および／または透過性化の工程を含んでいてもよいし、または含んでいなくてもよい免疫組織化学的方法により分析され得る。いくつかの場合において、関心対象の抗原は、抗原特異的な抗体と試料を接触させ、次いで、一回または複数回の洗浄により非特異的結合を除去することにより検出され得る。次いで、特異的に結合した抗体が、例えば、標識された二次抗体、または標識されたアビジン／ストレプトアビジンのような抗体検出試薬により検出され得る。いくつかの場合において、その代わりに、抗原特異的な抗体が直接標識されてもよい。免疫組織化学的検査のための適当な標識には、フルオレセインおよびローダミンのようなフルオロフォア、アルカリホスファターゼおよび西洋ワサビペルオキシダーゼのような酵素、ならびに³²Pおよび¹²⁵Iのような放射性核種が含まれるが、これらに限定されない。免疫組織化学的染色により検出され得る遺伝子産物マーカーには、Her2/Neu、Ras、Rho、EGFR、VEGFR、UbcH10、RET/P TC1、サイトケラチン20、カルシトニン、GAL-3、甲状腺ペルオキシダーゼ、およびチログロブリンが含まれるが、これらに限定されない。

【0104】

VII. アッセイ結果

ルーチンの細胞学的アッセイ法またはその他のアッセイ法の結果は、陰性（癌、疾患、もしくは状態がない）、不明確もしくは疑わしい（癌、疾患、もしくは状態の存在が示唆される）、診断的（癌、疾患、もしくは状態についての陽性の診断）、または非診断的（癌、疾患、もしくは状態の存在もしくは欠如に関する不十分な情報の提供）として試料を示すことができる。診断結果は、悪性または良性として、さらに分類され得る。診断結果は、例えば、p値、補正されたp値、または統計的信頼指標を介して、例えば、癌の重度もしくは悪性度、または正確な診断の可能性を示すスコアも提供する場合がある。いくつかの場合において、診断結果は、例えば、濾胞性腺腫、ハースル細胞腺腫、リンパ性甲状腺炎、過形成、濾胞癌、濾胞型甲状腺乳頭癌、乳頭癌、または本明細書に提供される疾患もしくは状態のいずれかのような、特定の型の癌、疾患、または状態を示し得る。いくつかの場合において、診断結果は、癌、疾患、または状態の特定の病期を示し得る。診断結果は、診断された特定の癌、疾患、または状態の型または病期のための特定の処置または治療的介入を通知し得る。いくつかの態様において、実施されたアッセイ法の結果は、データベースに入力され得る。分子プロファイリング企業は、以下のうちの一つまたは複数について、個体、保険提供者、医療提供者、または政府実体に代金を請求することができる：実施されたアッセイ法、助言サービス、結果の報告、データベースアクセス、またはデータ分析。いくつかの場合において、分子プロファイリング以外の全てまたはいくつかの工程は、細胞診検査室または医療従事者により実施される。

【0105】

VIII. 分子プロファイリング

細胞学的アッセイ法は、例えば、甲状腺の腫瘍または結節を含む、多くの型の推測された腫瘍のための現在の診断基準を特徴付いている。本発明のいくつかの態様において、陰性、不確定、診断的、または非診断的としてアッセイされた試料は、さらなる情報を得るために、後のアッセイ法に供されてもよい。本発明において、これらの後のアッセイ法には、ゲノムDNA、RNA、mRNA発現産物レベル、miRNAレベル、遺伝子発現産物レベル、または遺伝子発現産物選択的スプライシングの分子プロファイリング工程が含まれる。本発明のいくつかの態様において、分子プロファイリングとは、生物学的試料中のゲノムDNAの数（例えば、コピー数）および／または型の決定を意味する。いくつかの場合において、数および／または型は、対照試料または正常と見なされた試料とさらに比較され得る。いくつかの態様において、ゲノムDNAは、コピー数の増加（增幅）もしくは減少のようなコピー数多型、または挿入、欠失、短縮等のようなバリエントについて分析され得る。分子プロファイリングは、同一の試料、同一の試料の一部、または本明細書に記載された方法のいずれかを使用して取得され得る新たな試料に対して実施され得る。分子プロファイリング企業は、個体と直接連絡をとることにより、または医師、第三者試験施設もしくは検査室、または医療従事者のような仲介者を通して、追加的な試料を要求してもよい。いくつ

かの場合において、試料は、いくつかまたは全ての細胞学的染色またはその他の診断法と組み合わせて、分子プロファイリングビジネスの方法および組成物を使用して、アッセイされる。他の場合において、試料は、ルーチンの細胞学的染色またはその他の診断法を事前に使用することなく、分子プロファイリングビジネスの方法および組成物を使用して直接アッセイされる。いくつかの場合において、単独の、または細胞診もしくはその他のアッセイ法と組み合わせられた、分子プロファイリングの結果により、当業者は、対象を診断し、対象のための処置を提案することが可能となる。いくつかの場合において、分子プロファイリングは、腫瘍または推測された腫瘍を、悪性変化について、経時的にモニタリングするため、単独で、または細胞診と組み合わせて使用され得る。

【0106】

10

本発明の分子プロファイリング法は、対象からの一つまたは複数の生物学的試料からタンパク質または核酸（RNAもしくはDNA）を抽出し分析することを提供する。いくつかの場合において、核酸は得られた試料全体から抽出される。他の場合において、核酸は得られた試料の一部から抽出される。いくつかの場合において、核酸抽出に供されない試料の一部が、細胞学的調査または免疫組織化学的検査により分析されてもよい。生物学的試料からのRNAまたはDNAの抽出の方法は、当技術分野において周知であり、例えば、Qiagen DNeasy Blood and Tissue KitまたはQiagen EZ1 RNA Universal Tissue Kitのような市販のキットの使用を含む。

【0107】

20

(i) 組織型フィンガープリント法

多くの場合において、本発明の方法により提供されるもののような生物学的試料は、甲状腺濾胞細胞、甲状腺髓質細胞、血球（RBC、WBC、血小板）、平滑筋細胞、管、管細胞、基底膜、管腔、小葉、脂肪組織、皮膚細胞、上皮細胞、ならびに浸潤するマクロファージおよびリンパ球を含むが、これらに限定されない、いくつかの細胞型または組織を含有している可能性がある。甲状腺試料の場合において、生物学的試料の診断的分類は、例えば、主として、濾胞細胞（乳頭癌、濾胞癌、および甲状腺未分化癌のような濾胞細胞に由来する癌のため）、ならびに髓質細胞（髓様癌のため）を含み得る。甲状腺生検材料からの不確定の生物学的試料の診断は、いくつかの場合において、濾胞性腺腫か濾胞癌かの区別に関する。従って、例えば、濾胞細胞の分子プロファイリングシグナルは、希釈され、試料中に存在する他の細胞型と混同される可能性がある。同様に、その他の組織または器官からの生物学的試料の診断は、その試料中に存在し得る多くの細胞型のうちの一つまたは複数の細胞型の診断をしばしば含む。

30

【0108】

40

いくつかの態様において、本発明の方法は、他の細胞型および／または組織型の存在による希釈効果に対して、もたらされた分子プロファイリングサインが較正され得るよう、特定の生物学的試料の細胞構成を確定するアップフロント（upfront）の方法を提供する。一つの局面において、このアップフロントの方法は、試料の各成分について、アップフロントのミニ分類器（mini-classifier）として、既知の細胞および／または組織に特異的な遺伝子発現パターンの組み合わせを使用するアルゴリズムである。このアルゴリズムは、組成に従って試料を予備分類し、次いで、補正／ノーマライゼーション因子を適用するために、この分子フィンガープリントを使用する。次いで、このデータは、いくつかの場合において、最終診断を支援するためにその情報を取り込むと考えられる最終分類アルゴリズムに送り込まれる。

【0109】

50

(ii) ゲノム分析

いくつかの態様において、ゲノム配列分析または遺伝子型決定が、試料に対して実施され得る。この遺伝子型決定は、一塩基多型（SNP）分析、挿入欠失多型（InDel）分析、タンデムリピート数（variable number of tandem repeat）（VNTR）分析、コピー数多型（copy number variation）（CNV）分析、または部分ゲノム配列決定もしくは全ゲノム配列決定のような変異分析の形態をとり得る。ゲノム分析を実施する方法は、当技術分野にお

いて公知であり、例えば、米国特許第7,335,762号；同第7,323,305号；同第7,264,929号；同第7,244,559号；同第7,211,390号；同第7,361,488号；同第7,300,788号；および同第7,280,922号に記載された方法であるがこれらに限定されない、ハイスループット配列決定を含み得る。ゲノム分析を実施する方法には、下記のようなマイクロアレイ法も含まれ得る。いくつかの場合において、ゲノム分析は、本明細書中の他の方法のいずれかと組み合わせて実施されてもよい。例えば、試料を得て、妥当性について試験し、一定分量へ分割することができる。次いで、一つまたは複数の一定分量を、本発明の細胞学的分析のために使用し、一つまたは複数を、本発明のRNA発現プロファイリング法のために使用し、一つまたは複数を、ゲノム分析のために使用することができる。当業者が、本明細書に明示的には提供されていないその他の分析を生物学的試料に対して実施することを望み得ることを、本発明が予想していることが、さらに理解される。

10

【0110】

(iii) 発現産物プロファイリング

遺伝子発現プロファイリングは、細胞機能の全体像を作出するための一回に数千個の遺伝子の活性（発現）の測定である。これらのプロファイルは、例えば、活発に分裂している細胞を区別するか、または細胞が特定の処置に対してどのように反応するかを示すことができる。この種の多くの実験は、ゲノム全体、即ち、特定の細胞に存在する全ての遺伝子を同時に測定する。マイクロアレイ技術は、以前に同定された標的遺伝子の相対活性を測定する。遺伝子発現の連続分析（serial analysis of gene expression）（SAGE、SuperSAGE）のような配列に基づく技術も、遺伝子発現プロファイリングのために使用される。SuperSAGEは、特に正確であり、予定されたセットのみならず、任意の活性遺伝子を測定することができる。RNA、mRNA、または遺伝子発現プロファイリングマイクロアレイにおいては、ある種の処置、疾患、および発達段階の、遺伝子発現に対する効果を研究するために、数千個の遺伝子の発現レベルが同時にモニタリングされる。例えば、マイクロアレイに基づく遺伝子発現プロファイリングは、本明細書に開示された遺伝性障害、または異なる癌の型、癌の亜型、および／もしくは癌の病期の遺伝子サインを特徴決定するために使用され得る。

20

【0111】

発現プロファイリング実験は、しばしば、2つまたはそれ以上の実験条件において発現されたmRNAのような遺伝子発現産物の相対量の測定を含む。これは、遺伝子発現産物の特定の配列の改変されたレベルが、おそらくホメオスタシス応答または病理学的状態を示す、遺伝子発現産物によりコードされたタンパク質の必要性の変化を示唆するためである。例えば、乳癌細胞が、特定の膜貫通型受容体に関連したmRNAを、正常細胞より高いレベルで発現する場合、この受容体は乳癌において役割を果たしている可能性がある。本発明の一つの局面は、遺伝性障害および癌、特に、甲状腺癌についての重要な診断試験の一部として、プロファイリング遺伝子発現を包含する。

30

【0112】

いくつかの態様において、RIN 5.0を有するRNA試料は、典型的には、多重遺伝子マイクロアレイ分析のためには使用されず、その代り、単一遺伝子のRT-PCRアッセイ法および／またはTaqManアッセイ法のためにのみ使用され得る。マイクロアレイアッセイ法、RT-PCRアッセイ法、およびTaqManアッセイ法は、関連分野において周知の標準的な分子的技術である。TaqManプローブに基づくアッセイ法は、遺伝子発現アッセイ法、DNA定量化、およびSNP遺伝子型決定を含むリアルタイムPCRにおいて広く使用されている。

40

【0113】

一つの態様において、当技術分野において公知である癌に関連した遺伝子発現産物が、プロファイリングされる。そのような遺伝子発現産物は、記載されており、米国特許第7,358,061号；同第7,319,011号；同第5,965,360号；同第6,436,642号；ならびに米国特許出願第2003/0186248号、同第2005/0042222号、同第2003/0190602号、同第2005/0048533号、同第2005/0266443号、同第2006/0035244号、同第2006/083744号、同第2006/0088851号、同第2006/0105360号、同第2006/0127907号、同第2007/0020657号、同第2007/0037186号、

50

同第2007/0065833号、同第2007/0161004号、同第2007/0238119号、および同第2008/0044824号に詳述された遺伝子発現産物を含むが、これらに限定されない。

【0114】

癌に関連したその他の遺伝子発現産物が公知になる可能性があること、および本明細書に記載された方法および組成物が、そのような新たに発見される遺伝子発現産物を含み得ることが、さらに予想される。

【0115】

本発明のいくつかの態様において、遺伝子発現産物は、代替的にまたは付加的に、発現レベル以外の特徴について分析される。例えば、遺伝子産物は、選択的スプライシングについて分析され得る。選択的エキソン使用とも呼ばれる選択的スプライシングは、一次遺伝子転写物、pre-mRNAのエキソンが分離され、再接続され（即ち、スプライシングされ）、同一遺伝子から選択的なmRNA分子が產生されるような、RNAスプライシング変動機序である。いくつかの場合において、これらの直鎖状の組み合わせは、次いで、翻訳の過程を受け、そこで、同一遺伝子からの選択的なmRNA分子の各々により、アミノ酸の特定の独特的配列が指定され、タンパク質アイソフォームがもたらされる。選択的スプライシングには、異なるエキソンもしくは異なるエキソンセットの取り込み、ある種のイントロンの保持、または選択的スプライスドナー部位およびアクセプター部位の使用が含まれ得る。

10

【0116】

いくつかの場合において、良性試料、悪性試料、または正常試料について診断的な選択的スプライシングを示すマーカーまたはマーカーのセットが同定され得る。さらに、選択的スプライシングマーカーは、特定の型の甲状腺癌（例えば、乳頭癌、濾胞癌、髓様癌、または未分化癌）についての診断をさらに提供し得る。当技術分野において公知の悪性病変について診断的な選択的スプライシングマーカーには、米国特許第6,436,642号にリスト化されたものが含まれる。

20

【0117】

いくつかの場合において、miRNAおよびsiRNAのような、タンパク質をコードしないRNA発現産物の発現が、本発明の方法によりアッセイされ得る。これらのRNA発現産物の差次的な発現は、良性試料、悪性試料、または正常試料を示し得る。これらのRNA発現産物の差次的な発現は、良性試料（例えば、FA、NHP、LCT、BN、CN、HA）または悪性試料（例えば、FC、PTC、FVPTC、ATC、MTC）の亜型をさらに示し得る。いくつかの場合において、miRNA、siRNA、選択的スプライスRNAアイソフォーム、mRNA、またはそれらの任意の組み合わせの差次的な発現が、本発明の方法によりアッセイされ得る。

30

【0118】

いくつかの態様において、本発明は、各々、甲状腺内の病態を特徴決定し、除外し、診断するのに必要とされるバイオマーカーの16のパネルを提供する。16のパネルは、以下の通りである。

40

- 1 正常甲状腺 (NML)
- 2 リンパ性自己免疫性甲状腺炎 (LCT)
- 3 結節性過形成 (NHP)
- 4 濾胞性甲状腺腺腫 (FA)
- 5 ハースル細胞甲状腺腺腫 (HC)
- 6 副甲状腺 (非甲状腺組織)
- 7 甲状腺未分化癌 (ATC)
- 8 甲状腺濾胞癌 (FC)
- 9 ハースル細胞甲状腺癌 (HC)
- 10 甲状腺乳頭癌 (PTC)
- 11 濾胞型乳頭癌 (FVPTC)
- 12 甲状腺髓様癌 (MTC)
- 13 腎癌の甲状腺への転移
- 14 黒色腫の甲状腺への転移

50

15 B細胞リンパ腫の甲状腺への転移

16 乳癌の甲状腺への転移

【0119】

各パネルには、甲状腺内の所定の病態を特徴決定し、除外し、診断するのに必要とされるバイオマーカーのセットが含まれる。パネル1~6は良性病態を表す。パネル7~16は悪性病態を表す。

【0120】

甲状腺およびその内部に見出される各病態の生物学的性質は、あるパネルの複数のバイオマーカーと、別のパネルの複数のバイオマーカーとの間に、重複性が存在することを示唆する。各病態亜型を反映して、各診断パネルは、不均一であり、別のパネルのバイオマーカーと半重複性である。不均一性および重複性は、所定のFNAで採取された組織の生物学、および各病態亜型を相互に特徴決定する遺伝子発現の差を反映する。

10

【0121】

一つの局面において、本発明の診断的な価値は、(i)あるパネルの一つまたは複数のマーカーと、(ii)付加的な各パネルの一つまたは複数のマーカーとの比較にある。本発明の利用可能性は、他の手段により現在可能であるより高い、FNAにおける診断精度である。

【0122】

いくつかの態様において、各パネル内のバイオマーカーは交換可能（モジュラー）である。新たな病理学的亜型（例えば、他の器官からの甲状腺への転移の新たな症例報告）の定義に適応させるために、全てのパネルの複数のバイオマーカーを、置換し、増加させ、低下させ、または改善することができる。本発明は、甲状腺に見出される16の不均一な、半重複性の、別個の病態の各々を定義する複数のマーカーを記載する。16の全てのパネルが、正確な診断に到達するために必要とされ、所定のパネルは、単独では、真の診断的決定をなすために十分な力を有していない。いくつかの態様において、他の全ての病態亜型を定義する複数のバイオマーカーを調査する環境において、各パネルの複数のバイオマーカーが依然として所定の病態亜型を定義するよう、各パネルのバイオマーカーが、バイオマーカーの適当な組み合わせと交換される。

20

【0123】

本発明の方法および組成物は、1個、2個、3個、4個、5個、6個、7個、8個、9個、10個、11個、12個、13個、14個、15個、または16個、またはそれ以上のバイオマーカーパネルから選択される遺伝子を有することができ、各バイオマーカーパネルからの1個、2個、3個、4個、5個、6個、7個、8個、9個、10個、15個、20個、25個、30個、35個、40個、45個、50個、またはそれ以上の遺伝子発現産物を任意の組み合わせで有することができる。いくつかの態様において、組み合わせられた遺伝子のセットは、70%、75%、80%、85%、86%、87%、88%、89%、90%、91%、92%、93%、94%、95%、96%、97%、98%、99%、もしくは99.5%より高い特異度もしくは感度、または少なくとも95%、95.5%、96%、96.5%、97%、97.5%、98%、98.5%、99%、99.5%、もしくはそれ以上の陽性適中率もしくは陰性適中率を与える。

30

【0124】

(1) 発現産物レベルを測定するインビトロの方法

遺伝子発現産物レベルを測定するための一般的な方法は、当技術分野において公知であり、以下のうちの一つまたは複数を含み得るが、これらに限定されない：付加的な細胞学的アッセイ法、特定のタンパク質もしくは酵素活性についてのアッセイ法、タンパク質もしくはRNAを含む特定の発現産物もしくは特定のRNAスプライスバリアントについてのアッセイ法、インサイチューハイブリダイゼーション、全ゲノム発現分析もしくは部分ゲノム発現分析、マイクロアレイハイブリダイゼーションアッセイ法、SAGE、酵素結合免疫吸着アッセイ法、質量分析、免疫組織化学的検査、またはプロットティング。遺伝子発現産物レベルは、全mRNAのような内部標準、またはグリセルアルデヒド3リン酸デヒドロゲナーゼもしくはチューブリンを含むが、これらに限定されない、特定の遺伝子の発現レベルに対

40

50

してノーマライズされ得る。

【0125】

本発明のいくつかの態様において、遺伝子発現産物マーカーおよび選択的スプライシングマーカーは、例えば、Affymetrixアレイ、cDNAマイクロアレイ、オリゴヌクレオチドマイクロアレイ、スポットマイクロアレイ（spotted microarray）、またはBiorad、Agilent、もしくはEppendorfからのその他のマイクロアレイ製品を使用したマイクロアレイ分析により決定され得る。マイクロアレイは、一回の実験でアッセイされ得る多数の遺伝子または選択的スプライスバリエントを含有し得るため、特定の利点を提供する。いくつかの場合において、マイクロアレイ装置は、ヒトゲノムもしくはトランスクリプトーム全体、またはそれらの実質的な画分を含有しており、遺伝子発現パターン、ゲノム配列、または選択的スプライシングの網羅的な評価を可能にすることができます。マーカーは、Sambrook Molecular Cloning a Laboratory Manual 2001およびBaldi, P., and Hatfield, W.G., DNA Microarrays and Gene Expression 2002に記載されるような標準的な分子生物学およびマイクロアレイ分析技術を使用して見出され得る。

【0126】

マイクロアレイ分析は、当技術分野において公知の方法を使用して、生物学的試料（例えば、生検材料または細針吸引液）から核酸を抽出し精製することから始まる。発現および選択的スプライシングの分析のためには、DNAからRNAを抽出しつゝまたは精製することが有利であり得る。tRNAおよびrRNAのようなその他の型のRNAからmRNAを抽出しつゝまたは精製することが、さらに有利であり得る。

【0127】

精製された核酸は、例えば、逆転写、PCR、ライゲーション、化学反応、または他の技術により、蛍光、放射性核種、またはビオチンもしくはジゴキシンのような化学的標識により、さらに標識され得る。標識は、直接であってもよいしまたは間接的であってもよく、カップリング段階をさらに必要としてもよい。カップリング段階は、例えば、アミノアリル-UTPおよび（シアニン色素のような）NHSアミノ反応性色素を使用して、ハイブリダイゼーション前に行われてもよいし、または、例えば、ビオチンおよび標識されたストレプトアビジンを使用して、後に行われてもよい。（例えば、1 aaUTP : 4 TTP比で）修飾されたヌクレオチドを、通常のヌクレオチドと比較して、より低い率で、典型的には、60塩基毎に1塩基となるよう、酵素的に付加する（分光光度計により測定される）。次いで、aaDNAを、例えば、カラムまたはダイアフィルトレーション（diafiltration）装置により精製することができる。アミノアリル基は、核酸塩基に付着した長いリンカー上のアミン基であり、それが反応性標識（例えば、蛍光色素）と反応する。

【0128】

次いで、標識された試料を、SDS、SSC、硫酸デキストラン、（COT1 DNA、サケ精子DNA、ウシ胸腺DNA、PolyA、またはPolyTのような）プロッキング剤、デンハート液、ホルムアミド、またはそれらの組み合わせを含有し得るハイブリダイゼーション溶液と混合することができる。

【0129】

ハイブリダイゼーションプローブとは、プローブ内の配列に相補的なヌクレオチド配列（DNA標的）の、DNA試料またはRNA試料における存在を検出するために使用される、可変の長さのDNAまたはRNAの断片である。従って、プローブは、プローブと標的との間の相補性によりプローブ-標的塩基対合を可能にする塩基配列を有する一本鎖核酸（DNAまたはRNA）にハイブリダイズする。標識されたプローブを、まず、（加熱により、またはアルカリ性条件下で）一本のDNA鎖へと変性させ、次いで、標的DNAにハイブリダイズさせる。

【0130】

プローブの標的配列へのハイブリダイゼーションを検出するため、プローブは分子マーカーによりタグ付け（または標識）される。一般的に使用されるマーカーは、³²P、または非放射性の抗体に基づくマーカーであるジゴキシゲニンである。次いで、オートラジオグラフィーまたはその他の画像化技術を介して、ハイブリダイズしたプローブを可視化す

10

20

30

40

50

ことにより、プローブと中程度～高度の配列類似性を有するDNA配列またはRNA転写物が検出される。中程度または高度の類似性を有する配列の検出は、どの程度ストリンジントなハイブリダイゼーション条件が適用されたかに依り、高いハイブリダイゼーション温度およびハイブリダイゼーション緩衝液中の低い塩のような高ストリンジエンシーは、高度に類似している核酸配列間のハイブリダイゼーションのみを可能にするが、より低い温度および高い塩のような低ストリンジエンシーは、配列の類似性が比較的低くてもハイブリダイゼーションを可能にする。DNAマイクロアレイにおいて使用されるハイブリダイゼーションプローブとは、コーティングされたガラススライドまたは遺伝子チップのような不活性表面に共有結合的に付着しており、かつ可動性のcDNA標的がハイブリダイズせられるDNAをさす。

10

【0131】

次いで、この混合物を、熱または化学的手段により変性させ、マイクロアレイのポートに添加することができる。次いで、孔を密封し、例えば、マイクロアレイが回転により混合されるハイブリダイゼーションオーブンで、またはミキサーで、マイクロアレイをハイブリダイズさせることができる。一晩のハイブリダイゼーションの後、非特異的な結合を（例えば、SDSおよびSSCにより）洗浄除去することができる。次いで、マイクロアレイを乾燥させ、レーザーが色素を励起し、検出器がその放出を測定する専門の機械でスキャンすることができる。画像にテンプレートグリッドを重ね合わせ、フィーチャー（数ピクセルが一つのフィーチャーを作成する）の強度を定量化することができる。

20

【0132】

様々なキットが、本発明の方法の核酸の増幅およびプローブ生成のために使用され得る。本発明において使用され得るキットの例には、Nugen WT-Ovation FFPEキット、Nugen Exon ModuleおよびFrag/Label moduleを含むcDNA増幅キットが含まれるが、これらに限定されない。NuGEN WT-Ovation（商標）FFPE System V2は、FFPE試料に由来する小さな分解されたRNAの広大なアーカイブに対して、包括的な遺伝子発現分析を実施することを可能にする、全トランスクリプトーム増幅システムである。このシステムは、50ng程度の少ない全FFPE RNAの増幅のために必要とされる試薬およびプロトコルから構成されている。プロトコルは、qPCR、試料アーカイビング（archiving）、断片化、および標識のために使用され得る。増幅されたcDNAは、NuGENのFL-Ovation（商標）cDNA Biotin Module V2を使用したGeneChip（登録商標）3'発現アレイ分析のため、2時間未満で断片化され標識され得る。Affymetrix GeneChip（登録商標）Exon and Gene STアレイを使用した分析のためには、増幅されたcDNAは、WT-Ovation Exon Moduleと共に使用され、次いで、断片化され、FL-Ovation（登録商標）cDNA Biotin Module V2を使用して標識される。Agilentアレイでの分析のためには、増幅されたcDNAは、NuGENのFL-Ovation（商標）cDNA Fluorescent Moduleを使用して、断片化され、標識され得る。Nugen WT-Ovation FFPEキットに関するさらなる情報は、<http://www.nugeninc.com/nugen/index.cfm/products/amplification-systems/wt-ovation-ffpe/>で入手され得る。

30

【0133】

いくつかの態様において、Ambion WT-expressionキットが使用され得る。Ambion WT-expressionキットは、別のリボソームRNA（rRNA）枯渇工程なしに、直接、全RNAの増幅を可能にする。Ambion（登録商標）WT Expression Kitによると、全RNA 50ng程度の小さな試料が、Affymetrix（登録商標）GeneChip（登録商標）Human Exon 1.0 ST Array、Mouse Exon 1.0 ST Array、およびRat Exon 1.0 ST Array、ならびにHuman Gene 1.0 ST Array、Mouse Gene 1.0 ST Array、およびRat Gene 1.0 ST Array上で分析され得る。より低い入力RNAの必要性、およびAffymetrix（登録商標）法とTaqMan（登録商標）リアルタイムPCRデータとの間の高い一致に加えて、Ambion（登録商標）WT Expression Kitは、感度の有意な増加を提供する。例えば、Ambion（登録商標）WT Expression Kitでは、増加した信号雑音比の結果として、エキソンレベルで、バックグラウンドを超えて検出されるより多数のプローブセットが、得られ得る。Ambion WT-expressionキットは、付加的なAffymetrix標識キットと組み合わせて使用され得る。

40

50

【 0 1 3 4 】

いくつかの態様において、AmpTec Trinucleotide Nano mRNA Amplificationキット(6299-A15)が、本発明の方法において使用され得る。ExpressArt(登録商標)TRinucleotide mRNA amplification Nanoキットは、1ng~700ngという広い範囲の入力全RNAに適している。入力全RNAの量および必要とされるaRNAの収量に依って、それは1ラウンド(入力>300ng 全RNA)または2ラウンド(最少入力量1ng 全RNA)で使用され得、aRNA収量は>10μgの範囲である。AmpTecの所有するTRinucleotideプライミング技術は、rRNAに対する選択と組み合わせて、(普遍的な真核生物3'ポリ(A)配列と無関係の)mRNAの優先的な増幅をもたらす。AmpTec Trinucleotide Nano mRNA Amplificationキットに関するさらなる情報は、<http://www.amp-tec.com/products.htm>で入手され得る。このキットは、cDNA変換キットおよびAffymetrix標識キットと組み合わせて使用され得る。

10

【 0 1 3 5 】

次いで、生データは、例えば、バックグラウンド強度を差し引き、次いで、強度を割つて、各チャンネル上のフィーチャーの全強度または参照遺伝子の強度を等しくすることによりノーマライズされ得る。次いで、全ての強度についてのt値が計算され得る。Affymetrixチップのためのより高度の方法には、z回帰、loess回帰、およびlowess回帰、ならびにRMA(robust multichip analysis)が含まれる。

【 0 1 3 6 】**(2) 遺伝子発現産物レベルを測定するインビボ方法**

本発明の方法および組成物は、最初に試料を得ることなく、個体における遺伝子発現産物レベルを測定するために使用され得ることが、さらに予想される。例えば、遺伝子発現産物レベルは、インビボで、即ち、個体において測定され得る。インビボで遺伝子発現産物レベルを測定する方法は、当技術分野において公知であり、CAT、MRI；NMR；PET；および抗体または分子ビーコンを使用したタンパク質またはRNAのレベルの光学イメージング、蛍光イメージング、またはバイオフォトニック(biophotonic)イメージングのような画像化技術を含む。そのような方法は、参照により本明細書に組み入れられるUS 2008/0044824、US 2008/0131892に記載されている。インビボ分子プロファイリングのための付加的な方法は、本発明の範囲に含まれることが企図される。

20

【 0 1 3 7 】

本発明のいくつかの態様において、分子プロファイリングには、試料または試料の一部を、本発明の一つまたは複数のプローブに結合させる工程が含まれる。適当なプローブは、測定すべき試料の成分、即ち、遺伝子産物に結合するものであり、抗体または抗体断片、アプタマー、核酸、およびオリゴヌクレオチドを含むが、これらに限定されない。本発明のプローブへの試料の結合は、一つまたは複数のプローブに結合する物質の試料間の変換を表す。分子プロファイリングに基づき癌を診断する方法は、試料の遺伝子発現産物(即ち、mRNAまたはタンパク質)およびレベルを検出する工程、試料と対照との間の差次的な遺伝子発現産物レベルを測定するために、それを正常対照試料における量と比較する工程；ならびに一つまたは複数の差次的な遺伝子発現産物レベルを、本発明の訓練されたアルゴリズムへ入力することにより、試験試料を分類する工程；本発明の選択および分類のアルゴリズムを使用して、試料の分類をバリデートする工程；ならびに遺伝性障害またはある型の癌について陽性として試料を同定する工程をさらに含む。

30

【 0 1 3 8 】**(i) 試料の正常との比較**

個体により提供された試料(試験試料)に対して実施された分子プロファイリングの結果は、正常であることが既知であるかまたは正常であると推測される生物学的試料と比較され得る。正常試料とは、癌、疾患、もしくは状態がないか、もしくはないと期待される試料、または分子プロファイリングアッセイ法において癌、疾患、もしくは状態についての試験結果が陰性であると考えられる試料である。正常試料は、試験される個体とは異なる個体に由来してもよいし、または同一の個体に由来してもよい。いくつかの場合において、正常試料は、例えば、試験される個体のような個体の頬拭き取り検体から得られた試

40

50

料である。正常試料は、試験試料と同時にアッセイされてもよいし、または異なる時点でアッセイされてもよい。

【0139】

試験試料に対するアッセイ法の結果は、正常試料に対する同一アッセイ法の結果と比較され得る。いくつかの場合において、正常試料に対するアッセイ法の結果は、データベース由来または参照由来である。いくつかの場合において、正常試料に対するアッセイ法の結果は、既知であるか、または当業者により一般に認められている値である。いくつかの場合において、比較は定性的である。他の場合において、比較は定量的である。いくつかの場合において、定性的または定量的な比較には、以下のうちの一つまたは複数が含まれ得るが、これらに限定されない：蛍光値、スポット強度、吸光度の値、化学発光シグナル、ヒストグラム、臨界閾値、統計的有意性の値、遺伝子産物発現レベル、遺伝子産物発現レベルの変化、選択的エキソン使用、選択的エキソン使用の変化、タンパク質レベル、DNA多型、コピー数多型、一つもしくは複数のDNAマーカーもしくは領域の存在もしくは欠如の指標、または核酸配列の比較。

10

【0140】

(ii) 結果の評価

いくつかの態様において、分子プロファイリング結果は、遺伝子産物発現レベルまたは選択的エキソン使用を、悪性、悪性の型（例えば、濾胞癌）、良性、または正常性（例えば、疾患もしくは状態がない）のような特定の表現型と相關させるため、当技術分野において公知の方法を使用して、評価される。いくつかの場合において、指定された統計的信頼水準が、診断の信頼水準を提供するために決定され得る。例えば、90%より高い信頼水準が、悪性、悪性の型、または良性の有用な予測因子であり得ると決定されてもよい。その他の態様において、より厳密な、または厳密でない信頼水準が選ばれてもよい。例えば、およそ70%、75%、80%、85%、90%、95%、97.5%、99%、99.5%、または99.9%の信頼水準が、有用な表現型予測因子として選ばれ得る。提供された信頼水準は、いくつかの場合において、試料の品質、データの品質、分析の品質、使用される特定の方法、および分析される遺伝子発現産物の数と関連し得る。診断を提供するための指定された信頼水準は、予想される偽陽性もしくは偽陰性の数および／またはコストに基づき選ばれ得る。指定された信頼水準を達成するため、または診断力を有するマーカーを同定するためのパラメータを選ぶ方法には、受信者動作特徴曲線 (Receiver Operator Curve) 分析 (ROC)、従法線 (binormal) ROC、主成分分析、部分最小二乗法による分析、特異値分解 (singular value decomposition)、LASSO (least absolute shrinkage and selection operator) 分析、最小角度回帰 (least angle regression)、および閾値勾配による正則化 (threshold gradient directed regularization) 法が含まれるが、これらに限定されない。

20

【0141】

(iii) データ分析

生の遺伝子発現レベルおよび選択的スプライシングのデータは、いくつかの場合において、データをノーマライズし、かつまたはデータの信頼性を改善するために設計されたアルゴリズムの適用を通して改善され得る。本発明のいくつかの態様において、データ分析は、処理される個々のデータポイントの数が多いため、本明細書に記載された様々なアルゴリズムの適用のために、コンピュータ、またはその他の装置、機械、もしくは機器を必要とする。「機械学習アルゴリズム」とは、遺伝子発現プロファイルを特徴決定するために使用される、「分類器」としても当業者に公知の、計算に基づく予測方法論をさす。例えば、マイクロアレイに基づくハイブリダイゼーションアッセイ法により得られた、ある種の発現レベルに対応するシグナルは、典型的には、発現プロファイルを分類するためのアルゴリズムに供される。教師あり学習は、一般に、クラスの区別を認識するため分類器を「訓練」し、次いで、独立した試験セットに対する分類器の精度を「試験」することを含む。新たな未知の試料については、試料が属するクラスを予測するために分類器が使用され得る。

30

【0142】

40

50

いくつかの場合において、ロバストマルチアレイアベレージ (robust multi-array Average) (RMA) 法が、生データをノーマライズするために使用され得る。RMA法は、多数のマイクロアレイ上のマッチする各細胞について、バックグラウンド補正された強度を計算することから始まる。バックグラウンド補正された値は、Irizarry et al. *Biostatistics* 2003 April 4 (2): 249-64により記載されるように、正の値に制限される。バックグラウンド補正の後、次いで、バックグラウンド補正されたマッチする各細胞の強度の底を2とする対数が得られる。次いで、各入力アレイおよび各プローブ発現値について、アレイパーセンタイルプローブ値が全アレイパーセンタイル点の平均値と交換される、クワントイル (quantile) ノーマライゼーション法を使用して、各マイクロアレイ上のバックグラウンド補正され対数変換されたマッチする強度が、ノーマライズされる。この方法は、Bo Istad et al. *Bioinformatics* 2003により、より完璧に記載されている。クワントイルノーマライゼーションの後、次いで、ノーマライズされたデータを、各マイクロアレイ上の各プローブについて発現測定値を得るために、線形モデルにフィットさせることができる。次いで、チューキーのメディアンポリッシュ (median polish) アルゴリズム (Tukey, J. W., *Exploratory Data Analysis.* 1977) が、ノーマライズされたプローブセットデータについて、対数スケールの発現レベルを測定するために使用され得る。

【0143】

データは、疑わしいと見なされ得るデータを除去するために、さらに、フィルタリングされ得る。いくつかの態様において、約4個、5個、6個、7個、または8個より少ないゲアノシン+シトシンヌクレオチドを有するマイクロアレイプローブに由来するデータは、異常なハイブリダイゼーションの傾向または二次構造上の問題のため、信頼性が低いと見なされ得る。同様に、約12個、13個、14個、15個、16個、17個、18個、19個、20個、21個、または22個より多いゲアノシン+シトシンヌクレオチドを有するマイクロアレイプローブに由来するデータは、異常なハイブリダイゼーションの傾向または二次構造上の問題のため、信頼性が低いと見なされ得る。

【0144】

いくつかの場合において、信頼性が低いプローブセットは、一連の参照データセットに対してプローブセットの信頼性をランク付けすることにより、データ分析から排除するために選択され得る。例えば、RefSeqまたはEnsembl (EMBL) は、極めて高品質の参照データセットと見なされる。RefSeq配列またはEnsembl配列とマッチするプローブセットからのデータは、いくつかの場合において、予想される高い信頼性のため、マイクロアレイ分析実験に特に含められ得る。同様に、信頼性の低い参照データセットとマッチするプローブセットからのデータは、さらなる分析から排除されてもよいし、または含めるか否かを個別的に検討されてもよい。いくつかの場合において、EnsemblハイスループットcDNA (HTC) および / またはmRNA参照データセットが、別々に、または共に、プローブセットの信頼性を判定するために使用され得る。他の場合において、プローブセットの信頼性はランク付けされ得る。例えば、例えば、RefSeq、HTC、およびmRNAのような参照データセット全てに完璧にマッチするプローブおよび / またはプローブセットは、最も信頼性が高いとしてランク付けされ得る(1)。さらに、三つの参照データセットのうちの2つとマッチするプローブおよび / またはプローブセットは、二番目に信頼性が高いとしてランク付けされ得(2)、三つの参照データセットのうちの一つとマッチするプローブおよび / またはプローブセットは、その次にランク付けされ得(3)、参照データセットとマッチしないプローブおよび / またはプローブセットは、最後にランク付けされ得る(4)。次いで、プローブおよびまたはプローブセットは、それらのランク付けに基づき、分析に含められるか、または排除され得る。例えば、さらなる分析のために、カテゴリー1、2、3、および4のプローブセットからのデータを含めることを選んでもよいし；カテゴリー1、2、および3のプローブセットからのデータを含めることを選んでもよいし；カテゴリー1および2のプローブセットからのデータを含めることを選んでもよいし；またはカテゴリー1のプローブセットからのデータを含めることを選んでもよい。別の例において、プローブセットは、参照データセットエントリーに対する塩基対ミスマッチの数によりランク付けされ

10

20

30

40

50

てもよい。分子プロファイリングのための所定のプローブおよび／またはプローブセットの信頼性を査定するための多くの方法が、当技術分野において理解されており、本発明の方法は、これらの方法およびそれらの組み合わせのうちの任意のものを包含することが理解される。

【 0 1 4 5 】

本発明のいくつかの態様において、プローブセットからのデータは、発現されないか、または検出不可能なレベルで（バックグラウンド以下で）発現される場合、分析から排除され得る。プローブセットは、任意の群について、以下のような場合に、バックグラウンドを超えて発現されていると判断される。

標準正規分布のT0から無限大までの積分 < 有意 (0.01)

10

ここで、

$$T0 = \text{Sqr}(\text{GroupSize})(T-P)/\text{Sqr}(Pvar),$$

GroupSize = 群内のCELファイルの数、

T = プローブセット内のプローブスコアの平均値、

P = GC含量のバックグラウンドプローブ平均値の平均値、および

Pvar = バックグラウンドプローブ分散の総計/(プローブセット内のプローブの数)²。

【 0 1 4 6 】

これは、群内のプローブセットの平均が、プローブセットについての中心的バックグラウンドとしての、プローブセットのプローブと類似のGC含量のバックグラウンドプローブの平均発現より大きい、プローブセットを含めることを可能にし、かつこれは、バックグラウンドプローブセット分散からプローブセット分散を導出することを可能にする。

20

【 0 1 4 7 】

本発明のいくつかの態様において、分散を示さないかまたは低い分散を示すプローブセットは、さらなる分析から排除され得る。低分散プローブセットは、カイ二乗検定を介して、分析から排除される。プローブセットは、その変換された分散が、(N-1)自由度を有するカイ二乗分布の99パーセント信頼区間の左側にある場合、低分散であると見なされる。

(N-1)* プローブセット分散/(遺伝子プローブセット分散) ~ Chi-Sq(N-1)

ここで、Nは入力CELファイルの数であり、(N-1)はカイ二乗分布についての自由度であり、「遺伝子についてのプローブセット分散」は遺伝子全体のプローブセット分散の平均値である。

30

【 0 1 4 8 】

本発明のいくつかの態様において、所定の遺伝子クラスタまたは転写物クラスタについてのプローブセットは、GC含量、信頼性、分散等についての既に記載されたフィルタリング工程を通過するプローブを、最少数より少なく含有している場合、さらなる分析から排除され得る。例えば、いくつかの態様において、所定の遺伝子クラスタまたは転写物クラスタについてのプローブセットは、約1個、2個、3個、4個、5個、6個、7個、8個、9個、10個、11個、12個、13個、14個、15個未満、または約20個未満のプローブを含有している場合、さらなる分析から排除され得る。

【 0 1 4 9 】

遺伝子発現レベルまたは選択的スプライシングのデータ分析の方法は、さらに、本明細書に提供されるようなフィーチャー選択アルゴリズムの使用を含み得る。本発明のいくつかの態様において、フィーチャー選択は、LIMMAソフトウェア・パッケージ (Smyth, G. K. . (2005). Limma: linear models for microarray data. In: Bioinformatics and Computational Biology Solutions using R and Bioconductor, R. Gentleman, V. Carey, S. Dudoit, R. Irizarry, W. Huber (eds.), Springer, New York, pages 397-420) の使用により提供される。

40

【 0 1 5 0 】

遺伝子発現レベルおよびまたは選択的スプライシングのデータ分析の方法は、さらに、予備分類 (pre-classifier) アルゴリズムの使用を含んでいてもよい。例えば、アルゴリ

50

ズムは、組成に依って試料を予備分類し、次いで、補正ノーマライゼーション係数を適用するために、細胞特異的な分子フィンガープリントを使用し得る。次いで、このデータ／情報は、最終診断を支援するため、その情報を取り込むと考えられる最終分類アルゴリズムに送り込まれ得る。

【0151】

遺伝子発現レベルおよびまたは選択的スプライシングのデータ分析の方法は、さらに、本明細書に提供されるような分類アルゴリズムの使用を含んでいてもよい。本発明のいくつかの態様において、サポートベクターマシン(SVM)アルゴリズム、ランダムフォレストアルゴリズム、またはそれらの組み合わせが、マイクロアレイデータの分類のために提供される。いくつかの態様において、試料を区別するか(例えば、良性か悪性か、正常か悪性か)、または亜型を区別する(例えば、PTCかFVPTCか)同定されたマーカーが、統計的有意性に基づき選択される。いくつかの場合において、統計的有意性選択は、偽検出率(FDR)についてのBenjamini Hochberg補正を適用した後、実施される。

10

【0152】

いくつかの場合において、分類アルゴリズムは、Fishel and Kaufman et al. 2007 Bioinformatics 23(13): 1599-606により記載されたもののようなメタ分析アプローチにより補足されてもよい。いくつかの場合において、分類アルゴリズムは、再現性分析のようなメタ分析アプローチにより補足されてもよい。いくつかの場合において、再現性分析は、少なくとも一つの予測的発現産物マーカーセットにおいて出現するマーカーを選択する。

20

【0153】

いくつかの場合において、フィーチャー選択および分類の結果は、ベイズ事後分析(Bayesian post-analysis)法を使用してランク付けされ得る。例えば、マイクロアレイデータは、本明細書に提供される方法のような当技術分野において公知の方法を使用して、抽出され、ノーマライズされ、サマライズされ得る。次いで、データは、LIMMAに提供されるフィーチャー選択法を含むが、これに限定されない、本明細書に提供される方法のような、当技術分野において公知の任意のフィーチャー選択法のようなフィーチャー選択工程に供され得る。次いで、データは、SVMアルゴリズムまたはランダムフォレストアルゴリズムの使用を含むが、これらに限定されない、本明細書に提供されるアルゴリズムまたは方法のいずれかの使用のような、当技術分野において公知の分類法のいずれかのような分類工程に供され得る。次いで、分類アルゴリズムの結果は、事後確率関数に従ってランク付けされ得る。例えば、事後確率関数は、カテゴリー(例えば、良性、悪性、正常、ATC、PTC、MTC、FC、FN、FA、FVPTC、CN、HA、HC、LCT、NHP等)へのマーカーの割り当ての第一種および第二種の過誤の率から事前確率を導出するために、発表された結果のよう

30

、既知の分子プロファイリング結果の調査から導出され得る。これらの過誤率は、推定変化倍率の値(例えば、1.1倍、1.2倍、1.3倍、1.4倍、1.5倍、1.6倍、1.7倍、1.8倍、1.9倍、2倍、2.2倍、2.4倍、2.5倍、3倍、4倍、5倍、6倍、7倍、8倍、9倍、10倍、またはそれ以上)を使用して、各研究について報告された標本サイズに基づき計算され得る。次いで、これらの事前確率は、差次的な遺伝子発現の事後確率を推定するために、本発明の分子プロファイリングデータセットと組み合わせられ得る。最後に、事後確率推定値は、差次的な発現の最終的な事後確率を公式化するために、本発明の第二のデータセットと組み合わせられ得る。事後確率を導出しマイクロアレイデータの分析へ適用するための付加的な方法は、当技術分野において公知であり、例えば、Smyth, G.K. 2004 Stat. Appl. Genet. Mol. Biol. 3: Article 3に記載されている。いくつかの場合において、事後確率は、分類アルゴリズムにより提供されるマーカーをランク付けするために使用されてもよい。いくつかの場合において、マーカーは、事後確率に依ってランク付けされ得、選ばれた閾値を通過するものが、例えば、良性、悪性、正常、ATC、PTC、MTC、FC、FN、FA、FVPTC、CN、HA、HC、LCT、またはNHPである試料を示すかまたはそれらについて診断的である差次的な発現を有するマーカーとして選ばれ得る。例示的な閾値には、0.7、0.75、0.8、0.85、0.9、0.925、0.95、0.975、0.98、0.985、0.99、0.995、またはそれ以上の事前確率が含まれる。

40

50

【0154】

分子プロファイリングの結果の統計的な評価は、以下のうちの一つまたは複数を示す定量的な値を提供する場合がある：診断精度の尤度、癌、疾患、または状態の尤度、特定の癌、疾患、または状態の尤度、特定の治療的介入の成功の尤度。従って、遺伝学または分子生物学について訓練されていない可能性が高い医師が、生データを理解する必要はない。むしろ、データは、患者のケアを案内するための最も有用な形態で医師に直接提示される。分子プロファイリングの結果は、以下のものを含むが、これらに限定されない、当技術分野において公知の多数の方法を使用して、統計的に評価され得る：スクエアーデントt検定、両側t検定、ピアソンの順位和検定、隠れマルコフモデル分析、q-qプロットの分析、主成分分析、一元配置のANOVA、二元配置のANOVA、LIMMA等。

10

【0155】

本発明のいくつかの態様において、単独の、または細胞学的分析と組み合わせられた、分子プロファイリングの使用は、約85%～約99%または約100%正確な診断を提供し得る。いくつかの場合において、分子プロファイリングビジネスは、分子プロファイリングおよび/または細胞診の使用を通して、約85%、86%、87%、88%、90%、91%、92%、93%、94%、95%、96%、97%、97.5%、98%、98.5%、99%、99.5%、99.75%、99.8%、99.85%、または99.9%正確な、悪性、良性、または正常の診断を提供し得る。

【0156】

いくつかの場合において、精度は、最初の診断の精度を判定するために、経時的に対象を追跡することにより判定されてもよい。他の場合において、精度は、確定的に確立されてもよいし、または統計法を使用して確立されてもよい。例えば、受信者動作特性(ROC)分析が、特定のレベルの精度、特異度、陽性適中率、陰性適中率、および/または偽検出率を達成するための、最適のアッセイパラメータを決定するために使用され得る。癌診断においてROC分析を使用する方法は、当技術分野において公知であり、例えば、参照によりその全体が本明細書に組み入れられる米国特許出願第2006/019615号に記載されている。

20

【0157】

本発明のいくつかの態様において、良性と正常との間で、良性と悪性との間で、または悪性と正常との間で、発現レベルの最も大きな差または選択的スプライシングの最も大きな差を示すことが判定された、遺伝子発現産物およびそのような産物をコードするヌクレオチドの組成が、本発明の分子プロファイリング試薬として使用するために選ばれ得る。そのような遺伝子発現産物は、当技術分野において公知であるかまたは使用されている他の方法より広いダイナミックレンジ、大きな信号雑音比、改善された診断力、偽陽性もしくは偽陰性の低い可能性、または大きな統計的信頼水準を提供することにより、特に有用であり得る。

30

【0158】

本発明の他の態様において、単独の、または細胞学的分析と組み合わせられた、分子プロファイリングの使用は、当技術分野において公知の標準的な細胞学的技術の使用と比較して、約100%、99%、95%、90%、80%、75%、70%、65%、または約60%、非診断的としてスコア化される試料の数を低下させ得る。いくつかの場合において、本発明の方法は、当技術分野において使用されている標準的な細胞学的方法と比較して、約100%、99%、98%、97%、95%、90%、85%、80%、75%、70%、65%、または約60%、中間物または疑わしいとしてスコア化される試料の数を低下させ得る。

40

【0159】

いくつかの場合において、分子プロファイリングアッセイ法の結果は、分子プロファイリングビジネスの代理人もしくは取次業者、個体、医療提供者、または保険提供者によるアクセスのためにデータベースに入力される。いくつかの場合において、アッセイ結果には、医療従事者のようなビジネスの代理人、取次業者、またはコンサルタントによる解釈または診断が含まれる。他の場合において、データのコンピュータまたはアルゴリズムによる分析は自動的に提供される。いくつかの場合において、分子プロファイリングビジネ

50

スは、以下のうちの一つまたは複数について、個体、保険提供者、医療提供者、研究者、または政府実体に代金を請求することができる：実施された分子プロファイリングアッセイ法、助言サービス、データ分析、結果の報告、またはデータベースアクセス。

【0160】

本発明のいくつかの態様において、分子プロファイリングの結果は、コンピュータスクリーン上のレポートとして、または紙の記録として提示される。いくつかの場合において、レポートは、以下のうちの一つまたは複数のような情報を含み得るが、これらに限定されない：差次的に発現される遺伝子の数、最初の試料の適応性、差次的な選択的スプライシングを示す遺伝子の数、診断、診断についての統計的信頼、癌または悪性の可能性、および必要とされる治療。

10

【0161】

(iv) 分子プロファイリング結果に基づく試料のカテゴリー化

分子プロファイリングの結果は、以下のうちの一つに分類され得る：良性（癌、疾患、もしくは状態がない）、悪性（癌、疾患、もしくは状態についての陽性の診断）、または非診断的（癌、疾患、もしくは状態の存在もしくは欠如に関する不十分な情報の提供）。いくつかの場合において、診断結果は、さらに、癌、疾患、または状態の型を分類し得る。他の場合において、診断結果は、癌、疾患、もしくは状態に関するある種の分子的経路、または特定の癌、疾患、もしくは状態のある種の悪性度もしくは病期を示し得る。さらに他の場合において、診断結果は、グリベックのようなキナーゼ阻害剤もしくは当技術分野において公知の任意の薬物のような特定の薬物計画、または甲状腺切除もしくは片側甲状腺切除のような外科的介入のような、適切な治療的介入を通知し得る。

20

【0162】

本発明のいくつかの態様において、結果は、訓練されたアルゴリズムを使用して分類される。本発明の訓練されたアルゴリズムには、図1にリスト化された試料を含むが、これらに限定されない、既知の悪性試料、良性試料、および正常試料の参照セットを使用して開発されたアルゴリズムが含まれる。試料のカテゴリー化のために適しているアルゴリズムには、k近傍法 (k-nearest neighbor algorithms)、概念ベクトル (concept vector) アルゴリズム、単純ベイズ (naive bayesian) アルゴリズム、ニューラルネットワークアルゴリズム、隠れマルコフモデルアルゴリズム、遺伝的アルゴリズム、および相互情報フィーチャー選択 (mutual information feature selection) アルゴリズム、またはそれらの任意の組み合わせが含まれるが、これらに限定されない。いくつかの場合において、本発明の訓練されたアルゴリズムは、例えば遺伝子発現または選択的スプライシングのデータであるがこれに限定されないDNA多型データ、配列決定データ、本発明の細胞学者もしくは病理学者によるスコア化もしくは診断、本発明の予備分類アルゴリズムにより提供された情報、または本発明の対象の病歴に関する情報以外のデータを取り込んでいてよい。

30

【0163】

(v) 分子プロファイリングを介した対象または治療的介入のモニタリング

いくつかの態様において、対象は、本発明の方法および組成物を使用してモニタリングされ得る。例えば、対象は、癌または遺伝性障害を有すると診断されていてもよい。この初期診断は、分子プロファイリングの使用を含んでいてもまたは含んでいなくてもよい。対象は、甲状腺癌を有すると推測される対象のための甲状腺切除のような、治療的介入を処方される場合がある。治療的介入の結果は、治療的介入の効力を検出するために、分子プロファイリングにより継続的にモニタリングされ得る。別の例において、対象は、良性腫瘍または前癌性の病変もしくは結節を有すると診断されていてもよく、腫瘍、結節、または病変が、腫瘍または病変の状態の変化を検出するために、分子プロファイリングにより継続的にモニタリングされ得る。

40

【0164】

分子プロファイリングは、対象へ投与する前に、特定の治療的介入の可能性のある効力を確認するために使用されてもよい。例えば、対象は癌を有すると診断されていてもよい

50

。分子プロファイリングは、例えば、RAS癌遺伝子のような、癌悪性に関与することが公知である遺伝子発現産物の上方制御を示す場合がある。当技術分野において公知の方法を使用して、腫瘍試料を得て、かつインビトロで培養することができる。次いで、異常に活性化されたもしくは異常に調節された経路の様々な阻害剤、または経路の活性を阻害することが公知の薬物の適用を、増殖阻害について、腫瘍細胞株に対して試験することができる。分子プロファイリングは、例えば、関連する経路の下流標的に対するこれらの阻害剤の効果をモニタリングするために使用されてもよい。

【0165】

(vi) 研究道具としての分子プロファイリング

いくつかの態様において、分子プロファイリングは、推測される腫瘍の診断のための新たなマーカーを同定するため；腫瘍細胞、細胞株、組織、もしくは生物のような生物学的試料に対する薬物もしくは候補薬物の効果をモニタリングするため；または発癌および／もしくは腫瘍抑制のための新たな経路を発見するため、研究道具として使用されてもよい。
。

【0166】

(vii) 分子プロファイリングに基づくバイオマーカー群

甲状腺遺伝子は、以下の群に従って記載される：(1) 良性か悪性か、(2) 選択的遺伝子スプライシング、(3) KEGG経路、(4) 正常甲状腺、(5) 甲状腺病態亜型、(6) 遺伝子オントロジー、および(7) 非甲状腺器官から甲状腺への転移のバイオマーカー。本発明の方法および組成物は、上にリスト化された群のうちの一つもしくは複数、および／または上にリスト化された群のいずれかからの1個、2個、3個、4個、5個、6個、7個、8個、9個、10個、15個、20個、25個、30個、35個、40個、45個、50個、もしくはそれ以上の亜群（例えば、一つもしくは複数の異なるKEGG経路）から選択される遺伝子を有することができ、各群からの1個、2個、3個、4個、5個、6個、7個、8個、9個、10個、15個、20個、25個、30個、35個、40個、45個、50個、またはそれ以上の遺伝子発現産物を任意の組み合わせで有することができる。いくつかの態様において、組み合わせられた遺伝子のセットは、70%、75%、80%、85%、86%、87%、88%、89%、90%、91%、92%、93%、94%、95%、96%、97%、98%、99%、もしくは99.5%より高い特異度もしくは感度、または少なくとも95%、95.5%、96%、96.5%、97%、97.5%、98%、98.5%、99%、99.5%、もしくはそれ以上の陽性適中率もしくは陰性適中率を与える。

【0167】

いくつかの態様において、細胞外マトリックス遺伝子、接着遺伝子、接着斑遺伝子、および密着結合遺伝子が、甲状腺癌のバイオマーカーとして使用される。いくつかの態様において、シグナル伝達経路は、以下の三つの経路のうちの一つから選択される：接着経路、接着斑経路、および密着結合経路。いくつかの態様において、三つの経路のうちの一つから、少なくとも一つの遺伝子が選択される。いくつかの態様において、三つの経路のうちの一つから、各々少なくとも一つの遺伝子が選択される。いくつかの態様において、三つの経路のうちの2つから、少なくとも一つの遺伝子が選択される。いくつかの態様において、三つの経路全てに関与する少なくとも一つの遺伝子が選択される。一例において、接着経路、接着斑経路、および密着結合経路に関与する遺伝子のセットが、甲状腺癌のような癌の診断のためのマーカーとして選択される。

【0168】

甲状腺濾胞を裏打ちする濾胞細胞は、高度に極性であり、構造的に組織化されており、管腔側および頂端側の細胞膜の別個の役割を必要とする。いくつかの態様において、細胞骨格遺伝子、原形質膜遺伝子、および細胞外空間遺伝子が、甲状腺癌のバイオマーカーとして使用される。いくつかの態様において、四つの経路、即ち、ECM経路、接着斑経路、接着経路、および密着結合経路の全てにオーバーラップする遺伝子が、甲状腺癌のバイオマーカーとして使用される。一例において、本発明は、甲状腺分類遺伝子リストとして良性対悪性群（n = 948）を提供する。このリストは、選択的スプライシング、KEGG経路、および遺伝子オントロジーに従って類別された。KEGG経路は、表1にさらに記載される。

10

20

30

40

50

【 0 1 6 9 】

いくつかの態様において、本発明は、以下のシグナル伝達経路を含むが、これらに限定されない、一つまたは複数のシグナル伝達経路からの遺伝子発現産物を含む、癌を診断する方法を提供する：急性骨髓性白血病シグナル伝達、2型ソマトスタチン受容体シグナル伝達、cAMP媒介シグナル伝達、細胞周期およびDNA傷害チェックポイントシグナル伝達、Gタンパク質共役型受容体シグナル伝達、インテグリンシグナル伝達、黒色腫細胞シグナル伝達、リラキシンシグナル伝達、および甲状腺癌シグナル伝達。本発明の方法および組成物は、1個、2個、3個、4個、5個、6個、7個、8個、9個、10個、15個、20個、25個、30個、35個、40個、45個、50個、またはそれ以上のシグナル伝達経路から選択される遺伝子を有することができ、各シグナル伝達経路からの1個、2個、3個、4個、5個、6個、7個、8個、9個、10個、15個、20個、25個、30個、35個、40個、45個、50個、またはそれ以上の遺伝子発現産物を任意の組み合わせで有することができる。いくつかの態様において、組み合わせられた遺伝子のセットは、70%、75%、80%、85%、86%、87%、88%、89%、90%、91%、92%、93%、94%、95%、96%、97%、98%、99%、もしくは99.5%より高い特異度もしくは感度、または少なくとも95%、95.5%、96%、96.5%、97%、97.5%、98%、98.5%、99%、99.5%、もしくはそれ以上の陽性適中率もしくは陰性適中率を与える。

10

【 0 1 7 0 】

いくつかの態様において、本発明は、以下のオントロジー群を含むが、これらに限定されない、一つまたは複数のオントロジー群からの遺伝子発現産物を含む、癌を診断する方法を提供する：細胞老化、細胞皮質、細胞周期、細胞死／アポトーシス、細胞分化、細胞分裂、細胞間結合、細胞遊走、細胞形態形成、細胞運動、細胞突起、細胞増殖、細胞認識、細胞体、細胞表面、細胞表面結合型受容体シグナル伝達、細胞接着、転写、免疫応答、または炎症。本発明の方法および組成物は、1個、2個、3個、4個、5個、6個、7個、8個、9個、10個、15個、20個、25個、30個、35個、40個、45個、50個、またはそれ以上のオントロジー群から選択される遺伝子を有することができ、各オントロジー群からの1個、2個、3個、4個、5個、6個、7個、8個、9個、10個、15個、20個、25個、30個、35個、40個、45個、50個、またはそれ以上の遺伝子発現産物を任意の組み合わせで有することができる。いくつかの態様において、組み合わせられた遺伝子のセットは、70%、75%、80%、85%、86%、87%、88%、89%、90%、91%、92%、93%、94%、95%、96%、97%、98%、99%、もしくは99.5%より高い特異度もしくは感度、または少なくとも95%、95.5%、96%、96.5%、97%、97.5%、98%、98.5%、99%、99.5%、もしくはそれ以上の陽性適中率もしくは陰性適中率を与える。

20

【 0 1 7 1 】

(表1) KEGG経路に関する遺伝子

30

KEGG経路	上位948 B対 Mリストに おける% における 遺伝子	上位948 B対 Mリストにおける 遺伝子	経路内の 全遺伝子
ECM	23	18	84
p53	14	10	69
PPAR	14	10	69
甲状腺癌	14	4	29
接着斑	13	26	201
接着	12	9	77
密着結合	11	14	134
癌概要経路	10	33	332
Jak/STAT	10	14	155
細胞周期	7	9	129
TGF β	7	6	87
Wnt	7	10	151
ErbB	6	5	87
アポトーシス	6	5	88
MAPK	5	14	269
自己免疫性甲状腺	4	2	53
mTOR	2	1	53
VEGF	1	1	76

10

20

30

【 0 1 7 2 】

良性甲状腺対悪性甲状腺の上位バイオマーカー (n = 948) を、下記リスト1にリスト化する。

【 0 1 7 3 】

リスト1

TCID-2406391, TCID-3153400, TCID-3749600, ABCC3, ABCD2, ABTB2, ACBD7,
ACSL1, ACTA2, ADAMTS5, ADAMTS9, ADK, ADORA1, AEBP1, AFAP1, AGR2, AHNAK2,
AHR, AIDA, AIM2, AK1, AKR1C3, ALAS2, ALDH1A3, ALDH1B1, ALDH6A1, ALOX5,
AMIGO2, AMOT, ANGPTL1, ANK2, ANKS6, ANO5, ANXA1, ANXA2, ANXA2P1, ANXA3,
ANXA6, AOAH, AP3S1, APOBEC3F, APOBEC3G, APOL1, APOO, AQP4, AQP9, ARHGAP19,
ARHGAP24, ARL13B, ARL4A, ARMCX3, ARMCX6, ARNTL, ARSG, ASAP2, ATIC, ATM,
ATP13A4, ATP6V0D2, ATP8A1, AUTS2, AVPR1A, B3GNT3, BAG3, BCL2, BCL2A1, BCL9,
BHLHE40, BHLHE41, BIRC5, BLNK, BMP1, BMP8A, BTBD11, BTG3, C10orf131, C10orf72,
C11orf72, C11orf74, C11orf80, C12orf35, C12orf49, C14orf45, C16orf45, C17orf87, C19orf33,
C1orf115, C1orf116, C2, C22orf9, C2orf40, C3, C4A, C4B, C4orf34, C4orf7, C5orf28, C6orf168,
C6orf174, C7orf62, C8orf16, C8orf39, C8orf4, C8orf79, C9orf68, CA11, CADM1, CALCA,
CAMK2N1, CAMK4, CAND1, CARD16, CARD17, CARD8, CASC5, CASP1, CAV1, CAV2,
CCDC109B, CCDC121, CCDC146, CCDC148, CCDC152, CCDC80, CCL13, CCL19, CCND1,
CCND2, CD151, CD180, CD2, CD200, CD36, CD3D, CD48, CD52, CD69, CD79A, CD96, CDCP1,
CDH11, CDH3, CDH6, CDK2, CDKL2, CDO1, CDON, CDR1, CEP110, CEP55, CERKL, CFB,
CFH, CFHR1, CFI, CHAF1B, CHD4, CHGB, CHI3L1, CITED1, CKB, CKS2, CLC, CLDN1,
CLDN10, CLDN16, CLDN4, CLDN7, CLEC2B, CLEC4E, CLIP3, CLU, CMAH, CNN2, CNN3,
COL12A1, COL1A1, COPZ2, CP, CPE, CPNE3, CR2, CRABP1, CRABP2, CSF3R,
CSGALNACT1, CST6, CTNNAL1, CTNNB1, CTSC, CTSH, CTTN, CWH43, CXCL1, CXCL11,
CXCL13, CXCL14, CXCL17, CXCL2, CXCL3, CXCL9, CXorf18, CXorf27, CYP1B1, CYP24A1,
CYP27A1, CYP4B1, CYSLTR1, CYSLTR2, CYTH1, DAPK2, DCAF17, DCBLD2, DCUN1D3,
DDAH1, DDB2, DDX52, DENND4A, DGKH, DGKI, DHRS1, DHRS3, DIO1, DIRAS3, DLC1,
DLG2, DLG4, DLGAP5, DNAJB14, DNASE1L3, DOCK8, DOCK9, DOK4, DPH3B, DPP4, DPYD,
DPYSL3, DSG2, DSP, DST, DUOX1, DUOX2, DUOXA1, DUOXA2, DUSP4, DUSP5, DUSP6,
DYNC1I2, DYNLT1, DZIP1, ECE1, EDNRB, EFEMP1, EGF, EGFR, EHBP1, EHD2, EHF,
EIF2B2, EIF4H, ELK3, ELMO1, EMP2, EMR3, ENAH, ENDOD1, ENTPD1, EPB41, EPDR1,
EPHA4, EPHX4, EPR1, EPS8, ERBB2, ERBB3, ERI2, ERO1LB, ERP27, ESRRG, ETNK2, ETS1,
ETV1, ETV4, ETV5, F2RL2, F8, FAAH2, FABP4, FAM111A, FAM111B, FAM164A, FAM176A,
FAM20A, FAM55C, FAM82B, FAM84B, FAT4, FBLN5, FBXO2, FBXO21, FCN1, FCN2, FGF2,
FGFR1OP2, FIBIN, FLJ20184, FLJ26056, FLJ32810, FLJ42258, FLRT3, FN1, FPR1, FPR2,
FREM2, FRMD3, FXYD6, FYB, FZD4, FZD6, FZD7, G0S2, GABBR2, GABRB2, GADD45A,
GALE, GALNT12, GALNT3, GALNT7, GBE1, GBP1, GBP3, GBP5, GGCT, GIMAP2, GIMAP5,
GIMAP7, GJA4, GLA, GLDC, GLDN, GLIS3, GNG12, GOLT1A, GPAM, GPR110, GPR125,
GPR155, GPR174, GPR98, GPRC5B, GRAMD3, GSN, GTF3A, GULP1, GYPB, GYPC, GYPE,
GZMA, GZMK, HEMGN, HEY2, HIGD1A, HIPK2, HIST1H1A, HIST1H3B, HIST1H4L, HK1,

10

20

30

40

HLA-DPB1, HLA-DQB2, HLF, HMGA2, HMMR, HNRNPM, HPN, HPS3, HRASLS, HSD17B6,
HSPH1, ICAM1, ID3, IFI16, IFITM1, IFNAR2, IGF2BP2, IGFBP5, IGFBP6, IGFBP7, IGJ, IGK,
IGKC, IGKV1-5, IGKV3-15, IGKV3-20, IGKV3D-11, IGKV3D-15, IGSF1, IKZF2, IKZF3, IKZF4,
IL1RAP, IL1RL1, IL2RA, IL7R, IL8, IL8RA, IL8RB, IL8RBP, IMPDH2, INPP5F, IPCEF1,
IQGAP2, ISYNA1, ITGA2, ITGA3, ITGA4, ITGA9, ITGB1, ITGB4, ITGB6, ITGB8, ITM2A,
ITPR1, IYD, JAK2, JUB, KAL1, KATNAL2, KBTBD8, KCNA3, KCNAB1, KCNK5, KCNQ3,
KCTD14, KDELC1, KDELRC1, KHDRBS2, KIAA0284, KIAA0408, KIAA1217, KIAA1305, KIF11,
KIT, KLF8, KLHDC8A, KLHL6, KLK10, KLK7, KLRB1, KLRC4, KLRG1, KLRK1, KRT18,
KRT19, KYN, LAMB1, LAMB3, LAMC1, LAMC2, LCA5, LCMT1, LCN2, LCP1, LDOC1,
LEMD1, LGALS2, LGALS3, LIFR, LILRA1, LILRB1, LIMA1, LINGO2, LIPH, LMO3, LMO4,
LOC100124692, LOC100127974, LOC100129112, LOC100129115, LOC100129171,
LOC100129961, LOC100130100, LOC100130248, LOC100131102, LOC100131490,
LOC100131869, LOC100131938, LOC100131993, LOC100132338, LOC100132764, LOC26080,
LOC283508, LOC284861, LOC439911, LOC440434, LOC440871, LOC554202, LOC643454,
LOC646358, LOC648149, LOC650405, LOC652493, LOC652694, LOC653264, LOC653354,
LOC653498, LOC728212, LOC729461, LOC730031, LONRF2, LOX, LPAR1, LPAR5, LPCAT2,
LPL, LRP1B, LRP2, LRRC69, LRRN1, LRRN3, LTBP2, LTBP3, LUM, LYPLA1, LYRM1, LYZ,
MACC1, MAFG, MAGOH2, MAMLD1, MAP2, MAPK4, MAPK6, MATN2, MBOAT2, MCM4,
MCM7, MDK, ME1, MED13, MED13L, MELK, MET, METTL7B, MEX3C, MGEGE8, MGAM,
MGAT1, MGAT4C, MGC2889, MGST1, MIS12, MKI67, MLLT3, MLLT4, MMP16, MNDA,
MORC4, MPPED2, MPZL2, MRC2, MRPL14, MT1F, MT1G, MT1H, MT1M, MT1P2, MT1P3,
MTHFD1L, MTIF3, MUC1, MUC15, MVP, MXRA5, MYEF2, MYH10, MYO1B, MYO1D,
MYO5A, MYO6, NAB2, NAE1, NAG20, NAV2, NCAM1, NCKAP1, ND1, NDC80, NDFIP2, NEB,
NEDD4L, NELL2, NEXN, NFATC3, NFE2, NFIB, NFKBIZ, NIPAL3, NIPSNAP3A, NIPSNAP3B,
NOD1, NPAS3, NPAT, NPC2, NPEPPS, NPL, NPY1R, NRCAM, NRIP1, NRP2, NTSE, NTAN1,
NUCB2, NUDT6, NUPR1, NUSAP1, OCIAD2, OCR1, ODZ1, ORAOV1, OSBPL1A, OSGEP,
OSMR, P2RY13, P4HA2, PAM, PAPSS2, PARD6B, PARP14, PARP4, PARVA, PBX1, PCDH1,
PCMTD1, PCNXL2, PDE5A, PDE9A, PDGFRL, PDK4, PDLM1, PDLM4, PDZRN4, PEG10,
PERP, PGCP, PHEX, PHF16, PHLDB2, PHYHIP, PIAS3, PIGN, PKHD1L1, PKP2, PKP4,
PLA2G16, PLA2G7, PLA2R1, PLAG1, PLAU, PLCD3, PLCL1, PLEK, PLEKHA4, PLEKHA5,
PLEKHF2, PLK2, PLP2, PLS3, PLSCR4, PLXNC1, PMEPA1, POLR2J4, PON2, POR, POU2F3,
PPAP2C, PPARGC1A, PPBP, PPL, PPP1R14C, PRCP, PRICKLE1, PRINS, PRMT6, PROK2,
PROS1, PRR15, PRRG1, PRSS23, PSAT1, PSD3, PTK7, PTPN14, PTPN22, PTPRC, PTPRE,
PTPRF, PTPRG, PTPRK, PTPRU, PTRF, PXDNL, PYGL, PYHIN1, QTRT1, RAB25, RAB27A,
RAB32, RAB34, RAD23B, RAG2, RAI2, RAPGEF5, RARG, RASA1, RASD2, RBBP7, RBBP8,
RBMS2, RCBTB2, RCE1, RDH5, RG9MTD2, RGS13, RGS18, RGS2, RHOBTB3, RHOH, RHOU,
RICH2, RIMS2, RNASE1, RNASET2, RND3, ROS1, RPL39L, RPL9P11, RPRD1A, RPS6KA6,

10

20

30

40

RRAS, RRAS2, RRBP1, RRM2, RUNX1, RUNX2, RXRG, RYR2, S100A12, S100A14, S100A16,
S100A8, S100A9, SALL1, SAV1, SC4MOL, SCARA3, SCARNA11, SCEL, SCG3, SCG5,
SCNN1A, SCP2, SCRNI, SDC4, SDK1, SEH1L, SEL1L3, SELL, SEMA3C, SEMA3D, SEMA4C,
SEPP1, SEPT11, SERGEF, SERINC2, SERPINA1, SERPINA2, SERPINE2, SERPING1, SFN,
SFTPB, SGCB, SGCE, SGEF, SGMS2, SGPP2, SH2D4A, SH3BGR, SH3PXD2A, SIPA1L2,
SIRPA, SIRPB1, SLA, SLC12A2, SLC16A4, SLC16A6, SLC17A5, SLC24A5, SLC25A33,
SLC26A4, SLC26A7, SLC27A2, SLC27A6, SLC34A2, SLC35D2, SLC35F2, SLC39A6, SLC4A4,
SLC5A8, SLC7A11, SLC7A2, SLIT1, SLIT2, SLPI, SMAD9, SMOC2, SMURF2, SNCA, SNX1,
SNX22, SNX7, SOAT1, SORBS2, SP140, SP140L, SPATS2, SPATS2L, SPC25, SPINT1, SPOCK1,
SPP1, SPRED2, SPRY1, SPRY2, SQLE, SRL, SSPN, ST20, ST3GAL5, STAT4, STEAP2, STK17B,
STK32A, STXBP6, SULF1, SYNE1, SYT14, SYTL5, TACSTD2, TASp1, TBC1D3F, TC2N,
TCERG1L, TCF7L2, TCFL5, TDRKH, TEAD1, TFCP2L1, TFF3, TFPI, TGFA, TGFB2, TGFBR1,
THSD4, TIAM2, TIMP1, TIMP3, TIPARP, TJP1, TJP2, TLCD1, TLE4, TLR10, TLR8, TM4SF1,
TM4SF4, TM7SF4, TMEM100, TMEM117, TMEM133, TMEM156, TMEM163, TMEM171,
TMEM215, TMEM220, TMEM90A, TMEM98, TMPRSS4, TMSB10, TMSB15A, TMSB15B, TNC,
TNFAIP8, TNFRSF11B, TNFRSF12A, TNFRSF17, TNFSF10, TNFSF15, TOMM34, TOX,
TPD52L1, TPO, TPX2, TRIP10, TRPC5, TRPC6, TSC22D1, TSHZ2, TSPAN13, TSPAN6,
TSPAN8, TSSC1, TTC39A, TUBB1, TUBB6, TULP3, TUSC3, TXNL1, TXNRD1, TYMS, UCHL5,
VAMP1, VNN1, VNN2, VNN3, WDR40A, WDR54, WDR72, WIPI1, WNT5A, XKRX, XPR1,
YIF1B, YIPF1, YTHDC2, ZBTB33, ZCCHC12, ZCCHC16, ZEB2, ZFP36L1, ZFPM2, ZMAT3,
ZMAT4, ZNF143, ZNF208, ZNF487, ZNF643, ZNF804B, ZYG11A.

10

20

30

【 0 1 7 4 】

選択的スプライシングを受ける遺伝子（n = 283）を、下記リスト2にリスト化する。

【 0 1 7 5 】

リスト2

ABCC3, ADAMTS5, ADAMTS9, AIDA, AK1, AKR1C3, ALDH1A3, ALDH6A1,
 AMIGO2, AMOT, ANGPTL1, ANKS6, ANO5, ANXA1, ANXA2, ANXA2P1, ANXA3, AQP4,
 ARHGAP24, ARL4A, ARMCX3, ARMCX6, ARSG, ATIC, ATP13A4, ATP8A1, AUTS2, BAG3,
 BCL2, BCL9, BHLHE41, C10orf131, C11orf74, C14orf45, C16orf45, C19orf33, C2orf40, C3,
 C5orf28, C8orf79, CA11, CALCA, CAV1, CCND1, CCND2, CD36, CDH3, CDH6, CDON,
 CFH, CFHR1, CHD4, CITED1, CLDN16, CLU, COPZ2, CP, CRABP1, CSGALNACT1, CTSC,
 CTSH, CTTN, CWH43, CYSLTR2, DCBLD2, DCUN1D3, DDB2, DGKH, DGKI, DIO1, DLG2,
 DOCK9, DPH3B, DPP4, DSP, DST, DUSP6, EFEMP1, EIF2B2, ELMO1, EMP2, ENAH, ENTPD1,
 EPHX4, ERBB3, ERI2, ERO1LB, ETNK2, ETV1, ETV5, F8, FABP4, FAM111B, FAM20A,
 FAM55C, FAT4, FBLN5, FGFR1OP2, FLJ42258, FLRT3, FN1, FREM2, FXYD6, GABBR2,
 GABRB2, GALNT7, GBE1, GBP1, GBP3, GGCT, GIMAP7, GPAM, GPR125, GPR155, GRAMD3,
 GSN, HLF, HMGA2, HSPH1, IMPDH2, IQGAP2, ITGA2, ITGA3, ITGA9, ITGB6, ITGB8, ITM2A,
 ITPR1, IYD, KATNAL2, KCNA3, KCNQ3, KDELC1, KHDRBS2, KIAA0284, KIAA1217, KIT,
 KLF8, KLK10, KRT19, LAMB3, LAMC2, LEMD1, LIFR, LINGO2, LMO3, LOC100127974,
 LOC100129112, LOC100131490, LOC100131869, LOC283508, LOC648149, LOC653354,
 LONRF2, LPCAT2, LPL, LRP1B, LRP2, LRRC69, LRRN1, LRRN3, LYRM1, MACC1, MAFG,
 MAP2, MAPK4, MAPK6, MATN2, MED13, MET, METTL7B, MFGE8, MLLT3, MPPE2D,
 MPZL2, MRPL14, MT1F, MT1G, MT1H, MT1P2, MTHFD1L, MUC1, MVP, MYEF2, MYH10,
 MYO1D, NAG20, NAV2, NEB, NEDD4L, NELL2, NFATC3, NFKBIZ, NPC2, NRCAM, NUCB2,
 ORAOV1, P4HA2, PAM, PAPSS2, PARVA, PDLM4, PEG10, PGCP, PIGN, PKHD1L1,
 PLA2G16, PLA2G7, PLA2R1, PLAU, PLEKHA4, PLP2, PLSCR4, PLXNC1, PMEPA1, PON2,
 PPARGC1A, PRINS, PROS1, PSD3, PTPRK, PYHIN1, QTRT1, RAB27A, RAB34, RAD23B,
 RASA1, RHOBTB3, RNASET2, RPS6KA6, RUNX1, SCARNA11, SCG5, SDC4, SERPINA1,
 SERPINA2, SGEF, SH2D4A, SLA, SLC12A2, SLC24A5, SLC26A4, SLC26A7, SLC27A2,
 SLC27A6, SLC35F2, SLC4A4, SLC5A8, SLC7A2, SOAT1, SPATS2, SPATS2L, SPINT1, SPP1,
 SSPN, STK32A, SULF1, SYNE1, TCFL5, TFPI, TGFBR1, TIPARP, TJP1, TLE4, TM7SF4,
 TMEM171, TMEM90A, TNFAIP8, TNFRSF11B, TOMM34, TPD52L1, TPO, TSC22D1, TUSC3,
 TYMS, WDR54, WDR72, WIPI1, XPR1, YIF1B, ZFPM2, ZMAT4.

【 0 1 7 6 】

KEGG経路に関する遺伝子を下記表6にリスト化する。計n = 109の独特の遺伝子を含む
 、18経路が存在する。

【 0 1 7 7 】

(表 6)

10

20

30

40

シグナリング経路	遺伝子の数	遺伝子
ECM経路	19	CD36, COL1A1, FN1, HMMR, ITGA2, ITGA3, ITGA4, ITGA9, ITGB1, ITGB4, ITGB6, ITGB8, LAMB1, LAMB3, LAMC1, LAMC2, SDC4, SPP1, TNC
p53経路	10	ATM, CCND1, CCND2, CDK2, DDB2, GADD45A, PERP, RRM2, SFN, ZMAT3
PPAR経路	10	ACSL1, CD36, CYP27A1, FABP4, LPL, ME1, RXRG, SCP2, SLC27A2, SLC27A6
甲状腺癌経路	4	CCND1, CTNNB1, RXRG, TCF7L2

10

20

接着斑経路	26	BCL2, CAV1, CAV2, CCND1, CCND2, COL1A1, CTNNB1, EGF, EGFR, ERBB2, FN1, ITGA2, ITGA3, ITGA4, ITGA9, ITGB1, ITGB6, ITGB8, LAMB1, LAMB3, LAMC1, LAMC2, MET, PARVA, SPP1, TNC
接着経路	9	CTNNB1, EGFR, ERBB2, MET, MLLT4, PTPRF, TCF7L2, TGFBR1, TJP1
密着結合経路	15	CLDN1, CLDN10, CLDN16, CLDN4, CLDN7, CTNNB1, CTTN, EPB41, MLLT4, MYH10, PARD6B, RRAS, RRAS2, TJP1, TJP2
癌概要経路	34	BCL2, BIRC5, CCND1, CDK2, CSF3R, CTNNB1, DAPK2, EGF, EGFR, ERBB2, ETS1, FGF2, FN1, FZD4, FZD6, FZD7, IL8, ITGA2, ITGA3, ITGB1, KIT, LAMB1, LAMB3, LAMC1, LAMC2, MET, PIAS3, RUNX1, RXRG, TCF7L2, TGFA, TGFB2, TGFBR1, WNT5A
Jak/STAT経路	16	CCND1, CCND2, CSF3R, IFNAR2, IL2RA, IL7R, ITGB4, JAK2, LIFR, OSMR, PIAS3, SPRED2, SPRY1, SPRY2, STAT4, TPO
細胞周期経路	9	ATM, CCND1, CCND2, CDK2, GADD45A, MCM4, MCM7, SFN, TGFB2
TGF β 経路	6	BMP8A, ID3, SMAD9, SMURF2, TGFB2, TGFBR1
Wnt経路	10	CCND1, CCND2, CTNNB1,

10

20

30

40

		FZD4, FZD6, FZD7, NFATC3, PRICKLE1, TCF7L2, WNT5A
Erb経路	5	EGF, EGFR, ERBB2, ERBB3, TGFA
アポトーシス経路	5	ATM, BCL2, ENDOD1, IL1RAP, TNFSF10
MAPK経路	14	DUSP4, DUSP5, DUSP6, EGF, EGFR, FGF2, GADD45A, GNG12, RASA1, RPS6KA6, RRAS, RRAS2, TGFB2, TGFBR1
自己免疫性甲状腺経路	2	HLA-DPB1, TPO
mTOR経路	1	RPS6KA6
VEGF経路	1	NFATC3

10

20

30

40

【0178】

良性甲状腺および悪性甲状腺（組み合わせ）を正常甲状腺から分離する上位遺伝子（n = 55）を、下記リスト3にリスト化する。

【0179】

リスト3

ANGPTL1, ANXA3, C10orf131, C2orf40, C7orf62, CAV1, CCDC80, CDR1, CFH, CFHR1, CLDN16, CP, CRABP1, EFEMP1, ENTPD1, FABP4, FBLN5, FN1, GBP1, GBP3, GULP1, HSD17B6, IPCEF1, KIT, LRP1B, LRRC69, LUM, MAPK6, MATN2, MPED2, MT1F, MT1G, MT1H, MT1M, MT1P2, MT1P3, MYEF2, NRCAM, ODZ1, PAPSS2, PKHD1L1, PLA2R1, RYR2, SEMA3D, SLC24A5, SLC26A4, SLC26A7, SLIT2, TFPI, TMEM171, TPO, TSPAN8, YTHDC2, ZFPM2, ZNF804B.

【0180】

甲状腺外科病理学亜型（n = 873）を以下にリスト化する。

【0181】

(i) リスト4：FA亜型（n = 243）

TCID-3124344, AHR, ALOX5, ANGPTL1, ANXA2, ANXA2P1, APOL1, AVPR1A, BMP8A, BTBD11, C2, C3, C8orf39, CCDC109B, CD36, CDON, CFB, CHGB, CHI3L1, CKB, CLDN1, CP, CRABP1, CTSC, CTSH, CXCL1, CXCL2, CXCL3, CXorf27, CYP1B1, DLG2, DNASE1L3, DPP4, DUOX1, DUOX2, DYNLT1, EIF4H, F8, FABP4, FAM20A, FAM55C, FBLN5, FLJ26056, FXYD6, G0S2, GALNT7, GLIS3, GPAM, HIGD1A, HK1, HLF, HSD17B6, ICAM1, IGFBP7, IL1RAP, IPCEF1, IYD, KATNAL2, KCNAB1, KHDRBS2, KLF8, KLHDC8A, LAMB1, LGALS3, LOC100131869, LOC26080, LOC284861, LOC439911, LOC653264, LOC728212, LOC729461, LPCAT2, LRRC69, MAGOH2, MAPK4, MAPK6, MELK, MPPED2, MT1G, NEB, NFKBIZ, NRIP1, PARP14, PKHD1L1, PLA2G7, PLP2, PLXNC1, POR, PRMT6, PROS1, PSMB2, PTPRE, PYGL, RNASE1, RNASET2, RPL9P11, RRAS2, RRBP1, RUNX1, RUNX2, RYR2, SCP2, SEL1L3, SERGEF, SGPP2, SH3BGR, SLC25A33, SLC26A4, SLC26A7, SLC27A6, SLC4A4, SLPI, SORBS2, SQLE, STK32A, SYTL5, TFCP2L1, TIAM2, TIMP3, TMEM220, TMSB10, TRPC6, TSHZ2, TSSC1, VAMP1, ZNF487, ABCC3, C11orf72, C8orf79, CLDN16, CLU, CST6, CYSLTR2, DIO1, DPH3B, ERO1LB, FN1, GABRB2, IGFBP6, IKZF3, KIT, KRT19, LIFR, LIPH, MACC1, MAFG, MPZL2, MT1F, MT1H, MT1P2, NELL2, ODZ1, RAG2, ROS1, SERPINA1, SERPINA2, SLC34A2, TCFL5, TIMP1, TPO, ZMAT4, ADAMTS9, ALDH1B1, ALDH6A1, ANO5, APOO, C10orf72, C11orf74, C14orf45, C2orf40, C4A, C4B, C5orf28, C6orf174, CAMK2N1, CCDC121, CCND1, CDH3, CITED1, COPZ2, CPNE3, CRABP2, CSGALNACT1, DAPK2, DLC1, ECE1, EIF2B2, EMP2, ERBB2, FAM82B, FIBIN, FLJ42258, FRMD3, HEY2, HRASLS, ID3, IGF2BP2, IGSF1, IKZF2, ITGA9, KIAA0408, KIAA1305, LMO3, MATN2, MDK, MET, METTL7B, MFGE8, MGC2889, MIS12, NAV2, NCAM1, NIPSNAP3A, NIPSNAP3B, NOD1, NTAN1, NUCB2, NUPR1, PCMTD1, PIGN, PLAG1, PSAT1, PXDNL, QTRT1, RG9MTD2, RXRG, SDC4, SLC35D2, SLC7A11, SMAD9, SPRY1, STEAP2, TASP1, TCF7L2, TMEM171, TNFRSF11B, TNFRSF12A, TRPC5, TXNL1, WDR72, YIPF1, ZCCHC12, ZCCHC16.

10

20

30

40

50

【 0 1 8 2 】

(i i) リスト 5 : FC 亜型 (n = 102)

TCID-3124344, ABCC3, ANGPTL1, AVPR1A, C8orf39, CD2, CD36, CD48, CD52, CKB, CLDN1, CLDN16, CRABP1, CXCL9, DIO1, DLG2, DNASE1L3, DPH3B, DYNLT1, EIF4H, ERO1LB, F8, FABP4, FBLN5, FLJ26056, FXYD6, FYB, GLIS3, GULP1, GZMA, GZMK, HK1, HLA-DPB1, IFITM1, IGFBP7, IGJ, IGK@, IGKC, IGKV1-5, IGKV3-15, IGKV3-20, IGKV3D-11, IGKV3D-15, IPCEF1, KHDRBS2, KLHDC8A, KLRC4, KLRK1, LAMB1, LCP1, LIFR, LOC100130100, LOC100131869, LOC26080, LOC284861, LOC439911, LOC440871, LOC650405, LOC652493, LOC652694, LOC653264, LOC728212, LOC729461, LYZ, MAGOH2, MAPK4, MT1F, MT1H, MT1P2, NEB, ODZ1, PLA2G7, POR, PRMT6, PSMB2, PTPRC, RAG2, RNASE1, RNASET2, RPL9P11, RRAS2, RRBP1, RYR2, SCP2, SERGEF, SGPP2, SH3BGR, SLC25A33, SLC26A4, SQLE, STK32A, TCFL5, TFCP2L1, TIAM2, TIMP3, TMEM220, TPO, TRPC6, TSSC1, VAMP1, ZFPM2, ZNF487.

【 0 1 8 3 】

(iii) リスト6 : LCT型 (n = 140)

ADAMTS9, AIM2, APOBEC3F, APOBEC3G, ARHGAP19, ATP13A4, BAG3, BCL2A1, BIRC5, BLNK, C10orf72, C11orf72, C12orf35, C4orf7, C6orf168, CALCA, CARD17, CARD8, CASP1, CCL19, CCND1, CD180, CD2, CD3D, CD48, CD52, CD79A, CD96, CEP110, CHGB, CLDN16, CLEC2B, CNN2, COL12A1, CR2, CXCL13, CXCL9, CYTH1, DENND4A, DNAJB14, DOCK8, DPYD, DUOX1, DUOX2, DUOXA1, DUOXA2, DUSP6, DYNC1I2, EGF, EPDR1, EPR1, EPS8, ETS1, FLJ42258, FYB, GABBR2, GABRB2, GALNT7, GBP5, GIMAP2, GIMAP5, GIMAP7, GPR155, GPR174, GTF3A, GZMA, GZMK, HIST1H3B, HIST1H4L, HLA-DPB1, HNRNPM, IFI16, IFITM1, IFNAR2, IGF2BP2, IGJ, IGK@, IGKC, IGKV1-5, IGKV3-15, IGKV3-20, IGKV3D-11, IGKV3D-15, IKZF3, IL7R, ITM2A, JAK2, KBTBD8, KLHL6, KLRC4, KLRG1, KLRK1, KYNU, LCP1, LIPH, LOC100130100, LOC100131490, LOC440871, LOC646358, LOC650405, LOC652493, LOC652694, LONRF2, LYZ, MED13L, METTL7B, MPZL2, MTIF3, NAV2, ND1, NFATC3, ODZ1, PAPSS2, PROS1, PSD3, PTPRC, PYGL, PYHIN1, RAD23B, RGS13, RIMS2, RRM2, SCG3, SLIT1, SP140, SP140L, SPC25, ST20, ST3GAL5, STAT4, STK32A, TC2N, TLE4, TNFAIP8, TNFRSF17, TNFSF10, TOX, UCHL5, ZEB2, ZNF143.

10

20

【0 1 8 4】

(iv) リスト7 : FVPTC型 (n = 182)

ABCC3, ADAMTS9, AIDA, ALDH1B1, ALDH6A1, ANK2, ANO5, APOL1, APOO, AQP4, ATP13A4, BMP8A, C10orf72, C11orf72, C11orf74, C12orf35, C14orf45, C2orf40, C4A, C4B, C5orf28, C6orf174, C8orf79, CAMK2N1, CCDC121, CCND1, CCND2, CD36, CDH3, CITED1, CLDN1, CLDN16, CLDN4, CLEC2B, CLU, COPZ2, CPNE3, CRABP2, CSGALNACT1, CST6, CWH43, CYSLTR2, DAPK2, DCAF17, DIO1, DIRAS3, DLC1, DOCK9, DPH3B, DUOX1, DUOX2, DUOXA1, DUOXA2, DUSP6, ECE1, EIF2B2, EMP2, ERBB2, ERO1LB, ESRRG, FABP4, FAM82B, FAT4, FIBIN, FLJ42258, FN1, FRMD3, GABBR2, GABRB2, GIMAP2, GIMAP7, GPR155, GPR98, GTF3A, GZMA, GZMK, HEY2, HRASLS, ID3, IGF2BP2, IGFBP6, IGSF1, IKZF2, IKZF3, ITGA9, JAK2, KIAA0284, KIAA0408, KIAA1217, KIAA1305, KIT, KLRC4, KLRK1, KRT19, LGALS3, LIFR, LIPH, LMO3, LOC100131490, LOC100131993, LRP1B, LRP2, MACC1, MAFG, MAPK6, MATN2, MDK, MET, METTL7B, MFGE8, MGC2889, MIS12, MPPED2, MPZL2, MT1F, MT1G, MT1H, MT1P2, MTIF3, NAV2, NCAM1, NELL2, NFATC3, NIPSNAP3A, NIPSNAP3B, NOD1, NRCAM, NTAN1, NUCB2, NUPR1, ODZ1, PCMTD1, PDE5A, PIGN, PKHD1L1, PLA2R1, PLAG1, PLSCR4, PRINS, PSAT1, PXDNL, QTRT1, RAG2, RCBTB2, RG9MTD2, ROS1, RPS6KA6, RXRG, SALL1, SCG5, SDC4, SERPINA1, SERPINA2, SLC26A4, SLC34A2, SLC35D2, SLC7A11, SMAD9, SPRY1, ST3GAL5, STEAP2, STK32A, TASP1, TCF7L2, TCFL5, TIMP1, TMEM171, TMEM215, TNFAIP8, TNFRSF11B, TNFRSF12A, TNFSF10, TPO, TRPC5, TXNL1, UCHL5, WDR72, YIPF1, ZCCHC12, ZCCHC16, ZMAT4, ZYG11A.

30

40

【0 1 8 5】

(v) リスト8 : PTC型 (n = 604)

TCID-3153400, TCID-3749600, ABCC3, ABTB2, ACBD7, ACSL1, ACTA2, ADAMTS5,
ADAMTS9, ADK, AGR2, AHNAK2, AHR, AIDA, AK1, ALAS2, ALDH1A3, ALOX5, AMIGO2,
AMOT, ANK2, ANXA1, ANXA2, ANXA2P1, ANXA3, AOAH, AP3S1, APOL1, AQP9,
ARHGAP24, ARL13B, ARL4A, ARMCX3, ARMCX6, ARNTL, ASAP2, ATIC, ATP13A4,
ATP13A4, B3GNT3, BCL9, BHLHE40, BHLHE41, BMP8A, BTBD11, BTG3, C11orf72, C11orf80,
C12orf49, C16orf45, C19orf33, C1orf115, C1orf116, C2, C2orf40, C3, C4A, C4B, C4orf34,
C6orf168, C6orf174, C7orf62, C8orf4, C8orf79, CA11, CADM1, CAMK2N1, CAND1, CAV1,
CAV2, CCDC109B, CCDC121, CCDC148, CCDC80, CCL13, CCND1, CCND2, CD151, CD200,
CD36, CDCP1, CDH11, CDH3, CDH6, CDK2, CDKL2, CDO1, CDON, CDR1, CFB, CFH, CFHR1,

CFI, CHAF1B, CHD4, CHI3L1, CITED1, CKS2, CLC, CLDN1, CLDN10, CLDN16, CLDN4, CLDN7, CLEC4E, CLU, CNN3, COL1A1, CP, CRABP1, CRABP2, CSF3R, CST6, CTNNAL1, CTNNB1, CTSC, CTSH, CTTN, CXCL1, CXCL14, CXCL17, CXCL2, CXCL3, CXorf18, CXorf27, CYP1B1, CYSLTR2, DAPK2, DCBLD2, DCUN1D3, DDAH1, DDB2, DDX52, DGKH, DGKI, DHRS1, DHRS3, DIO1, DIRAS3, DLC1, DOCK9, DPP4, DPYSL3, DSG2, DSP, DST, DUSP4, DUSP5, DUSP6, DZIP1, ECE1, EDNRB, EGFR, EHBP1, EHD2, EHF, ELK3, ELMO1, EMP2, EMR3, ENAH, ENDOD1, EPB41, EPHA4, EPHX4, EPS8, ERBB3, ERI2, ERP27, ESRRG, ETNK2, ETV1, ETV5, F2RL2, FAAH2, FABP4, FAM111A, FAM111B, FAM164A, FAM176A, FAM20A, FAM55C, FAM84B, FBXO2, FBXO21, FCN1, FCN2, FGF2, FGFR1OP2, FLJ20184, FLJ32810, FLJ42258, FLRT3, FN1, FPR1, FPR2, FRMD3, FZD4, FZD6, FZD7, G0S2, GABBR2, GABRB2, GADD45A, GALE, GALNT12, GALNT3, GALNT7, GBP1, GBP3, GGCT, GLDN, GNG12, GOLT1A, GPAM, GPR110, GPR110, GPR125, GPR98, GPRC5B, GRAMD3, GSN, GYPB, GYPC, GYPE, HEMGN, HEY2, HIGD1A, HIST1H1A, HLA-DQB2, HLF, HMGA2, HPN, HSPH1, ICAM1, IGF2BP2, IGFBP5, IGFBP6, IGSF1, IKZF3, IL1RAP, IL1RL1, IL8RA, IL8RB, IL8RB, IL8RBP, IL8RBP, IMPDH2, INPP5F, IPCEF1, IQGAP2, ITGA2, ITGA3, ITGA9, ITGB1, ITGB6, ITGB8, ITPR1, JUB, KAL1, KATNAL2, KCNK5, KCNQ3, KCTD14, KDELC1, KDELR3, KHDRBS2, KIAA0284, KIAA0408, KIAA1217, KIT, KLF8, KLK10, KLK7, KRT18, KRT19, LAMB3, LAMC1, LAMC2, LCA5, LCMT1, LCN2, LDOC1, LEMD1, LGALS3, LILRA1, LILRB1, LIMA1, LINGO2, LIPH, LMO3, LMO4, LOC100124692, LOC100127974, LOC100129112, LOC100129115, LOC100129171, LOC100129961, LOC100130248, LOC100131102, LOC100131490, LOC100131938, LOC100132338, LOC100132764, LOC283508, LOC440434, LOC554202, LOC643454, LOC648149, LOC653354, LOC653498, LOC730031, LONRF2, LOX, LPAR5, LPL, LRP1B, LRP2, LRRC69, LRRN1, LUM, LYRM1, MACC1, MAFG, MAMLD1, MAP2, MAPK6, MATN2, MBOAT2, MCM4, MCM7, MDK, MED13, MET, METTL7B, MEX3C, MFGE8, MGAM, MGAT4C, MGST1, MLLT4, MMP16, MMP16, MNDA, MORC4, MPPED2, MPZL2, MRPL14, MT1F, MT1G, MT1H, MT1M, MT1P2, MT1P3, MTHFD1L, MUC1, MUC15, MVP, MXRA5, MYEF2, MYH10, MYO1B, MYO1D, MYO6, NAB2, NAE1, NAG20, NCKAP1, NDFIP2, NEDD4L, NELL2, NEXN, NFE2, NFIB, NFKBIZ, NIPAL3, NOD1, NPC2, NPEPPS, NPY1R, NRCCAM, NRIP1, NRP2, NT5E, NUDT6, OCIAD2, OCR1, ODZ1, OSGEP, OSMR, P2RY13, P4HA2, PAM, PARP14, PARP4, PARVA, PBX1, PDE5A, PDE9A, PDGFRL, PDLIM1, PDLIM4, PDZRN4, PEG10, PERP, PHEX, PHF16, PHLDB2, PHYHIP, PKHD1L1, PKP4, PLA2G16, PLA2R1, PLAG1, PLAU, PLCD3, PLEKHA4, PLEKHA5, PLK2, PLP2, PLS3, PLXNC1, PMEPA1, PON2, PPARGC1A, PPBP, PPL, PPP1R14C, PRICKLE1, PRINS, PROK2, PROS1, PRR15, PRRG1, PRSS23, PSD3, PTPN14, PTPRE, PTPRF, PTPRG, PTPRK, PTRF, QTRT1, RAB25, RAB27A, RAB34, RAD23B, RAG2, RAI2, RAPGEF5, RARG, RASA1, RASD2, RBBP7, RBBP8, RBMS2, RCE1, RDH5, RGS18, RGS2, RHOU, RND3, ROS1, RPL39L, RPRD1A, RPS6KA6, RRAS, RUNX1, RUNX2, RXRG, S100A12, S100A14, S100A16, S100A8, S100A9,

10

20

30

40

SALL1, SAV1, SC4MOL, SCARA3, SCARNA11, SCEL, SCG5, SCNN1A, SCRNI, SDC4, SEH1L,
SEL1L3, SELL, SEMA3D, SEPT11, SERINC2, SERPINA1, SERPINA2, SERPINE2, SERPING1,
SFN, SFTPB, SGCB, SGCE, SGEF, SGMS2, SH2D4A, SH3PXD2A, SIRPA, SIRPB1, SLA,
SLC12A2, SLC16A4, SLC17A5, SLC24A5, SLC26A4, SLC26A7, SLC27A2, SLC27A6, SLC34A2,
SLC35F2, SLC39A6, SLC4A4, SLC5A8, SLC7A2, SLIT2, SLPI, SMOC2, SMURF2, SNCA, SNX1,
SNX22, SNX7, SORBS2, SPATS2, SPATS2L, SPINT1, SPRED2, SPRY1, SPRY2, SRL, SSPN,
ST3GAL5, STK32A, SULF1, SYNE1, SYT14, SYTL5, TACSTD2, TBC1D3F, TDRKH, TEAD1,
TEAD1, TFCP2L1, TFF3, TGFA, TGFB2, TGFBRI, TIMP1, TIPARP, TJP1, TJP2, TLCID1, TLR8,
TM4SF1, TM4SF4, TM7SF4, TMEM100, TMEM117, TMEM133, TMEM163, TMEM215,
TMEM90A, TMEM98, TMPRSS4, TMSB10, TNC, TNFRSF12A, TNFSF15, TOMM34, TPD52L1,
TPO, TRIP10, TRPC5, TSC22D1, TSPAN13, TSPAN6, TUBB1, TUBB6, TULP3, TUSC3, TYMS,
VNN2, VNN3, WDR40A, WDR54, WNT5A, XKRX, XPR1, YIF1B, YTHDC2, ZBTB33,
ZCCHC12, ZCCHC16, ZFP36L1, ZMAT3, ZMAT4, ZNF643, ZNF804B.

10

【 0 1 8 6 】

(vi) リスト 9 : NHP 亜型 (n = 653)

20

TCID-3153400, TCID-3749600, ABTB2, ACBD7, ACSL1, ACTA2, ADAMTS5,
ADAMTS9, ADK, AGR2, AHNAK2, AHR, AIDA, AK1, AKR1C3, ALAS2, ALDH1A3, AMIGO2,
AMOT, ANK2, ANO5, ANXA1, ANXA3, ANXA6, AOOAH, AP3S1, APOO, AQP4, AQP9,
ARHGAP24, ARL13B, ARL4A, ARMCX3, ARMCX6, ARNTL, ARSG, ASAP2, ATIC, ATP13A4,
ATP6V0D2, B3GNT3, BCL9, BHLHE40, BHLHE41, BMP8A, BTBD11, BTG3, C10orf72,
C11orf72, C11orf74, C11orf80, C12orf49, C16orf45, C19orf33, C1orf115, C1orf116, C2, C22orf9,
C2orf40, C3, C4A, C4B, C4orf34, C5orf28, C6orf168, C6orf174, C7orf62, C8orf4, C8orf79,
C9orf68, CA11, CADM1, CALCA, CAMK2N1, CAND1, CASC5, CAV1, CAV2, CCDC121,
CCDC148, CCDC80, CCL13, CCND1, CCND1, CCND2, CD151, CD200, CD36, CDCP1, CDH11,
CDH3, CDH6, CDK2, CDKL2, CDO1, CDON, CDR1, CEP55, CFB, CFH, CFHR1, CFI, CHAF1B,
CHD4, CITED1, CKS2, CLC, CLDN1, CLDN10, CLDN16, CLDN4, CLDN7, CLEC4E, CLU,
CNN3, COL1A1, COPZ2, CP, CPE, CRABP1, CRABP2, CSF3R, CST6, CTNNAL1, CTNNB1,
CTSH, CTTN, CWH43, CXCL1, CXCL14, CXCL17, CXCL2, CXCL3, CXorf18, CXorf27,
CYP24A1, CYP27A1, CYSLTR2, DAPK2, DCAF17, DCBLD2, DCUN1D3, DDAH1, DDB2,
DDX52, DGKH, DGKI, DHRS1, DHRS3, DIO1, DIRAS3, DLC1, DLGAP5, DOCK9, DPP4,
DPYSL3, DSG2, DSP, DST, DUOX1, DUOX2, DUOXA1, DUOXA2, DUSP4, DUSP5, DUSP6,
DZIP1, ECE1, EDNRB, EGFR, EHBP1, EHD2, EHF, ELK3, ELMO1, EMP2, EMR3, ENAH,
ENDOD1, EPB41, EPHA4, EPHX4, EPS8, ERBB3, ERI2, ERP27, ESRRG, ETNK2, ETV1, ETV5,
F2RL2, FAAH2, FABP4, FAM111A, FAM111B, FAM164A, FAM176A, FAM20A, FAM84B,
FAT4, FBXO2, FBXO21, FCN1, FCN2, FGF2, FGFR1OP2, FLJ20184, FLJ32810, FLJ42258,
FLJ42258, FLRT3, FN1, FPR1, FPR2, FREM2, FRMD3, FXYD6, FZD4, FZD6, FZD7, G0S2,
GABBR2, GABRB2, GADD45A, GALE, GALNT12, GALNT3, GALNT7, GBE1, GBP1, GBP3,
GGCT, GLA, GLDN, GNG12, GOLT1A, GPR110, GPR110, GPR125, GPR98, GPRC5B,

10

20

30

GRAMD3, GSN, GYPB, GYPC, GYPE, HEMGN, HEY2, HIST1H1A, HLA-DQB2, HMGA2,
 HMMR, HPN, HSD17B6, HSPH1, ICAM1, IGFBP5, IGFBP6, IGSF1, IKZF2, IL1RL1, IL2RA, IL8,
 IL8RA, IL8RB, IL8RB, IL8RBP, IL8RBP, IMPDH2, INPP5F, IPCEF1, IQGAP2, ITGA2, ITGA3,
 ITGA9, ITGB1, ITGB6, ITGB8, ITPR1, JUB, KAL1, KCNK5, KCNQ3, KCTD14, KDELC1,
 KDELR3, KHDRBS2, KIAA0284, KIAA0408, KIAA1217, KIF11, KIT, KLF8, KLK10, KLK7,
 KRT18, KRT19, LAMB3, LAMC1, LAMC2, LCA5, LCMT1, LCN2, LDOC1, LEMD1, LGALS3,
 LILRA1, LILRB1, LIMA1, LINGO2, LIPH, LMO3, LMO4, LOC100124692, LOC100127974,
 LOC100129112, LOC100129115, LOC100129171, LOC100129961, LOC100130248,
 LOC100131102, LOC100131490, LOC100131938, LOC100131993, LOC100132338,
 LOC100132764, LOC283508, LOC440434, LOC554202, LOC643454, LOC648149, LOC653354,
 LOC653498, LOC730031, LONRF2, LOX, LPAR1, LPAR5, LPL, LRP1B, LRP2, LRRC69,
 LRRN1, LUM, LYRM1, MACC1, MAFG, MAMLD1, MAP2, MAPK6, MATN2, MBOAT2,
 MCM4, MCM7, MDK, ME1, MED13, MELK, MET, METTL7B, MEX3C, MFGE8, MGAM,
 MGAT1, MGAT4C, MGST1, MKI67, MLLT4, MMP16, MMP16, MNDA, MORC4, MPPE2,
 MPZL2, MRPL14, MT1F, MT1G, MT1H, MT1M, MT1P2, MT1P3, MTHFD1L, MUC1, MUC15,
 MVP, MXRA5, MYEF2, MYH10, MYO1B, MYO1D, MYO5A, MYO6, NAB2, NAE1, NAG20,
 NAV2, NCKAP1, NDC80, NDFIP2, NEDD4L, NELL2, NEXN, NFE2, NFIB, NIPAL3, NOD1,
 NPC2, NPEPPS, NPL, NPY1R, NRCAM, NRIP1, NRP2, NT5E, NUCB2, NUDT6, NUSAP1,
 OCIAD2, OCR1, ODZ1, ORAOV1, OSBPL1A, OSGEP, OSMR, P2RY13, P4HA2, PAM, PAPSS2,
 PARP4, PARVA, PBX1, PDE5A, PDE9A, PDGFRL, PDLIM1, PDLIM4, PDZRN4, PEG10, PERP,
 PGCP, PHEX, PHF16, PHLDB2, PHYHIP, PKHD1L1, PKP4, PLA2G16, PLA2G7, PLA2R1,
 PLAG1, PLAU, PLCD3, PLCL1, PLEKHA4, PLEKHA5, PLK2, PLS3, PLSCR4, PMEPA1, PON2,
 PPARGC1A, PPBP, PPL, PPP1R14C, PRCP, PRICKLE1, PRINS, PROK2, PROS1, PRR15,
 PRRG1, PRSS23, PSD3, PSD3, PTPN14, PTPRE, PTPRF, PTPRG, PTPRK, PTRF, QTRT1,
 RAB25, RAB27A, RAB32, RAB34, RAD23B, RAG2, RAI2, RAPGEF5, RARG, RASA1, RASD2,
 RBBP7, RBBP8, RBMS2, RCBTB2, RCE1, RDH5, RGS18, RGS2, RHOU, RND3, ROS1, RPL39L,
 RPRD1A, RPS6KA6, RRAS, RXRG, S100A12, S100A14, S100A16, S100A8, S100A9, SALL1,
 SAV1, SC4MOL, SCARA3, SCARNA11, SCEL, SCG5, SCNN1A, SCRNI, SDC4, SEH1L, SELL,
 SEMA3C, SEMA3D, SEPT11, SERINC2, SERPINA1, SERPINA2, SERPINE2, SERPING1, SFN,
 SFTPB, SGCB, SGCE, SGEF, SGMS2, SH2D4A, SH3PXD2A, SIRPA, SIRPB1, SLA, SLC12A2,
 SLC16A4, SLC16A6, SLC17A5, SLC24A5, SLC26A4, SLC26A7, SLC27A2, SLC27A6, SLC34A2,
 SLC35F2, SLC39A6, SLC4A4, SLC5A8, SLC7A11, SLC7A2, SLIT2, SLPI, SMOC2, SMURF2,
 SNCA, SNX1, SNX22, SNX7, SOAT1, SORBS2, SPATS2, SPATS2L, SPINT1, SPRED2, SPRY1,
 SPRY2, SRL, SSPN, ST3GAL5, STK32A, STXBP6, SULF1, SYNE1, SYT14, SYT15, TACSTD2,
 TBC1D3F, TDRKH, TEAD1, TEAD1, TFCP2L1, TFF3, TFPI, TGFA, TGFB2, TGFB1, TIMP1,
 TIPARP, TJP1, TJP2, TLCD1, TLR8, TM4SF1, TM4SF4, TM7SF4, TMEM100, TMEM117,
 TMEM133, TMEM163, TMEM171, TMEM215, TMEM90A, TMEM98, TMPRSS4, TNC,

10

20

30

40

TNFRSF12A, TNFSF15, TOMM34, TPD52L1, TPO, TPX2, TRIP10, TRPC5, TSC22D1, TSPAN13, TSPAN6, TUBB1, TUBB6, TULP3, TUSC3, TXNRD1, TYMS, UCHL5, VNN1, VNN2, VNN3, WDR40A, WDR54, WIPI1, WNT5A, XKRX, XPR1, YIF1B, YTHDC2, ZBTB33, ZCCHC12, ZCCHC16, ZFP36L1, ZMAT3, ZMAT4, ZNF643, ZNF804B, ZYG11A.

【 0 1 8 7 】

(vii) リスト10 : MTC亜型 (n = 48)

ANXA3, ATP13A4, BLNK, C10orf131, C6orf174, C8orf79, CALCA, CHGB, CP, CPE,
DSG2, FREM2, GPR98, IGJ, IYD, KIAA0408, LOC100129171, LPCAT2, LRRC69, MACC1,
MAPK6, MGAT4C, MGST1, MMP16, MT1G, MT1H, MT1M, MT1P2, MT1P3, MUC15, MYEF2,
NT5E, PKHD1L1, PLS3, RBMS2, RIMS2, SCG3, SEMA3D, SLA, SLC24A5, SMOC2, SULF1,
TOX, TSHZ2, TSPAN6, WDR72, ZFP36L1, ZNF208.

10

【 0 1 8 8 】

(viii) リスト11 : HC亜型 (n = 65)

AIM2, APOBEC3F, APOBEC3G, ARHGAP19, BAG3, BCL2A1, BMP8A, C9orf68,
CARD17, CARD8, CASP1, CD3D, CD96, CEP110, CLEC2B, CNN2, CPE, CYTH1, DENND4A,
DNAJB14, DOCK8, DPYD, DUOX1, DUOX2, DYNC1I2, EGF, EPDR1, ETS1, GBP5, GIMAP2,
GIMAP5, GIMAP7, GPR174, GZMK, HNRNPM, HSD17B6, IFI16, IFNAR2, IKZF3, IL7R,
ITM2A, JAK2, KCNAB1, KHDRBS2, KLRC4, KLRG1, KLRK1, KYNU, LOC646358, MED13L,
ND1, NFATC3, PAPSS2, PGCP, PTPRC, PYHIN1, SLIT1, SP140, SP140L, ST20, STAT4, TC2N,
TLE4, ZEB2, ZNF143.

20

【 0 1 8 9 】

(ix) リスト12 : HA亜型 (n = 24)

30

BCL2, CADM1, CAV1, CRABP1, CTNNB1, CYTH1, DIRAS3, IFITM1, IGFBP5, IGFBP6,
LOX, MAP2, MATN2, MET, MKI67, MYO1B, ND1, NUCB2, SCG5, SCNN1A, SEL1L3, SGCE,
TNFSF10, TRPC6.

【 0 1 9 0 】

(x) リスト13 : ATC亜型 (n = 12)

CASC5, CEP55, COL12A1, DLGAP5, HMMR, KIF11, MELK, MKI67, NDC80, NUSAP1,
PYGL, TPX2.

40

【 0 1 9 1 】

甲状腺バイオマーカーの上位948個の優性遺伝子オントロジーを以下にリスト化する。

【 0 1 9 2 】

リスト14 : 血管形成 (n = 23)

ACTA2, ANXA2, ARHGAP24, CALCA, CAV1, CITED1, COL1A1, CXCL17, EGF, ELK3,
IL8, LOX, PLCD3, PROK2, RASA1, SEMA3C, TCF7L2, TGFA, TGFB2, TIPARP, TNFRSF12A,
ZFP36L1, ZFPM2.

【 0 1 9 3 】

リスト15 : アポトーシス (n = 43)

AHR, ANXA1, BAG3, BCL2, BCL2A1, BIRC5, C8orf4, CADM1, CD2, CLU, CTNNB1, DAPK2, DLC1, DNASE1L3, ECE1, ELMO1, FAM176A, FGF2, GADD45A, GULP1, GZMA, HIPK2, IL2RA, IL8RB, JAK2, NCKAP1, NOD1, NUPR1, PEG10, PERP, PROK2, RYR2, SLC5A8, STK17B, SULF1, TCF7L2, TGFB2, TNFAIP8, TNFRSF11B, TNFRSF12A, TNFSF10, VNN1, ZMAT3.

【 0 1 9 4 】

リスト16：細胞周期、転写因子（n = 184）

AEBP1, AHR, AK1, ANXA1, APOBEC3F, APOBEC3G, ARHGAP24, ARNTL, ATM, BCL2, BHLHE40, BHLHE41, BIRC5, BMP1, BMP8A, CADM1, CAND1, CARD8, CASP1, CCND1, CCND2, CDK2, CEP110, CEP55, CHAF1B, CHD4, CITED1, CKS2, CLU, CRABP2, CSGALNACT1, CTNNB1, CXCL1, CXCL17, DENND4A, DLGAP5, DST, DZIP1, EGF, EHF, EIF2B2, EIF4H, ELK3, EMP2, EPS8, ERBB2, ERBB3, ESRRG, ETS1, ETV1, ETV4, ETV5, FABP4, FGF2, G0S2, GADD45A, GLDN, GLIS3, GTF3A, HEMGN, HEY2, HIPK2, HLF, HMGA2, HPN, ID3, IFI16, IFNAR2, IGSF1, IKZF2, IKZF3, IKZF4, IL2RA, IL8, ITPR1, JAK2, JUB, KHDRBS2, KIF11, KLF8, KLK10, KRT18, LGALS3, LIFR, LMO3, LMO4, LRP2, LTBP2, LTBP3, MACC1, MAFG, MAMLD1, MAPK4, MAPK6, MCM4, MCM7, MDK, MED13, MED13L, MIS12, MKI67, MLLT3, MNDA, MTIF3, MYH10, NAB2, NAE1, NDC80, NFATC3, NFE2, NFIB, NFKBIZ, NOD1, NPAS3, NPAT, NRIP1, NRP2, NUDT6, NUPR1, NUSAP1, OSMR, PARD6B, PARP14, PARP4, PBX1, PDLIM1, PEG10, PIAS3, PLAG1, POU2F3, PPARGC1A, PPBP, PRMT6, PROK2, PTRF, PYHIN1, RARG, RBBP7, RBBP8, RGS2, RHOH, RRM2, RUNX1, RUNX2, RXRG, SALL1, SEMA3D, SERPINE2, SLIT1, SLIT2, SMAD9, SMURF2, SP140, SPC25, SPOCK1, STAT4, SYNE1, TACSTD2, TCF7L2, TCFL5, TEAD1, TFCP2L1, TGFA, TGFB2, TGFBR1, TLE4, TNFAIP8, TNFRSF12A, TNFRSF17, TPX2, TSC22D1, TSHZ2, TULP3, TYMS, WNT5A, ZBTB33, ZCCHC12, ZEB2, ZFP36L1, ZFPM2, ZNF143, ZNF208, ZNF487, ZNF643.

10

20

30

【 0 1 9 5 】

リスト17：細胞膜（n = 410）

ABCC3, ABCD2, ACSL1, ADAMTS5, ADAMTS9, ADORA1, AFAP1, AK1, ALOX5,
 AMIGO2, ANK2, ANO5, AP3S1, APOL1, APOO, AQP4, AQP9, ARMCX3, ARMCX6, ASAP2,
 ATP13A4, ATP6V0D2, ATP8A1, AVPR1A, B3GNT3, BCL2, BLNK, BTBD11, C10orf72,
 C17orf87, C1orf115, C4orf34, C5orf28, C6orf174, CADM1, CAMK2N1, CAV1, CAV2,
 CCDC109B, CD151, CD180, CD2, CD200, CD36, CD3D, CD48, CD48, CD52, CD69, CD79A,
 CD96, CDCP1, CDH11, CDH3, CDH6, CDON, CFB, CFI, CHI3L1, CLDN1, CLDN10, CLDN16,
 CLDN4, CLDN7, CLEC2B, CLEC4E, COL12A1, COL1A1, COPZ2, CP, CPE, CR2, CSF3R,
 CSGALNACT1, CTNNAL1, CTNNB1, CWH43, CYP1B1, CYP27A1, CYP4B1, CYSLTR1,
 CYSLTR2, CYTH1, DCAF17, DCBLD2, DHRS3, DIO1, DIRAS3, DLG2, DLG4, DNAJB14,
 DOCK9, DPP4, DPYSL3, DSG2, DUOX1, DUOX2, DUOXA1, DUOXA2, ECE1, EDNRB,
 EFEMP1, EGF, EGFR, EHBP1, EHD2, ELMO1, EMP2, EMR3, ENTPD1, EPB41, EPHA4, EPHX4,
 ERBB2, ERBB3, ERO1LB, F2RL2, F8, FAAH2, FAM176A, FAM84B, FAT4, FBLN5, FLRT3,
 FN1, FPR1, FPR2, FREM2, FRMD3, FXYD6, FZD4, FZD6, FZD7, GABBR2, GABRB2,
 GALNT12, GALNT3, GALNT7, GBP1, GBP3, GBP5, GIMAP2, GIMAP5, GJA4, GLDN, GNG12,
 GOLT1A, GPAM, GPR110, GPR125, GPR155, GPR174, GPR98, GPRC5B, GYPB, GYPC, GYPE,
 HIGD1A, HK1, HLA-DPB1, HNRNPM, HPN, HSD17B6, ICAM1, IFITM1, IFNAR2, IGSF1,
 IL1RAP, IL1RL1, IL2RA, IL7R, IL8RA, IL8RB, IPCEF1, ITGA2, ITGA3, ITGA4, ITGA9, ITGB1,
 ITGB4, ITGB6, ITGB8, ITM2A, ITPR1, IYD, JAK2, JUB, KAL1, KCNA3, KCNAB1, KCNK5,
 KCNQ3, KCTD14, KDELR3, KIAA1305, KIT, KLRB1, KLRC4, KLRG1, KLRK1, LAMB1,
 LAMC1, LEMD1, LGALS3, LIFR, LILRA1, LILRB1, LINGO2, LIPH, LPAR1, LPAR5, LPCAT2,
 LPL, LRP1B, LRP2, LRRN1, LRRN3, LUM, MATN2, MBOAT2, MET, MGEG8, MGAM, MGAT1,
 MGAT4C, MGST1, MMP16, MPZL2, MRC2, MUC1, MUC15, MYH10, MYO6, NAE1, NCAM1,
 NCKAP1, ND1, NDFIP2, NIPAL3, NPY1R, NRCAM, NRP2, NTSE, NUCB2, ODZ1, OSMR,
 P2RY13, PAM, PARD6B, PARP14, PARVA, PCDH1, PCNXL2, PERP, PHEX, PHLDB2, PIGN,
 PKHD1L1, PKP2, PLA2G16, PLA2R1, PLAU, PLCD3, PLEK, PLEKHA4, PLP2, PLSCR4,
 PLXNC1, PMEPA1, PON2, POR, PPAP2C, PPL, PPP1R14C, PRICKLE1, PRRG1, PSD3, PTK7,
 PTPRC, PTPRE, PTPRF, PTPRG, PTPRK, PTPRU, PTRF, RAB25, RAB27A, RARG, RASA1,
 RASD2, RCE1, RDH5, RGS13, RHOH, RHOU, RIMS2, RND3, ROS1, RRAS, RRAS2, RRBP1,
 RYR2, S100A12, SC4MOL, SCARA3, SCEL, SCNN1A, SDC4, SDK1, SEL1L3, SELL, SEMA3C,
 SEMA3D, SEMA4C, SERINC2, SERPINA1, SGCB, SGCE, SGMS2, SGPP2, SIRPA, SIRPB1,
 SLC12A2, SLC16A4, SLC16A6, SLC17A5, SLC24A5, SLC25A33, SLC26A4, SLC26A7,
 SLC27A2, SLC27A6, SLC34A2, SLC35D2, SLC35F2, SLC39A6, SLC4A4, SLC5A8, SLC7A11,
 SLC7A2, SMURF2, SNCA, SNX1, SOAT1, SPINT1, SPOCK1, SPRED2, SPRY1, SPRY2, SQLE,
 SSPN, ST3GAL5, STEAP2, STXBP6, SYNE1, SYT14, SYTL5, TACSTD2, TFCP2L1, TFF3, TFPI,
 TGFA, TGFB2, TGFBR1, TIMP1, TJP1, TJP2, TLCD1, TLR10, TLR8, TM4SF1, TM4SF4,
 TM7SF4, TMEM100, TMEM117, TMEM133, TMEM156, TMEM163, TMEM171, TMEM215,
 TMEM220, TMEM90A, TMEM98, TMPRSS4, TNC, TNFRSF11B, TNFRSF12A, TNFRSF17,
 TNFSF10, TNFSF15, TOMM34, TPO, TRIP10, TRPC5, TRPC6, TSPAN13, TSPAN6, TSPAN8,
 TULP3, TUSC3, VAMP1, VNN1, VNN2, VNN3, WNT5A, XKRX, XPR1, YIF1B, YIPF1, ZBTB33.

10

20

30

40

50

リスト18：稀少膜成分（n = 55）

AMOT, ANXA1, ANXA2, CALCA, CAMK2N1, CAV1, CAV2, CCDC80, CLU, CST6, CTNNB1, CTTN, DLC1, DPP4, DSG2, DSP, DST, ENAH, GJA4, HIPK2, ITGB1, ITGB4, JAK2, JUB, KRT19, LCP1, LRP2, MYH10, MYO5A, MYO6, NEB, PARVA, PCDH1, PERP, PKP2, PKP4, PLEK, PPL, PTRF, RAB34, RASA1, RYR2, SCEL, SGCB, SGCE, SLC27A6, SLIT1, SPRY1, SRL, SSPN, SYNE1, TGFB2, TIAM2, TJP1, TNFRSF12A.

【0197】

10

リスト19：細胞間接着（n = 85）

AEBP1, AFAP1, AMIGO2, ARHGAP24, BCL2, CADM1, CALCA, CD151, CD2, CD36, CD96, CDH3, CDH6, CDON, CLDN1, CLDN10, COL12A1, CSF3R, CTNNAL1, CTNNB1, DCBLD2, DLC1, DSG2, DST, EGFR, ENAH, ENTPD1, EPDR1, F8, FAT4, FBLN5, FLRT3, FN1, FPR2, FREM2, GPR98, ICAM1, IGFBP7, IL1RL1, ITGA2, ITGA3, ITGA4, ITGA9, ITGB1, ITGB4, ITGB6, ITGB8, JUB, KAL1, LAMB1, LAMB3, LAMC1, LAMC2, LIMA1, MFGE8, MLLT4, MPZL2, NCAM1, NELL2, NRCCAM, NRP2, PARVA, PCDH1, PERP, PKP2, PKP4, PLXNC1, PTK7, PTPRC, PTPRF, PTPRK, PTPRU, RHOU, RND3, SDK1, SELL, SGCE, SIRPA, SPOCK1, SPP1, SSPN, TJP1, TNC, TNFRSF12A, VNN1.

20

【0198】

リスト20：細胞頂端膜（n = 15）

ANK2, ATP6V0D2, CTNNB1, CTNNB1, DPP4, DUOX1, ERBB2, ERBB3, F2RL2, FZD6, LRP2, SCNN1A, SLC26A4, SLC34A2, TFF3.

【0199】

リスト21：細胞側底膜、細胞側膜（n = 28）

30

ANK2, ANXA1, ANXA2, CADM1, CCDC80, CTNNB1, CTTN, DSP, DST, EGFR, EPB41, ERBB2, ERBB3, FREM2, LAMB1, LAMB3, LAMC1, LAMC2, MET, MYH10, MYO6, PTPRK, SLC26A7, SMOC2, SNCA, TIMP3, TJP1, TRIP10.

【0200】

リスト22：インテグリン（n = 14）

ADAMTS5, DST, FBLN5, ICAM1, ITGA2, ITGA3, ITGA4, ITGA9, ITGB1, ITGB4, ITGB6, ITGB8, MFGE8, PLEK.

40

【0201】

リスト23：細胞間結合（n = 40）

AMOT, ARHGAP24, ARHGAP24, CADM1, CAMK2N1, CLDN1, CLDN10, CLDN16, CLDN4, CLDN7, CNN2, DLG2, DLG4, DPYSL3, DSP, ENAH, GABBR2, GABRB2, GJA4, JUB, LIMA1, MLLT4, NCKAP1, NEXN, PARD6B, PARVA, PCDH1, PERP, PPL, PSD3, PTPRK, PTPRU, RHOU, RIMS2, SH3PXD2A, SSPN, TGFB2, TJP1, TJP2, VAMP1.

【0202】

リスト24：細胞表面（n = 17）

CD36, DCBLD2, DPP4, GPR98, HMMR, IL1RL1, IL8RB, ITGA4, ITGB1, KAL1, MMP16, PTPRK, SDC4, SULF1, TGFA, TM7SF4, TNFRSF12A.

【 0 2 0 3 】

リスト25：細胞外空間（n = 156）

ADAMTS5, ADAMTS9, AEBP1, AGR2, ANGPTL1, ANXA2, APOL1, APOO, BMP1, BMP8A, C12orf49, C2, C2orf40, C3, C4A, C4B, C4orf7, CA11, CALCA, CCDC80, CCL13, CCL19, CDCP1, CFB, CFH, CFHR1, CFI, CHGB, CHI3L1, CLU, COL12A1, COL1A1, CP, CPE, CSF3R, CST6, CXCL1, CXCL11, CXCL13, CXCL14, CXCL17, CXCL2, CXCL3, CXCL9, DPP4, EFEMP1, EGF, EGFR, EMR3, ENDOD1, EPDR1, ERBB3, F8, FAM20A, FAM55C, FBLN5, FCN1, FCN2, FGF2, FIBIN, FN1, FXYD6, GLA, GSN, GZMA, GZMK, ICAM1, IFNAR2, IGFBP5, IGFBP6, IGFBP7, IGJ, IGKC, IGKV1-5, IGKV3-20, IGKV3D-11, IGSF1, IL1RAP, IL1RL1, IL7R, IL8, KAL1, KIT, KLK10, KLK7, LAMB1, LAMB3, LAMC1, LAMC2, LCN2, LIFR, LIPH, LOC652694, LOX, LPL, LTBP2, LTBP3, LUM, LYZ, MATN2, MDK, MFGE8, MMP16, MUC1, MUC15, MXRA5, NCAM1, NELL2, NPC2, NUCB2, ODZ1, PAM, PDGFRL, PGCP, PLA2G7, PLA2R1, PLAU, PON2, PPBP, PROK2, PROS1, PRRG1, PRSS23, PXDNL, RNASE1, RNASET2, SCG3, SCG5, SEMA3C, SEMA3D, SEPP1, SERPINA1, SERPINE2, SERPING1, SFN, SFTPB, SLIT1, SLIT2, SLPI, SMOC2, SPINT1, SPOCK1, SPP1, SULF1, TFF3, TFPI, TGFA, TGFB2, THSD4, TIMP1, TIMP3, TNC, TNFRSF11B, TNFSF10, TNFSF15, WNT5A.

10

20

30

40

50

【 0 2 0 4 】

リスト26：細胞骨格（n = 94）

ACTA2, ADORA1, AFAP1, AMOT, ANK2, ANXA2, AP3S1, ARHGAP24, ATM, ATP8A1, BCL2, BIRC5, C2orf40, CASCS5, CLU, CNN2, CNN3, COL12A1, COL1A1, COPZ2, CTNNAL1, CTNNB1, CTTN, CXCL1, DLG4, DLGAP5, DPYSL3, DST, DYNC1I2, DYNLT1, EGFR, ELMO1, ENAH, EPB41, EPS8, FAM82B, FRMD3, GPRC5B, GSN, GYPC, IGF2BP2, IQGAP2, JAK2, JUB, KATNAL2, KIAA0284, KIF11, KRT18, LCA5, LCP1, LIMA1, LOX, LUM, MAP2, MPZL2, MYH10, MYO1B, MYO1D, MYO5A, MYO6, NEB, NEXN, NFE2, NUSAP1, PARVA, PDLM1, PKP2, PLEK, PLS3, PPL, PTPN14, RHOU, RND3, S100A9, SCNN1A, SDC4, SGCB, SGCE, SNCA, SORBS2, SPRED2, SPRY2, STK17B, SYNE1, TGFB2, TGFBR1, TMSB10, TMSB15A, TPX2, TRIP10, TUBB1, TUBB6, VAMP1, WIPI1.

【 0 2 0 5 】

いくつかの態様において、本発明は、以下の工程を含む、癌を分類する方法を提供する：遺伝子発現産物を含む生物学的試料を得る工程；該生物学的試料の一つまたは複数の遺伝子発現産物について発現レベルを測定する工程；および、該遺伝子発現レベルが、該生物学的試料における甲状腺癌の存在を示す場合、癌性として該生物学的試料を同定する工程。これは、遺伝子発現レベルを、生物学的試料における甲状腺癌の存在と相關させることによりなされ得る。一つの態様において、遺伝子発現産物は、表2にリスト化された一つまたは複数の遺伝子から選択される。いくつかの態様において、該方法は、指定された信頼水準で、生物学的試料と対照試料との間に遺伝子発現レベルの差が存在する場合に、非甲状腺器官から甲状腺へ転移した癌について陽性として該生物学的試料を同定する工程をさらに含む。

【0206】

非甲状腺器官から甲状腺への転移に関与するバイオマーカーが提供される。甲状腺に転移し、本発明の方法を使用して診断され得る、そのような転移性癌には、転移性副甲状腺癌、転移性黒色腫、転移性腎癌、転移性乳癌、および転移性B細胞リンパ腫が含まれるが、これらに限定されない。甲状腺への転移を診断するため本発明の方法により使用され得る例示的なバイオマーカーは、表2にリスト化される。

【0207】

(表2) 甲状腺への転移に関与するバイオマーカー

転移の型	遺伝子の数	遺伝子
甲状腺への 非甲状腺転移の 上位バイオマーカー	73	ACADL, ATP13A4, BIRC5, BTG3, C2orf40, C7orf62, CD24, CHEK1, CP, CRABP1, CXADR, CXADRP2, DIO1, DIO2, EPCAM, EPR1, GPX3, HSD17B6, IQCA1, IYD, KCNJ15, KCNJ16, KRT7, LMO3, LOC100129258, LOC100130518, LPCAT2, LRRC2, LRRC69, MAL2, MAPK6, MGAT4C, MGC9913, MT1F, MT1G, MT1H, MT1P2, MUC15, NEBL, NPNT, NTRK2, PAR1, PCP4, PDE1A, PDE8B, PKHD1L1, PLS3, PVRL2, PVRL3, RGN, RPL3, RRM2, SCD, SEMA3D, SH3BGRL2, SLC26A4, SLC26A7, SNRPN, SPC25, SYT14, TBCKL, TCEAL2, TCEAL4, TG, TPO, TSHR, WDR72, ZBED2, ZNF208, ZNF43, ZNF676, ZNF728, ZNF99
甲状腺への 副甲状腺転移	101	TCID-2688277, ACSL3, ACTR3B, ADAM23, ADH5, ARP11, AS3MT, BANK1, C10orf32, C11orf41, C2orf67,

10

20

		C7orf62, C8orf34, CA8, CASR, CD109, CD226, CD24, CD44, CDCA7L, CHEK1, CLDN1, CP, DIO2, DMRT2, DNAH11, DPP4, ELOVL2, ENPEP, EPHA7, ESRRG, EYA1, FMN2, GCM2, GPR160, GPR64, HSD17B6, ID2, ID2B, IYD, KIDINS220, KIF13B, KL, LGI2, LMO3, LOC100131599, LOC150786, LPL, LRRC69, MAPK6, MGST1, MT1F, MT1G, MT1H, MT1P2, MUC15, NAALADL2, NPNT, OGN, PDE8B, PEX5L, PKHD1L1, PLA2G4A, PLCB1, PRLR, PTH, PTN, PTPRD, PTTG1, PTTG2, PVALB, PVRL2, RAB6A, RAB6C, RAPGEF5, RARRES2, RGN, RNF217, RPE, SACS, SEMA3D, SGK1, SLA, SLC15A1, SLC26A4, SLC26A7, SLC7A8, SPOCK3, ST3GAL5, STXBP5, SYCP2L, TBCKL, TG, TINF2, TMEM167A, TPO, TSHR, TTR, WDR72, YAP1, ZBED2	10
甲状腺への 黒色腫転移	190	TCID-2840750, ABCB5, AHNAK2, ALX1, ANLN, AP1S2, APOD, ASB11, ATP13A4, ATP1B1, ATRNL1, AZGP1, BACE2, BAMBI, BCHE, BIRC5, BRIP1, BZW1, BZW1L1, C2orf40, C6orf218, C7orf62, CA14, CASC1, CCNB2, CD24, CDH19, CDK2, CDKN3, CENPF, CHRNA5, CP, CRABP1, DCT, DEPDC1, DIO1, DIO2, DLGAP5, DSCC1, DSP, EDNRB, EIF1AY, EIF4A1, ENPP1, EPCAM, EPR1, ESRP1, FABP7, FANCI, GAS2L3, GGH, GPM6B, GPNMB, GPR19, GPX3, GULP1, GYG2, HAS2, HEATR5A, HMCN1, HTN1, IL13RA2, IQCA1, IYD, KCNJ15, KCNJ16, KIAA0894, KIF23, KRT7, KRTAP19-1, LGALS1, LMO3, LOC100129171, LOC100129258, LOC100130275, LOC100130357, LOC100130518, LOC100131821, LOC145694, LOC653653, LRP2, LRRC69, LSAMP, LUM, MAL2, MAPK6, MGC87042, MITF, MLANA, MME, MND1, MOXD1, MSMB, MUC15, NDC80, NEBL, NLGN1, NOX4, NPNT, NTRK2, NUDT10, NUDT11, PAX3, PBK, PCP4, PDE3B, PDE8B, PI15, PIGA, PIR, PKHD1L1, PLP1, PLXNC1, POLG, POMGNT1, POPDC3, POSTN, PRAME, PRAMEL, PTPRZ1, PVRL2, PYGL, QPCT, RGN, RNF128, ROPN1, ROPN1B, RPL3, RPSA, RPSAP15, RPSAP58, S100B, SACS, SAMD12, SCD, SEMA3C, SERPINA3, SERPINE2, SERPINF1, SHC4, SILV, SLA, SLC16A1,	20 30 40

		SLC26A4, SLC26A7, SLC39A6, SLC45A2, SLC5A8, SLC6A15, SNAI2, SNCA, SNORA48, SNORA67, SORBS1, SPC25, SPP1, SPRY2, SRPX, ST3GAL6, STEAP1, STK33, TBC1D7, TBCKL, TCEAL2, TCEAL4, TCN1, TF, TFAP2A, TG, TIMP2, TMSB15A, TMSB15B, TNFRSF11B, TOP2A, TPO, TPX2, TRPM1, TSHR, TSPAN1, TUBB4, TYR, TYRL, TYRP1, WDR72, ZBED2, ZNF208, ZNF43, ZNF676, ZNF728, ZNF99	10
甲状腺への腎癌転移	130	TCID-2763154, ADFP, AKR1C3, ALPK2, APOL1, ASPA, ATP13A4, ATP8A1, BHMT, BHMT2, BICC1, BIRC3, C12orf75, C1S, C2orf40, C3, C7orf62, CA12, CDH6, CLRN3, CP, CYB5A, DAB2, DEFB1, DIO2, EFNA5, EGLN3, EIF1AY, ENPEP, ENPP1, ENPP3, EPCAM, ESRP1, FABP6, FABP7, FAM133B, FCGR3A, FCGR3B, FXYD2, GAS2L3, GLYAT, GSTA1, GSTA2, GSTA5, HAVCR1, HLA-DQA1, HPS3, IGFBP3, IL20RB, IYD, KMO, LEPREL1, LMO3, LOC100101266, LOC100129233, LOC100129518, LOC100130232, LOC100130518, LOC100133763, LOC728640, LOX, LRRC69, MAPK6, MGC9913, MME, MMP7, MT1G, MUC15, NEBL, NLGN1, NNMT, NPNT, NR1H4, OPN3, OSMR, PCOLCE2, PCP4, PDE8B, PDZK1IP1, PIGA, PKHD1L1, POSTN, PREPL, PTHLH, RPS6KA6, S100A10, SAA1, SAA2, SCD, SLC16A1, SLC16A4, SLC17A3, SLC26A4, SLC26A7, SLC3A1, SLCO4C1, SNX10, SOD2, SPINK1, SPP1, SYT14, TBCKL, TCEAL2, TCEAL4, TG, TMEM161B, TMEM176A, TMEM45A, TNFAIP6, TNFSF10, TPO, TSHR, UGT1A1, UGT1A10, UGT1A3, UGT1A4, UGT1A5, UGT1A6, UGT1A7, UGT1A8, UGT1A9, UGT2A3, UGT2B7, VCAM1, VCAN, ZNF208, ZNF43, ZNF676, ZNF728, ZNF99	20 30
甲状腺への乳癌転移	117	TCID-3777770, ACADL, AGR2, AGR3, ALDH1A1, ANLN, ASPM, ATP13A4, AZGP1, BIRC5, BRIP1, C10orf81, C7orf62, C8orf79, CA2, CCNB2, CCNE2, CDC2, CDC6, CDKN3, CENPF, CHEK1, CP, CSNK1G1, DEPDC1, DIO1, DIO2, DLGAP5, DTL, EHF, EPR1, EZH2, FAM111B, FANCI, GALNT5, GPX3, HHEX, HPS3, IQCA1, ITGB3, IYD, KCNJ15, KCNJ16, KIAA0101, KIF23, LMO3,	40

		LOC100129258, LOC100130518, LOC100131821, LOC145694, LRP2, LRRC2, LRRC69, MAPK6, MELK, MGAT4C, MKI67, MND1, MUC15, MYB, NDC80, NPY1R, NUF2, NUSAP1, PAR1, PARP8, PBK, PCP4, PDE1A, PDE8B, PI15, PIP, PKHD1L1, POLG, PPARGC1A, PRC1, PVRL2, PVRL3, RAD51AP1, RGN, RPL3, RRM2, SAA1, SAA2, SCD, SCGB1D2, SCGB2A2, SEMA3C, SERPINA3, SLA, SLC26A4, SLC26A7, SNRPN, SPC25, ST3GAL5, STK33, SULT1C2, SYCP2, SYT14, TFF1, TG, THBS1, TOP2A, TPO, TPX2, TRPS1, TSHR, TTK, UNQ353, VTCN1, WDR72, ZBED2, ZNF208, ZNF43, ZNF676, ZNF728, ZNF99	10
甲状腺への B細胞リンパ腫転移	160	ACADL, AIM2, ALDH1A1, ALG9, APP, ARHGAP29, ATP13A4, ATP1B1, BCL2A1, BIRC3, BIRC5, BTG3, C11orf74, C2orf40, C7orf62, CALCRL, CALD1, CD180, CD24, CD48, CD52, CD53, CDH1, CNN3, COX11, CP, CPE, CR2, CRYAB, CXADR, CXADRP2, CXorf65, DCBLD2, DIO2, DLGAP5, DSP, EAF2, EFCAB2, ENPP1, EPCAM, EPR1, ESRP1, FABP4, FDXACB1, FNBP1L, GJA1, GNAI1, GNG12, GPR174, GPX3, GTSF1, HCG11, IKZF3, IL2RG, IQCA1, IYD, KCNJ16, KLHL6, LAPTM5, LCP1, LIFR, LMO3, LOC100128219, LOC100129258, LOC100130518, LOC100131821, LOC100131938, LOC647979, LOC729828, LPCAT2, LPHN2, LRIG3, LRMP, LRP2, LRRC6, LRRC69, MAL2, MAOA, MAPK6, MATN2, MCOLN2, MGC9913, MGP, MKI67, MS4A1, MT1F, MT1G, MT1H, MT1L, MT1P2, MUC15, NCKAP1, NCKAP1L, NEBL, NME5, NPNT, NUDT12, PAR1, PBX1, PCP4, PDE8B, PDK4, PERP, PFN2, PKHD1L1, PLD2, PLS3, POMGNT1, PPARGC1A, PPIC, PTPRC, PTPRM, PVRL3, RASEF, RGN, RGS13, RGS5, RHOH, RPL3, RPL37AP8, RRM2, S100A1, S100A13, SDC2, SELL, SEMA3D, SH3BGRL2, SLC26A4, SLC26A7, SMARCA1, SNRPN, SP140, SP140L, SPARCL1, SPC25, SPTLC3, ST20, STK17B, SYT14, TBCKL, TCEAL2, TCEAL4, TEAD1, TG, TJP1, TLR10, TOM1L1, TOP2A, TSHR, TSPAN1, TSPAN6, UACA, VNN2, WBP5, WDR72, ZNF208, ZNF43, ZNF676, ZNF728, ZNF99	20 30 40

いくつかの態様において、4%未満の全体分類過誤率を達成するのに必要とされる遺伝子の最少数を証明するために、上位甲状腺バイオマーカー（948遺伝子）は、値域（各値域50TCID）へと細分される（図1）。分類のために使用される最初のTCIDは、Affymetrix Human Exon 1.0STマイクロアレイチップに対応し、各々が複数の遺伝子にマッピングされてもよいし、または遺伝子にマッピングされなくてもよい（Affymetrixアノテーションファイル：HuEx-1_0-st-v2.na29.hg18.transcript.csv）。遺伝子がTCIDにマッピングされない場合、バイオマーカーはTCID-#####として表記される。

【0209】

リスト27：過誤率値域1（TCID1～50（n=50）、遺伝子記号、n=58）

AMIGO2, C11orf72, C11orf80, C6orf174, CAMK2N1, CDH3, CITED1, CLDN1, CLDN16, CST6, CXorf27, DLC1, EMP2, ERBB3, FZD4, GABRB2, GOLT1A, HEY2, HMGA2, IGFBP6, ITGA2, KCNQ3, KIAA0408, KRT19, LIPH, LOC100129115, MACC1, MDK, MET, METTL7B, MFGE8, MPZL2, NAB2, NOD1, NRCAM, PDE5A, PDLIM4, PHYHIP, PLAG1, PLCD3, PRICKLE1, PROS1, PRR15, PRSS23, PTPRF, QTRT1, RCE1, RDH5, ROS1, RXRG, SDC4, SLC27A6, SLC34A2, SYTL5, TNFRSF12A, TRPC5, TUSC3, ZCCHC12.

10

【0210】

リスト28：過誤率値域2（TCID51～100（n=50）、遺伝子記号、n=59）

AHNAK2, AIDA, AMOT, ARMCX3, BCL9, C1orf15, C1orf16, C4A, C4B, C6orf168, CCDC121, CCND1, CDH6, CFI, CLDN10, CLU, CRABP2, CXCL14, DOCK9, DZIP1, EDNRB, EHD2, ENDOD1, EPHA4, EPS8, ETNK2, FAM176A, FLJ42258, HPN, ITGA3, ITGB8, KCNK5, KLK10, LAMB3, LEMD1, LOC100129112, LOC100132338, LOC554202, MAFG, MAMLD1, MED13, MYH10, NELL2, PCNXL2, PDE9A, PLEKHA4, RAB34, RARG, SCG5, SFTPB, SLC35F2, SLIT2, TACSTD2, TGFA, TIMP1, TMEM100, TMRSS4, TNC, ZCCHC16.

20

【0211】

リスト29：過誤率値域3（TCID101～150（n=50）、遺伝子記号、n=52）

ABTB2, ADAMTS9, ADORA1, B3GNT3, BMP1, C19orf33, C3, CDH11, CLIP3, COL1A1, CXCL17, CYSLTR2, DAPK2, DHRS3, DIRAS3, DPYSL3, DUSP4, ECE1, FBXO2, FGF2, FN1, GALE, GPRC5B, GSN, IKZF4, IQGAP2, ITGB4, KIAA0284, KLF8, KLK7, LONRF2, LPAR5, MPPE2, MUC1, NRIP1, NUDT6, ODZ1, PAM, POU2F3, PPL, PTRF, RAPGEF5, RASD2, SCARA3, SCEL, SEMA4C, SNX22, SPRY1, SSPN, TM4SF4, XPR1, YIF1B.

30

【0212】

リスト30：過誤率値域4（TCID151～200（n=50）、遺伝子記号、n=58）

AFAP1, ARMCX6, ARNTL, ASAP2, C2, C8orf4, CCDC148, CFB, CHAF1B, CLDN4, DLG4, DUSP6, ELMO1, FAAH2, FAM20A, FLRT3, FRMD3, GALNT12, GALNT7, IGFBP5, IKZF2, ISYNA1, LOC100131490, LOC648149, LOC653354, LRP1B, MAP2, MRC2, MT1F, MT1G, MT1H, MT1P2, MYEF2, NPAS3, PARD6B, PCDH1, PMEPA1, PPAP2C, PSD3, PTPRK, PTPRU, RAI2, RRAS, SDK1, SERPINA1, SERPINA2, SGMS2, SLC24A5, SMURF2, SPATS2L, SPINT1, TDRKH, TIPARP, TM4SF1, TMEM98, WNT5A, XKRX, ZMAT4.

40

【0213】

リスト31：過誤率値域5（TCID201～250（n=50）、遺伝子記号、n=53）

ABCC3, AEBP1, C16orf45, C19orf33, CA11, CCND2, CDO1, CYP4B1, DOK4, DUSP5, ETV4, FAM111A, FN1, GABBR2, GGCT, GJA4, GPR110, HIPK2, ITGA9, JUB, KDELR3, KIAA1217, LAMC2, LCA5, LTBP2, LTBP3, MAPK6, NAV2, NIPAL3, OSMR, PDZRN4, PHLDB2, PIAS3, PKHD1L1, PKP2, PKP4, PRINS, PTK7, PTGPR, RAB27A, RAD23B, RASA1, RICH2, SCRNI, SFN, ST3GAL5, STK32A, TCERG1L, THSD4, TJP2, TM7SF4, TPO, YIF1B.

【0214】

IX. 組成物

(i) 本発明の遺伝子発現産物およびスプライスバリアント

10

分子プロファイリングは、以下のうちの一つまたは複数についてのアッセイ法を含む、本開示のアッセイ法も含み得るが、これらに限定されない：図2～6、9～13、16、または17に提供された遺伝子のタンパク質、タンパク質発現産物、DNA、DNA多型、RNA、RNA発現産物、RNA発現産物レベル、またはRNA発現産物スプライスバリアント。いくつかの場合において、本発明の方法は、約1個、2個、3個、4個、5個、6個、7個、8個、9個、10個、15個、20個、25個、30個、35個、40個、45個、50個、60個、70個、80個、90個、100個、120個、140個、160個、180個、200個、240個、280個、300個、350個、400個、450個、500個、600個、700個、800個、1000個、1500個、2000個、2500個、3000個、3500個、4000個、5000個、またはそれ以上のDNA多型、発現産物マーカー、および／または選択的スプライスバリアントマーカーの分子プロファイリングにより、改善された癌診断を提供する。

20

【0215】

一つの態様において、分子プロファイリングは、図2、6、9～13、16、または17から選択される一つまたは複数の遺伝子について遺伝子発現産物レベルを測定するために実施されるマイクロアレイハイブリダイゼーションを含む。いくつかの場合において、一つの群からの一つまたは複数の遺伝子の遺伝子発現産物レベルが、別の群の一つまたは複数の遺伝子の遺伝子発現産物レベルと比較される。一例に過ぎず、これに限定されないが、遺伝子TPOの発現レベルが、遺伝子GAPDHの発現レベルと比較され得る。別の態様において、遺伝子発現レベルが、以下の代謝経路またはシグナル伝達経路のうちの一つまたは複数に関与する一つまたは複数の遺伝子について測定される：甲状腺ホルモンの産生および／または放出、プロテインキナーゼシグナル伝達経路、脂質キナーゼシグナル伝達経路、ならびにサイクリン。いくつかの場合において、本発明の方法は、1個、2個、3個、4個、5個、6個、7個、9個、10個、11個、12個、13個、14個、または15個、またはそれ以上の異なる代謝経路またはシグナル伝達経路の少なくとも一つの遺伝子の遺伝子発現産物レベルおよびまたは選択的エキソン使用の分析を提供する。

30

【0216】

(ii) 本発明の組成物

以下のうちの一つまたは複数を含む、本開示の組成物も、提供される：図2～6、9～13、16、または17に提供される遺伝子または遺伝子の一部に対応するヌクレオチド（例えば、DNAまたはRNA）、および図2～6、9～13、16、または17に提供される遺伝子の相補体または遺伝子の相補体の一部に対応するヌクレオチド（例えば、DNAまたはRNA）。本発明のヌクレオチドは、少なくとも約10、15、20、25、30、35、40、45、50、55、60、65、70、75、100、150、200、250、300、350、または約400もしくは500ヌクレオチド長であり得る。本発明のいくつかの態様において、ヌクレオチドは、ペプチド核酸、ピラノシリルRNA、ヌクレオシド、メチル化核酸、PEG化核酸、環状ヌクレオチド、および化学的に修飾されたヌクレオチドを含むが、これらに限定されない、リボ核酸またはデオキシリボ核酸の天然または人工の誘導体であってもよい。本発明の組成物のいくつかにおいて、本発明のヌクレオチドは、検出可能な標識を含むよう化学的に修飾されている。本発明のいくつかの態様において、生物学的試料は、標識を含むよう化学的に修飾されている。

40

【0217】

本開示のさらなる組成物は、図2～6、9～13、16、または17に提供される遺伝子および

50

それらの相補体の発現産物を検出（即ち、測定）するためのオリゴヌクレオチドを含む。本開示のさらなる組成物は、図2～6、9～13、16、または17に提供される遺伝子の多型対立遺伝子およびそれらの相補体の発現産物を検出（即ち、測定）するためのオリゴヌクレオチドを含む。そのような多型対立遺伝子には、スプライス部位バリアント、一塩基多型、反復数多型、挿入、欠失、およびホモログが含まれるが、これらに限定されない。いくつかの場合において、バリアント対立遺伝子は、図6にリスト化された遺伝子と約99.9%～約70%同一であり、例えば、約99.75%、99.5%、99.25%、99%、97.5%、95%、92.5%、90%、85%、80%、75%、約70%、同一である。いくつかの場合において、バリアント対立遺伝子は、図2～6、9～13、16、または17に提供される遺伝子と、約1～約500ヌクレオチド、異なっており、例えば、約1、2、3、5、7、10、15、20、25、30、35、50、75、100、150、200、250、300、約400ヌクレオチド、異なっている。

10

【0218】

いくつかの態様において、本発明の組成物は、良性試料と悪性試料との間で差次的に発現される上位遺伝子産物、または良性試料と悪性試料との間で差次的にスプライシングされる上位遺伝子産物、または正常試料と良性試料もしくは悪性試料との間で差次的に発現される上位遺伝子産物、または正常試料と良性試料もしくは悪性試料との間で差次的にスプライシングされる上位遺伝子産物から特に選択され得る。いくつかの場合において、差次的に発現される上位遺伝子産物は、図2および／または図4から選択され得る。いくつかの場合において、差次的にスプライシングされる上位遺伝子産物は、図3および／または図5から選択され得る。

20

【0219】

IX. ビジネス方法

本明細書に記載されるように、カスタマーまたは見込みカスタマーという用語は、分子プロファイリングビジネスの方法またはサービスを使用し得る個体または実体をさす。本明細書に記載された分子プロファイリングの方法およびサービスの見込みカスタマーには、例えば、患者、対象、医師、細胞診検査室、保健医療提供者、研究者、保険企業、メディケイド(Medicaid)のような政府実体、雇用者、または癌の診断、モニタリング、および処置のためのより経済的もしくは効率的なシステムの達成に関心のあるその他の任意の実体が含まれる。

30

【0220】

そのような者は、例えば、薬物もしくは介入から最も利益を得る可能性が高い患者に対して高価な薬物もしくは治療的介入を選択的に必要とするため、または薬物もしくは他の治療的介入の不必要的使用によって、利益を受けないか、もしくは被害を受ける可能性のある個体を同定するため、分子プロファイリング結果を用いることができる。

【0221】

(i) 販売の方法

本発明の分子プロファイリングビジネスのサービスは、例えば、診断およびケアを増強する方法として、健康について懸念のある個体、医師、またはその他の医療従事者に販売されてもよいし；例えば、増強された診断をクライアントに提供するためのサービスとして、細胞診検査室に販売されてもよいし；例えば、不当な治療的介入を排除することにより、コストを低下させるための方法として、保健医療提供者、保険企業、および政府実体に販売されてもよい。見込みクライアントへの販売の方法には、さらに、遺伝子発現産物と疾患または状態との間の新たな相関を見出そうとしている研究者および医師のためのデータベースアクセスの販売が含まれる。

40

【0222】

販売の方法には、見込みカスタマーへの印刷物、ラジオ、テレビ、またはインターネットに基づく広告の使用が含まれ得る。特定の媒体を通して、見込みカスタマーに販売することも可能であり、例えば、内分泌学者には、Journal of the American Medical Association、Physicians Practice、American Medical News、Consultant、Medical Economics、Physician's Money Digest、American Family Physician、Monthly Prescribing Refer

50

ence、Physicians' Travel and Meeting Guide、Patient Care、Cortlandt Forum、Internal Medicine News、Hospital Physician、Family Practice Management、Internal Medicine World Report、Women's Health in Primary Care、Family Practice News、Physician's Weekly、Health Monitor、The Endocrinologist、Journal of Endocrinology、The Open Endocrinology Journal、およびThe Journal of Molecular Endocrinologyを含むが、これらに限定されない、業界誌および医学雑誌に広告を置くことにより販売することができる。販売は、本発明の方法およびサービスを使用して、実験を実施し、いくつかの場合において、結果を発表するか、またはさらなる研究のための資金を求めるため、医療従事者との協同の形態をとることもできる。いくつかの場合において、販売の方法は、連絡情報を決定するための、例えば、American Medical Association (AMA) データベースのような医師または医療従事者のデータベースの使用を含み得る。

10

【0223】

一つの態様において、販売の方法は、ルーチンの方法を使用して、明確に診断することができない試料を有するカスタマーに、分子プロファイリングサービスを提供するための、細胞学的試験検査室との協同を含む。

【0224】

(ii) コンピュータを使用したビジネス方法

分子プロファイリングビジネスは、図22に例示されるようなコンピュータ800のような一つまたは複数のコンピュータを本発明の方法において使用してもよい。コンピュータ800は、試料もしくはカスタマーの追跡のようなカスタマーおよび試料の情報の管理、データベース管理、分子プロファイリングデータの分析、細胞学的データの分析、データ保存、代金請求、販売、結果の報告、または結果の保存のために使用され得る。コンピュータは、データ、結果、代金請求情報、販売情報（例えば、人口統計）、カスタマー情報、または試料情報を表示するためのモニター807またはその他のグラフィカルインターフェースを含み得る。コンピュータは、データまたは情報の入力のための手段816、815も含み得る。コンピュータは、処理装置801、および固定された媒体803、または取り外し可能な媒体811、またはそれらの組み合わせを含み得る。コンピュータに物理的に近いユーザは、例えば、キーボードおよび／もしくはマウスを介して、コンピュータにアクセスすることができ、または物理的なコンピュータに必ずしも近くないユーザ822は、モデム、インターネット接続、電話接続、もしくは有線もしくは無線の通信搬送波のような通信媒体805を通してコンピュータにアクセスすることができる。いくつかの場合において、コンピュータは、ユーザからコンピュータへ、またはコンピュータからユーザへ、情報を中継するための、サーバー809またはその他の通信装置に接続されていてもよい。いくつかの場合において、ユーザは、通信媒体805を通してコンピュータから入手されたデータまたは情報を、取り外し可能な媒体812のような媒体に保存することができる。本発明に関するデータは、ある者による受信および／または閲覧のため、そのようなネットワークまたは接続を通して伝達され得ることが構想される。受信者は、個体、保健医療提供者、または保健医療管理者であり得るが、これらに限定されない。一つの態様において、コンピュータにより読み取り可能な媒体には、エキソソームバイオサインのような生物学的試料の分析の結果の伝達のために適している媒体が含まれる。媒体は、本明細書に記載された方法を使用して導出される、対象のエキソソームバイオサインに関する結果を含むことができる。

20

【0225】

分子プロファイリングビジネスは、以下のうちの一つまたは複数の目的のためにデータベースへ試料情報を入力してもよい：在庫の追跡、アッセイ結果の追跡、注文の追跡、カスタマー管理、カスタマーサービス、代金請求、および売り上げ。試料情報には、以下のものが含まれ得るが、これらに限定されない：カスタマーの名称、独特のカスタマーID、カスタマーに関連する医療従事者、必要とされるアッセイ法、アッセイ結果、妥当性状態、必要とされる妥当性試験、個体の病歴、予備的診断、推測される診断、試料の履歴、保険提供者、医療提供者、第三者試験施設、またはデータベースへの保存のために適している任意の情報。試料の履歴には、以下のものが含まれ得るが、これらに限定されない：試

30

40

50

料の古さ、試料の型、取得の方法、保管の方法、または輸送の方法。

【0226】

データベースは、カスタマー、医療従事者、保険提供者、第三者、または分子プロファイリングビジネスがアクセスを認める個体もしくは実体によりアクセス可能であり得る。データベースアクセスは、コンピュータまたは電話のような電子通信の形態をとり得る。データベースは、カスタマーサービス代理人、ビジネス代理人、コンサルタント、独立した試験施設、または医療従事者のような仲介者を通してアクセスされてもよい。データベースアクセスまたはアッセイ結果のような試料情報の利用可能性または程度は、与えられた、または与えられる予定の製品およびサービスについての代金の支払い時に変化してもよい。データベースアクセスまたは試料情報の程度は、患者またはカスタマーの機密性のための一般に認められているか、または法的な要件に応じて制限され得る。分子プロファイリング企業は、以下のうちの一つまたは複数について、個体、保険提供者、医療提供者、または政府実体に代金を請求することができる：試料受け取り、試料保管、試料調製、細胞学的試験、分子プロファイリング、試料情報のデータベースへの入力および更新、またはデータベースアクセス。

10

【0227】

(iii) ビジネスフロー

図18aは、試料が分子プロファイリングビジネスにより処理され得る一つの方式を例示するフローチャートである。例えば、甲状腺細胞の試料が、おそらく細針吸引を介して、内分泌学者により得られ得る100。試料は、ルーチンの細胞学的染色法に供される125。ルーチンの細胞学的染色は、四つの異なる可能性のある予備的診断、非診断的105、良性110、不明確もしくは疑わしい115、または悪性120を提供する。次いで、分子プロファイリングビジネスが、本明細書に記載されたように、遺伝子発現産物レベルを分析することができる130。遺伝子発現産物レベルの分析、分子プロファイリングは、悪性140または良性135の確定診断をもたらすことができる。いくつかの場合において、ルーチンの細胞学的調査において不明確な非診断的な結果を提供する試料のような、試料のサブセットのみが、分子プロファイリングにより分析される。試料が本発明の方法により処理され得る代替的な態様は、図18bおよび21に提供される。

20

【0228】

いくつかの場合において、分子プロファイリングの結果は、ルーチンの細胞学的試験の結果を確認する。他の場合において、分子プロファイリングの結果は異なる。そのような場合には、試料をさらに試験してもよいし、データを再調査してもよいし、または分子プロファイリングの結果もしくは細胞学的アッセイ法の結果を、正確な診断として採用してもよい。良性診断には、悪性癌ではないが、さらなるモニタリングまたは処置を必要とする可能性がある疾患または状態も含まれ得る。同様に、悪性診断には、特定の型の癌、または疾患もしくは状態に関する特定の代謝経路もしくはシグナル伝達経路の診断がさらに含まれ得る。その診断は、放射性ヨウ素アブレーション、手術、甲状腺切除のような処置または治療的介入；またはさらなるモニタリングを必要とする可能性がある。

30

【0229】

XI. キット

分子プロファイリングビジネスは、適当な試料を得るためにキットを提供してもよい。図19に図示されるようなキット203は、容器202、試料を得るために手段200、試料を保管するための試薬205、およびキットの使用に関する説明書を含むことができる。別の態様において、キットは、分子プロファイリング分析を実施するための試薬および材料をさらに含む。いくつかの場合において、試薬および材料には、分子プロファイリング法により生成されたデータを分析するためのコンピュータプログラムが含まれる。さらに他の場合において、キットは、生物学的試料が保管され、分子プロファイリングビジネスまたは第三者試験施設のような試験機関へと輸送される手段を含有している。

40

【0230】

分子プロファイリングビジネスは、分子プロファイリングを実施するためのキットも提

50

供することができる。キットは、全ての必要な緩衝液および試薬を含むタンパク質または核酸を抽出するための手段；ならびに対照および試薬を含む、タンパク質または核酸のレベルを分析するための手段を含むことができる。キットは、本発明の方法および組成物を使用して提供されたデータの分析のためのソフトウェア、またはソフトウェアを得て使用するためのライセンスをさらに含むこともできる。

【実施例】

【0231】

実施例1：甲状腺試料の遺伝子発現産物分析

75個の甲状腺試料を、悪性試料と良性試料と正常試料との間で有意に差次的な発現および／または選択的スプライシングを示す遺伝子を同定するため、製造業者の説明書に従って、Affymetrix Human Exon 10STアレイを使用して、遺伝子発現分析のために調査した。三つの群を、組織の病理学的外科的診断に従って比較し分類した：良性（n=29）、悪性（n=37）、および正常（n=9）。試料を外科的甲状腺組織から調製し、急速凍結させ、次いで、RNAを標準的な方法により調製した。75個の試料の名称および病理学的分類は、図1に示される。

10

【0232】

マイクロアレイ分析を、XRAYバージョン2.69 (Biotique Systems Inc.) により実行した。入力ファイルを、完全クワンタイルノーマライゼーション (full quantile normalization) (Irizarry et al. Biostatistics 2003 April 4 (2): 249-64) によりノーマライズした。各入力アレイおよび各プローブ発現値について、アレイ-i thパーセンタイルプローブ値を、全アレイ-i thパーセンタイル点の平均値と交換した。計6,553,590個のプローブを分析において操作した。6未満のGC数を有するプローブおよび17より多いGC数を有するプローブを、分析から排除した。全ての入力ハイブリダイゼーションにおけるプローブスコアへのメディアンポリッシュ（エキソンRMA）の適用を介して、各プローブセットについての発現スコアを導出し、（上に定義された試験の全てに合格する）3個未満のプローブを有するプローブセットを、さらなる分析から排除した。高品質データベースRefSeqおよびEnsemblのエントリーにマッチするプローブセットに対応する「コア」プローブセットのみを分析した。非発現プローブおよびインバリアントプローブも、遺伝子レベル分析およびプローブセットレベル分析の両方から除去した。一元配置のANOVA分析を、悪性群と良性群との間で、プローブセットレベルで、遺伝子発現を調査するために使用した。

20

【0233】

遺伝子レベル分析による差次的に発現される遺伝子の上位100個（即ち、最も大きな差次的な発現を示した遺伝子）を、良性甲状腺試料と悪性甲状腺試料と正常甲状腺試料とが比較されたデータセットから得た。マーカーを、偽検出率（FDR）についてのBenjaminiおよびHochbergの補正後に統計的有意性に基づき選択した。p < 0.01のFDRフィルター値を使用し、続いて、任意の群（良性、悪性、または正常）における最も高い差次的な遺伝子発現値を、残りの2つの群における最も低い差次的な発現により割ったものとして、各マーカーについて計算された絶対変化倍率 (> 1.9) により、ランク付けした。この分析の結果は図2に示される。この表は、群間の比較を可能にする所定のマーカーについての三セットの計算された変化倍率をリスト化する。悪性／良性、悪性／正常、および良性／正常の変化倍率を、全て、一つの群の発現を別の群の発現により割ることにより計算した。

30

【0234】

選択的スプライシングを受ける遺伝子の上位100個を、良性甲状腺試料と悪性甲状腺試料と正常甲状腺試料とが比較されたデータセットから得た。マーカーを、偽検出率（FDR）についてのBenjaminiおよびHochbergの補正後に統計的有意性に基づき選択した。p < 0.01のFDRフィルター値を使用し、マーカーを最低p値から始めてランク付けした。使用されたソフトウェアによる数値をリスト化するための閾値は、p < 1.0E-301であり、それより小さいp値を有する数には、0.00E+00の値が自動的に割り当てられた。この分析の結果は、図3に示される。示されたマーカーは、全て、選択的エキソンスプライシングについて

40

50

高度に有意である。

【0235】

プローブセットレベル分析により、図1からの甲状腺試料において差次的に発現される遺伝子の上位100個を、良性試料および悪性試料が分析されたデータセットから得た。マーカーを、偽検出率(FDR)についてのBenjaminiおよびHochbergの補正後に有意性に基づき選択した。マーカーを、偽検出率(FDR)についてのBenjaminiおよびHochbergの補正後に有意性に基づき選択した。 $p < 0.01$ のFDRフィルター値を使用し、続いて、悪性発現を良性発現により割ったものとして各マーカーについて計算された絶対変化倍率(> 2.0)により、ランク付けした。この分析の結果は図4に示される。

【0236】

図1に示される甲状腺試料の遺伝子レベル分析により測定された統計的に有意な診断マーカーの上位100個もコンパイルした。良性データセットと悪性データセットと正常データセットとの比較からのデータ、および良性データセットと悪性データセットとの間の比較からのデータを使用した。マーカーを、偽検出率(FDR)についてのBenjaminiおよびHochbergの補正後に有意性に基づき選択した。 $p < 0.01$ のFDRフィルター値を使用し、続いて、任意の群(良性、悪性、または正常)における最も高い差次的な発現値を、残りの2つの群における最も低い差次的な発現により割ったものとして各マーカーについて計算された絶対変化倍率(> 1.6)により、ランク付けした。悪性/良性、悪性/正常、および良性/正常についての変化倍率を、全て、一つの群の発現を別の群の発現により割ることにより同様に計算した。この分析の結果は図5に示される。

10

20

【0237】

プローブセットレベルまたは遺伝子レベルのいずれかで、良性試料と悪性試料との間で、良性試料と正常試料との間で、または悪性試料と正常試料との間で、統計的に有意に差次的に発現される、差次的にスプライシングされる、またはその両方として同定された4918個の遺伝子の全リストもコンパイルした。マーカーを、偽検出率(FDR)についてのBenjaminiおよびHochbergの補正後に統計的有意性に基づき選択し、 $p < 0.01$ のFDRフィルター値を使用した。結果は図6に示される。

【0238】

実施例2：甲状腺組織試料の遺伝子発現産物分析

良性試料と悪性試料との間でRNA発現レベルが有意に異なる遺伝子を同定するために、計205個の甲状腺組織試料(図7)を、Affymetrix HumanExon10STアレイチップを用いて調査する。試料は術後甲状腺病態に従って分類される。濾胞性腺腫(FA)、リンパ性甲状腺炎(LCT)、または結節性過形成(NHP)を示す試料は良性として分類され；ハースル細胞癌(HC)、濾胞癌(FC)、濾胞型甲状腺乳頭癌(FVPTC)、甲状腺乳頭癌(PTC)、甲状腺髓様癌(MTC)、または未分化癌(ATC)を示す試料は悪性として分類される。

30

【0239】

およそ650万個のプローブからの強度データを抽出し、ノーマライズし、サマライズするために、Affymetrixソフトウェアが使用される。続いて、およそ280,000個のコアプローブセットが、フィーチャー選択および分類において使用される。使用されるモデルは、フィーチャー選択のためのLIMMA、ならびに分類のためのランダムフォレストおよびサポートベクターマシン(SVM)である。ランダムなデータサブセットを使用して、訓練、分類、およびクロスバリデーションを反復的に実施する。上位フィーチャーが、上記の分類エンジンを使用して、2つの別々の分析(悪性か良性か、およびMTCかその他か)において同定される。

40

【0240】

マーカーは、偽データ検出率(FDR)についてのBenjaminiおよびHochbergの補正後に有意性に基づき選択される。 $p < 0.05$ のFDRフィルターが使用される。

【0241】

悪性甲状腺組織試料と良性甲状腺組織試料との比較は、甲状腺の疾患または状態について診断的な413個のマーカーを見出す。上位100個のマーカーが図9にリスト化される。

50

【0242】

MTC甲状腺組織試料とその他の（即ち、非MTC）甲状腺組織試料との比較は、甲状腺の疾患または状態について診断的な671個のマーカーを見出す。上位100個のマーカーが図10にリスト化される。

【0243】

実施例3：甲状腺試料からの遺伝子発現産物データのメタ分析

外科的甲状腺組織試料（図7）および細針吸引を介して得られた甲状腺試料（図8）を、病理学的調査により良性または悪性として同定し、次いで、Affymetrix HumanExon10STアレイへのハイブリダイゼーションにより調査する。各分類における再現性のあるフィーチャーを有する遺伝子の同定を可能にする、メタ分析アプローチが使用される。およそ650万個のプローブからの強度データを抽出し、ノーマライズし、サマライズするため、Affymetrixソフトウェアが使用される。およそ280,000個のプローブセットが、フィーチャー選択および分類のために使用される。LIMMAがフィーチャー選択のために使用される。分類は、ランダムフォレスト法およびSVM法により実施される。外科的試料および細針吸引液試料の訓練、分類、およびクロスバリデーションの反復において繰り返し出現するマーカーを同定し、ランク付けする。外科データおよび細針吸引液データの両方について出現する、上位にランク付けされたフィーチャーを使用して、コアフィーチャーの合同セットを作出する。0でない再現性スコアを有するマーカーを、有意として選択する。計102個のマーカーが有意であることが見出され、図11にリスト化される。

10

【0244】

実施例4：甲状腺試料からの遺伝子発現産物データのベイズ分析

ヒト甲状腺において良性結節を悪性結節と区別する遺伝子を同定するために、よく特徴決定された試料の2つの群を比較する。外科的甲状腺組織（組織；n = 205、図7）または細針吸引液（FNA；n = 74、図8）から試料を得て、HumanExon10STマイクロアレイへのハイブリダイゼーションにより調査する。各々の別個の甲状腺亜型についての病態ラベルを、良性（B）または悪性（M）のいずれかとしてコードする。良性試料と悪性試料との間で別個の差次的な発現を示す計499個のマーカーが同定される。

20

【0245】

およそ650万個のプローブからの強度データを抽出し、ノーマライズし、サマライズするため、Affymetrixソフトウェアが使用される。続いて、およそ280,000個のコアプロープセットが、およそ22,000個の遺伝子のフィーチャー選択および分類において使用される。使用されるモデルは、それぞれ、LIMMA（フィーチャー選択のため）およびSVM（分類のため）である。

30

【0246】

次に、本発明者らは、「良性」カテゴリーまたは「悪性」カテゴリーへの遺伝子の割り当ての第一種および第二種の過誤の率を導出するために、分子プロファイル研究が調査されることを以前に発表した。過誤率は、2という推定変化倍率で、特定の発表された各研究において報告された標本サイズに基づき計算される。最後に、差次的な遺伝子発現の事後確率を推定するために、これらの事前確率を、組織データセットの出力と組み合わせ、次いで、差次的な発現の最終的な事後確率を公式化するためにFNAデータセットと組み合わせる（Smyth 2004）。これらの事後確率が、遺伝子をランク付けするために使用され、0.9という事後確率閾値を越えるものが選択される。計499個のマーカーが有意として同定され、上位100個が図12にリスト化される。

40

【0247】

実施例5：甲状腺試料からの遺伝子発現産物データの亜型分析

ヒト甲状腺において良性結節を別個の病態を有するものと区別するために、よく特徴決定された試料を調査する。HumanExon10STマイクロアレイへの205種のハイブリダイゼーションを調査する。別個の各甲状腺亜型についての病態ラベルを、一つの群を別の群と系統的に比較するために使用する。広範囲の病態亜型へ甲状腺を分離する計250個のmRNAマーカーが同定される。

50

【0248】

別個の甲状腺病態亜型の間でmRNA発現が有意に異なる遺伝子を同定するために、計205個の甲状腺組織試料をAffymetrix HumanExon10STアレイチップを用いて調査する（図7）。濾胞性腺腫（FA、n = 22）、リンパ性甲状腺炎（LCT、n = 39）、結節性過形成（NHP、n = 24）として術後甲状腺病態に従って分類された試料は、全て、良性（n = 85）として集合的に分類される。対照的に、ハースル細胞癌（HC、n = 27）、濾胞癌（FC、n = 19）、濾胞型甲状腺乳頭癌（FVPTC、n = 21）、甲状腺乳頭癌（PTC、n = 26）、甲状腺髓様癌（MTC、n = 22）、および未分化癌（ATC、n = 5）として分類された試料は、全て、悪性（n = 120）として集合的に分類される。

【0249】

10

およそ650万個のプローブからの強度データを抽出し、ノーマライズし、サマライズするため、Affymetrixソフトウェアが使用される。続いて、およそ280,000個のコアプロープセットが、フィーチャー選択および分類において使用される。所定の良性亜型（例えば、NHP）セットは、全ての他の悪性亜型のプールに対して比較され（例えば、NHP対M）、次に、良性サブセットは、悪性亜型の各セットに対して再び比較される（NHP対FC、NHP対PTC、等）。分類エンジンにおいて使用されるモデルはLIMMA（フィーチャー選択のため）であり、ランダムフォレストおよびSVMが分類のために使用される。訓練、分類、およびクロスバリデーションの反復が、ランダムなデータサブセットを使用して実施される。別個の甲状腺亜型を分離する遺伝子の合同コアセットが作出される。

【0250】

20

対分類の後に分類器を最適化する遺伝子のセットに基づき、マーカーが選択される。250個の別個の遺伝子にマッピングされる計251個のマーカーが、1~3個の別個の甲状腺亜型の分離を可能にする（図13）。

【0251】

25

実施例6：Agilent vs microRNAアレイを介して同定された差次的に発現されるmiRNA

甲状腺試料を、Agilent Human v2 microRNA（miRNA）アレイにハイブリダイズさせる。このアレイは、723個のヒトmiRNAおよび76個のウイルスmiRNAに対するプローブを含有しており、これらはおよそ15,000個のプローブセットを使用して標的とされる。有意な差次的に発現されるmiRNAを同定するため、良性甲状腺試料（B）と悪性甲状腺試料（M）との間の比較を実施する。全ての試料を、臨床細針吸引液から得る（n = 89、図14）。

30

【0252】

アレイ強度データを抽出し、ノーマライズし、サマライズし、続いて、分類エンジンを使用してモデリングを行う。簡単に説明すると、使用されるモデルは、LIMMA（フィーチャー選択のため）であり、ランダムフォレストおよびサポートベクターマシン（SVM）が、分類のために使用される。訓練、分類、およびクロスバリデーションの反復を、ランダムなデータサブセットを使用して実施する。いくつかのmiRNAは、良性と比較して悪性において差次的に発現されるが（図16）、独立して機能する分類子はこのアプローチでは同定されなかった。

【0253】

40

実施例7 甲状腺疾患について診断的である差次的に発現されるmiRNA

甲状腺結節試料を、Illumina Human v2 miRNAアレイにハイブリダイズさせる。このアレイは、1146個のヒトmiRNAに対するプローブを含有している。良性甲状腺試料と悪性甲状腺試料との間の比較を、有意な差次的に発現されるmiRNAを同定するために実施する。全ての試料を、臨床FNAから得る（n = 24、図15）。

【0254】

50

アレイ強度データを抽出し、ノーマライズし、サマライズし、続いて、分類エンジンを使用したモデリングを行う。簡単に説明すると、使用されるモデルは、LIMMA（フィーチャー選択のため）、ならびに分類のためのランダムフォレストおよびサポートベクターマシン（SVM）である。一部分、アルゴリズムにメタ分析アプローチを取り入れている付加的な「ホットプローブ」法が、分類エンジンに追加される。訓練、分類、およびクロスバ

リデーションの反復を、ランダムなデータサブセットを使用して実施する。「ホットプロープ」法は、クロスバリデーションの全てのループに出現するプロープを同定し、それにより、ロバストな再現性のあるフィーチャーのセットを作出する。悪性試料と良性試料との間の比較のp値(P)に基づき、マーカーを選択する。良性または悪性の甲状腺状態について診断的として同定される差次的な発現を有する、計145個のmiRNAが同定される(図17)。

【0255】

実施例8：分子プロファイリングのための例示的な装置

本発明の分子プロファイリングビジネスは、プロープセットレベルまたは遺伝子レベルのいずれかで、良性試料と悪性試料との間、良性試料と正常試料との間、または悪性試料と正常試料との間で、差次的に発現されるか、差次的にスプライシングされるか、またはその両方である、図6の4918個の遺伝子のリストをコンパイルする。4918個の遺伝子のサブセットが、分子プロファイリングビジネスにより生物学的試料の診断において使用するために選ばれる。分子プロファイリングビジネスにより使用するために選ばれた4918個の遺伝子のサブセットに相補的な短い(即ち、12~25ヌクレオチド長の)オリゴヌクレオチドの組成物が、当技術分野において公知の標準的な方法により合成され、ニトロセルロース、ガラス、ポリマー、またはチップのような固体支持体に、固体支持体上の既知の位置に固定化される。

【0256】

実施例9：生物学的試料の分子プロファイリング

生物学的試料は、細針吸引により得られ、2つの一定分量で保管される(一つは分子プロファイリング用、一つは細胞学的分析用)。分子プロファイリング用の生物学的試料の一定分量は、生物学的試料の細胞が溶解されるよう、溶解緩衝液に添加され摩碎される。溶解緩衝液は、以下のように調製される:cDNA溶解緩衝液1mlのため、以下のものを氷上で混合した:モロニーマウス白血病ウイルス(MMLV)逆転写酵素5×(Gibco-BRL)0.2ml、H2O(RNAse・DNase不含、Specialty Media)0.76ml、Nonidet P40(USB)5μl、PrimeRNase阻害剤(3'5' Incorporated)10μl、RNAGuard(Pharmacia)10μl、およびストックプライマーミックスの新鮮に作成された24倍希釀物20μl。一定分量で-20で維持されるストックプライマーミックスは、100mM dATP、dCTP、dGTP、dTTP溶液(12.5mM最終)(Boehringer)各10μl; 50 OD/ml pd(T)19-24(Pharmacia)10μl; およびH2O 30μlを含む。

【0257】

次いで、細胞RNAをオリゴdTプライマーによりプライミングする。次いで、不完全な伸長を容易にし、約500bp~約1000bpの短いcDNAを調製するための、時間および試薬の制限された条件において、逆転写酵素を用いて逆転写を実施する。次いで、ポリア(dATP)およびターミナルトランスクレオチドを使用して、複数のdATPを含むテールをcDNAの5'末端に付加する。

【0258】

次いで、3'末端に24(dT)を有する60残基長プライマーを使用して、PCR試薬を用いてcDNAを増幅する。PCRサイクリングは、94 1分、次いで、42 2分、次いで、72 6分で実施され、各サイクルに10秒の伸長時間を含む。10サイクルが実施される。次いで、付加的なTaqポリメラーゼが添加され、さらに25サイクルが実施される。

【0259】

cDNAをフェノールクロロホルムで抽出し、エタノール沈殿させ、次いで、分析する間の全量のcDNAの解凍および凍結を回避するため、試料の半分をストックとして-80で凍結させる。

【0260】

PCR産物5μgを、EF sIn (Tris in Qiagen kit PCR purification) 15.5μl、PromegaのIox One-Phor-All緩衝液4μl、およびDNaseI 0.5単位と合わせる。次いで、全容量を14分間37で保持し、次いで、15分間99で保持し、次いで、約50bp~約100bp長のセグメン

10

20

30

40

50

トへとPCR産物を断片化するために5分間氷上に置く。次いで、ビオチン-N6-ddATP（「NEN」）1μlおよびTdT（ターミナルトランスフェラーゼ）（15単位/μl）1.5μlと全容量を合わせることにより、断片を末端標識する。次いで、全容量を1時間37で保持し、次いで、15分間99で保持し、次いで、5分間氷上で保持する。

【0261】

1×MES緩衝液（0.1M MES、1.0M NaCl、0.01% Triton X-100、pH6.7）および0.1mg/mlニシン精子DNAの中に5~10マイクログラムの標識された標的を含有しているハイブリダイゼーション溶液200マイクロリットルにおいて、標識され断片化されたcDNAを、本発明のプローブセットとハイブリダイズさせる。使用されるアレイはAffymetrix Human Exon 10STアレイである。アレイをローティッセリ（rotisserie）に置き、16時間45において60rpmで回転させる。ハイブリダイゼーション後、アレイを、10×2サイクル、fluidics station（Affymetrix）上で22で6×SSPE-T（0.9M NaCl、60mM NaH₂P_O4、6mM EDTA、0.005%Triton X-100、pH7.6）により洗浄し、次いで、30分間45で0.1MESにより洗浄する。次いで、アレイを、ストレプトアビジン-フィコエリトリンコンジュゲート（Molecular Probes）により染色し、続いて、10×2サイクル、fluidics station上で6×SSPE-Tにより再び洗浄する。シグナルを増強するため、アレイを、30分間、抗ストレプトアビジン抗体によりさらに染色し、続いて、ストレプトアビジン-フィコエリトリンコンジュゲートにより15分間再び染色する。10×2サイクルのfluidics stationでの6×SSPE-Tによる洗浄の後、そのアレイ位置における配列についての遺伝子発現レベルに対応する、アレイの各位置における生蛍光強度値を測定するため、修飾型共焦点スキャナを使用して、3マイクロメートルの分解能でアレイをスキャンする。
10
20

【0262】

生蛍光強度値を、遺伝子発現産物レベルに変換し、RMA法を介してノーマライズし、疑わしいと見なされ得るデータを除去するためにフィルタリングし、生物学的試料の細胞型組成についての遺伝子発現産物レベルを補正する予備分類アルゴリズムに入力する。補正された遺伝子発現産物レベルは、良性、悪性、または正常として生物学的試料を分類するため、訓練されたアルゴリズムへ入力される。訓練されたアルゴリズムは、診断および信頼水準を含む、その出力の記録を提供する。

【0263】

実施例10：甲状腺結節の分子プロファイリング

ある個体が、甲状腺のしこりに気づく。その個体は、ホームドクターを受診する。ホームドクターは、しこりから試料を得て、それを分子プロファイリング分析に供することを決める。医師は、細針吸引を介して試料を得て、妥当性試験を実施し、液状化細胞診溶液中に試料を保管し、分子プロファイリングビジネスにそれを送るため、分子プロファイリングビジネスのキットを使用する。分子プロファイリングビジネスは、一部を細胞学的分析のために、残りを試料からのmRNA抽出のために、試料を分割し、抽出されたmRNA試料の品質および適応性を分析し、図5にリスト化された遺伝子のサブセットの発現レベルおよび選択的エキソン使用を分析する。この場合において、プロファイリングされる特定の遺伝子発現産物は、試料型、医師の予備的診断、および分子プロファイリング企業により決定される。
30
40

【0264】

分子プロファイリングビジネスは、データを分析し、図20に例示されるように、個体の医師に、その結果として得られた診断を提供する。結果は、（1）プロファイリングされた遺伝子発現産物のリスト、（2）プロファイリングの結果（例えば、全mRNAのような内部標準またはチューブリンのようなよく特徴決定された遺伝子産物の発現に対してノーマライズされた発現レベル）、（3）マッチする型の正常組織について予想される遺伝子産物発現レベル、および（4）遺伝子産物発現レベルに基づくBobについての診断および推奨される処置、を提供する。分子プロファイリングビジネスは、与えられた製品およびサービスについて、個体の保険提供者に代金を請求する。

【0265】

10

20

30

40

50

実施例11：細胞学的調査の補助としての分子プロファイリング

ある個体が、甲状腺の疑わしいしこりに気づく。その個体は、プライマリケア医を受診し、プライマリケア医が個体を調査し、内分泌学者へ照会させる。内分泌学者が、細針吸引を介して試料を得て、細胞学的試験検査室へ試料を送る。細胞学的試験検査室が、細針吸引液の一部に対してルーチンの細胞学的試験を実施し、その結果は不明確（即ち、不確定）である。細胞学的試験検査室は、残りの試料が分子プロファイリングに適している可能性があることを内分泌学者に提案し、内分泌学者が同意する。

【0266】

残りの試料は、本明細書中の方法および組成物を使用して分析される。分子プロファイリング分析の結果は、初期濾胞細胞癌の高い確率を示唆する。結果は、患者の年齢、およびしこりまたは結節のサイズを含む、患者のデータと組み合わせられた分子プロファイリング分析が、甲状腺切除と、それに続く放射性ヨウ素アブレーションを必要とするこ¹⁰とをさらに示唆する。内分泌学者は結果を検討し、推奨された治療を処方する。

【0267】

細胞学的試験検査室は、ルーチンの細胞学的試験および分子プロファイリングについて、内分泌学者に代金を請求する。内分泌学者は、細胞学的試験検査室へ支払いを送り、与えられた全ての製品およびサービスについて個体の保険提供者に代金を請求する。細胞学的試験検査室は、分子プロファイリングビジネスに分子プロファイリングについての支払いを渡し、小さな差額を差し引く。

【0268】

実施例12：第三者により実施される分子プロファイリング

ある個体が、頸部の疑わしいしこりについて医師に訴える。医師は、その個体を調査し、結果を保留にして、分子プロファイリング試験および追跡調査を処方する。個体は、CLIA検査室としても公知の臨床試験検査室を訪れる。CLIA検査室は、本発明の分子プロファイリングを実施するライセンスを有する。個体は細針吸引を介してCLIA検査室で試料を提供し、試料は本明細書中の分子プロファイリングの方法および組成物を使用して分析される。分子プロファイリングの結果は、個体の医師に電子的に伝えられ、個体は追跡調査のスケジュールを決めるために連絡を受ける。医師は、分子プロファイリングの結果を個体に提示し、治療を処方する。

【0269】

実施例13：異なる分析法を使用した重複遺伝子

実施例2に記載された結果は、外科的甲状腺結節組織試料を調査し、悪性における遺伝子発現と良性における遺伝子発現とを比較することにより得られた（「悪性対良性」データセット）。この分析は、差次的に発現される（FDR p < 0.05）412個の遺伝子を同定した。実施例1に記載された以前の研究において、本発明者らは、（i）試料の異なるコホートおよび（ii）異なる分析法を使用して、悪性甲状腺結節と良性甲状腺結節とを区別することができる4918個の遺伝子を記載している（「4918」）。「悪性対良性」組織発見データセットは、「4918」発見データセットと231/412遺伝子を共有しており、181/412遺伝子が新たに発見された。

【0270】

組織コホートを使用した甲状腺髓様癌（MTC）と甲状腺亜型の「その他」との間の同様の比較は、これらの2つの群の間で差次的に発現される、668個の有意な遺伝子を指摘した（図10）。以前の「4918」遺伝子リストに対してクロスチェックすると、305/668遺伝子が以前に記載されており、363/668遺伝子が新たに発見されたことに気付く。

【0271】

本発明者らは、次に、外科的組織データセットを細針吸引液（FNA）データセットと組み合わせ、（i）「ホットプローブ」アプローチおよび（ii）「ベイズ」アプローチを使用して、もう一度、悪性対良性で比較した。各分析は、それぞれ、102個および498個の有意な遺伝子を同定した（表11および12）。

【0272】

10

20

30

40

50

この時点までに、計1343個の有意な遺伝子が同定された。しかしながら、別個の病態亜型を相互に分離する遺伝子を同定することを目標としたサブセット分析も、その後、実施した。この分析は、外科的組織コホートを使用し、250個の有意な遺伝子をもたらした（図13）。

【0273】

要約すると、本明細書に記載された5つの比較は、1437個の有意な遺伝子を与える。これらのうち、636/1437遺伝子は、初めて、良性甲状腺病態と悪性甲状腺病態とを区別することが記載される。現時点では、568/636は、発表された科学文献または特許出願に甲状腺癌の診断マーカーとして未だ記載されていない。

【0274】

実施例14：臨床甲状腺FNA

方法

良性試料と悪性試料との間でmRNA発現が有意に異なる遺伝子を同定するため、前向きの臨床甲状腺FNA試料を、Affymetrix Human Exon 1.0STマイクロアレイを用いて調査した。

【0275】

およそ650万個のプローブからの強度データを抽出し、ノーマライズし、サマライズするため、Affymetrixソフトウェアを使用した。続いて、およそ280,000のコアプローブセットを、フィーチャー選択および分類において使用した。使用されたモデルは、LIMMA（フィーチャー選択のため）であり、ランダムフォレストおよびSVMを、分類のために使用した（Smyth 2004；Diaz-Uriarte and Alvarez de Andres 2006）。訓練、分類、およびクロスバリデーションの反復を、ランダムなデータサブセットを使用して実施した。上位フィーチャーを、上記の分類エンジンを使用して、三つの別々の分析において同定した。

【0276】

遺伝子のアノテーションおよび転写物クラスタID（TCID）へのマッピングは、絶えず進化しているが、TCIDを構成するプローブセットのヌクレオチド配列は変化しない。さらに、多数の有意なTCIDが、既知の遺伝子をマッピングしないが、これらも、甲状腺悪性の分類における同等に重要なバイオマーカーである。結果は、TCIDおよび各々に現在マッピングされている遺伝子の両方を使用して記載される（Affymetrixアノテーションファイル：HuEx-1_0-st-v2.na29.hg18.transcript.csv）。

【0277】

結果

前向きに収集された臨床甲状腺FNAにおける差次的な遺伝子発現の研究は、多数の統計的なサブ分析を必要とした。これらのサブ分析は、単独で、未知の病態の甲状腺結節の分類において有益な遺伝子の発見をもたらした。しかしながら、データセットの合同は、現在の細胞病理学よりも改善された精度で甲状腺FNAを正確に分類することができる甲状腺遺伝子パネルの新規の特徴決定、および分子プロファイリング法をもたらした。

【0278】

（表3）上位良性対悪性分析

この分析は、198遺伝子に現在マッピングされている175個の独特のTCIDをもたらした。

TCID	遺伝子記号(Affy v.na29)	FDR LIMMA p値	変化倍率
2884845	GABRB2	2.85E-35	3.22
2400177	CAMK2N1	8.23E-30	2.50
3638204	MFGE8	2.16E-29	1.75
3638204	QTRT1	2.16E-29	1.75
2708855	C11orf72	4.11E-27	2.27

10

20

30

40

50

2708855	LIPH	4.11E-27	2.27
3415744	IGFBP6	5.44E-27	1.81
3136178	PLAG1	1.64E-26	1.76
2657808	CLDN16	3.63E-26	3.01
3451375	PRICKLE1	3.63E-26	1.78
2442008	RXRG	7.62E-26	2.17
3329343	MDK	3.60E-24	1.34
3666366	CDH3	3.60E-24	1.25
3757108	KRT19	1.06E-23	1.44
3040518	MACC1	1.14E-23	1.73
3988596	ZCCHC12	2.14E-23	2.22
3416895	METTL7B	2.90E-23	1.33
2721959	ROS1	6.26E-23	3.05
2721959	SLC34A2	6.26E-23	3.05
3125116	DLC1	9.12E-23	0.82
2828441	PDLIM4	9.51E-23	0.81
2783596	PDE5A	1.60E-22	1.93
3645555	TNFRSF12A	1.71E-22	1.25
3973891	CXorf27	1.75E-22	1.38
3973891	SYTL5	1.75E-22	1.38
2827645	SLC27A6	2.02E-22	2.28
3020343	MET	2.02E-22	2.25
3452478	AMIGO2	2.03E-22	1.17
2451931	GOLT1A	2.15E-22	0.84
3679959	EMP2	3.81E-22	1.51
3417249	ERBB3	1.11E-21	1.05
3087167	TUSC3	1.16E-21	1.90
2924492	HEY2	1.38E-21	1.38
2685304	PROS1	1.48E-21	2.15
3335894	CST6	1.50E-21	2.50

10

20

30

40

3393720	MPZL2	1.52E-21	1.86
3907234	SDC4	1.60E-21	1.64
4012178	CITED1	4.03E-21	2.42
2994981	PRR15	5.89E-21	0.94
2973232	C6orf174	6.09E-21	1.07
2973232	KIAA0408	6.09E-21	1.07
2809245	ITGA2	6.13E-21	1.84
3067478	NRCAM	9.01E-21	1.70
3420316	HMGA2	1.13E-20	0.94
4018327	TRPC5	1.14E-20	1.78
3416921	RDH5	1.24E-20	0.55
2333318	PTPRF	1.42E-20	0.78
3336486	C11orf80	1.71E-20	0.58
3336486	RCE1	1.71E-20	0.58
3044072	NOD1	3.06E-20	1.01
3417809	NAB2	3.40E-20	0.57
2710599	CLDN1	4.47E-20	2.53
3343452	FZD4	4.93E-20	1.49
3343452	PRSS23	4.93E-20	1.49
2720584	SLIT2	6.84E-20	1.45
3389976	SLC35F2	1.16E-19	0.94
3587495	SCG5	1.45E-19	1.60
3744463	MYH10	1.58E-19	1.40
3987607	CCDC121	1.87E-19	1.56
3987607	ZCCHC16	1.87E-19	1.56
3984945	ARMCX3	3.69E-19	1.11
2558612	TGFA	9.18E-19	0.89
3522398	AIDA	1.02E-18	1.33
3522398	DOCK9	1.02E-18	1.33
2781736	CFI	1.04E-18	1.91

10

20

30

40

3338192	CCND1	1.09E-18	1.25
3338192	FLJ42258	1.09E-18	1.25
2414958	TACSTD2	1.12E-18	0.91
2991860	ITGB8	1.51E-18	1.30
2805078	CDH6	1.64E-18	1.58
3976341	TIMP1	1.98E-18	1.68
2562435	EDNRB	1.98E-18	1.61
2562435	SFTPB	1.98E-18	1.61
3726154	ITGA3	2.04E-18	1.17
2381249	C1orf115	4.38E-18	0.92
2356818	BCL9	6.05E-18	0.63
3451814	MAFG	7.13E-18	1.92
3451814	NELL2	7.13E-18	1.92
3445908	EPS8	7.19E-18	1.60
2451870	ETNK2	8.68E-18	1.00
3201345	LOC554202	1.08E-17	1.05
3581221	AHNAK2	1.14E-17	1.28
2966193	C6orf168	1.23E-17	0.85
2876608	CXCL14	1.85E-17	1.76
3129065	CLU	1.85E-17	1.37
3222170	TNC	1.94E-17	1.24
2438458	CRABP2	2.16E-17	1.24
2600689	EPHA4	2.17E-17	1.51
3763390	TMEM100	2.61E-17	1.34
2902958	C4A	3.56E-17	1.36
2902958	C4B	3.56E-17	1.36
2952834	KCNK5	6.07E-17	0.51
2452478	LEMD1	9.66E-17	1.27
3751002	RAB34	1.14E-16	0.83
3489138	CYSLTR2	1.72E-16	1.61

10

20

30

40

2417362	DIRAS3	1.72E-16	1.15
2370123	XPR1	1.81E-16	0.89
2680046	ADAMTS9	1.83E-16	1.40
3494629	SCEL	2.04E-16	1.61
3040967	RAPGEF5	2.04E-16	0.92
3554452	KIAA0284	2.33E-16	0.59
4020655	ODZ1	2.44E-16	1.97
2400518	ECE1	3.31E-16	0.98
2598261	FN1	3.58E-16	2.41
3187686	GSN	4.03E-16	0.78
2742224	SPRY1	3.51E-15	1.18
3628832	DAPK2	4.59E-15	1.17
3408831	SSPN	4.69E-15	0.99
3925639	NRIP1	5.01E-15	1.02
3683377	GPRC5B	5.39E-15	1.10
2397025	DHRS3	5.83E-15	1.14
2816298	IQGAP2	6.56E-15	-1.04
3848039	C3	7.85E-15	1.62
3367673	MPPED2	7.93E-15	-1.71
2822215	PAM	8.70E-15	1.08
2567167	LONRF2	1.12E-14	1.40
2522094	SPATS2L	2.21E-14	0.96
3898355	FLRT3	2.70E-14	1.96
3717870	TMEM98	2.72E-14	1.51
3212008	FRMD3	3.50E-14	1.43
2597867	IKZF2	3.58E-14	0.91
3007960	CLDN4	6.44E-14	1.27
2468811	ASAP2	7.11E-14	0.89
3046197	ELMO1	8.04E-14	-1.10
3132616	ZMAT4	8.04E-14	-1.29

10

20

30

40

3181600	GALNT12	8.25E-14	0.74
3095313	C8orf4	8.38E-14	1.28
2525533	LOC648149	8.38E-14	1.01
2525533	MAP2	8.38E-14	1.01
3464860	DUSP6	9.39E-14	1.10
3464860	LOC100131490	9.39E-14	1.10
2751936	GALNT7	1.52E-13	0.93
2578790	LRP1B	1.65E-13	-1.33
2700365	TM4SF1	2.19E-13	1.60
2598828	IGFBP5	2.87E-13	1.67
3126191	PSD3	3.12E-13	1.34
3979101	FAAH2	3.88E-13	0.68
3577612	SERPINA1	3.99E-13	1.12
3577612	SERPINA2	3.99E-13	1.12
3622934	MYEF2	4.25E-13	0.92
3622934	SLC24A5	4.25E-13	0.92
2738664	SGMS2	4.47E-13	1.13
3692999	MT1G	4.65E-13	-2.43
2902844	C2	7.40E-13	1.36
2902844	CFB	7.40E-13	1.36
3662201	MT1F	8.84E-13	-1.87
3662201	MT1H	8.84E-13	-1.87
3662201	MT1P2	8.84E-13	-1.87
2617188	ITGA9	1.07E-12	1.05
3401704	CCND2	1.09E-12	0.86
2562529	ST3GAL5	1.34E-12	0.88
2371139	LAMC2	1.53E-12	0.99
2626802	PTPRG	1.83E-12	1.06
2834282	STK32A	2.53E-12	1.23
2526806	FN1	3.12E-12	1.84

10

20

30

40

3111561	MAPK6	3.66E-12	-2.04
3111561	PKHD1L1	3.66E-12	-2.04
3238962	KIAA1217	7.24E-12	1.21
3238962	PRINS	7.24E-12	1.21
3110608	TM7SF4	7.72E-12	1.92
2466554	TPO	1.14E-11	-1.78
3126368	PSD3	2.30E-11	1.39
3558418	STXBP6	3.35E-11	0.94
2980449	IPCEF1	3.42E-11	-1.05
3907190	SLPI	4.25E-11	1.61
2955932	GPR110	5.17E-11	1.29
2976360	PERP	7.31E-11	1.31
2686023	DCBLD2	8.03E-11	0.98
2915828	NT5E	9.40E-11	1.19
3219621	CTNNAL1	1.17E-10	1.01
3971451	PHEX	1.39E-10	1.53
3417583	RBMS2	1.39E-10	1.09
2424102	CNN3	1.58E-10	1.07
3369931	RAG2	2.12E-10	-1.41
2730746	SLC4A4	2.24E-10	-1.21
3010503	CD36	2.91E-10	-1.42
3446137	LMO3	3.09E-10	1.44
3933536	TFF3	3.09E-10	-1.10
4021777	IGSF1	3.11E-10	1.55
3467949	SLC5A8	4.08E-10	-1.34
3288518	C10orf72	4.26E-10	1.18
2336891	DIO1	4.31E-10	-1.73
2498274	C2orf40	4.39E-10	1.71
2740067	ANK2	5.52E-10	-0.90
2924330	TPD52L1	6.04E-10	1.09

10

20

30

40

2427469	SLC16A4	6.71E-10	1.37
2727587	KIT	1.23E-09	-1.24
3464417	MGAT4C	1.45E-09	1.26
2331558	BMP8A	3.61E-09	-1.55
2711205	ATP13A4	6.51E-09	1.15
3142381	FABP4	7.25E-09	-1.59
3743551	CLDN7	8.01E-09	1.13
3662150	MT1M	8.06E-09	-1.47
3662150	MT1P3	8.06E-09	-1.47
3166644	TMEM215	9.05E-09	1.51
3087659	SLC7A2	1.32E-08	1.28
3321055	TEAD1	1.37E-07	1.10
3059667	SEMA3D	1.43E-07	-1.83

10

20

30

40

【 0 2 7 9 】

(表 4) 上位 亜型 分析

この分析は、681 遺伝子に現在マッピングされている 599 個の 独特の TCID をもたらした。

TCID	遺伝子記号 (Affy vna29)	亜型 1	亜型 2	亜型 3	亜型 4
3153400	3153400	NHP_PTC			
3749600	3749600	NHP_PTC			
3726691	ABCC3		FA_FVPTC		
3368940	ABTB2	NHP_PTC			
3279058	ACBD7	NHP_PTC			
2796553	ACSL1	NHP_PTC			
3299504	ACTA2	NHP_PTC			
3927480	ADAMTS5	NHP_PTC			
2680046	ADAMTS9	NHP_PTC	FA_FVPTC	NHP_FVPTC	LCT_REST
3252170	ADK	NHP_PTC			
3039791	AGR2	NHP_PTC			
3581221	AHNAK2	NHP_PTC			
2991233	AHR	NHP_PTC			

3522398	AIDA	NHP_PTC		NHP_FVPTC	
3226138	AK1	NHP_PTC			
3233049	AKR1C3			NHP_FVPTC	
4009849	ALAS2	NHP_PTC			
3611625	ALDH1A3	NHP_PTC			
3169331	ALDH1B1		FA_FVPTC		
3571727	ALDH6A1		FA_FVPTC		
3452478	AMIGO2	NHP_PTC			
4018454	AMOT	NHP_PTC			
2740067	ANK2	NHP_PTC		NHP_FVPTC	
3323748	ANO5		FA_FVPTC	NHP_FVPTC	
3174816	ANXA1	NHP_PTC			
2732844	ANXA3	NHP_PTC			
2881747	ANXA6			NHP_FVPTC	
3046062	AOAH	NHP_PTC			
2455418	AP3S1	NHP_PTC			
4002809	APOO		FA_FVPTC	NHP_FVPTC	
3595594	AQP9	NHP_PTC			
2734421	ARHGAP24	NHP_PTC			
2632453	ARL13B	NHP_PTC			
2931391	ARL4A	NHP_PTC			
3984945	ARMCX3	NHP_PTC			
4015838	ARMCX6	NHP_PTC			
3321150	ARNTL	NHP_PTC			
3768474	ARSG			NHP_FVPTC	
2468811	ASAP2	NHP_PTC			
2526759	ATIC	NHP_PTC			
2711225	ATP13A4	NHP_PTC			
2711205	ATP13A4	NHP_PTC			
3105749	ATP6V0D2			NHP_FVPTC	

10

20

30

40

3824596	B3GNT3	NHP_PTC			
2356818	BCL9	NHP_PTC			
2608725	BHLHE40	NHP_PTC			
3448088	BHLHE41	NHP_PTC			
3772187	BIRC5				LCT_REST
2331558	BMP8A	NHP_PTC		NHP_FVPTC	
3926080	BTG3	NHP_PTC			
3288518	C10orf72		FA_FVPTC	NHP_FVPTC	
2708855	C11orf72	NHP_PTC	FA_FVPTC	NHP_FVPTC	
3327166	C11orf74		FA_FVPTC	NHP_FVPTC	
3336486	C11orf80	NHP_PTC			
3473331	C12orf49	NHP_PTC			
3571727	C14orf45		FA_FVPTC		
3649714	C16orf45	NHP_PTC			
3832280	C19orf33	NHP_PTC			
2381249	C1orf115	NHP_PTC			
2453065	C1orf116	NHP_PTC			
2902844	C2	NHP_PTC			
3963676	C22orf9			NHP_FVPTC	
2498274	C2orf40	NHP_PTC	FA_FVPTC	NHP_FVPTC	
3848039	C3	NHP_PTC			
2902958	C4A	NHP_PTC	FA_FVPTC	NHP_FVPTC	
2902958	C4B	NHP_PTC	FA_FVPTC	NHP_FVPTC	
2766492	C4orf34	NHP_PTC			
2730303	C4orf7				LCT_REST
2855578	C5orf28		FA_FVPTC		
2966193	C6orf168	NHP_PTC			
2973232	C6orf174	NHP_PTC	FA_FVPTC		
3060450	C7orf62	NHP_PTC			
3095313	C8orf4	NHP_PTC			

10

20

30

40

3086809	C8orf79		FA_FVPTC		
3867264	CA11	NHP_PTC			
3392332	CADM1	NHP_PTC			
2400177	CAMK2N1	NHP_PTC	FA_FVPTC	NHP_FVPTC	
3420713	CAND1	NHP_PTC			
3020302	CAV1	NHP_PTC			
3020273	CAV2	NHP_PTC			
3987607	CCDC121	NHP_PTC	FA_FVPTC	NHP_FVPTC	
2582701	CCDC148	NHP_PTC			
2688813	CCDC80	NHP_PTC			
3718204	CCL13	NHP_PTC			
3204285	CCL19				LCT_REST
3338192	CCND1	NHP_PTC	FA_FVPTC	NHP_FVPTC	
3380065	CCND1			NHP_FVPTC	
3401704	CCND2	NHP_PTC		NHP_FVPTC	
3316344	CD151	NHP_PTC			
2860178	CD180				LCT_REST
2636125	CD200	NHP_PTC			
3010503	CD36	NHP_PTC		NHP_FVPTC	
3834502	CD79A				LCT_REST
2671728	CDCP1	NHP_PTC			
3694657	CDH11	NHP_PTC			
3666366	CDH3	NHP_PTC	FA_FVPTC		
2805078	CDH6	NHP_PTC			
3417146	CDK2	NHP_PTC			
2773719	CDKL2	NHP_PTC			
2871896	CDO1	NHP_PTC			
4024373	CDR1	NHP_PTC			
2902844	CFB	NHP_PTC			
2373336	CFH	NHP_PTC			

10

20

30

40

2373336	CFHR1	NHP_PTC			
2781736	CFI	NHP_PTC			
3920003	CHAF1B	NHP_PTC			
3442054	CHD4	NHP_PTC			
4012178	CITED1	NHP_PTC	FA_FVPTC	NHP_FVPTC	
3178583	CKS2	NHP_PTC			
3862108	CLC	NHP_PTC			
2710599	CLDN1	NHP_PTC		NHP_FVPTC	
3497195	CLDN10	NHP_PTC			
2657808	CLDN16	NHP_PTC	FA_FVPTC	NHP_FVPTC	
3007960	CLDN4	NHP_PTC		NHP_FVPTC	
3743551	CLDN7	NHP_PTC			
3443183	CLEC4E	NHP_PTC			
3129065	CLU	NHP_PTC	FA_FVPTC		
2424102	CNN3	NHP_PTC			
3762198	COL1A1	NHP_PTC			
3761054	COPZ2		FA_FVPTC	NHP_FVPTC	
3106559	CP	NHP_PTC			
3105904	CPNE3		FA_FVPTC		
2377283	CR2				LCT_REST
3603295	CRABP1	NHP_PTC			
2438458	CRABP2	NHP_PTC	FA_FVPTC		
2406783	CSF3R	NHP_PTC			
3126504	CSGALNACT1		FA_FVPTC		
3335894	CST6	NHP_PTC	FA_FVPTC	NHP_FVPTC	
3219621	CTNNAL1	NHP_PTC			
2618940	CTNNB1	NHP_PTC			
3634811	CTSH	NHP_PTC			
3338552	CTTN	NHP_PTC			
2773434	CXCL1	NHP_PTC			

10

20

30

40

2732508	CXCL13				LCT_REST
2876608	CXCL14	NHP_PTC			
3863640	CXCL17	NHP_PTC			
2773434	CXCL2	NHP_PTC			
2773434	CXCL3	NHP_PTC			
4024420	CXorf18	NHP_PTC			
3973891	CXorf27	NHP_PTC			
3910429	CYP24A1			NHP_FVPTC	
2528093	CYP27A1			NHP_FVPTC	
3489138	CYSLTR2	NHP_PTC	FA_FVPTC	NHP_FVPTC	
3628832	DAPK2	NHP_PTC	FA_FVPTC	NHP_FVPTC	
2686023	DCBLD2	NHP_PTC			
3683845	DCUN1D3	NHP_PTC			
2420832	DDAH1	NHP_PTC			
3329649	DDB2	NHP_PTC			
3754736	DDX52	NHP_PTC			
3487095	DGKH	NHP_PTC			
3074912	DGKI	NHP_PTC			
3558118	DHRS1	NHP_PTC			
2397025	DHRS3	NHP_PTC			
2336891	DIO1	NHP_PTC	FA_FVPTC	NHP_FVPTC	
2417362	DIRAS3	NHP_PTC		NHP_FVPTC	
3125116	DLC1	NHP_PTC	FA_FVPTC		
3522398	DOCK9	NHP_PTC		NHP_FVPTC	
3913483	DPH3B		FA_FVPTC		
2584018	DPP4	NHP_PTC			
2880292	DPYSL3	NHP_PTC			
3783529	DSG2	NHP_PTC			
2893794	DSP	NHP_PTC			
2958325	DST	NHP_PTC			

10

20

30

40

3622176	DUOX1			NHP_FVPTC	
3622176	DUOX2			NHP_FVPTC	
3622239	DUOXA1			NHP_FVPTC	
3622239	DUOXA2			NHP_FVPTC	
3129731	DUSP4	NHP_PTC			
3263743	DUSP5	NHP_PTC			
3464860	DUSP6	NHP_PTC			
3497195	DZIP1	NHP_PTC			
2400518	ECE1	NHP_PTC	FA_FVPTC	NHP_FVPTC	
2562435	EDNRB	NHP_PTC			
3002640	EGFR	NHP_PTC			
2484970	EHBP1	NHP_PTC			
3837431	EHD2	NHP_PTC			
3326461	EHF	NHP_PTC			
3544387	EIF2B2		FA_FVPTC		
3427098	ELK3	NHP_PTC			
3046197	ELMO1	NHP_PTC			
3679959	EMP2	NHP_PTC	FA_FVPTC	NHP_FVPTC	
3852832	EMR3	NHP_PTC			
2458338	ENAH	NHP_PTC			
3345427	ENDOD1	NHP_PTC			
2327677	EPB41	NHP_PTC			
2600689	EPHA4	NHP_PTC			
2346625	EPHX4	NHP_PTC			
3772187	EPR1			LCT_REST	
3445908	EPS8	NHP_PTC			
3720402	ERBB2		FA_FVPTC		
3417249	ERBB3	NHP_PTC			
3683845	ERI2	NHP_PTC			
2462329	ERO1LB		FA_FVPTC		

10

20

30

40

3445768	ERP27	NHP_PTC			
2451870	ETNK2	NHP_PTC			
3039177	ETV1	NHP_PTC			
2709132	ETV5	NHP_PTC			
2863363	F2RL2	NHP_PTC			
3979101	FAAH2	NHP_PTC			
3142381	FABP4	NHP_PTC		NHP_FVPTC	
3331926	FAM111A	NHP_PTC			
3331903	FAM111B	NHP_PTC			
3104323	FAM164A	NHP_PTC			
2560625	FAM176A	NHP_PTC			
3768535	FAM20A	NHP_PTC			
3143330	FAM82B		FA_FVPTC		
3152558	FAM84B	NHP_PTC			
2396750	FBXO2	NHP_PTC			
3473480	FBXO21	NHP_PTC			
3229338	FCN1	NHP_PTC			
3229338	FCN2	NHP_PTC			
2742109	FGF2	NHP_PTC			
3413950	FGFR1OP2	NHP_PTC			
3324447	FIBIN		FA_FVPTC		
2738244	FLJ20184	NHP_PTC			
3346147	FLJ32810	NHP_PTC			
3338192	FLJ42258	NHP_PTC	FA_FVPTC	NHP_FVPTC	
3380065	FLJ42258			NHP_FVPTC	
3898355	FLRT3	NHP_PTC			
2526806	FN1	NHP_PTC			
2598261	FN1	NHP_PTC	FA_FVPTC		
3869237	FPR1	NHP_PTC			
3839910	FPR2	NHP_PTC			

10

20

30

40

3212008	FRMD3	NHP_PTC	FA_FVPTC	NHP_FVPTC	
3393479	FXYD6			NHP_FVPTC	
3343452	FZD4	NHP_PTC			
3110272	FZD6	NHP_PTC			
2523045	FZD7	NHP_PTC			
3217242	GABBR2	NHP_PTC			
2884845	GABRB2	NHP_PTC	FA_FVPTC	NHP_FVPTC	
2341083	GADD45A	NHP_PTC			
2401581	GALE	NHP_PTC			
3181600	GALNT12	NHP_PTC			
2585129	GALNT3	NHP_PTC			
2751936	GALNT7	NHP_PTC			
2684187	GBE1			NHP_FVPTC	
2421843	GBP1	NHP_PTC			
2421843	GBP3	NHP_PTC			
3044129	GGCT	NHP_PTC			
4015763	GLA			NHP_FVPTC	
3593931	GLDN	NHP_PTC			
2417272	GNG12	NHP_PTC			
2451931	GOLT1A	NHP_PTC			
2955932	GPR110	NHP_PTC			
2955999	GPR110	NHP_PTC			
2819779	GPR98	NHP_PTC		NHP_FVPTC	
3683377	GPRC5B	NHP_PTC			
2827057	GRAMD3	NHP_PTC			
3187686	GSN	NHP_PTC			
2787958	GYPB	NHP_PTC			
2504328	GYPC	NHP_PTC			
2787958	GYPE	NHP_PTC			
2809793	GZMK				LCT_REST

10

20

30

40

3217077	HEMGN	NHP_PTC			
2924492	HEY2	NHP_PTC	FA_FVPTC	NHP_FVPTC	
2946194	HIST1H1A	NHP_PTC			
2946215	HIST1H3B				LCT_REST
2947081	HIST1H4L				LCT_REST
2950125	HLA-DQB2	NHP_PTC			
3420316	HMGA2	NHP_PTC			
3830065	HPN	NHP_PTC			
2658275	HRASLS		FA_FVPTC		
3508330	HSPH1	NHP_PTC			
3820443	ICAM1	NHP_PTC			
2401493	ID3		FA_FVPTC		
2708922	IGF2BP2		FA_FVPTC		
2598828	IGFBP5	NHP_PTC			
3415744	IGFBP6	NHP_PTC	FA_FVPTC	NHP_FVPTC	
4021777	IGSF1	NHP_PTC	FA_FVPTC		
2597867	IKZF2		FA_FVPTC	NHP_FVPTC	
3755862	IKZF3		FA_FVPTC		
2497082	IL1RL1	NHP_PTC			
3275729	IL2RA			NHP_FVPTC	
2731332	IL8			NHP_FVPTC	
2599303	IL8RA	NHP_PTC			
2599303	IL8RB	NHP_PTC			
2527580	IL8RB	NHP_PTC			
2599303	IL8RBP	NHP_PTC			
2527580	IL8RBP	NHP_PTC			
2673873	IMPDH2	NHP_PTC			
3267382	INPP5F	NHP_PTC			
2980449	IPCEF1	NHP_PTC			
2816298	IQGAP2	NHP_PTC			

10

20

30

40

2809245	ITGA2	NHP_PTC			
3726154	ITGA3	NHP_PTC			
2617188	ITGA9	NHP_PTC	FA_FVPTC		
3852832	ITGB1	NHP_PTC			
2583465	ITGB6	NHP_PTC			
2991860	ITGB8	NHP_PTC			
4013549	ITM2A				LCT_REST
2608469	ITPR1	NHP_PTC			
3556990	JUB	NHP_PTC			
3998766	KAL1	NHP_PTC			
2628260	KBTBD8				LCT_REST
2952834	KCNK5	NHP_PTC			
3154002	KCNQ3	NHP_PTC			
3383130	KCTD14	NHP_PTC			
2827525	KDELCL1	NHP_PTC			
3945314	KDELRL3	NHP_PTC			
2959039	KHDRBS2	NHP_PTC			
3554452	KIAA0284	NHP_PTC		NHP_FVPTC	
2973232	KIAA0408	NHP_PTC	FA_FVPTC		
3238962	KIAA1217	NHP_PTC		NHP_FVPTC	
3529951	KIAA1305		FA_FVPTC		
2727587	KIT	NHP_PTC	FA_FVPTC	NHP_FVPTC	
3978943	KLF8	NHP_PTC			
2708066	KLHL6				LCT_REST
3868828	KLK10	NHP_PTC			
3868783	KLK7	NHP_PTC			
3415576	KRT18	NHP_PTC			
3757108	KRT19	NHP_PTC	FA_FVPTC		
2453793	LAMB3	NHP_PTC			
2371065	LAMC1	NHP_PTC			

10

20

30

40

2371139	LAMC2	NHP_PTC			
2962026	LCA5	NHP_PTC			
3653619	LCMT1	NHP_PTC			
3190190	LCN2	NHP_PTC			
4024420	LDOC1	NHP_PTC			
2452478	LEMD1	NHP_PTC			
2854092	LIFR		FA_FVPTC		
3841545	LILRA1	NHP_PTC			
3841545	LILRB1	NHP_PTC			
3454331	LIMA1	NHP_PTC			
3202528	LINGO2	NHP_PTC			
2708855	LIPH	NHP_PTC	FA_FVPTC	NHP_FVPTC	
3446137	LMO3	NHP_PTC	FA_FVPTC	NHP_FVPTC	
2345286	LMO4	NHP_PTC			
3028011	LOC100124692	NHP_PTC			
3442054	LOC100127974	NHP_PTC			
3765689	LOC100129112	NHP_PTC			
3759587	LOC100129115	NHP_PTC			
2601414	LOC100129171	NHP_PTC			
2577482	LOC100129961	NHP_PTC			
2504328	LOC100130248	NHP_PTC			
3110272	LOC100131102	NHP_PTC			
3464860	LOC100131490	NHP_PTC			
2364677	LOC100131938	NHP_PTC			
3922793	LOC100132338	NHP_PTC			
3392332	LOC100132764	NHP_PTC			
3487095	LOC283508	NHP_PTC			
3724698	LOC440434	NHP_PTC			
3201345	LOC554202	NHP_PTC			
2455418	LOC643454	NHP_PTC			

10

20

30

40

2525533	LOC648149	NHP_PTC			
4015838	LOC653354	NHP_PTC			
3724698	LOC653498	NHP_PTC			
2936857	LOC730031	NHP_PTC			
2567167	LONRF2	NHP_PTC			LCT_REST
2872848	LOX	NHP_PTC			
3220384	LPAR1			NHP_FVPTC	
3442137	LPAR5	NHP_PTC			
3088486	LPL	NHP_PTC			
2578790	LRP1B	NHP_PTC		NHP_FVPTC	
3106559	LRRC69	NHP_PTC			
2608309	LRRN1	NHP_PTC			
3465248	LUM	NHP_PTC			
3683845	LYRM1	NHP_PTC			
3040518	MACC1	NHP_PTC	FA_FVPTC		
3451814	MAFG	NHP_PTC	FA_FVPTC		
3994710	MAMLD1	NHP_PTC			
2525533	MAP2	NHP_PTC			
3111561	MAPK6	NHP_PTC		NHP_FVPTC	
3108526	MATN2		FA_FVPTC		
2539607	MBOAT2	NHP_PTC			
3097152	MCM4	NHP_PTC			
3063685	MCM7	NHP_PTC			
3329343	MDK	NHP_PTC	FA_FVPTC		
2962820	ME1			NHP_FVPTC	
3765689	MED13	NHP_PTC			
3020343	MET	NHP_PTC	FA_FVPTC	NHP_FVPTC	
3416895	METTL7B	NHP_PTC	FA_FVPTC	NHP_FVPTC	
3808096	MEX3C	NHP_PTC			
3638204	MFGE8	NHP_PTC	FA_FVPTC	NHP_FVPTC	

10

20

30

40

3028011	MGAM	NHP_PTC			
2890859	MGAT1			NHP_FVPTC	
3464417	MGAT4C	NHP_PTC			
2658275	MGC2889		FA_FVPTC		
3406589	MGST1	NHP_PTC			
3707759	MIS12		FA_FVPTC		
2936857	MLLT4	NHP_PTC			
3143660	MMP16	NHP_PTC			
3143643	MMP16	NHP_PTC			
2362333	MNDA	NHP_PTC			
4017212	MORC4	NHP_PTC			
3367673	MPPED2	NHP_PTC			
3393720	MPZL2	NHP_PTC	FA_FVPTC	NHP_FVPTC	
2955025	MRPL14	NHP_PTC			
3662201	MT1F	NHP_PTC	FA_FVPTC		
3692999	MT1G	NHP_PTC		NHP_FVPTC	
3662201	MT1H	NHP_PTC	FA_FVPTC		
3662150	MT1M	NHP_PTC			
3662201	MT1P2	NHP_PTC	FA_FVPTC		
3662150	MT1P3	NHP_PTC			
2931391	MTHFD1L	NHP_PTC			
2437118	MUC1	NHP_PTC			
3366903	MUC15	NHP_PTC			
3655723	MVP	NHP_PTC			
3997825	MXRA5	NHP_PTC			
3622934	MYEF2	NHP_PTC			
3744463	MYH10	NHP_PTC			
2520429	MYO1B	NHP_PTC			
3752709	MYO1D	NHP_PTC			
3624607	MYO5A			NHP_FVPTC	

10

20

30

40

2914070	MYO6	NHP_PTC			
3417809	NAB2	NHP_PTC			
3695268	NAE1	NHP_PTC			
3074912	NAG20	NHP_PTC			
3323052	NAV2		FA_FVPTC	NHP_FVPTC	
3349293	NCAM1		FA_FVPTC		
2590736	NCKAP1	NHP_PTC			
3495076	NDFIP2	NHP_PTC			
3789947	NEDD4L	NHP_PTC			
3451814	NELL2	NHP_PTC	FA_FVPTC		
2343231	NEXN	NHP_PTC			
3456666	NFE2	NHP_PTC			
3199207	NFIB	NHP_PTC			
2325410	NIPAL3	NHP_PTC			
3182957	NIPSNAP3A		FA_FVPTC		
3182957	NIPSNAP3B		FA_FVPTC		
3044072	NOD1	NHP_PTC	FA_FVPTC		
3571904	NPC2	NHP_PTC			
3724698	NPEPPS	NHP_PTC			
2370926	NPL			NHP_FVPTC	
2792127	NPY1R	NHP_PTC			
3067478	NRCAM	NHP_PTC		NHP_FVPTC	
3925639	NRIP1	NHP_PTC			
2524301	NRP2	NHP_PTC			
2915828	NT5E	NHP_PTC			
3143330	NTAN1		FA_FVPTC		
3322251	NUCB2		FA_FVPTC	NHP_FVPTC	
2742109	NUDT6	NHP_PTC			
3654699	NUPR1		FA_FVPTC		
2768654	OCIAD2	NHP_PTC			

10

20

30

40

2375338	OCR1	NHP_PTC			
4020655	ODZ1	NHP_PTC	FA_FVPTC	NHP_FVPTC	
3380065	ORAOV1			NHP_FVPTC	
3801621	OSBPL1A			NHP_FVPTC	
3555461	OSGEP	NHP_PTC			
2807359	OSMR	NHP_PTC			
2701071	P2RY13	NHP_PTC			
2875193	P4HA2	NHP_PTC			
2822215	PAM	NHP_PTC			
3256590	PAPSS2			NHP_FVPTC	
3505781	PARP4	NHP_PTC			
3320865	PARVA	NHP_PTC			
2364677	PBX1	NHP_PTC			
3134922	PCMTD1		FA_FVPTC		
2783596	PDE5A	NHP_PTC		NHP_FVPTC	
3922793	PDE9A	NHP_PTC			
3087703	PDGFRL	NHP_PTC			
3301218	PDLIM1	NHP_PTC			
2828441	PDLIM4	NHP_PTC			
3411810	PDZRN4	NHP_PTC			
3013255	PEG10	NHP_PTC			
2976360	PERP	NHP_PTC			
3971451	PHEX	NHP_PTC			
3975893	PHF16	NHP_PTC			
2635906	PHLDB2	NHP_PTC			
3127385	PHYHIP	NHP_PTC			
3811086	PIGN		FA_FVPTC		
3111561	PKHD1L1	NHP_PTC		NHP_FVPTC	
2511820	PKP4	NHP_PTC			
3376529	PLA2G16	NHP_PTC			

10

20

30

40

2955827	PLA2G7			NHP_FVPTC	
2583374	PLA2R1	NHP_PTC			
3136178	PLAG1	NHP_PTC	FA_FVPTC	NHP_FVPTC	
3252036	PLAU	NHP_PTC			
3759587	PLCD3	NHP_PTC			
2521574	PLCL1			NHP_FVPTC	
3867458	PLEKHA4	NHP_PTC			
3407096	PLEKHA5	NHP_PTC			
2858023	PLK2	NHP_PTC			
3987996	PLS3	NHP_PTC			
3911217	PMEPA1	NHP_PTC			
3061997	PON2	NHP_PTC			
2763550	PPARGC1A	NHP_PTC			
2773358	PPBP	NHP_PTC			
3678462	PPL	NHP_PTC			
2931090	PPP1R14C	NHP_PTC			
3384270	PRCP			NHP_FVPTC	
3451375	PRICKLE1	NHP_PTC			
3238962	PRINS	NHP_PTC		NHP_FVPTC	
2682271	PROK2	NHP_PTC			
2685304	PROS1	NHP_PTC			
2994981	PRR15	NHP_PTC			
3973692	PRRG1	NHP_PTC			
3343452	PRSS23	NHP_PTC			
3175971	PSAT1		FA_FVPTC		
3126368	PSD3	NHP_PTC			
3126191	PSD3	NHP_PTC			
2455418	PTPN14	NHP_PTC			
2333318	PTPRF	NHP_PTC			
2626802	PTPRG	NHP_PTC			

10

20

30

40

2973376	PTPRK	NHP_PTC			
3757917	PTRF	NHP_PTC			
3134922	PXDNL		FA_FVPTC		
3638204	QTRT1	NHP_PTC	FA_FVPTC	NHP_FVPTC	
2361257	RAB25	NHP_PTC			
3625271	RAB27A	NHP_PTC			
2929699	RAB32			NHP_FVPTC	
3751002	RAB34	NHP_PTC			
3183757	RAD23B	NHP_PTC			
3369931	RAG2	NHP_PTC	FA_FVPTC		
4001223	RAI2	NHP_PTC			
3040967	RAPGEF5	NHP_PTC			
3456081	RARG	NHP_PTC			
2819044	RASA1	NHP_PTC			
3944210	RASD2	NHP_PTC			
4000944	RBBP7	NHP_PTC			
3781429	RBBP8	NHP_PTC			
3417583	RBMS2	NHP_PTC			
3336486	RCE1	NHP_PTC			
3416921	RDH5	NHP_PTC			
2779335	RG9MTD2		FA_FVPTC		
2372812	RGS13				LCT_REST
2372719	RGS18	NHP_PTC			
2372858	RGS2	NHP_PTC			
2384401	RHOU	NHP_PTC			
2580802	RND3	NHP_PTC			
2721959	ROS1	NHP_PTC	FA_FVPTC	NHP_FVPTC	
2709606	RPL39L	NHP_PTC			
3804143	RPRD1A	NHP_PTC			
3867965	RRAS	NHP_PTC			

10

20

30

40

2469252	RRM2				LCT REST
2442008	RXRG	NHP_PTC	FA_FVPTC	NHP_FVPTC	
2435981	S100A12	NHP_PTC			
4045665	S100A14	NHP_PTC			
4045643	S100A16	NHP_PTC			
2435989	S100A8	NHP_PTC			
2359664	S100A9	NHP_PTC			
3691326	SALL1	NHP_PTC		NHP_FVPTC	
3564027	SAV1	NHP_PTC			
2750594	SC4MOL	NHP_PTC			
3091475	SCARA3	NHP_PTC			
3442054	SCARNA11	NHP_PTC			
3494629	SCEL	NHP_PTC			
3587495	SCG5	NHP_PTC		NHP_FVPTC	
3441885	SCNN1A	NHP_PTC			
3043895	SCRN1	NHP_PTC			
3907234	SDC4	NHP_PTC	FA_FVPTC	NHP_FVPTC	
3779756	SEH1L	NHP_PTC			
2443450	SELL	NHP_PTC			
3058759	SEMA3C			NHP_FVPTC	
3059667	SEMA3D	NHP_PTC			
2732273	SEPT11	NHP_PTC			
2328273	SERINC2	NHP_PTC			
3577612	SERPINA1	NHP_PTC	FA_FVPTC		
3577612	SERPINA2	NHP_PTC	FA_FVPTC		
2601414	SERPINE2	NHP_PTC			
3331355	SERPING1	NHP_PTC			
2326774	SFN	NHP_PTC			
2562435	SFTPB	NHP_PTC			
2768981	SGCB	NHP_PTC			

10

20

30

40

3061805	SGCE	NHP_PTC			
2648535	SGEF	NHP_PTC			
2738664	SGMS2	NHP_PTC			
3088213	SH2D4A	NHP_PTC			
3304970	SH3PXD2A	NHP_PTC			
3894727	SIRPA	NHP_PTC			
3894727	SIRPB1	NHP_PTC			
3154263	SLA	NHP_PTC			
2827525	SLC12A2	NHP_PTC			
2427469	SLC16A4	NHP_PTC			
3768412	SLC16A6			NHP_FVPTC	
2960955	SLC17A5	NHP_PTC			
3622934	SLC24A5	NHP_PTC			
3018605	SLC26A4	NHP_PTC			
3106559	SLC26A7	NHP_PTC			
3593575	SLC27A2	NHP_PTC			
2827645	SLC27A6	NHP_PTC			
2721959	SLC34A2	NHP_PTC	FA_FVPTC	NHP_FVPTC	
3216276	SLC35D2		FA_FVPTC		
3389976	SLC35F2	NHP_PTC			
3804195	SLC39A6	NHP_PTC			
2730746	SLC4A4	NHP_PTC			
3467949	SLC5A8	NHP_PTC			
2786322	SLC7A11		FA_FVPTC	NHP_FVPTC	
3087659	SLC7A2	NHP_PTC			
2720584	SLIT2	NHP_PTC			
3907190	SLPI	NHP_PTC			
3509842	SMAD9		FA_FVPTC		
2937144	SMOC2	NHP_PTC			
3766960	SMURF2	NHP_PTC			

10

20

30

40

2777714	SNCA	NHP_PTC			
3597857	SNX1	NHP_PTC			
3597914	SNX22	NHP_PTC			
2348437	SNX7	NHP_PTC			
2369557	SOAT1			NHP_FVPTC	
2797202	SORBS2	NHP_PTC			
3413950	SPATS2	NHP_PTC			
2522094	SPATS2L	NHP_PTC			
2585933	SPC25				LCT_REST
3590164	SPINT1	NHP_PTC			
2556752	SPRED2	NHP_PTC			
2742224	SPRY1	NHP_PTC	FA_FVPTC		
3519309	SPRY2	NHP_PTC			
3677969	SRL	NHP_PTC			
3408831	SSPN	NHP_PTC			
2562529	ST3GAL5	NHP_PTC			
3011861	STEAP2		FA_FVPTC		
2834282	STK32A	NHP_PTC		NHP_FVPTC	
3558418	STXBP6			NHP_FVPTC	
3102372	SULF1	NHP_PTC			
2979871	SYNE1	NHP_PTC			
2378256	SYT14	NHP_PTC			
3973891	SYTL5	NHP_PTC			
2414958	TACSTD2	NHP_PTC			
3898126	TASP1		FA_FVPTC		
3724698	TBC1D3F	NHP_PTC			
3264621	TCF7L2		FA_FVPTC		
3913483	TCFL5		FA_FVPTC		
2435218	TDRKH	NHP_PTC			
3320944	TEAD1	NHP_PTC			

10

20

30

40

3321055	TEAD1	NHP_PTC			
2573570	TFCP2L1	NHP_PTC			
3933536	TFF3	NHP_PTC			
2591421	TFPI			NHP_FVPTC	
2558612	TGFA	NHP_PTC			
2380590	TGFB2	NHP_PTC			
3181728	TGFBR1	NHP_PTC			
3976341	TIMP1	NHP_PTC	FA_FVPTC		
2649113	TIPARP	NHP_PTC			
3615579	TJP1	NHP_PTC			
3173880	TJP2	NHP_PTC			
3751042	TLCD1	NHP_PTC			
3969115	TLR8	NHP_PTC			
2700365	TM4SF1	NHP_PTC			
2647315	TM4SF4	NHP_PTC			
3110608	TM7SF4	NHP_PTC			
3763390	TMEM100	NHP_PTC			
3412345	TMEM117	NHP_PTC			
3346147	TMEM133	NHP_PTC			
2577482	TMEM163	NHP_PTC			
2815220	TMEM171		FA_FVPTC	NHP_FVPTC	
3166644	TMEM215	NHP_PTC		NHP_FVPTC	
3571904	TMEM90A	NHP_PTC			
3717870	TMEM98	NHP_PTC			
3351200	TMPRSS4	NHP_PTC			
3222170	TNC	NHP_PTC			
3150455	TNFRSF11B		FA_FVPTC		
3645555	TNFRSF12A	NHP_PTC	FA_FVPTC	NHP_FVPTC	
3648391	TNFRSF17				LCT_REST
3222128	TNFSF15	NHP_PTC			

10

20

30

40

3907111	TOMM34	NHP_PTC			
3136888	TOX				LCT_REST
2924330	TPD52L1	NHP_PTC			
2466554	TPO	NHP_PTC	FA_FVPTC	NHP_FVPTC	
3818515	TRIP10	NHP_PTC			
4018327	TRPC5	NHP_PTC	FA_FVPTC	NHP_FVPTC	
3512294	TSC22D1	NHP_PTC			
2991150	TSPAN13	NHP_PTC			
4015397	TSPAN6	NHP_PTC			
3891342	TUBB1	NHP_PTC			
3779579	TUBB6	NHP_PTC			
3401217	TULP3	NHP_PTC			
3087167	TUSC3	NHP_PTC			
3809324	TXNL1		FA_FVPTC		
3429460	TXNRD1			NHP_FVPTC	
3775842	TYMS	NHP_PTC			
2448971	UCHL5			NHP_FVPTC	
2974592	VNN1			NHP_FVPTC	
2974635	VNN2	NHP_PTC			
2974610	VNN3	NHP_PTC			
3203855	WDR40A	NHP_PTC			
2489228	WDR54	NHP_PTC			
3625052	WDR72		FA_FVPTC		
3768474	WIPI1			NHP_FVPTC	
2677356	WNT5A	NHP_PTC			
4015548	XKRX	NHP_PTC			
2370123	XPR1	NHP_PTC			
3832280	YIF1B	NHP_PTC			
2413484	YIPF1		FA_FVPTC		
4024373	YTHDC2	NHP_PTC			

10

20

30

40

3989089	ZBTB33	NHP_PTC			
3988596	ZCCHC12	NHP_PTC	FA_FVPTC	NHP_FVPTC	
3987607	ZCCHC16	NHP_PTC	FA_FVPTC	NHP_FVPTC	
3569754	ZFP36L1	NHP_PTC			
2706791	ZMAT3	NHP_PTC			
3132616	ZMAT4	NHP_PTC	FA_FVPTC	NHP_FVPTC	
2331903	ZNF643	NHP_PTC			
3011675	ZNF804B	NHP_PTC			

10

20

30

40

50

【 0 2 8 0 】

(表5)トライデント(Trident)分析

この良性対悪性分析は、237遺伝子に現在マッピングされている210個の独特的TCIDをもたらした。これらの遺伝子は、単一のデータセットを使用した三つの統計的に有意なサブ分析（再現性分析、ペイズ分析、および組織分析）の連合を表す。

TCID	遺伝子記号 (Affy v.na29)	再現性	ペイズ	組織	DE	p値
3393720	MPZL2	真	真	真	1.49	1.87E-32
2400177	CAMK2N1	真	真	偽	1.67	2.27E-29
3067478	NRCAM	真	真	偽	1.42	2.53E-29
3445908	EPS8	真	真	真	1.44	6.34E-29
3020343	MET	真	真	偽	1.49	1.47E-27
4012178	CITED1	真	真	偽	1.50	2.37E-27
2710599	CLDN1	真	真	偽	1.41	9.07E-27
3338192	CCND1	真	真	真	1.36	2.63E-26
3338192	FLJ42258	真	真	真	1.36	2.63E-26
3126191	PSD3	真	真	真	1.32	3.49E-25
2884845	GABRB2	真	真	偽	1.73	4.07E-25
3087167	TUSC3	真	真	偽	1.49	6.22E-25
3907234	SDC4	真	真	偽	1.46	2.08E-24
2721959	ROS1	真	真	偽	1.48	2.82E-24
2721959	SLC34A2	真	真	偽	1.48	2.82E-24
3679959	EMP2	偽	真	偽	1.50	2.83E-24
2708855	C11orf72	真	真	真	1.59	1.31E-23

【 0 2 8 1 】

2708855	LIPH	真	真	真	1.59	1.31E-23
3416895	METTL7B	真	真	偽	1.49	2.12E-23
3136178	PLAG1	偽	真	真	1.41	2.37E-23
2442008	RXRG	真	真	偽	1.60	3.50E-23
2657808	CLDN16	真	真	真	1.51	2.63E-22
3984945	ARMCX3	真	真	偽	1.45	3.13E-22
2567167	LONRF2	真	真	真	1.38	3.67E-22
2685304	PROS1	真	真	偽	1.46	3.81E-22
3744463	MYH10	真	真	偽	1.46	6.20E-22
3415744	IGFBP6	真	真	偽	1.56	9.91E-22
2834282	STK32A	真	真	真	1.27	1.03E-21
3554452	KIAA0284	真	真	偽	1.32	1.38E-21
3040518	MACC1	真	真	偽	1.47	1.42E-21
3587495	SCG5	真	真	偽	1.34	1.74E-21
2686023	DCBLD2	真	真	偽	1.18	1.83E-21
3335894	CST6	偽	真	偽	1.43	2.29E-21
2783596	PDE5A	真	真	真	1.55	2.63E-21
3522398	AIDA	真	真	偽	1.38	2.99E-21
3522398	DOCK9	真	真	偽	1.38	2.99E-21
3638204	MFGE8	真	真	偽	1.51	5.35E-21
3638204	QTRT1	真	真	偽	1.51	5.35E-21
3323052	NAV2	真	真	偽	1.30	7.00E-21
2924492	HEY2	真	真	偽	1.48	2.01E-20
3726154	ITGA3	真	真	偽	1.35	2.16E-20
2924330	TPD52L1	真	真	偽	1.17	2.21E-20
3988596	ZCCHC12	真	真	偽	1.52	2.85E-20
3683377	GPRC5B	真	真	偽	1.28	4.84E-20
3417249	ERBB3	偽	真	偽	1.51	6.63E-20
2511820	PKP4	真	真	真	1.22	7.51E-20
4020655	ODZ1	真	真	偽	1.34	8.32E-20

10

20

30

40

50

3628832	DAPK2	偽	真	偽	1.34	1.20E-19
3007960	CLDN4	真	真	偽	1.20	1.42E-19
2598261	FN1	真	真	偽	1.31	3.25E-19
2936857	LOC730031	真	真	真	1.12	5.16E-19
2936857	MLLT4	真	真	真	1.12	5.16E-19
3666366	CDH3	真	真	真	1.48	6.10E-19
3757108	KRT19	真	真	偽	1.41	6.20E-19
3451375	PRICKLE1	偽	真	真	1.42	8.79E-19
3338552	CTTN	真	真	真	1.10	9.53E-19
2680046	ADAMTS9	真	真	偽	1.40	1.06E-18
3867458	PLEKHA4	真	真	偽	1.35	1.50E-18
3494629	SCEL	真	真	偽	1.39	1.57E-18
3978943	KLF8	真	真	偽	1.35	3.66E-18
2397025	DHRS3	真	真	偽	1.22	3.89E-18
3420316	HMGA2	真	真	真	1.48	4.63E-18
3126368	PSD3	真	真	偽	1.19	5.77E-18
2809245	ITGA2	真	真	偽	1.45	6.16E-18
2526806	FN1	真	真	真	1.19	7.55E-18
2827645	SLC27A6	偽	真	偽	1.49	8.33E-18
3217361	ANKS6	真	真	偽	1.19	8.37E-18
3743551	CLDN7	真	真	偽	1.07	1.80E-17
3571904	NPC2	偽	真	偽	0.99	2.53E-17
3571904	TMEM90A	偽	真	偽	0.99	2.53E-17
2558612	TGFA	真	真	偽	1.35	2.71E-17
3987607	CCDC121	真	真	偽	1.46	3.28E-17
3987607	ZCCHC16	真	真	偽	1.46	3.28E-17
3088213	SH2D4A	真	真	偽	1.18	5.07E-17
3751002	RAB34	真	真	偽	1.19	5.77E-17
3973891	CXorf27	真	真	偽	1.52	6.03E-17
3973891	SYTL5	真	真	偽	1.52	6.03E-17

10

20

30

40

3044072	NOD1	真	真	真	1.45	6.85E-17
2370123	XPR1	真	真	偽	1.26	7.13E-17
3174816	ANXA1	偽	真	真	1.08	7.85E-17
2966193	C6orf168	真	真	偽	1.37	1.01E-16
2525533	LOC648149	真	真	偽	1.24	1.02E-16
2525533	MAP2	真	真	偽	1.24	1.02E-16
3154002	KCNQ3	真	真	偽	1.41	1.09E-16
3590164	SPINT1	真	真	偽	1.17	1.35E-16
3329343	MDK	真	真	真	1.28	1.58E-16
2875193	P4HA2	真	真	偽	1.10	1.80E-16
3726691	ABCC3	真	真	偽	1.17	1.86E-16
2451870	ETNK2	真	真	真	1.33	1.91E-16
4018327	TRPC5	真	真	真	1.48	2.43E-16
3046197	ELMO1	真	真	真	-1.26	2.80E-16
2460817	SIPA1L2	真	真	真	1.17	3.16E-16
3976341	TIMP1	真	真	真	1.15	3.39E-16
2973232	C6orf174	真	真	偽	1.42	3.78E-16
2973232	KIAA0408	真	真	偽	1.42	3.78E-16
3417809	NAB2	真	真	偽	1.25	5.50E-16
2751936	GALNT7	真	真	偽	1.17	5.95E-16
2648535	SGEF	真	偽	偽	1.16	1.33E-15
3759587	LOC100129115	真	真	偽	1.34	1.47E-15
3759587	PLCD3	真	真	偽	1.34	1.47E-15
3994710	MAMLD1	偽	真	偽	1.37	1.80E-15
3581221	AHNAK2	真	真	偽	1.31	2.29E-15
3259253	C10orf131	偽	真	真	1.01	4.17E-15
3259253	ENTPD1	偽	真	真	1.01	4.17E-15
2562435	EDNRB	偽	真	偽	1.37	5.28E-15
2562435	SFTPB	偽	真	偽	1.37	5.28E-15
3489138	CYSLTR2	真	真	真	1.30	5.69E-15

10

20

30

40

3002640	EGFR	真	真	真	1.11	8.20E-15
2578790	LRP1B	偽	真	偽	-0.95	1.06E-14
3768535	FAM20A	偽	真	偽	1.25	1.11E-14
3044129	GGCT	真	真	偽	1.11	1.12E-14
2980449	IPCEF1	真	真	真	-1.14	1.29E-14
4018454	AMOT	真	真	偽	1.34	1.47E-14
3763390	TMEM100	真	真	真	1.40	2.44E-14
2740067	ANK2	偽	真	真	-0.89	2.57E-14
3622934	MYEF2	真	真	真	1.03	4.13E-14
3622934	SLC24A5	真	真	真	1.03	4.13E-14
2414958	TACSTD2	偽	真	偽	1.29	5.50E-14
3321150	ARNTL	真	真	真	1.18	7.68E-14
3464860	DUSP6	真	真	偽	1.10	1.17E-13
3464860	LOC100131490	真	真	偽	1.10	1.17E-13
3217242	GABBR2	真	真	真	1.21	1.22E-13
3110608	TM7SF4	真	真	真	1.23	2.16E-13
3110395	RIMS2	真	真	偽	1.13	2.54E-13
3649714	C16orf45	真	真	偽	1.10	7.74E-13
3867264	CA11	真	真	偽	1.05	8.23E-13
3832280	C19orf33	真	真	偽	1.20	8.77E-13
3832280	YIF1B	真	真	偽	1.20	8.77E-13
2452440	KLHDC8A	真	真	偽	1.08	1.39E-12
2608469	ITPR1	真	真	真	-1.10	1.71E-12
3577612	SERPINA1	偽	真	偽	0.96	2.24E-12
3577612	SERPINA2	偽	真	偽	0.96	2.24E-12
4015548	XKRX	真	真	偽	1.12	2.68E-12
3451814	MAFG	偽	真	真	1.04	2.91E-12
3451814	NELL2	偽	真	真	1.04	2.91E-12
2734421	ARHGAP24	偽	真	偽	-1.05	3.17E-12
2816298	IQGAP2	真	真	偽	-1.10	5.75E-12

10

20

30

40

2524301	NRP2	偽	真	偽	0.93	7.41E-12
3132616	ZMAT4	偽	真	真	-0.89	1.03E-11
3365136	SERGEF	偽	真	真	0.98	1.04E-11
3367673	MPPED2	偽	真	偽	-0.95	1.18E-11
2608309	LRRN1	偽	偽	真	0.84	1.66E-11
2820925	RHOBTB3	偽	真	真	0.85	2.73E-11
3369931	RAG2	偽	真	真	-0.75	3.90E-11
2708922	IGF2BP2	偽	真	真	0.90	5.15E-11
3868783	KLK7	真	真	真	1.19	7.94E-11
3006572	AUTS2	真	真	偽	1.06	1.02E-10
3411810	PDZRN4	真	真	偽	1.20	1.21E-10
2876897	SPOCK1	真	偽	偽	1.05	1.39E-10
3166644	TMEM215	偽	偽	真	0.98	1.49E-10
3933536	TFF3	偽	真	偽	-0.80	2.50E-10
3159330	DOCK8	偽	真	真	-0.90	2.53E-10
3279058	ACBD7	偽	真	真	1.03	2.83E-10
3593931	GLDN	真	真	偽	1.13	3.46E-10
3404030	KLRG1	偽	真	真	-0.88	5.39E-10
2373842	PTPRC	偽	偽	真	-0.90	9.75E-10
3010503	CD36	偽	真	真	-0.81	3.46E-09
2583374	PLA2R1	偽	真	真	-0.72	6.14E-09
3856646	ZNF208	偽	偽	真	0.77	6.91E-09
3692999	MT1G	偽	真	真	-0.82	1.01E-08
2587790	GPR155	偽	真	偽	-0.86	1.12E-08
2362351	PYHIN1	偽	偽	真	-0.76	1.46E-08
2727587	KIT	偽	真	偽	-0.75	1.50E-08
2427619	KCNA3	偽	偽	真	-0.78	1.50E-08
3142381	FABP4	偽	真	偽	-0.72	1.82E-08
2584018	DPP4	偽	真	真	0.78	2.22E-08
2387126	RYR2	偽	真	真	-0.64	2.26E-08

10

20

30

40

2823880	CAMK4	偽	偽	真	-0.72	2.67E-08
3410384	C12orf35	偽	偽	真	-0.78	2.74E-08
2466554	TPO	偽	真	偽	-0.77	5.30E-08
2806468	IL7R	偽	偽	真	-0.78	1.04E-07
2730746	SLC4A4	偽	真	真	-0.73	1.12E-07
3467949	SLC5A8	偽	偽	真	-0.74	1.23E-07
2518272	CERKL	偽	偽	真	-0.74	1.58E-07
2518272	ITGA4	偽	偽	真	-0.74	1.58E-07
3450861	ABCD2	偽	偽	真	-0.66	1.63E-07
3389450	CARD16	偽	偽	真	-0.78	1.66E-07
3389450	CASP1	偽	偽	真	-0.78	1.66E-07
2657831	IL1RAP	偽	真	偽	0.78	1.85E-07
3059667	SEMA3D	偽	真	真	-0.71	2.04E-07
4013460	CYSLTR1	偽	偽	真	-0.71	2.12E-07
3126504	CSGALNACT1	偽	真	真	-0.65	2.29E-07
3811339	BCL2	偽	真	真	-0.76	2.29E-07
2724671	RHOH	偽	偽	真	-0.69	2.37E-07
3160895	JAK2	偽	偽	真	-0.74	2.48E-07
2486811	PLEK	偽	偽	真	-0.75	2.66E-07
3443804	KLRB1	偽	偽	真	-0.73	2.84E-07
3576704	TC2N	偽	真	真	-0.74	3.29E-07
3742627	C17orf87	偽	偽	真	-0.70	4.80E-07
3347658	ATM	偽	偽	真	-0.65	4.89E-07
3347658	NPAT	偽	偽	真	-0.65	4.89E-07
2815220	TMEM171	偽	偽	真	-0.60	5.00E-07
3960174	LGALS2	偽	偽	真	-0.70	5.58E-07
2462329	ERO1LB	偽	真	真	-0.67	6.74E-07
2608725	BHLHE40	偽	真	真	0.72	8.08E-07
3389353	CARD17	偽	偽	真	-0.72	1.09E-06
3389353	CASP1	偽	偽	真	-0.72	1.09E-06

10

20

30

40

3062082	PDK4	偽	偽	真	0.67	1.22E-06
2593159	STK17B	偽	偽	真	-0.65	1.88E-06
2353669	CD2	偽	偽	真	-0.67	2.06E-06
2428796	PTPN22	偽	偽	真	-0.66	2.70E-06
2422035	GBP5	偽	偽	真	-0.69	3.37E-06
2766289	TMEM156	偽	偽	真	-0.57	4.55E-06
3060450	C7orf62	偽	偽	真	-0.61	5.81E-06
2439554	AIM2	偽	偽	真	-0.60	6.78E-06
3443891	CLEC2B	偽	偽	真	-0.58	3.51E-05
2766192	TLR10	偽	偽	真	-0.51	3.87E-05
3536706	LGALS3	偽	真	偽	0.52	4.67E-05
3009838	CCDC146	偽	偽	真	-0.56	7.30E-05
3009838	POLR2J4	偽	偽	真	-0.56	7.30E-05
2412312	TTC39A	偽	偽	真	0.51	7.45E-05
2548699	CYP1B1	偽	真	偽	0.49	3.52E-04
3443868	CD69	偽	偽	真	-0.47	4.85E-04
3461981	TSPAN8	偽	偽	真	-0.44	7.33E-04
3648391	TNFRSF17	偽	偽	真	-0.44	7.66E-04
3018605	SLC26A4	偽	真	真	-0.46	9.81E-04
3107828	PLEKHF2	偽	偽	真	-0.42	1.19E-03
2372812	RGS13	偽	偽	真	-0.38	1.66E-03
3197955	GLDC	偽	偽	真	-0.37	5.51E-03
2796995	SORBS2	偽	偽	真	-0.32	1.01E-02
3135567	LYPLA1	偽	偽	真	-0.32	1.78E-02
2732508	CXCL13	偽	偽	真	-0.30	1.94E-02
3200982	MLLT3	偽	偽	真	-0.30	2.03E-02
2735027	SPP1	偽	偽	真	0.25	6.47E-02
2554018	EFEMP1	偽	偽	真	-0.20	1.55E-01
2945882	CMAH	偽	偽	真	-0.21	1.65E-01
2767378	ATP8A1	偽	偽	真	0.20	1.79E-01

10

20

30

40

4016193	TMSB15A	偽	偽	真	-0.16	2.27E-01
4016193	TMSB15B	偽	偽	真	-0.16	2.27E-01
3019158	LRRN3	偽	偽	真	0.16	2.57E-01
2700244	CP	偽	偽	真	0.12	4.37E-01
2700244	HPS3	偽	偽	真	0.12	4.37E-01
2855285	CCDC152	偽	偽	真	-0.10	4.49E-01
2855285	SEPP1	偽	偽	真	-0.10	4.49E-01
2773947	CXCL9	偽	偽	真	-0.10	4.56E-01
3108226	PGCP	偽	真	真	0.04	7.65E-01
2773972	CXCL11	偽	偽	真	0.02	8.93E-01

10

20

【 0 2 8 2 】

本発明の好ましい態様が本明細書に示され説明されたが、そのような態様は例として提供されているに過ぎないことが当業者には明白であると考えられる。多数の変動、変化、および置換が、本発明から逸脱することなく、当業者に想到されると考えられる。本明細書に記載された本発明の態様の様々な代替物が、本発明の実施において使用され得ることが理解されるべきである。以下の特許請求の範囲が、本発明の範囲を定義し、これらの特許請求の範囲に含まれる方法および構造、ならびにそれらの等価物が、本発明に包含されるものとする。

【 図 1 - 1 】

入力CELファイル	病態
151329HUEX1A11.CEL	良性
151345HUEX1A11.CEL	良性
151326HUEX1A11.CEL	良性
151309HUEX1A11.CEL	良性
151289HUEX1A11.CEL	良性
151338HUEX1A11.CEL	良性
151315HUEX1A11.CEL	良性
151306HUEX1A11.CEL	良性
151316HUEX1A11.CEL	良性
151276HUEX1A11.CEL	良性
151305HUEX1A11.CEL	良性
151330HUEX1A11.CEL	良性
151336HUEX1A11.CEL	良性
151275HUEX1A11.CEL	良性
151309HUEX1A11.CEL	良性
151284HUEX1A11.CEL	良性
151295HUEX1A11.CEL	良性
151279HUEX1A11.CEL	良性
151293HUEX1A11.CEL	良性
151359HUEX1A11.CEL	良性
151325HUEX1A11.CEL	良性
151283HUEX1A11.CEL	良性
151361HUEX1A11.CEL	良性
151294HUEX1A11.CEL	良性
151373HUEX1A11.CEL	良性
151364HUEX1A11.CEL	良性
151308HUEX1A11.CEL	良性
151291HUEX1A11.CEL	良性
151285HUEX1A11.CEL	良性
151363HUEX1A11.CEL	悪性
151347HUEX1A11.CEL	悪性

【 図 1 - 2 】

151346HUEX1A11.CEL	悪性
151288HUEX1A11.CEL	悪性
151340HUEX1A11.CEL	悪性
151334HUEX1A11.CEL	悪性
151300HUEX1A11.CEL	悪性
151233HUEX1A11.CEL	悪性
151319HUEX1A11.CEL	悪性
151358HUEX1A11.CEL	悪性
151365HUEX1A11.CEL	悪性
151348HUEX1A11.CEL	悪性
151320HUEX1A11.CEL	悪性
151278HUEX1A11.CEL	悪性
151304HUEX1A11.CEL	悪性
151341HUEX1A11.CEL	悪性
151281HUEX1A11.CEL	悪性
151321HUEX1A11.CEL	悪性
151339HUEX1A11.CEL	悪性
151277HUEX1A11.CEL	悪性
151286HUEX1A11.CEL	悪性
151362HUEX1A11.CEL	悪性
151382HUEX1A12.CEL	悪性
151279HUEX1A11.CEL	悪性
151376HUEX1A11.CEL	悪性
151318HUEX1A11.CEL	悪性
151352HUEX1A11.CEL	悪性
151384HUEX1A11.CEL	悪性
151354HUEX1A11.CEL	悪性
151353HUEX1A11.CEL	悪性
151344HUEX1A11.CEL	悪性
151368HUEX1A11.CEL	悪性
151324HUEX1A11.CEL	悪性
151350HUEX1A11.CEL	悪性
151317HUEX1A11.CEL	悪性

【図1-3】

	悪性
151375HUEX1A11.CEL	悪性
151367HUEX1A11.CEL	正常
151311HUEX1A11.CEL	正常
151327HUEX1A11.CEL	正常
151298HUEX1A11.CEL	正常
151299HUEX1A11.CEL	正常
151310HUEX1A11.CEL	正常
151385HUEX1A11.CEL	正常
151349HUEX1A11.CEL	正常
151301HUEX1A11.CEL	正常
151351HUEX1A11.CEL	正常

【図2-1】

遺伝子	DE p値	FDR DE p値	悪性/良性 変化倍率	悪性/正常 変化倍率	良性/正常 変化倍率
MYOC	6.40E-13	9.53E-09	-1.06	-2.45	-2.32
GPC3	5.31E-12	3.96E-08	-1.08	-2.23	-2.07
PLA2R1	3.11E-11	9.27E-08	-1.93	-3.36	-1.74
LMOD1	5.16E-11	1.10E-07	-1.17	-1.92	-1.65
MYEF2	6.15E-11	1.14E-07	1.69	2.42	1.43
LXR1B	1.74E-09	2.60E-06	-1.93	-2.42	-1.25
MPPRD2	2.80E-09	3.47E-06	-2.05	-2.32	-1.13
GFM6A	3.32E-09	3.80E-06	-1.62	-2.87	-1.78
TBC1D4	8.68E-09	8.63E-06	-1.55	-2.01	-1.29
STK32A	9.74E-09	9.07E-06	2.54	3.26	1.29
KHDRBS2	1.12E-08	9.85E-06	-2.03	-2.63	-1.30
FN1	1.24E-08	1.02E-05	3.96	5.84	1.47
FLJ22655	1.28E-08	1.00E-05	-1.07	-1.86	-1.73
KIT	1.51E-08	1.12E-05	-1.88	-2.10	-1.12
MATN2	2.03E-08	1.26E-05	-1.91	-3.12	-1.63
C9orf58	2.19E-08	1.31E-05	-1.29	-1.90	-1.47
ChGn	2.56E-08	1.41E-05	-2.27	-2.99	-1.32
ANGPTL1	3.53E-08	1.88E-05	-1.44	-2.00	-1.39
FABP4	4.88E-08	2.42E-05	-3.31	-5.39	-1.63
SIPAI1L2	8.59E-08	4.13E-05	1.56	1.92	1.23
XPR1	9.26E-08	4.31E-05	1.53	2.09	1.36
TBX22	9.39E-08	4.24E-05	-1.61	-2.43	-1.51
P4HA2	1.03E-07	4.48E-05	1.69	2.10	1.25
TPO	1.45E-07	5.83E-05	-3.18	-4.29	-1.35
TSC22D1	1.61E-07	6.31E-05	1.89	1.37	-1.38
JUN	1.77E-07	6.59E-05	-1.63	-3.06	-1.85
DPT	1.83E-07	6.67E-05	-1.69	-4.76	-2.81
GALNT7	2.59E-07	8.40E-05	1.82	2.08	1.14
SLC26A4	2.80E-07	8.70E-05	-3.23	-4.27	-1.33
ADHB1	2.91E-07	8.84E-05	-1.36	-3.48	-2.56
NRCAM	4.32E-07	1.15E-04	1.80	3.16	1.76

【図2-2】

GABRB2	4.40E-07	1.15E-04	2.45	2.60	1.06
DPP6	5.04E-07	1.23E-04	-1.53	-2.45	-1.60
MAFB	6.56E-07	1.50E-04	-1.45	-1.87	-1.29
SDC4	6.85E-07	1.55E-04	2.13	1.95	-1.09
FOSB	1.03E-06	2.10E-04	-1.24	-1.93	-1.56
EPHA3	1.06E-06	2.13E-04	-1.20	-2.11	-1.75
AREGAP24	1.17E-06	2.27E-04	-1.76	-2.04	-1.16
C11orf74	1.39E-06	2.49E-04	-1.73	-2.50	-1.45
P116	1.90E-06	3.22E-04	-1.14	-2.08	-1.82
CP	1.94E-06	3.22E-04	-2.48	-3.28	-1.32
LRP2	2.03E-06	3.29E-04	-2.14	-2.07	1.03
LIPH	2.37E-06	3.64E-04	1.80	2.22	1.23
RAB23	2.72E-06	4.06E-04	-1.42	-2.17	-1.53
TUSC3	2.79E-06	4.11E-04	1.94	2.43	1.26
GLTRD2	3.34E-06	4.61E-04	-1.54	-3.07	-1.99
TRPC5	4.05E-06	5.29E-04	1.81	1.91	1.06
TNIK	4.10E-06	5.27E-04	1.34	1.99	1.48
SCEL	4.44E-06	5.56E-04	1.87	2.05	1.09
TNFRSF11B	4.54E-06	5.64E-04	-1.73	-2.41	-1.39
CAMK2N1	5.48E-06	6.48E-04	2.92	2.23	-1.31
LGAL53	5.85E-06	6.81E-04	1.95	1.81	-1.08
SCG5	6.09E-06	7.03E-04	3.16	2.81	-1.13
DPP4	6.98E-06	7.70E-04	2.55	3.30	1.29
OGN	6.99E-06	7.65E-04	-1.21	-2.05	-1.69
PGCP	7.53E-06	8.07E-04	-1.47	-1.99	-1.35
NRIP1	7.92E-06	8.37E-04	1.73	1.86	1.08
SDC2	9.39E-06	9.39E-04	-1.67	-2.64	-1.38
CD36	1.08E-05	1.04E-03	-2.03	-1.95	1.04
CKABP1	1.14E-05	1.09E-03	-2.65	-6.83	-2.58
EPMP1	1.17E-05	1.10E-03	-1.56	-2.43	-1.56
MPAP4	1.30E-05	1.18E-03	-1.05	-1.91	-1.81
ITGA2	1.36E-05	1.23E-03	1.73	2.20	1.27
DUSP1	1.56E-05	1.36E-03	-1.33	-2.28	-1.72

【図2-3】

EGRJ	1.78E-05	1.51E-03	-1.30	-2.55	-1.97
EGR2	2.03E-05	1.66E-03	-1.75	-3.38	-1.93
SORBS2	2.15E-05	1.69E-03	-1.67	-2.08	-1.23
MBT	2.21E-05	1.72E-03	2.09	2.32	1.11
CLDN16	2.27E-05	1.74E-03	2.48	3.55	1.44
PSD3	2.76E-05	2.02E-03	1.76	2.13	1.21
RABL3	3.17E-05	2.21E-03	-1.97	-1.94	1.02
APOD	3.17E-05	2.20E-03	1.05	-3.54	-3.70
PCOLCE2	3.74E-05	2.52E-03	-1.32	-2.76	-2.10
ITM2A	3.89E-05	2.57E-03	-1.56	-1.99	-1.28
BTVS	3.91E-05	2.56E-03	1.56	1.96	1.26
PROS1	4.50E-05	2.79E-03	1.64	1.95	1.19
HBB	4.52E-05	2.79E-03	-1.65	-5.19	-3.15
CYB61	4.63E-05	2.83E-03	-1.92	-2.58	-1.35
NFE2L3	4.65E-05	2.83E-03	1.44	2.01	1.39
POS	4.74E-05	2.86E-03	-1.28	-2.11	-1.65
DLG2	5.87E-05	3.32E-03	-1.44	-2.02	-1.40
PKHD1L1	5.91E-05	3.31E-03	-2.55	-3.84	-1.50
C9orf51	6.09E-05	3.39E-03	-1.81	-2.04	-1.12
AMIGO2	7.93E-05	4.21E-03	1.78	2.05	1.15
ALDH1A1	9.36E-05	4.74E-03	-1.81	-2.15	-1.19
PSD3	1.06E-04	5.13E-03	1.43	1.91	1.33
LFTR	1.10E-04	5.23E-03	-1.77	-2.34	-1.32
C7orf24	1.30E-04	5.88E-03	1.58	1.96	1.24
RAG2	1.37E-04	6.12E-03	-1.86	-1.55	1.20
S100A2	1.45E-04	6.41E-03	2.42	1.39	-1.74
WDR72	1.47E-04	6.43E-03	-1.92	-2.51	-1.31
MT1G	1.53E-04	6.55E-03	-2.49	-3.07	-1.23
ICN	1.56E-04	6.65E-03	-1.06	-5.24	-4.95
ZNP804B	1.62E-04	6.85E-03	-1.20	-2.21	-1.35
CTGF	1.64E-04	6.86E-03	-1.92	-2.83	-1.48
RHOBTB3	1.65E-04	6.90E-03	1.68	1.99	1.18
DNAJB4	1.65E-04	6.86E-03	-1.31	-2.13	-1.62

【図2-4】

SERPIN A1	1.65E-04	6.87E-03	2.89	3.08	1.07
QPCT	1.68E-04	6.90E-03	2.01	2.09	1.04
TMEM171	2.46E-04	9.30E-03	-1.51	-2.92	-1.93

【図3-1】

遺伝子	選択的 エキソン p値	選択的 エキソン FDR p値
TPO	0.00E+00	0.00E+00
DPP6	0.00E+00	0.00E+00
LRP1B	0.00E+00	0.00E+00
KIT	0.00E+00	0.00E+00
CD36	0.00E+00	0.00E+00
RHOBTB3	0.00E+00	0.00E+00
CTSB	0.00E+00	0.00E+00
SLC4A4	0.00E+00	0.00E+00
ANKS1B	0.00E+00	0.00E+00
MDM2	0.00E+00	0.00E+00
ABCA8	0.00E+00	0.00E+00
CDH6	0.00E+00	0.00E+00
CENPJ	0.00E+00	0.00E+00
ABCA1	0.00E+00	0.00E+00
DIO2	0.00E+00	0.00E+00
PCN2	0.00E+00	0.00E+00
SLC20A1	0.00E+00	0.00E+00
PBX1L20	0.00E+00	0.00E+00
PCNX	0.00E+00	0.00E+00
PGM2L1	0.00E+00	0.00E+00
RASGRP3	0.00E+00	0.00E+00
ZEB1	0.00E+00	0.00E+00
AAK1	0.00E+00	0.00E+00
ARAP1L2	0.00E+00	0.00E+00
C12orf63	0.00E+00	0.00E+00
DYXIC1	0.00E+00	0.00E+00
MFSD11	0.00E+00	0.00E+00
NUP93	0.00E+00	0.00E+00
ATP10D	0.00E+00	0.00E+00
C12orf4	0.00E+00	0.00E+00
EFTUD1	0.00E+00	0.00E+00

【図3-2】

遺伝子	DE p値	FDR DE p値	悪性／ 良性 変化倍率
GTF3C3	0.00E+00	0.00E+00	
H2AFY	0.00E+00	0.00E+00	
KLC1	0.00E+00	0.00E+00	
MGC29891	0.00E+00	0.00E+00	
SNAPC3	0.00E+00	0.00E+00	
VWF	0.00E+00	0.00E+00	
ZZEF1	0.00E+00	0.00E+00	
ACSS1	0.00E+00	0.00E+00	
BRUNOL6	0.00E+00	0.00E+00	
EYA2	0.00E+00	0.00E+00	
ITPR3	0.00E+00	0.00E+00	
ML13	0.00E+00	0.00E+00	
ORC2L	0.00E+00	0.00E+00	
PCTK1	0.00E+00	0.00E+00	
RBM33	0.00E+00	0.00E+00	
TNS1	0.00E+00	0.00E+00	
FAM120A	0.00E+00	0.00E+00	
FLJ10986	0.00E+00	0.00E+00	
CTSC	6.68E-302	9.13E-300	
SEJTD4	8.65E-300	1.16E-297	
UAPI	1.16E-293	1.52E-291	
ATP2C2	2.78E-292	3.60E-290	
PSMP1	4.83E-292	6.20E-290	
CNTN5	7.41E-292	9.44E-290	
LONRF2	3.58E-290	4.52E-288	
DGRH1	5.82E-245	7.16E-243	
NFYC	2.68E-284	3.28E-282	
FLJ20294	3.29E-284	3.98E-282	
ZFYVE21	1.52E-283	1.82E-281	
HECTD2	6.34E-282	7.56E-280	
WASF3	4.99E-276	5.81E-274	
KNTC1	8.88E-273	1.03E-270	
MPPE2	1.10E-265	1.24E-263	

【図3-3】

LRRC48	6.58E-260	7.32E-258
EP400	7.62E-255	8.23E-253
KCTD10	1.02E-244	1.04E-242
SUSD1	2.04E-238	2.05E-236
TNFAP8	3.89E-237	3.89E-235
FLJ10324	1.84E-235	1.80E-233
DIO1	1.11E-232	1.08E-230
ARHGPAP6	1.22E-231	1.18E-229
MYO1D	8.30E-229	7.93E-227
PER2	1.55E-228	1.47E-226
ANXA9	3.78E-228	3.56E-226
MYH14	1.26E-225	1.17E-223
LTPB2	8.02E-224	7.33E-222
AOX1	3.41E-219	3.04E-217
PAK3	9.65E-219	8.56E-217
CDK7	6.41E-218	5.62E-216
SLC39A9	6.37E-217	5.55E-215
SRF	3.30E-208	2.79E-206
LRRC50	2.08E-205	1.75E-203
FTII	2.32E-204	1.93E-202
DOPEY2	1.22E-203	1.01E-201
EGR2	7.02E-202	5.78E-200
ITGA2	8.74E-202	7.15E-200
FLJ21511	8.30E-200	6.72E-198
KHDRBS2	1.06E-194	8.28E-193
ABCC3	2.40E-191	1.85E-189
PCSK6	4.70E-190	3.55E-188
PDE6B	5.87E-190	4.42E-188
AUTS2	2.16E-183	1.58E-181
KIAA1324	2.64E-182	1.92E-180
ETV3	5.10E-182	3.69E-180
FOLE2	2.98E-179	2.13E-177
CPEB2	3.75E-178	2.67E-176

【図4-1】

遺伝子	DE p値	FDR DE p値	悪性／ 良性 変化倍率
SEMA3D	1.02E-08	3.23E-04	-11.18
PDILM4	4.57E-08	3.82E-04	3.51
LRP1B	7.45E-08	4.15E-04	-14.82
PLCD3	7.52E-08	4.15E-04	4.97
FN1	9.57E-08	4.15E-04	10.71
KIT	1.35E-07	4.43E-04	-4.73
SPOCK1	1.45E-07	4.43E-04	5.04
EPS8	1.57E-07	4.44E-04	3.17
STK32A	1.87E-07	4.61E-04	5.09
IHPK3	1.94E-07	4.72E-04	-3.06
TCID-2526806	2.08E-07	4.80E-04	2.86
MYER2	2.11E-07	4.80E-04	3.61
ARHGAP24	2.32E-07	4.89E-04	-2.84
MPPE2	3.43E-07	5.56E-04	-4.49
TGFA	3.59E-07	5.56E-04	4.13
KHDRBS2	4.99E-07	6.53E-04	-4.28
TPO	7.17E-07	7.72E-04	-5.28
LGALS3	7.18E-07	7.72E-04	3.77
SLC26A4	9.16E-07	8.86E-04	-4.26
GALE	9.62E-07	9.19E-04	3.46
GABRB2	1.18E-06	1.03E-03	10.65
KLHDIC8A	1.35E-06	1.10E-03	4.64
CDH3	1.72E-06	1.22E-03	6.67
GALNT7	1.75E-06	1.22E-03	3.78
CYSLT2	2.53E-06	1.56E-03	7.40
RAG1	3.49E-06	1.89E-03	-9.03
PSD3	4.08E-06	2.04E-03	4.19
FAPP4	4.18E-06	2.04E-03	-11.06
MATN2	4.23E-06	2.05E-03	-2.87

【図3-4】

PKHD1L1	3.58E-176	2.52E-174
CHRNND	5.54E-176	3.88E-174
ZW10	3.17E-175	2.21E-173

【図4-2】

TRPC5	4.54E-06	2.14E-03	3.77
LRP2	4.78E-05	2.17E-03	-4.40
MTIF	4.93E-06	2.20E-03	-5.00
CDH16	5.19E-06	2.28E-03	-2.86
ME1TL7B	6.09E-06	2.52E-03	3.20
SYTTS	7.23E-06	2.82E-03	3.10
CAMK2NI	7.45E-06	2.84E-03	3.82
LIPH	7.70E-06	2.90E-03	36.34
AGTR1	8.16E-06	2.99E-03	-3.41
P2RY13	8.47E-06	3.06E-03	3.39
SLC26A7	9.12E-06	3.22E-03	-3.43
LRRC7	9.97E-06	3.38E-03	-2.91
SPINK3	1.06E-05	3.53E-03	-4.56
TMEM166	1.34E-05	4.04E-03	6.87
SCG5	1.46E-05	4.27E-03	5.53
NPC2	1.52E-05	4.37E-03	2.78
CD36	1.55E-05	4.41E-03	-4.41
RAG2	1.61E-05	4.49E-03	-13.38
COL9A3	1.64E-05	4.55E-03	-6.08
ELMO1	1.97E-05	5.17E-03	-2.92
PLA2R1	2.03E-05	5.26E-03	-4.85
7AS	2.04E-05	5.28E-03	3.11
MRO	2.17E-05	5.45E-03	-3.35
DGKI	2.45E-05	5.93E-03	-3.38
TUSC3	2.58E-05	6.13E-03	4.30
TFP3	2.65E-05	6.21E-03	-5.45
TNFRSF10C	2.78E-05	6.38E-03	2.85
PRCS1	2.80E-05	6.40E-03	2.72
TCD-3430620	2.91E-05	6.55E-03	-3.96
ITGA2	3.09E-05	6.80E-03	3.42
GPM6A	3.10E-05	6.80E-03	-3.86
CDON	3.28E-05	7.05E-03	-2.73

【図4-3】

ARNTL	3.49E-05	7.36E-03	2.84
GDF15	3.58E-05	7.49E-03	6.64
NRCAM	3.77E-05	7.75E-03	4.02
GSTM3	3.87E-05	7.90E-03	-2.71
ADAMTS9	3.89E-05	7.91E-03	2.85
MED12L	4.20E-05	8.33E-03	2.81
LNRP2	4.29E-05	8.45E-03	3.73
DNASE1L3	4.35E-05	8.54E-03	-3.08
TIPARP	4.53E-05	8.72E-03	2.76
DPP6	4.56E-05	8.73E-03	-3.90
DPP4	4.70E-05	8.89E-03	12.09
TMEM100	4.71E-05	8.90E-03	4.37
RYR2	4.75E-05	8.93E-03	-3.76
CLDN1	4.76E-05	8.93E-03	7.83
RXRG	4.80E-05	8.97E-03	3.09
QPCT	4.82E-05	9.00E-03	3.46
SAMD4A	5.00E-05	9.21E-03	2.80
PKHD1L1	5.21E-05	9.49E-03	-7.12
MET	5.26E-05	9.55E-03	3.10
FAM114A1	5.30E-05	9.60E-03	2.79
SCEL	5.53E-05	9.85E-03	11.17
SLA	1.22E-04	1.58E-02	-2.99
RIM52	2.01E-04	2.13E-02	2.97
KIAA0408	2.44E-04	2.38E-02	2.75
IL1RAP	2.50E-04	2.42E-02	2.74
SCNN1A	2.72E-04	2.51E-02	2.98
LIPR	3.13E-04	2.74E-02	-2.96
FAM20A	4.06E-04	3.18E-02	2.98
PHF16	6.01E-04	4.00E-02	2.75
SLC5A8	6.35E-04	4.14E-02	-2.98
ODZ1	6.43E-04	4.16E-02	2.97
DLG2	7.11E-04	4.40E-02	-2.74
TBX22	7.82E-04	4.63E-02	-2.73

【図4-4】

LAMB3	9.79E-04	5.30E-02	3.00
AQP4	1.16E-03	5.85E-02	-2.76
SLPI	1.22E-03	6.05E-02	2.93
COL13A1	1.34E-03	6.37E-02	2.97
SULF1	2.33E-03	8.77E-02	2.96
CYP1B1	2.65E-03	9.43E-02	2.99

【図5-1】

遺伝子	DE FDR p値	選択的 エキソン FDR p値	悪性／ 良性	悪性／ 正常 変化倍率	良性／ 正常 変化倍率
PLA2R1	9.27E-08	1.03E-54	-1.93	-3.36	-1.74
MYEP2	1.14E-07	9.58E-27	1.69	2.42	1.43
LRP1B	2.60E-06	6.00E+00	-1.93	-2.42	-1.25
MPPE02	3.47E-06	1.24E-263	-2.05	-2.32	-1.13
KHDRB82	9.85E-06	8.28E-193	-2.03	-2.63	-1.30
FN1	1.02E-05	7.02E-127	3.96	5.84	1.47
SPATS2	1.10E-05	2.79E-04	1.13	1.56	1.38
KIT	1.12E-05	6.00E+00	-1.88	-2.10	-1.12
MATN2	1.26E-05	1.21E-21	-1.91	-3.12	-1.63
C9orf58	1.31E-05	3.87E-16	-1.29	-1.90	-1.47
ChGn	1.41E-05	5.54E-23	-2.27	-2.99	-1.32
ANGPTL1	1.88E-05	4.11E-32	-1.44	-2.00	-1.39
FABP4	2.42E-05	6.34E-105	-3.31	-5.39	-1.63
XKR1	4.31E-05	9.06E-05	1.53	2.09	1.36
TPO	5.83E-05	6.00E+00	-3.18	-4.29	-1.35
C10orf79	5.94E-05	5.75E-43	-1.19	-1.68	-1.42
TSC22D1	6.31E-05	6.19E-11	1.89	1.37	1.38
GALNT1	8.40E-05	5.15E-10	1.82	2.08	1.14
SLC26A4	8.70E-05	2.69E-05	-3.22	-4.27	-1.33
CYSLT2	1.08E-04	3.75E-27	1.75	1.67	-1.05
GABRB2	1.15E-04	1.80E-56	2.45	2.60	1.06
NRCAM	1.15E-04	3.42E-17	1.80	3.16	1.76
ADH1C	1.16E-04	3.48E-18	-1.12	-1.60	-1.43
DPP6	1.23E-04	6.00E+00	-1.33	-2.45	-1.60
LNG02	1.50E-04	3.74E-170	-1.32	-1.77	-1.34
SDC4	1.55E-04	8.65E-48	2.13	1.95	-1.09
ZFPMP2	1.55E-04	5.60E-04	-1.17	-1.71	-1.46
ARRHGAP24	2.27E-04	5.27E-18	-1.76	-2.04	-1.16
ARMCX3	2.28E-04	5.35E-03	1.50	1.68	1.12

【図5-2】

RUNX1T1	2.38E-04	1.58E-116	-1.18	-1.56	-1.32
C11orf74	2.49E-04	6.94E-07	-1.73	-2.50	-1.45
LRP2	3.29E-04	2.10E-93	-2.14	-2.07	1.03
NPC2	3.64E-04	5.21E-19	1.39	1.61	1.16
PLSCR4	3.69E-04	6.94E-12	-1.31	-1.77	-1.35
STK32A	4.12E-04	3.12E-12	2.11		
TNFR	5.27E-04	2.62E-35	1.34	1.99	1.48
ANKRD57	5.34E-04	2.62E-93	-1.27	-1.61	-1.27
SCG5	7.03E-04	1.47E-03	3.16	2.81	-1.13
TBC1D4	7.08E-04	1.51E-16	-1.61		
DPP4	7.70E-04	3.02E-138	2.55	3.30	1.29
ELMO1	8.04E-04	7.58E-08	-1.75	-1.75	1.00
PGCP	8.07E-04	9.61E-03	-1.47	-1.99	-1.35
SDC2	9.39E-04	1.03E-10	-1.67	-2.64	-1.58
FAM20A	9.45E-04	1.44E-127	1.29	1.61	1.25
METTL7B	9.70E-04	2.26E-13	1.58	1.65	1.05
MAP2	9.94E-04	5.51E-08	1.30	1.58	1.05
CD36	1.04E-03	6.00E+00	-2.03	-1.95	1.04
CRABP1	1.09E-03	1.16E-10	-2.65	-6.83	-2.58
EFEEMP1	1.10E-03	4.91E-04	-1.56	-2.43	-1.56
DCBLD2	1.11E-03	1.08E-06	1.59	1.68	1.05
FLRT2	1.14E-03	1.66E-128	-1.13	-1.61	-1.43
ITGA2	1.23E-03	7.15E-200	1.73	2.20	1.27
EGR1	1.51E-03	5.74E-13	-1.30	-2.55	-1.97
ASC3	1.66E-03	4.30E-04	1.21	1.64	1.35
BGR2	1.66E-03	5.78E-200	-1.75	-3.38	-1.93
MET	1.72E-03	4.65E-09	2.09	2.32	1.11
CLDN16	1.74E-03	1.27E-19	2.48	3.55	1.44
HMGAA2	1.82E-03	1.78E-11	1.47	1.79	1.21
CENPJ	2.13E-03	6.00E+00	-1.44	-1.60	-1.12
OPRM12	2.17E-03	1.04E-11	-1.43	-1.67	-1.17
KANL3	2.21E-03	2.31E-21	-1.97	-1.94	1.02
CD63	2.42E-03	7.85E-04	1.40	1.60	1.14

【 図 5 - 3 】

P4HA2	2.49E-03	3.08E-13	1.71		
ETV5	2.56E-03	3.69E-180	1.56	1.96	1.26
ITM2A	2.57E-03	3.01E-07	-1.56	-1.99	-1.28
C5orf52	2.578E-03	3.76E-08	1.30	1.83	1.40
7A5	2.62E-03	5.07E-17	1.61		
ANKS1B	2.71E-03	0.008E+00	-1.31	-1.68	-1.29
THRAP1	2.72E-03	1.06E-05	1.34	1.59	1.18
PROS1	2.79E-03	2.25E-15	1.64	1.95	1.19
NFE2L3	2.83E-03	2.91E-06	1.44	2.01	1.39
CYR61	2.83E-03	2.07E-07	-1.92	-2.58	-1.35
ER01LB	2.99E-03	2.24E-03	-1.61		
ACO1	3.03E-03	3.40E-10	1.32	1.73	1.31
PKHD1L1	3.31E-03	2.52E-174	-2.55	-3.84	-1.50
DLG2	3.32E-03	2.35E-85	-1.44	-2.02	-1.40
C9orf161	3.39E-03	5.60E-08	-1.81	-2.04	-1.12
DEPDPC6	4.09E-03	9.94E-11	-1.53	-1.69	-1.10
LRRK7	4.12E-03	7.23E-155	-1.48	-1.73	-1.17
MLLT3	4.64E-03	4.64E-03	-1.41	-1.71	-1.21
TUSC3	4.69E-03	1.31E-11	1.91		
ALDH1A1	4.74E-03	4.61E-08	-1.81	-2.15	-1.19
FBLN5	4.82E-03	3.18E-09	-1.26	-1.72	-1.37
SLA	4.90E-03	4.03E-03	-1.93	-1.60	1.21
LONRF2	4.97E-03	4.52E-288	1.85	1.49	-1.24
PSD3	5.13E-03	6.97E-19	1.43	1.91	1.33
LIFR	5.23E-03	2.95E-17	-1.77	-2.34	-1.32
C7orf24	5.88E-03	4.91E-05	1.58	1.96	1.24
S100A2	6.41E-03	3.25E-115	2.42	1.39	-1.74
WDR72	6.43E-03	1.50E-16	-1.92	-2.51	-1.31
MT1G	6.55E-03	1.96E-05	-2.49	-3.07	-1.23
LONRF2	6.60E-03	9.73E-05	1.91		
SLC4A4	6.73E-03	0.00E+00	-1.72	-1.76	-1.03
MT1H	6.86E-03	8.57E-09	-1.58	-1.83	-1.16
DNAJB4	6.86E-03	1.92E-04	-1.31	-2.13	-1.62

【図 6 - 1】

TCID	遠伝子_na26	TCID	遠伝子_na20	TCID	遠伝子_na26
2375624	2337524	3914766	A8CC13	2501697	ACTR3
2357193	2357193	3260447	A8CC2	2679801	ACTR8
2383607	2383607	3726961	A8CC3	2582562	ACVR1
2406391	2406391	3449619	A8CC9	3451458	ACVR1B
2472860	2472860	3450651	A8CD2	2500657	ACVR2A
2489140	2489140	2777278	A8CG2	3451019	ACVR1L
2494151	2494151	2550755	A8CG5	2623441	ACY1
2506893	2506893	2474266	ABHD1	3572623	ACYP1
2641232	2841232	3635303	ABHD12B	3702382	ADAD2
2649710	2649710	36071447	ABHD12B	35111832	ADAM12
2652255	2652255	25252699	ABIZ	2524147	ADAM17
2682017	2682017	3264489P	ABIZ	3041482	ADAM22
2904867	2904867	33070399	ABIM1	3227446	ADAMTS1
2908402	2908402	3716062	ABRI	3641833	ADAMTS17
3092561	3092561	3268640	ABTB2	3700158	ADAMTS18
3107603	3107603	3754469	ACACA	2889016	ADAMTS2
3139557	3139557	3430699	ACACB	3872740	ADAMTS5
3163400	3153400	3432030	ACAD10	2859801	ADAMTS6
3184926	3184926	26965648	ACAD11	2680046	ADAMTS9
3253452	3253452	26141341	ACAD9	2677471	ADAT2
3321960	3321960	29797347	ACADL	2800711	ADCY2
3386455	3386455	37038306	ACADVL	3565168	ADCY4
3511518	3511156	2712040	ACAP2	3463252	ADCY6
3819197	3819197	3723517	ACBD4	3153718	ADCY8
3749600	3749600	3276068	ACBD7	3776080	ADCYAP1
3777770	3777770	3532069	ACCSL	2559738	ADD2
3881010	3881010	3736001	ACE	3263655	ADDS
3889116	3889116	3460455	ACER2	2776191	ADH1A
3895675	3895675	3164314	ACER2	2776231	ADH1A
3895839	3895839	3526904	ACIN1	2776199	ADH1A
3899445	3899445	2628306	ACIN1	2776271	ADH1B
3443346	A2M	3757433	ACLY	2776231	ADH1B
3526150	AAK1	3013962	ACN9	2776198	ADH1B
3867010	AARS	3169477	ACO1	2776221	ADH1C
3907163	AA56	23844626	ACOT7	2778231	ADH1C
3719382	AAFT	4002741	ACOT19	2776124	ADH4
3218528	ABC A1	3771215	ACOX1	2387711	ADH6
2756309	ABC A10	27564857	ACOX3	2779095	ADH5
3778880	ABC A10	2646387	ACPL2	2779163	ADH6
2756309	ABC A1P	3861164	ACRC	3262170	ADK
3768860	ABC A1P	3803199	ACSBG1	3320123	ADM
3769669	ABC A5	3726408	ACSF2	3248482	ADM
3781163	ABC A5	2785353	ACSL1	2376593	ADORA1
3785641	ABC A5	4017818	ACSL4	3265091	ADORA1
3786327	ABC A5	383454	ACSM5	32111689	ADORA2B
3786327	ABC A9	3901698	ACSS1	2770781	ADORA3
3786327	ABC A9	3424218	ACSS3	3265047	ADRB1
3806017	ABC B1	24564937	ACTA1	4049835	ADRB3
3806182	ABC B1	32069504	ACTA2	39403611	ADRB2
3459824	ABC B10	3586814	ACTN1	2484353	ADSS
3806117	ABC B4	23868943	ACTN2	3607252	AEN
2669093	ABC B6	3861603	ACTN4	2834957	AFAP1L1
4012046	ABC B7	3632643	ACTN4	3307851	AFAP1L2
3690470	ABC C11	3304406	ACTR1A	2399743	AFAP1P1

【図5-4】

CTGF	6.86E-03	1.42E-11	-1.92	-2.83	-1.48
SERPIN A1	6.87E-03	3.07E-04	2.89	3.08	1.07
RHOBTB3	6.90E-03	0.00E+00	1.68	1.99	1.18
QPCT	6.90E-03	5.26E-07	2.01	2.09	1.04
TMEM171	9.30E-03	7.78E-04	-1.51	-2.92	-1.93

〔 図 6 - 3 〕

TCID	伝送元_ns29	TCID	伝送元_ns29	TCID	伝送元_ns29
2601287	AP1S1	2734421	ARHGAP24	3191074	ASB8
3718682	AP2B1	2833286	ARHGAP26	2096636	ASC3C
2655476	AP2M1	3777263	ARHGAP28	3429008	ASCL1
2887370	AP3B1	2424929	ARHGAP29	3743731	ASGR1
3636216	AP3B2	3831479	ARHGAP5	2437417	ASHL1
2365032	AP3M1	3995658	ARHGAP6	3094447	ASHL2
3006007	AP3M2	3846229	ARHGAP7	3986597	ASMT
2454518	AP3S1	3445766	ARHGDI8	3137630	ASPH
3838685	AP3S2	3842747	ARHGDI9	3214845	ASPN
2428855	AP4B1	3352503	ARHGEF12	2695205	ASTE1
3703770	AP4E1	2437601	ARHGEF2	3681874	ASXL1
2706893	APB2	2977723	ARHGEF3	2544925	ASXL2
2824168	APC	30654	ARHGEF4	3095998	ATAD1
222108	APEH	306448	ARHGEF5	3151634	ATAD2
2434341	APH1A	2009449	ARHGEFL	3718932	ATAD5
3567524	APH1B	3501061	ARHGEF7	3310413	ATE1
3389249	APIP	3637744	ARID4A	2589066	ATF2
2486851	APLFL	2461766	ARID4B	2378132	ATF3
3356115	APLFL2	3800744	ARIH1	2498622	ATF6B
3613684	APOA1BP	2621827	ARIH2	3647027	ATF7IP2
3494572	APOBEC3C	2842530	ARL10	2818212	ATG10
3464651	APOBEC3F	2823463	ARL13B	3769779	ATG12
3494561	APOBEC3G	5767169	ARL17P1	3576278	ATG2B
3635691	APOC1	3337463	ARL2	2396611	ATG4C
4054204	APOD	3304475	ARL3	2526769	ATIC
2931391	ARL4A	2990484	ARL4A	2548776	ATL2
3944404	ARL4B	2724853	ARL4A	3347888	ATM
3956180	ARL5	5693033	ARLB1P1	3390143	ATM
3625263	ARL6M	2642362	ARLB1P5	3072633	ATRN
4002809	ARPOO	2451139	ARLB4	2072672	ATP16D
3883105	ARPOOL	2808765	ARLB8	2864855	ATP1B1B
2839224	ARPOQ1	9017080	ARMC10	2711215	ATP1B34
2265608	APR1	3237072	ARMC3	2711205	ATP1B34A
3493931	APR1L2	2644461	ARMC8	2353477	ATP1A1
3203311	APTX	2531779	ARMC9	2646754	ATP1B3
3823906	APQ4	3884845	ARMCX3	3431483	ATP2A2
3656594	AQPF9	4015838	ARMCX6	3464983	ATP2B1
3171775	AQR	3321150	ARNTL	2375706	ATP2B4
3381241	ARAP1	3406127	ARNTL2	2642326	ATP2C1
3716424	ARAP2	3471198	ARPC9	2665295	ATP2C1
4035370	ARF3	3188993	ARPC5L	3671727	ATP2C2
3926587	ARFGAP3	2610596	ARPBP21	2351617	ATP6F1
301035	ARFGEF1	2986074	ARRDC3	2714200	ATP6I
340305	ARFGEF2	37684	ARSG	3818678	ATPS5
2747893	ARFIP2	275624	ATR3	3353725	ATPS5
2265541	ARG1	2919226	ATR3	3071491	ATP6AP1
3524618	ARG1L1	3445273	ATRT4	3105749	ATP6VO2D
4746603	ARHGA10	3359881	ART5	2841754	ATP6VOE1
2580511	ARHGA11	3261213	AS3MT	2838589	ATP6VIA1
2973860	ARHGA12	3385484	ASAM	3068544	ATP6V1B2
3321817	ARHGA19	3136428	ABAP1	2469520	ATP6V1C2
3380641	ARHGA20	2468611	ASAP2	2064938	ATP6V1G2
2832920	ARHGA21	2556322	ASB3	3884243	ATPTA

【図 6 - 4】

TCID	遺伝子 na29
267378	ATP8A1
3462274	ATP8A2
3609826	ATP8B1
3717492	ATP8B2
3517220	ATP8C1
2568844	ATR
3674313	ATRN
4013224	ATRX
3648764	ATXN10
3471688	ATXN2
3576889	ATXN3
2673790	ATXN7
3454147	BCLDN3D
2456849	AURKA
2456849	AURKAP51
3006572	AUTS2
2996033	AVLB
3459722	AVPR1A
3520488	AVPR1B
2690275	BCL2L11
3854471	BCL2L12
3520707	BCL2L13
3107691	AZIN1
2386418	B3GALT1NT2
2449401	B3GALT2
3376935	B3GALT3
3824596	B3GNT3
3475511	B3GNT4
3418384	B3GALT1
3402028	B4GALT1NT3
2440684	B4GALT3
3006863	B4GALT5
3803120	B4GALT6
3102117	BAAIC
3363225	BACE1
3623930	BACE2
3691120	BAG1
2911372	BAG2
2257314	BAG3
3064494	BAG4
3024929	BAGE
3924929	BAGE2
3924929	BAGE3
3924929	BAGE4
3924929	BAGE5
3589047	BAHD1
2912418	BAI3
3737067	BAAP2
3240462	BAIB1
2735232	BAIK1
2924038	BAT1
2367154	BAT2D1
2949256	BAT5
3038067	BAX
3597011	BAZ1A
3056044	BAZ1B
3457947	BAZ2A

TCID	遺伝子 na29
2653042	BAX2B
3324453	BBXO1
3600960	BBS4
3716691	BBS9
2854065	BBX
3693777	BCAM
3018535	BCAP29
2538625	BCK
3083050	BCAP31
2593638	BOLA2
3728689	BCAS3
3111775	BCCP1
3732448	BPTF
2877257	BR08
3454147	BCLDN3D
2420608	BCL10
2564975	BCL11A
3111339	BCL2
3267678	BRWD2
4013740	BRWD3
3020488	BCL2L1
3333685	BCL2L2
3854471	BST2
3605700	BST3
3526545	BTBD10
3386737	BCL7B
3430462	BTBD11
3556818	BC19
3564592	BTBD6
3348940	BCO2
2811527	BDP1
2962497	BTBD9
3758167	BECN1
2211709	BECN1
3556771	BTF3
2375684	BTG2
3026070	BTG3
3842455	BTAR
2899372	BTNA31
3899111	BTSP1
2608725	BHLHE40
2899372	BTNA32
3899298	BTNA33
3440084	BHLHE41
2871291	BIM
2817571	BIN1
3551027	BID
3348548	BIRC3
3721857	BIRC6
3104742	BUD31
3763289	B2RAPI
2690012	B2W1
2522498	B2W1
3608265	BLM
3751030	BLMH
3301713	BLNK
3267776	C1orf10
3279069	BLDC152
3303362	BLDC153
3070795	C1orf111
3507795	C1orf116
3209765	C1orf119
3259067	C1orf129
3289215	C1orf131
2747457	B4P2K
3170372	C1orf140
3691853	C1orf141
2988034	C1orf142
3218931	C1orf143
2950217	C1orf147
3284911	C1orf154
2051057	C1orf161
3224544	C1orf162
2841972	C1orf165
2954313	C1orf166
2927907	C1orf115
2980304	C1orf120
2927273	C1orf167
2901841	C1orf134
2526562	C1orf168
2488274	C1orf177
2498274	C1orf140
2477372	C1orf56
2594313	C1orf59
2686383	C1orf84
2560317	C1orf185
2597273	C1orf167
2950217	C1orf138
2906772	C1orf141
2980774	C1orf147
3185618	C1orf43
30937304	C1orf51
2913037	C1orf165
3170372	C1orf149
3167884	C1orf131
3195038	C1orf156
2988081	C1orf120
3182529	C1orf159
3218931	C1orf158
3232930	C1orf31
3213847	C1orf33
3186518	C1orf43
30937304	C1orf51
2913037	C1orf165
3170372	C1orf149
3167884	C1orf131
3195038	C1orf156
2988081	C1orf120
3218931	C1orf158
3232930	C1orf31
3213847	C1orf33
3186518	C1orf43
30937304	C1orf51
2913037	C1orf165
3170372	C1orf149
3167884	C1orf131
3195038	C1orf156
2988081	C1orf120
3218931	C1orf158
3232930	C1orf31
3213847	C1orf33
3186518	C1orf43
30937304	C1orf51
2913037	C1orf165
3170372	C1orf149
3167884	C1orf131
3195038	C1orf156
2988081	C1orf120
3218931	C1orf158
3232930	C1orf31
3213847	C1orf33
3186518	C1orf43
30937304	C1orf51
2913037	C1orf165
3170372	C1orf149
3167884	C1orf131
3195038	C1orf156
2988081	C1orf120
3218931	C1orf158
3232930	C1orf31
3213847	C1orf33
3186518	C1orf43
30937304	C1orf51
2913037	C1orf165
3170372	C1orf149
3167884	C1orf131
3195038	C1orf156
2988081	C1orf120
3218931	C1orf158
3232930	C1orf31
3213847	C1orf33
3186518	C1orf43
30937304	C1orf51
2913037	C1orf165
3170372	C1orf149
3167884	C1orf131
3195038	C1orf156
2988081	C1orf120
3218931	C1orf158
3232930	C1orf31
3213847	C1orf33
3186518	C1orf43
30937304	C1orf51
2913037	C1orf165
3170372	C1orf149
3167884	C1orf131
3195038	C1orf156
2988081	C1orf120
3218931	C1orf158
3232930	C1orf31
3213847	C1orf33
3186518	C1orf43
30937304	C1orf51
2913037	C1orf165
3170372	C1orf149
3167884	C1orf131
3195038	C1orf156
2988081	C1orf120
3218931	C1orf158
3232930	C1orf31
3213847	C1orf33
3186518	C1orf43
30937304	C1orf51
2913037	C1orf165
3170372	C1orf149
3167884	C1orf131
3195038	C1orf156
2988081	C1orf120
3218931	C1orf158
3232930	C1orf31
3213847	C1orf33
3186518	C1orf43
30937304	C1orf51
2913037	C1orf165
3170372	C1orf149
3167884	C1orf131
3195038	C1orf156
2988081	C1orf120
3218931	C1orf158
3232930	C1orf31
3213847	C1orf33
3186518	C1orf43
30937304	C1orf51
2913037	C1orf165
3170372	C1orf149
3167884	C1orf131
3195038	C1orf156
2988081	C1orf120
3218931	C1orf158
3232930	C1orf31
3213847	C1orf33
3186518	C1orf43
30937304	C1orf51
2913037	C1orf165
3170372	C1orf149
3167884	C1orf131
3195038	C1orf156
2988081	C1orf120
3218931	C1orf158
3232930	C1orf31
3213847	C1orf33
3186518	C1orf43
30937304	C1orf51
2913037	C1orf165
3170372	C1orf149
3167884	C1orf131
3195038	C1orf156
2988081	C1orf120
3218931	C1orf158
3232930	C1orf31
3213847	C1orf33
3186518	C1orf43
30937304	C1orf51
2913037	C1orf165
3170372	C1orf149
3167884	C1orf131
3195038	C1orf156
2988081	C1orf120
3218931	C1orf158
3232930	C1orf31
3213847	C1orf33
3186518	C1orf43
30937304	C1orf51
2913037	C1orf165
3170372	C1orf149
3167884	C1orf131
3195038	C1orf156
2988081	C1orf120
3218931	C1orf158
3232930	C1orf31
3213847	C1orf33
3186518	C1orf43
30937304	C1orf51
2913037	C1orf165
3170372	C1orf149
3167884	C1orf131
3195038	C1orf156
2988081	C1orf120
3218931	C1orf158
3232930	C1orf31
3213847	C1orf33
3186518	C1orf43
30937304	C1orf51
2913037	C1orf165
3170372	C1orf149
3167884	C1orf131
3195038	C1orf156
2988081	C1orf120
3218931	C1orf158
3232930	C1orf31
3213847	C1orf33
3186518	C1orf43
30937304	C1orf51
2913037	C1orf165
3170372	C1orf149
3167884	C1orf131
3195038	C1orf156
2988081	C1orf120
3218931	C1orf158
3232930	C1orf31
3213847	C1orf33
3186518	C1orf43
30937304	C1orf51
2913037	C1orf165
3170372	C1orf149
3167884	C1orf131
3195038	C1orf156
2988081	C1orf120
3218931	C1orf158
3232930	C1orf31
3213847	C1orf33
3186518	C1orf43
30937304	C1orf51
2913037	C1orf165
3170372	C1orf149
3167884	C1orf131
3195038	C1orf156
2988081	C1orf120
3218931	C1orf158
3232930	C1orf31
3213847	C1orf33
3186518	C1orf43
30937304	C1orf51
2913037	C1orf165
3170372	C1orf149
3167884	C1orf131
3195038	C1orf156
2988081	C1orf120
3218931	C1orf158
3232930	C1orf31
3213847	C1orf33
3186518	C1orf43
30937304	C1orf51
2913037	C1orf165
3170372	C1orf149
3167884	C1orf131
3195038	C1orf156
2988081	C1orf120
3218931	C1orf158
3232930	C1orf31
3213847	C1orf33
3186518	C1orf43
30937304	C1orf51
2913037	C1orf165
3170372	C1orf149
3167884	C1orf131
3195038	C1orf156
2988081	C1orf120
3218931	C1orf158
3232930	C1orf31
3213847	C1orf33
3186518	C1orf43
30937304	C1orf51
2913037	C1orf165
3170372	C1orf149
3167884	C1orf131
3195038	C1orf156
2988081	C1orf120
3218931	C1orf158
3232930	C1orf31
3213847	C1orf33
3186518	C1orf43
30937304	C1orf51
2913037	C1orf165
3170372	C1orf149
3167884	C1orf131
3195038	C1orf156
2988081	C1orf120
3218931	C1orf158
3232930	C1orf31
3213847	C1orf33
3186518	C1orf43
30937304	C1orf51
2913037	C1orf165
3170372	C1orf149
3167884	C1orf131
3195038	C1orf156
2988081	C1orf120
3218931	C1orf158
3232930	C1orf31
3213847	C1orf3

【 図 6 - 8 】

CDID	進出日	na20
2217427	OD49	
2687739	CD47	
2440354	CD48	
3332729	CD5	
2284643	CD52	
251672	CD52	
277229	CD55	
3388707	CD59	
3457160	CD68	
3443868	CD69	
2851370	CD74	
3364052	CD79A	
3402315	CD8	
3402316	CD8	
3282567	CD9	
3498638	CD99	
3489350	CDAC1	
3253461	CDC123	
2248898	CDC14A	
3650164	CDC16	
2870472	CDC20B	
3221543	CDC28	
3706826	CDC27	
2098467	CDC2L6	
2921086	CDC40	
2324834	CDC42	
3119339	CDC42	
2468012	CDC42/BPA	
3556168	CDC42P1	
3402874	CDC42P2	
3770029	CDC42P4	
2454778	CDC42SE1	
372096	CDC8	
2346396	CDCT	
2372067	CDCT3	
3402874	CDCA3	
2992243	CDCA7L	
3040697	CDCA7L	
2871728	CDCP1	
3684887	CDH11	
3671202	CDH13	
3665151	CDH18	
3811948	CDH19	
3671202	CDH20	
3251068	CDH23	
3663396	CDH3	
2280578	CDH8	
3417448	CDK2	
3476087	CDK2AP1	
3458783	CDK3	
3223425	CDK5RAP2	
2813461	CDK7	
3482488	CDK8	
3658661	CDKL1	

TCID	選送名_n029
2773719	COK1A
2905169	COK1A
3210488	COK4B
3871690	COD1
3396770	CDON
4024373	CDR1
3884762	CDR2
3724720	CDST
3883699	CEACAM1
3832457	CEACAM2
3834379	CEACAM5
3834341	CEACAM6
3834379	CEACAM6
3232181	CEA
3232182	CEA
2129989	CEBNP
2771654	CEPC1
7660172	CEPNE
3056937	CEPNU
2859887	CEPNPK
4444461	CENPL
3187577	CEP110
2463084	CEP170
2463084	CEP170L
3779817	CEP182
3484022	CEP290
3298943	CEP350
3298944	CEP95
3298945	CEP97
3298946	CEP97
2519272	CEPRK
3062701	CES1
3864082	CES2
3862701	CES4
3965049	CES6
4026263	CETN2
3862417	CETP
2002844	CFB
2373336	CFH
2373408	CFH
2373336	CFHR1
2373406	CFHR3
2373408	CFHR4
2373408	CFH
2428216	CFIAR
3056586	CGD30
3867573	CGE8
3867573	CGB2
3867573	CGB8
3867573	CGB7
3867573	COB8
3505315	CGLN1
3817501	CHAF1A

3329003	CHAF03	1929
4381159	CHCHD2	
3069089	CHCHD7	
2356771	CHD1	
3690138	CHD2	
3709244	CHD3	
3442054	CHD4	
3306180	CHD6	
3660658	CHD9	
2767654	CHD9	
3354769	CHEK1	
3479438	CHFR	
3549062	CHGA	
3871779	CHGB	
2451001	CHGD1	
3863828	CHHD1	
2607698	CHL1	
4098541	CHMP5	
2564835	CHN2	
3915562	CHODL	
3486800	CHPT1	
3428671	CHPT1	
4016030	CHRD1	1
3615791	CHRFAM7A	
3359807	CHRNA10	
3120026	CHRNAA2	
3913775	CHRNAA4	
3603438	CHRNAS	
3151791	CHRNAT1	
3076550	CHRNAT1	
2632378	CHRNQ	
3742651	CHRNRE	
2532308	CHRNQ	
5607242	CHST10	
4661615	CHST2	
3802416	CHST9	
2494447	CIAO1	
3325677	CIDEB	
3626629	CILP	
2737840	CISD2	
2975604	CISH	
3471404	CIT	
4012178	CHED1	
3576378	CHED2	
3305266	CKAP2	
3406858	CKAP2	
3371719	CKAP5	
3582778	CKB	
3664785	CKLF	
3621351	CKMT1A	
3175953	CKS2	
2575841	CLASP1	
2668426	CLASP2	

(四 6 - 9)

TCID	通子	na29
8892108	CLC	
2345023	CLCA1	
2345086	CLCA3P	
3377879	CLCF1	
2751385	CLCN3	
2302472	CLCN8	
2710569	CLDN1	
3479195	CLDN10	
3012019	CLDN12	
2657808	CLDN16	
2325363	CLDN20	
3037960	CLDN4	
3682762	CLDN5	
3748661	CLDN7	
2886156	CLDN8	
2388624	CLDN9	
3443891	CLDZ8	
3404436	CLDCRD	
2620446	CLEC1B	
3434183	CLEC4E	
3848625	CLECIG	
3848625	CLECHG1	
3078468	CLECSA	
3444009	CLECTA	
2787005	CLGN	
2494330	CLIC1	
4027769	CLIC2	
3230394	CLIC3	
2956538	CLIC5	
2956505	CLIC6	
3919737	CLIC8	
3020020	CLIC9	
2745407	CLIP4	
2437329	CLK2	
2737329	CLKP2	
3577940	CLMN	
3494502	CLN5	
3629404	CLPX	
2406420	CLSPN	
2395800	CLSTN1	
3168415	CLTA	
2842530	CLTB	
3729172	CLTC	
3129065	CLU	
3758085	CLU1	
3479256	CLU2	
3479256	CLU3	
2666801	CMTRM8	
2517484	CMY45	
3737676	CNPD2	
2382418	CNIH4	
3671219	CNSKIR2	
2865016	CNSKR3	
3521263	CNN1	

TCDID	透伝子	locus
3165399	CNAV2	
2424102	CNAV3	
3280285	CNNM1	
3261971	CNNM2	
3593573	CNOT1	
3421887	CNOT2	
3074362	CNOT4	
2844709	CNOT6	
2774565	CNOT6L	
2603859	CNR1	
3758157	CNTD1	
3331730	CNTF	
3183729	CNTLN	
3411721	CNTN1	
3346940	CNTN3	
2691188	CNTNAP1	
2121689	CNTNAP2	
3531163	COCH	
3769869	COG1	
3486253	COG3	
3067080	COG6	
2426756	COL11A1	
2061177	COL12A1	
3250468	COL13A1	
3181842	COL15A1	
2404546	COL16A1	
3782168	COL1A1	
3013054	COL1A2	
2689542	COL23A1	
2731441	COL25A1	
2052125	COL25A1	
3292177	COL4A1	
3292424	COL4A2	
2673345	COL7A1	
2653390	COL8A1	
2406679	COL8A2	
3862874	COL9A3	
3113133	COLEC10	
3618169	COMMD8	
2768146	COMMED8	
3369762	CMMD9	
3243084	COPA	
3855324	COPB1	
2532064	COPB1BT8	
3781054	COPZ2	
3471851	COPZ10A	
3471852	COPZ10B	
3571867	COTCH	
3704549	CORO1C	
3751690	CORO6	
3711165	COX10	
3303109	COX15	
2772968	COX18	

TGID	遺伝子名	座標
2445100	CP4/C	2445100
1202024	CP	1202024
3106569	CP1	3106569
2847106	CPA3	2847106
3716411	CPD	3716411
2750527	CPE	2750527
2715381	CPEB2	2715381
2841698	CPEB4	2841698
2492256	CPLX2	2492256
3461341	CPM	3461341
6105094	CPN3	6105094
2665453	CPN4	2665453
3465055	CNE8	3465055
2624817	CPO	2624817
5165161	CPSF1	5165161
2424500	CPSF3	2424500
5175769	CPSF3L	5175769
3421446	CPV1	3421446
3043848	CPV1	3043848
3985518	CPXM1	3985518
2377427	CR1	2377427
3277283	CR2	3277283
6063295	CRABP1	6063295
2438458	CRABP2	2438458
2680048	CRBB	2680048
2994568	CREB5	2994568
6777765	CREBBP	6777765
5676747	CREG2	5676747
2810138	CRELD1	2810138
8680462	CRELD2	8680462
1815538	CRHPB	1815538
5564816	CRIP2	5564816
2424500	CRPF3	2424500
2002228	CRTRK	2002228
6855104	CRLE1	6855104
7650328	CRMP1	7650328
289183	CRROC	289183
289183	CRROC11	289183
289183	CRROC2L	289183
7297272	CROP	7297272
011317	CROT	011317
3025727	CRTAC1	3025727
618188	CRTP	618188
489865	CRY1	489865
391149	CRYAB	391149
6855778	CRYBG3	6855778
418481	CRY2	418481
2894624	CRY2L1	2894624
475741	C5	475741
444262	CSDAP1	444262
406375	CFSR	406375
28600	CIGNALACT1	28600
243903	CIGNALACT2	243903

【 义 6 - 1 0 】

T CID	遺伝子名
2880382	CNSK1A1
2880383	CNSK1A1L
3890478	CNSK1E
3826103	CNSK1G1
38269012	CNSK1G1
2295550	CNSK1G3
3846224	CNSK2A1
3848228	CNSK2A1P
2026559	CNSK2B
3101892	CSPP1
2869930	CSRPNP1
3454662	CSRPNP2
3504665	CSRP1
3001333	CT1
3001334	CT1
3335804	CT5
2356869	CT5A
3243425	CT5B
23269631	CT5Z1
3368528	CT5F3
4021037	CT7A4
4021037	CT7A4+0
4021037	CT7A4+1
4021037	CT7A42
4021037	CT7A43
4021037	CT7A44
4021037	CT7A45
4021037	CT7A46
4021037	CT7A47
4021037	CT7A48
4021037	CT7A49
4021037	CT7A49P
4021037	CT7A51
4021037	CT7A51P
4021037	CT7A52
4021037	CT7A53
4021037	CT7A54
4021037	CT7A55
3343549	CTAGE5
3002920	CTAGE6
2147380	CTBP2
2024087	CTBS
3666603	CTCF
2672786	CTDSP1
3486911	CTDSP2
2612778	CTDSP3
3591803	CTDSPL2
2974330	CTGF
3416653	CTHSP
3119541	CTHSPC2
3292064	CTHNNAA
3292069	CTHNNAS
3129821	CTHNNAL1
2619540	CTTNB1
4000389	CTP2
3887117	CTSA
3086200	CTSB
3124837	CTTB
3385763	CTSC

TCTD	遺伝子名
3358960	CTSD
3364411	CTSH
2434609	CTSK
3218671	CTSL2
2434675	CTSS
3365552	CTTN
3066470	CTTNBP2
3848644	CTXH1
3779650	CUBN
3748022	CUEDC1
3602497	CUL4A
1041860	CUL4B
3374749	CUL5
2564355	CUL7
3265355	CUL9
3022744	CUL9
3310575	CUD1
3365745	CWF1BL2
2762542	CWHA3
2773434	CXCL1
2773434	CXCL3
2773047	CXCL9
2578020	CXCR4
4024240	CXCR10
4003840	Cxcr12
3221011	Cxcr12
3778501	Cxcr12
4085040	Cxcr3
3661474	Cxcr5B
3886230	Cxcr5T
3608264	Cxcr6B
3807803	CXCX1
2831350	CXCX5
3706243	CYBD1
3692530	CYBR63
2915481	CYSR4
3673930	CYBB
2515240	CYBRD1
3813300	CYFIP1
3827266	CYFIP2
3827266	CYFIP2L
1615717	CYP1B1
3151717	CYP1B2
3304432	CYP17A1
3211868	CYP1TA10S
2648690	CYP1B1
2523393	CYP2A1
2523393	CYP2A1A
2910304	CYP1TA2

T/C ID	通電日-ns ²⁹
3911429	CYP2A14
3626344	CYP2A14
2656189	CYP2B10
2582093	CYP2B11
3458819	CYP2B11
3624244	CYP2A13
3862944	CYP2A6
3862944	CYP2A7
3862944	CYP2A7P1
3256019	CYP2C10
3256019	CYP2C9
2956761	CYP3A1
3035030	CYP3A4
3015030	CYP3A4S
3025408	CYP3A4S
3025408	CYP3A4S_P2
3083501	CYP2A7
3511432	CYP4A6A1
3235048	CYP4A11
3235048	CYP4A22
3835638	CYP2F11
3823340	CYP4F12
3243948	CYPX1
3000904	CYP6A1
3136204	CYP7B1
2344868	CYR61
4013460	CSYLTR1
4861397	CSYLTR2
3772528	CYTH1
3881830	CYTH2
3881830	CYTH3
3864091	CYTS1
3864091	CYTS2
3277622	DYCYR1
3926136	DL219208E
3517261	DAC1H
3538087	DACT1
2622121	DAG1
2673830	DALRD3
2484644	DAP
2361038	DAPS
3268243	DAPK2
2577668	DARS
4031534	DAZ1
2684780	DAZ2
4031534	DAZ3
2684780	DAZ3
4031534	DAZ4
2684780	DAZ4
31615834	DAZAP1
2684780	DAZL
3223157	DBC1
2688800	DSBN1

【 図 6 - 1 1 】

TCDI	读卡子类ID
2428212	C8T
2315183	DCAF17
2688023	DCBLD2
3788680	DCD
3377878	DCDC1
3378197	DCDC1
2645440	DCDC2
3387768	DCDC5
3381072	DCHS1
2708140	DCHS2
3300473	DCIN1
3486274	DCIN
3440192	DCP1_B
2824354	DCP2
3620534	DCT
2788919	DCTD
2556967	DCTN1
3456814	DCTN1
281654	DCTN4
3029326	DCTN8
3638346	DCTN1D3
2720828	DCUN1D4
4016218	DCX
3824212	DCXA1
3522082	DCXA11
3320849	DDB2
3050388	DDC
3135333	DEFIIT1
2319191	DDR2
2695392	DDT4
2695350	DDO
2091970	DDR1
3342431	DDR2
3347831	DDX10
2440684	DDX18
3205055	DDX21
3577513	DDX24
3345948	DDX25
3974538	DDX3X
3345949	DDX41
2824496	DDX44
2766892	DDX6
2478116	DDX9D
3476736	DDX9Z
3230306	DDX9B
2404516	DDX9B
3393846	DDX6
2767800	DDX9D
3395262	DEAF1
3112721	DEFA4
3122721	DEFA4P
3873091	DEFB132
2329380	DEGS1
2494068	DEK

TCID	通達子_nsc20
3847908	DEND01C
3116651	DEND03
3829611	DEND04A
3362263	DEND05A
3484760	DEND06B
3435490	DENR
2865692	DEPD01B
3843101	DEPD05
3113286	DEPD08
3151401	DERL1
3742246	DELB1
2262476	DELB2
3638068	DEI1
3865482	DGAT2L6
3064501	DGAT2L7
3303247	D3K8
3487093	D3KH
3074912	D3KI
2143907	D-HCR24
2236496	D-HDSD
2817837	D-IFR
3687811	D-HCDH
3568116	DRS1
3719210	DRHS11
3529251	DRHS2
3529252	DRHS3
3687187	DRHS7
3235373	DHTX01
2763806	DHK15
3311776	DHK32
3269662	DHK32
3864922	DHK35
2549007	DHO57
3722554	DHO6
3494602	DHO9
3476511	DIBALO
3863965	DIAPH2
3577870	DICER1
3336691	DI01
3573767	DK02
3284464	DKP2A
3414641	DKP2B
3273261	DPZPC
3124227	DRAS2
2417362	DRAS3
3586813	DS3L
2385343	DS6C1
3686900	DZF2-p43AH1419
2713183	DKF2-Z64AO0823
2695320	DKF2-Z64BI81420
3860912	DKF2-z61D1818
3348652	DLAT
3128116	DLCT1
3469708	DLU1

TCD	透子云	me29
3513985	DLGEU2	
3513995	DLGEU2/L	
3354704	DLG2	
30890483	DLG3	
3708306	DLG4	
3743933	DLG4	
3028725	DLGPAP2	
3883819	DLGPAP3	
3555683	DLGPAP5	
3544348	DLS7	
3544348	DLS7P	
2323372	DMDP1	
4004494	DMD	
3885761	DMDK	
3159735	DMRT3	
2388909	DMRTB1	
3891474	DMRTC1	
9861474	DMRTCB1	
3006051	DMTF1	
2255114	DMXL1	
3624146	DMXL2	
2062243	DNAH11	
640897	DNAH11	
2327871	DNAH14	
2494608	DNAH5	
3001168	DNAH6	
3544348	DNAH8	
5525913	DNAH7	
3686084	DNAA2	
3632347	DNAA4	
3862733	DNAB1	
6265369	DNAB11	
3629811	DNAB11	
2342328	DNAB4	
3837461	DNAB8	
9811689	DNAB7	
3018586	DNAB9	
2380902	DNAC11	
3202413	DNAC12	
1642791	DNAC13	
4537201	DNAC14	
3001168	DNAC15	
5525912	DNAC17	
3002558	DNAC21	
3370985	DNAC24	
1549490	DNAC28	
1849494	DNAC25- GNG10	
497270	DNAC3	
3403630	DNAC6	
3360723	DNAC11	
4484664	DNASE1_L2	
876288	DNASE1_B	

【 四 6 - 1 2 】

TCID	進化子	ns29
2002770	DOCK1	
200155	DNPBEP	
3259593	DNNT	
2423597	DNTTP1P2	
3196953	DOCK1	
2610164	DOCK10	
3588435	DOCK11	
2622670	DOCK3	
3060512	DOCK6	
318330	DOCK8	
3523308	DOCK9	
3629621	DONSON	
3929773	DONSON	
3919860	DOPETY2	
336192	DPA1	
3513483	DPA1	
3513483	DPA1B	
3584018	DPP4	
3032647	DPP6	
3820168	DPPA2	
3628180	DPPA4	
4431210	DPT	
3065548	DPY19L2	
3458801	DPY19L2	
3065548	DPY19L2P1	
3458801	DPY19L2P1	
3065548	DPY19L2P2	
3458801	DPY19L2P3	
3107608	DPY19L4	
2545202	DPS	
465424	DPS	
2680292	DPLS1L3	
3364472	DRB2	
3803020	DSG1	
3802060	DSG2	
3802924	DSG3	
3363311	DCSAML1	
3812074	DBSE	
3783529	DSG2	
3904568	DSN1	
2863794	DSP	
2006326	DST	
3878833	DTD1	
237357	DTL	
345495	DTNA	
345495	DTNL	
4046876	DTYMK	
2306326	DULLARD	
2815159	DULLARD	
3582214	DUXY1	
3621716	DUXY1	
3502214	DUXY2	
3621718	DUXY2	
3622239	DUXY4	

〔 図 6 - 1 3 〕

TCID	远信子_nz29	TCID	远信子_nz29	TCID	远信子_nz29
2996490	END1	3445768	ERF27	3446191	FADH1
2388288	END1	3217736	ERF44	2565753	FADH2A
2733787	ENDPH1	2385177	ERRF1	2484064	FADH2A
3795886	ENOSF1	3053380	ERV3	2565753	FADH2B
2025063	ENPP1	3386107	ESAM	2484064	FADH2B
2909020	ENPP4	3800779	ESCO1	2584635	FAM103A1
2950573	ENPP5	2856596	ESM1	3769969	FAM104A
2352623	ENTPD1	2534964	ESPNL	3278813	FAM107B
3207373	ENTPD2	2813763	ESR1	3686067	FAM107B
3571867	ENTPD6	3581614	ESR2	3331926	FAM111A
3203683	ENTPD7	3107648	ESRP1	3331903	FAM111B
3438772	EP400	3896220	ESRP2	2742084	FAM114A1
3438772	EP400NL	2455303	ESRRG	3026238	FAM114A
2484813	EP400NL	3387131	ET1	3026238	FAM114A
3008777	EP44	3008603	ETFB	2678118	FAM116A
3882690	EP44111	3884433	ETHE1	3645643	FAM118A
2973965	EPB4112	2451870	ETNK2	3355021	FAM118B
3770702	EPB4113	3397589	ETS1	3418534	FAM119B
2870584	EPB4114A	3039177	ETV1	3170972	FAM20A
3219788	EPB4114B	3768610	ETV4	4009560	FAM20C
2503106	EPB4115	2709132	ETV5	3490073	FAM124A
3284073	EPB4115	3405207	ETV8	3169422	FAM126B
2997907	EPD1	2423037	ETV15	3041294	FAM126A
6252225	EPD1AS	3365733	EWSR1	2656467	FAM128B
2600689	EPHA4	3841907	EWSR1	4022925	FAM127A
2771342	EPHA5	2938196	EXOC2	3891889	FAM127A
2965205	EPHA7	3025005	EXOC4	4022925	FAM127B
3174541	EPHA7	3175137	EXOC7	3891889	FAM127B
3666446	EPHD3	2506046	EXOC10	4022925	FAM127B
3203858	EPHB8	3498563	EXOSC8	3561889	FAM127C
3246625	EPHN4	2741768	EXOSC8	2328952	FAM128
3771217	EPH1	3162060	EXTL1	3077273	FAM131B
2462744	EPHS	3140037	EY41	2529275	FAM134A
3445008	EPH4	3887479	EYA2	2564992	FAM134B
3841849	EPHS1	2403335	EYA3	2777447	FAM13A
5511696	EPST11	3079348	EZH2	3247977	FAM13C
3728586	EPX	3602437	F10	3200649	FAM13C
2888131	ERAP1	2755154	F11	3380772	FAM160A2
3740402	ERBB2	2686741	F12	3265432	FAM160B1
3417249	ERBB3	2816460	F2R	2638688	FAM162A
2697662	ERBB4	2883683	F2RL2	2380713	FAM163A
3865375	ERCC1	2423907	F3	3104322	FAM164A
3559247	ERCC1	2704072	F3	4051621	FAM165A
2024707	ERCC2	4023358	F4	2739711	FAM165C
4012114	ERCC5L	2234740	FAAH	2257708	FAM170A
2857152	ERCC5L	39791101	FAAH2	3759105	FAM171A2
3031765	ERG	2404418	FAPB3	2819294	FAM171B
3570049	ERH	3142381	FAP4	3843347	FAM173A
3085065	ERI1	3517694	FAP5	2291281	FAM174A
3883845	ERI2	3805304	FAP6	2776098	FAM176A
3651609	ERI2	2836116	FAPB6	2386941	FAM176A
3303266	ERI1N1	3402671	FADS1	2500205	FAM176A
3564790	ERI1L	3333226	FADS2	3632353	FAM177A1
2462323	ERI1LB	3080393	FAH	3268029	FAM178A

【図 6 - 1 4】

TCID	通子ニ na29
2745248	FAM179A
3534128	FAM179B
3549438	FAM181A
3849052	FAM188
2262482	FAM19A1
3949722	FAM19A5
7386535	FAM20A
3244742	FAM21A
3244742	FAM21B
3244742	FAM21C
3244742	FAM21D
3244742	FAM21E
3267453	FAM33A
3267470	FAM33B
3265270	FAM34B2
3704378	FAM34B3
3797878	FAM34B8
3798829	FAM35B2
3219102	FAM3B
3070047	FAM3C
2874684	FAM3D
2665765	FAM43A
2962363	FAM46A
2533068	FAM46C
3713885	FAM47E
3505979	FAM48A
2745248	FAM48B
2541860	FAM49A
3093430	FAM50A
7277278	FAM53B
2830688	FAM53C
2340501	FAM55C
3705481	FAM57A
4028660	FAM58A
3803290	FAM58B
3288440	FAM58D
4467110	FAM5C
3449700	FAM60A
3473731	FAM62A
2437418	FAM62B
3385201	FAM63A
2431757	FAM65A
4019784	FAM70A
3354300	FAM71E1
2343170	FAM73A
3100698	FAM73B
3171425	FAM75A1
3171425	FAM75A2
3171425	FAM75A3
3171425	FAM76A4
3171425	FAM76A5
3171425	FAM76A7
3171425	FAM76A8

【図 6 - 15】

TCD	通道子_na29	TCD	通道子_na29	TCD	通道子_na29
3489315	FKSGC29	2365641	FIM03	25854327	FVB
3355733	FLJ1	2433232	FM05	29868968	FVN
3748188	FLJ1	2451663	FMOD	26505687	FYTTDQ1
3110217	FLJ10489	3994100	FMR1	3342452	FZD4
4040417	FLJ112120	5268261	FN1	3368508	FZD4
2738244	FLJ20184	5262906	FN1	26967663	FZD6
3882638	FLJ21369	3739147	FN3K	3110272	FZD8
3358049	FLJ23519	3227169	FNBP1	2623045	FZD7
3018011	FLJ23834	3488212	FNDC3A	2378008	GOS2
3269950	FLJ23887	2652410	FNDC3B	2748547	GAB1
3957818	FLJ26056	2504663	FNDC4	3352223	GAB1
3269950	FLJ26056	2628100	FNDC5	3406466	GABARAPL1
2460740	FLJ30430	2302018	FNDC7	3404836	GABARAPL3
2817041	FLJ31715	3245000	FOLH1	3217242	GABBR2
3489708	FLJ31945	3372898	FOLH1	3816578	GABPA
3348147	FLJ32610	5843900	FOLH1B	2646700	GABPR2
3415048	FLJ33996	3372898	FOLH1B	2766056	GABRA4
3301808	FLJ34077	3339406	FOLR1	2884845	GABRB2
2771624	FLJ34524	3644525	FO5	3614534	GABRB3
2926447	FLJ35700	3832026	FO5B	4054481	GABRD
2821761	FLJ35948	2743065	FO5L1	3565272	GABRG3
4265267	FLJ36848	3872600	FOX1	2964092	GABRR1
3298782	FLJ37201	3446066	FOXKM1	2341043	GADD46A
2536885	FLJ38579	9715602	FOXN1	3618609	GADD46B
2907386	FLJ38717	2920475	FOXO3	2705935	GAP43
3415491	FLJ38820	2511575	FOXO3B	3675102	GAP48
3145491	FLJ38848	301193	FOXO4P2	221561	GALE
3262020	FLJ38854	2341711	FPBP1	3393636	GALK1
2564818	FLJ40330	2432200	FPBP2	3823472	GALK2
2564835	FLJ40330	3689237	FRP1	3118100	GALK112
3486716	FLJ40806	3839010	FRP2	2811045	GALK113
2536899	FLJ41327	2739265	FRAS1	2334676	GALT2
3380647	FLJ42102	3485008	FREM2	2585129	GALT3
3380005	FLJ42258	3212008	FRMD3	3464912	GALT4
3381812	FLJ42258	3273401	FRMD4A	2511003	GALT5
3636879	FLJ4276	3621728	FRMD5	2715138	GALT7
3961381	FLJ44835	3267995	FRMPD2	3401920	GALT8
3873661	FLJ45121	3287995	FRMPD2L1	3479010	GALT9
3546988	FLJ45244	3287995	FRMPD2L2	3383001	GALT14
2812691	FLJ46010	2569071	FRZZ1	3590850	GATZ
3918635	FLJ46020	3022422	FSNC9	2867112	GATA3
3145491	FLJ46020	3111941	FT1	3114525	GFLD1
2451377	FLJ46938	3615097	FT3L1	3146661	GAPDH17
3722479	FLJ77644	2971585	FTSL1	3189110	GAPDH1
4027176	FLJNA	2701894	FTSL5	3118228	GARN1
2625607	FLNB	2554581	FTIH1	3169714	GARN3
3548824	FLTR2	2545841	FTIH1LSP	3629271	GART
3689335	FLRT3	2419235	FUBP1	3323891	GAS2
3507292	FLT1	3659804	FUBP1	3428266	GAS2L3
3838556	FLT3LG	3837934	FUT2	2444451	GAS5
2367711	FMN2	3840662	FUT6	3761245	GATA6
2510713	FMNL2	3861016	FXYD3	3625713	GADDA2
3414104	FMNL3	3830218	FXYD5	3622386	GATM
3454006	FMNL3	3395479	FXYD6	2437057	GBA

【 义 6 - 1 6 】

TCID	远东丁 na29	TCID	远东丁 na20
2437205	GMAP1	36398914	GGTL2C2
2437206	GMAP2	36398915	GGTL2C3
2301544	GPP1	36398916	GGTL2C3
2282623	GGGT1	36398909	GGTL2C3
2418143	GPP1	30319589	GMAP2
2418163	GPP1	30319533	GMAP4
2419295	GPP2	30319773	GMAP5
2418833	GPP2	3079103	GMAP6
2418433	GPP3	30318171	GMAP7
2419295	GPP3	30314468	GMAP8
2418683	GPP3	3880627	GINS1
2419653	GPP4	3703112	GINS2
2419295	GPP4	3471005	GT2
2422036	GPP5	36398932	GY1D1
24345810	GPP6	36690032	GY1D2
2419295	GCA1	36398933	GY1D3
2512920	GCA	24077655	JLA9
3045014	GCAT	40844227	GLB4
2436002	GCTE2	35402113	GLB6
2688605	GCTE2	40156763	GLA
3558524	GCH1	26882025	GLB1
3048468	GCK	36598537	GLCC11
2675680	GCM1	31797665	GLDC
3565441	GCOM1	36593931	GLDN
3701459	GCSH	3668919	GLG1
3174510	GDA	30476863	GLJ3
3103607	GDPAP1	34228655	GLPR1
2439370	GDPAP2	3422828	GLPR1L2
3207745	GEDD1	3181000	GLS3
3207745	GEDD10	3170714	GLT1
3824693	GEDD10	27409161	GLRB
3668404	GD1	3271018	GLRX3
2737152	GD12	2502021	GLS
3720014	GDPD1	34376700	GLT1D1
3362319	GDPD5	3824471	GLT2D51
3149483	GENM16	2678319	GLTD61
2477980	GENM16	3468888	GLTB02
2649640	GFM1	3451248	GLTB03
2682718	GMF2	3871618	GLTSC2
2558045	GFP11	24470698	GLUL
3302821	GRFRAT	2487478	GMCL1
3124563	GHRP1	2487478	GMCL1L
3070663	GIA2	3031944	GMFR
3070663	GIA3	3841048	GMFG
3044129	GGCT	28959597	GMHN
3719181	GSNBP2	25284020	GMPPBA
3639814	GGT1	3210737	GNAA14
3639814	GGT1	3010438	GNAA1
3939009	GGT2	3772027	GNAL
3939009	GGT2	3681940	GNAO1
3639814	GGT3P	3210808	GNAO1
3839009	GGT3P	2931640	GNB1
3939014	GGT8P	3402874	GNB2
3223967	GGT1A	3184940	GNB10

【 图 6 - 17 】

TCID	遠伝子 ns29	TCID	遠伝子 ns29	TCID	遠伝子 ns29
2417390	GPR177	2350922	GSTM2	3390441	HBC02
3522644	GPR18	2351004	GSTM2	3018420	HBP1
3417767	GPR182	2350981	GSTM2	2975287	HSB15
3522662	GPR183	2350982	GSTM2	4028956	HCFC1
3445028	GPR19	2427206	GSTM3	3677366	HCFCR1
3070873	GPR37	2350922	GSTM4	3429406	HCF2C
2678888	GPR39	2350981	GSTM4	2758309	HCG_1771830
2506570	GPR49	2350922	GSTM5	3021725	HCG_1789710
3482364	GPR50	2351004	GSTM5	2592922	HCG_2024410
3482366	GPR54	2352250	GSTM5	3014474	HCG_2039148
4001654	GPR54	2331768	GSTP1	2856593	HCRP1
2532262	GPR76	27277535	GSN2	2007173	HCRP1
3387010	GPR83	3074074	GTF2A1	2325367	HCRTR1
2819779	GPR98	2481379	GTF2A1	2806208	HDAC4
3685269	GPRASP1	2421753	GTF2B	4012204	HDAC8
3985306	GPRASP2	2681163	GTF2H2	2001396	HDAC9
3406567	GPRC5A	2681163	GTF2H2	3968444	HDHD1A
3883377	GPRC5B	2681163	GTF2H2C	2426426	HEATR1
2888385	GPRIN1	2681163	GTF2H2D	2886867	HEATR1
2776393	GPRIN3	3345946	GTF2H3	3065688	HEATR3
2747223	GPK1	2902013	GTF2H4	3569860	HEATR8A
3307363	GPK3	3038578	GTF2H4	3765039	HEATR8B
2883715	GPK3	3038578	GTF2H5	391123	HEATR8
3815538	GPK4	2064695	GTF2R02	3552755	HECTD1
2336439	GPK7	3069569	GTF2R02B	3205775	HECTD2
2080831	GPK8	3069569	GTF2R02D	2405970	HECTD3
2638268	GRAMD1C	3429266	GTF3A	2909334	HECW1
2720575	GRAMD3B	2563532	GTF3C3	2892009	HEG1
3050482	GKB10	2024771	GTPBP2	3440247	HELB
2846712	GRB14	2519460	GULP1	3256910	HELLS
3770743	GRB2	2797968	GYPB	2776026	HEBLQ
2486822	GRB81	2787802	GYPB	3768016	HELZ
2484657	GRHL1	2504322	GYPC	3217077	HEMGN
2252358	GRHL3	2787958	GYPE	3628660	HERC1
2748927	GRHL4	2787902	GYPE	3614901	HERC2
2504448	GRHL5	2504322	GYPC	3885745	HERC2
4054058	GRIN1	20280310	GZMA	3524759	HERC2P2
3770224	GRIN1C2	3558376	GZMB	3614901	HERC2P3
3218151	GRIN3A	3558375	GZMH	3885749	HERC2P3
3589441	GRIN1A	2809793	GZMK	2735456	HERC3
3071063	GRIM8	2878470	H2AFY	3282448	HERC4
3780526	GIP	3250002	H2AFY2	2735362	HERC8
2835008	GRIP1EL2	2948714	H2BFS	3862387	HERPUD1
2772614	GRISF1	3770644	H3FB	2605735	HES6
3575903	GSDMB	2664395	HACL1	3632152	HEXA
3441862	GSG1	2473735	HADHD	3738642	HEXC6
3741165	GSG2	3468687	HAL	3774975	HEXD
2681014	GSG3	3757221	HAN1	3223362	HEXM1
3167686	GSHN	2757221	HARS	3723362	HEXM1
3003670	GSS	2302053	MAB22	325493	HEXM2
2738314	GSTM2D	2767621	MAUS3	2422612	HHRM
2350922	GSTM3	3306401	HBB	4047670	HGD
2305061	GSTM4	2872723	HBEGF	2746589	HMMP
2630592	GSTM4	3306441	HBS1	2457498	HMMP2

【 図 6 - 1 8 】

TCDI	遺伝子名	TCID	遺伝子名
2635184	HHLA2	2491175	HNRNPR
3938113	HIC2	2884257	HOMER1
3562070	HIF1A	3448152	HOMER1
3636705	HIF3A	3093568	HOOK3
2739160	HIGD1A	3042604	HOXA13
3057370	HIP1	3042816	HOXA4
2527578	HIPK1	3761441	HOBX4
3077578	HIPK2	2515867	HODX1
3356907	HIPK3	2615583	HODX9
3862537	HIRA	2400322	HPTBP3
3662703	HIST1H2B	2465941	HPCAL4
3662704	HIST1H2B	3370408	HPRN
3662705	HIST1H2B	3830000	HPRN
3662706	HIST1H2B	3891896	HPRT1
3662707	HIST1H2B	2770274	HPS3
3662708	HIST1H2B	2647219	HPS3
3662709	HIST1H2B	3368090	HRAS
3662710	HIST1H2B	2665278	HSRSL5
3662711	HIST1H2C	3867708	HRC
2470681	HIST1H4L	2665965	HRG
2866169	HIVEP1	3145680	HRSRP1
2779665	HIVEP2	2345619	HS2ST1
3250278	HK1	4022183	HS6ST2
2046626	HLA-B	3671448	HSBP1
2488687	HLA-B	3329869	HS71BT12
2488688	HLA-C	3662703	HS71BT13
2488689	HLA-C	3417177	HS71BT14
2059263	HLA-DMB	2003448	HS171B8
2059269	HLA-DPA1	3120538	HSF1
2003401	HLA-DPB1	2922419	HSF2
2605126	HLA-DQB2	4020545	HSFX1
2003169	HLA-DRA	4025285	HSFX2
2001620	HLA-E	3400004	HSN2
3775853	HLF	3680179	HSRPA0AA1
3881282	HM3	3680179	HSRPA0AA4P
3091648	HMBX1	2608474	HSRPA0AB1
3602873	HMG20A	2008474	HSRPA0ABP
3817040	HMG20B	3429351	HSRPA0B1
3514143	HMGAT1	3429352	HSRPA0B2P
3471198	HMGAT1	3374432	HSRPA1
3471199	HMGAT1	2523339	HSRPA13
3046549	HMGAT3	2523337	HSRPA13
3239358	HMBP3	2523337	HSRPA14
3881117	HMGCL1	2502037	HSRPA14
2816965	HMGCR	2502037	HSRPA15
3440446	HMGCB4	2940450	HSRPA1L
2838656	HMMR	2828858	HSRPA4
2841402	HMP19	7242935	HSRPA4L
3770606	HNI	3223398	HSRPA5
3674797	HNP1	2413519	HSRPA11
2325409	HNRNPA3	2682136	HSRPA11P
2436167	HNRNPA3B	2569373	HSRPD1
2436169	HNRNPA8B	2400793	HSRP2
2774643	HNRNPF	3506330	HSRP1
3681617	HNRNPL	2730194	HTN3
4037686	HNRNPM	4021251	HT1D1

【 図 6 - 1 9 】

TCDID	通仁子_n29	TCDID	通仁子_n29	TCDID	通仁子_n29
3415744	I ⁺ FBP ⁻	2596182	HOBD	2514527	ITGA6
2774099	I ⁺ FBP [?]	2520113	INPP1	3457101	ITGA7
2724448	I ⁺ FBP ⁺	2495464	INPP4A	2617188	ITGA9
3436164	I ⁺ FL2	2787459	INPP4B	3741585	ITGA6E
3375753	I ⁺ GHS1	2687382	INPP5F	2519229	ITGA9V
2772560	I ⁺ GJ	3942766	INPP5J	3862532	ITGB1
25633785	I ⁺ GK@	3740264	INPP5K	3264186	ITGB1
25633783	I ⁺ GKC	3330423	INPP1L	2536768	ITGB1BP1
26633785	I ⁺ GKV1-6	26502424	INSIG2	3724545	ITGB3
26633785	I ⁺ GKV3-15	3848243	INSR	2416216	ITGB3BP
26633785	I ⁺ GKV3-20	3088405	INTS10	2692616	ITGB6
26633785	I ⁺ GKV3D-11	27383714	INTS12	3883486	ITGB6
26633785	I ⁺ GKV3D-16	3386124	INTS13	2991890	ITGB8
26633785	I ⁺ GKV3D-17	3386261	INTS14	2373537	ITGB8L1
26633785	I ⁺ GKV3D-18	3386301	INTS14L	2000751	ITGB8L2
4021777	I ⁺ GSF1	2742626	INTU	2837232	ITK
2701109	I ⁺ GSP10	3514488	INTT	4013149	ITM2A
3060928	I ⁺ IGXB	2580823	IP6K3	5874249	ITPA
2627897	I ⁺ ICZF2	2590449	IPCEF1	2608469	ITPR1
3765892	I ⁺ ICZF3	3853656	IPMK	3448152	ITPR2
2642949	I ⁺ IL10	2811812	IPO11	2903782	ITPR3
3167553	I ⁺ IL11RA	3319840	IPOT	3916779	ITSN1
3886538	I ⁺ IL13RA1	2604998	ICCA1	3586905	IVD
4016729	I ⁺ IL13RA2	3232877	ICCC	2448073	IVNS1ABP
2624565	I ⁺ IL17RB	3382505	ICCD	2931172	ITYD
3381251	I ⁺ IL17RA	2713654	ICCG	3106805	J2C
3857151	I ⁺ IL17RAF	3590629	ICCH	2607129	JKAM1P2
3072667	I ⁺ IL17RAF1	2520124	ICCP2	3186227	JAM2
2497082	I ⁺ IL1R1	2812628	ICQAP2	3245986	JMD1C
2497028	I ⁺ IL1R2	2386028	IKWD1	3201692	JMD1D
3832903	I ⁺ IL2A	2810356	IRAK2	2817291	JMV
3832908	I ⁺ IL2B	3422296	IRAK4	3872888	JPH3
3832908	I ⁺ IL2B	2708334	IRF2	3157050	JRK
3832908	I ⁺ IL2B	2453881	IRF6	3656890	JUB
3276729	I ⁺ LR2A	2801995	IRS1	2415084	JUN
2660617	I ⁺ LR4	3826234	IRS2	2945440	KAA1G
28064468	I ⁺ LR7	4017694	IRS4	3898768	KAL1
2713334	I ⁺ LR8	26468522	IRX2	2853974	KALRN
2958303	I ⁺ LR8	3430776	ISCU	3860078	KAN2K
2959303	I ⁺ LR8	2439482	ISGN2L2	3898757	KARS
2650203	I ⁺ LR8B	2860451	ISLT	2476197	KAT1
2527580	I ⁺ LR8B	3010404	ITGB1	2476198	KAT1A1
2827709	I ⁺ LR8B	2827709	ISOC1	3557062	KAT1N1
3696971	I ⁺ LR9	3882854	ITCH	3787157	KAT1N2
3378955	I ⁺ MPM1	3693193	ITFG1	2514413	IKBTBD10
2622885	I ⁺ MMT	3401119	ITFG2	3386586	IKBTBD3
3142485	I ⁺ MPA1	3842727	ITFG3	3511188	IKBTBD6
3782163	I ⁺ IMPACT	2609128	ITGA1	3611616	IKBTBD7
3374133	I ⁺ MPAD1	2359218	ITGA10	2628200	IKBTBD8
3071704	I ⁺ MPDH1	3830736	ITGA11	2427619	KCNQ3
2673873	I ⁺ MPDH2	2809245	ITGA2	2648891	KCNAB1
3262129	I ⁺ INA	3765913	ITGA2B	3103082	KCNB2
3554315	I ⁺ INF2	3723154	ITGA3	4852567	KCNB2
2538757	I ⁺ ING6	2518272	ITGA4	3021009	KCNQ2

【図 6-20】

TCID	遺伝子 na29
2428119	KCNQ3
2613293	KCNH4
2782944	KCNIP4
2603960	KCNJ13
3920850	KCNJ16
3733238	KCNJ16
3733275	KCNJ2
3851486	KCNJ6
2933846	KCNJ8
2370974	KCNK2
3334446	KCNK4
2692454	KCNK5
3269049	KCNMA1
2655397	KCMB2
3421985	KCNH4
3824486	KCNH1
2456628	KCNJ3
3317362	KCNQ1
3154002	KCNQ3
2471384	KCNQ5
3071678	KCNQ6
3474985	KCTD10
3667783	KCTD13
3343130	KCTD14
3944637	KCTD17
2594435	KCTD18
2380055	KCTD3
3128372	KCTD9
3128272	KCTD9P2
2627626	KDEL1
3867692	KDEL4
3946514	KDEL3
3817733	KDN4B
3161668	KDN4C
3453683	KDN4D
2454509	KDN4S
4042040	KDN4C
3709153	KDN4S
2798810	KDR
3623408	KGFLP1
3593408	KGFLP2
2907774	KHDC1
2869039	KHDRBS2
3117384	KHDRBS3
3847814	KHSRP
2309820	KAA0090
3750872	KAA0100
3629103	KAA0101
2638040	KAA0141
3072269	KAA0102
3452145	KAA0225
3217356	KAA0226
3541145	KAA0247
3564452	KIAA0284
2408139	KIAA0319L

TCID	遺伝子 na29
3629638	KIAA0355
2672629	KIPL10
3841756	KIR2DL1
3841777	KIR2DL1
4053056	KIR2DL1
3841756	KIR2DL2
3841777	KIR2DL2
3163870	KIR2DL4
3841777	KIR2DL4
3841756	KIR2DL5
4053056	KIR2DL5
3841756	KIR2DL6
3841777	KIR2DL6
3841756	KIR2DL7
3841777	KIR2DL7
3841756	KIR2DL8
3841777	KIR2DL8
4053056	KIR2DL8
3841756	KIR2DL9
3841777	KIR2DL9
3841756	KIR2DL10
3841777	KIR2DL10
4053056	KIR2DL10
3841756	KIR2DL11
3841777	KIR2DL11
3841756	KIR2DL12
3841777	KIR2DL12
3841756	KIR2DL13
3841777	KIR2DL13
3841756	KIR2DL14
3841777	KIR2DL14
4053056	KIR2DL14
3841756	KIR2DL15
3841777	KIR2DL15
3841756	KIR2DL16
3841777	KIR2DL16
3841756	KIR2DL17
3841777	KIR2DL17
3841756	KIR2DL18
3841777	KIR2DL18
3841756	KIR2DL19
3841777	KIR2DL19
3841756	KIR2DL20
3841777	KIR2DL20
3841756	KIR2DL21
3841777	KIR2DL21
3841756	KIR2DL22
3841777	KIR2DL22
3841756	KIR2DL23
3841777	KIR2DL23
3841756	KIR2DL24
3841777	KIR2DL24
3841756	KIR2DL25
3841777	KIR2DL25
3841756	KIR2DL26
3841777	KIR2DL26
3841756	KIR2DL27
3841777	KIR2DL27
3841756	KIR2DL28
3841777	KIR2DL28
3841756	KIR2DL29
3841777	KIR2DL29
3841756	KIR2DL30
3841777	KIR2DL30
3841756	KIR2DL31
3841777	KIR2DL31
3841756	KIR2DL32
3841777	KIR2DL32
3841756	KIR2DL33
3841777	KIR2DL33
3841756	KIR2DL34
3841777	KIR2DL34
3841756	KIR2DL35
3841777	KIR2DL35
3841756	KIR2DL36
3841777	KIR2DL36
3841756	KIR2DL37
3841777	KIR2DL37
3841756	KIR2DL38
3841777	KIR2DL38
3841756	KIR2DL39
3841777	KIR2DL39
3841756	KIR2DL40
3841777	KIR2DL40
3841756	KIR2DL41
3841777	KIR2DL41
3841756	KIR2DL42
3841777	KIR2DL42
3841756	KIR2DL43
3841777	KIR2DL43
3841756	KIR2DL44
3841777	KIR2DL44
3841756	KIR2DL45
3841777	KIR2DL45
3841756	KIR2DL46
3841777	KIR2DL46
3841756	KIR2DL47
3841777	KIR2DL47
3841756	KIR2DL48
3841777	KIR2DL48
3841756	KIR2DL49
3841777	KIR2DL49
3841756	KIR2DL50
3841777	KIR2DL50
3841756	KIR2DL51
3841777	KIR2DL51
3841756	KIR2DL52
3841777	KIR2DL52
3841756	KIR2DL53
3841777	KIR2DL53
3841756	KIR2DL54
3841777	KIR2DL54
3841756	KIR2DL55
3841777	KIR2DL55
3841756	KIR2DL56
3841777	KIR2DL56
3841756	KIR2DL57
3841777	KIR2DL57
3841756	KIR2DL58
3841777	KIR2DL58
3841756	KIR2DL59
3841777	KIR2DL59
3841756	KIR2DL60
3841777	KIR2DL60
3841756	KIR2DL61
3841777	KIR2DL61
3841756	KIR2DL62
3841777	KIR2DL62
3841756	KIR2DL63
3841777	KIR2DL63
3841756	KIR2DL64
3841777	KIR2DL64
3841756	KIR2DL65
3841777	KIR2DL65
3841756	KIR2DL66
3841777	KIR2DL66
3841756	KIR2DL67
3841777	KIR2DL67
3841756	KIR2DL68
3841777	KIR2DL68
3841756	KIR2DL69
3841777	KIR2DL69
3841756	KIR2DL70
3841777	KIR2DL70
3841756	KIR2DL71
3841777	KIR2DL71
3841756	KIR2DL72
3841777	KIR2DL72
3841756	KIR2DL73
3841777	KIR2DL73
3841756	KIR2DL74
3841777	KIR2DL74
3841756	KIR2DL75
3841777	KIR2DL75
3841756	KIR2DL76
3841777	KIR2DL76
3841756	KIR2DL77
3841777	KIR2DL77
3841756	KIR2DL78
3841777	KIR2DL78
3841756	KIR2DL79
3841777	KIR2DL79
3841756	KIR2DL80
3841777	KIR2DL80
3841756	KIR2DL81
3841777	KIR2DL81
3841756	KIR2DL82
3841777	KIR2DL82
3841756	KIR2DL83
3841777	KIR2DL83
3841756	KIR2DL84
3841777	KIR2DL84
3841756	KIR2DL85
3841777	KIR2DL85
3841756	KIR2DL86
3841777	KIR2DL86
3841756	KIR2DL87
3841777	KIR2DL87
3841756	KIR2DL88
3841777	KIR2DL88
3841756	KIR2DL89
3841777	KIR2DL89
3841756	KIR2DL90
3841777	KIR2DL90
3841756	KIR2DL91
3841777	KIR2DL91
3841756	KIR2DL92
3841777	KIR2DL92
3841756	KIR2DL93
3841777	KIR2DL93
3841756	KIR2DL94
3841777	KIR2DL94
3841756	KIR2DL95
3841777	KIR2DL95
3841756	KIR2DL96
3841777	KIR2DL96
3841756	KIR2DL97
3841777	KIR2DL97
3841756	KIR2DL98
3841777	KIR2DL98
3841756	KIR2DL99
3841777	KIR2DL99
3841756	KIR2DL100
3841777	KIR2DL100
3841756	KIR2DL101
3841777	KIR2DL101
3841756	KIR2DL102
3841777	KIR2DL102
3841756	KIR2DL103
3841777	KIR2DL103
3841756	KIR2DL104
3841777	KIR2DL104
3841756	KIR2DL105
3841777	KIR2DL105
3841756	KIR2DL106
3841777	KIR2DL106
3841756	KIR2DL107
3841777	KIR2DL107
3841756	KIR2DL108
3841777	KIR2DL108
3841756	KIR2DL109
3841777	KIR2DL109
3841756	KIR2DL110
3841777	KIR2DL110
3841756	KIR2DL111
3841777	KIR2DL111
3841756	KIR2DL112
3841777	KIR2DL112
3841756	KIR2DL113
3841777	KIR2DL113
3841756	KIR2DL114
3841777	KIR2DL114
3841756	KIR2DL115
3841777	KIR2DL115
3841756	KIR2DL116
3841777	KIR2DL116
3841756	KIR2DL117
3841777	KIR2DL117
3841756	KIR2DL118
3841777	KIR2DL118
3841756	KIR2DL119
3841777	KIR2DL119
3841756	KIR2DL120
3841777	KIR2DL120
3841756	KIR2DL121
3841777	KIR2DL121
3841756	KIR2DL122
3841777	KIR2DL122
3841756	KIR2DL123
3841777	KIR2DL123
3841756	KIR2DL124
3841777	KIR2DL124
3841756	KIR2DL125
3841777	KIR2DL125
3841756	KIR2DL126
3841777	KIR2DL126
3841756	KIR2DL127
3841777	KIR2DL127
3841756	KIR2DL128
3841777	KIR2DL128
3841756	KIR2DL129
3841777	KIR2DL129
3841756	KIR2DL130
3841777	KIR2DL130
3841756	KIR2DL131
3841777	KIR2DL131
3841756	KIR2DL132
3841777	KIR2DL132
3841756	KIR2DL133
3841777	KIR2DL133
3841756	KIR2DL134
3841777	KIR2DL134
3841756	KIR2DL135
3841777	KIR2DL135
3841756	KIR2DL136
3841777	KIR2DL136
3841756	KIR2DL137
3841777	KIR2DL137
3841756	KIR2DL138
3841777	KIR2DL138
3841756	KIR2DL139
3841777	KIR2DL139
3841756	KIR2DL140
3841777	KIR2DL140
3841756	KIR2DL141
3841777	KIR2DL141
3841756	KIR2DL142
3841777	KIR2DL142
3841756	KIR2DL143
3841777	KIR2DL143
3841756	KIR2DL144
3841777	KIR2DL144
3841756	KIR2DL145
3841777	KIR2DL145
3841756	KIR2DL146
3841777	KIR2DL146
3841756	KIR2DL147
3841777	KIR2DL147
3841756	KIR2DL148
3841777	KIR2DL148
3841756	KIR2DL149
3841777	KIR2DL149
3841756	KIR2DL150
3841777	KIR2DL150
3841756	KIR2DL151
3841777	KIR2DL151
3841756	KIR2DL152
3841777	KIR2DL152
3841756	KIR2DL153
3841777	KIR2DL153
3841756	KIR2DL154
3841777	KIR2DL154
3841756	KIR2DL155
3841777	KIR2DL155
3841756	KIR2DL156
3841777	KIR2DL156
3841756	KIR2DL157
3841777	KIR2DL157
3841756	KIR2DL158
3841777	KIR2DL158
3841756	KIR2DL159
3841777	KIR2DL159
3841756	KIR2DL160
3841777	KIR2DL160
3841756	KIR2DL161
3841777	KIR2DL161
3841756	KIR2DL162
3841777	KIR2DL162
3841756	KIR2DL163
3841777	KIR2DL163
3841756	KIR2DL164
3841777	KIR2DL164
3841756	KIR2DL165
3841777	KIR2DL165
3841756	KIR2DL166
3841777	KIR2DL166
3841756	KIR2DL167
3841777	KIR2DL167
3841756	KIR2DL168
3841777	KIR2DL168
3841756	KIR2DL169
3841777	KIR2DL169
3841756	KIR2DL170
3841777	KIR2DL170
3841756	KIR2DL171
3841777	KIR2DL171
3841756	KIR2DL172
3841777	KIR2DL172

【図 6 - 24】

TCID	遺伝子_na29
2548214	LRC731002
3855538	LOC7298861
3855538	LOC7298851
	MEF2B
2636857	LOC730031
3881705	LOC730092
3884548	LOC730092
3884548	LOC730110
2758602	LOC731628
3717082	LOC731788
2390518	LOC731985
3721291	LOC732428
4031834	LOC732447
3651506	LOC81681
3248635	LOD73009
3272800	LOC82029
3854784	LOC91318
3938817	LOC98610
3847356	LONP1
3656206	LONP2
3890470	LONP2
2567167	LONRF2
3686836	LONRF3
2872848	LOX
3302093	LOXL4
3220584	LPAR1
3442137	LPAR5
2845973	LPCAT1
3697116	LPCAT2
3442437	LPCAT3
2343623	LPHN1
2728538	LPHN3
3008466	LPL
3374402	LPXN
2789288	LRBA
3458802	LRCH1
2669916	LRCH3
3336578	LRDN4
3848431	LRG1
3025291	LRGUK
2680591	LRG1
3498120	LRG3
2739259	LRIT3
3158812	LRIT3
2075111	LRP11
2078187	LRP11
3147885	LRP12
2678790	LRP1B
2566038	LRP2
2798847	LRP2B
3829242	LRP3
3158812	LRRC14
2886748	LRRC16A

TCID	遺伝子_na29
287190	LRC731C
2849259	LRC731C
2882238	LRC731C
2856764	LRC731C
3105430	LRC731C
2890512	LRC731C
2895184	LRC731C
3047075	LRC731C
2411839	LRC731C
2103923	LRC731C
2003309	LRC81
3019168	LRRN3
3380596	LRTDMT
3174121	MAMOC2
2786872	MAMI_3
3571944	LTPH1
2977787	MANEA
2072140	LTF
2330843	MANEAE
2975227	MACAO
3465248	MANC1
2360249	MANC1A
3517071	LSPL1
2853651	MAN2A1
3930248	LSR
3863848	MAN2A2
3552687	LTB4R
3305477	LTB4R2
2478510	LTH1
3561559	MAGEL1
3571944	LTPH2
2074602	MSTP2
2674602	MSTP9
3745361	MYH1
3662102	MT1A
3662102	MT1D
3662102	MT1E
3892026	MYH14
3662201	MT1F
3662201	MT1G
3662201	MT1H
3662201	MT1I
3662201	MT1J
3662201	MT1K
3662201	MT1L
3662201	MT1M
3662201	MT1N
3662201	MT1P
3745351	MYH8
3662201	MT1T
3662201	MT1Y
3662201	MT1Z
3662201	MT2A
3662102	MTCH1
3660917	MTERF
2670202	MTFR2
3757209	MYO10
3629378	MTFT
3628628	MYO10
3431035	MYOH
3540407	MTIF1
2681391	MTIFD1
3515571	MRAP2
2598496	MREG
34077956	MRO
3430881	MRP63
3760945	MRPL10
2986026	MRPL14
3381116	MRPL17
3379708	MRPL21
3619479	MRPL42P5
3216007	MRPL40
2864099	MRPS25
2951952	MRPS27
3232142	MRPS30
3510025	MRPS31
2409280	MRPS34
3274780	MRPS34
3196050	MRRF
2898452	MRSS2
3332403	MSA1
3374934	MS4A4E
3374934	MS4ABA
2450962	MSH2

TCID	遺伝子_na29
2892238	LY6C5
3135567	LY76
2896569	LYG3
3094977	LYN
2576988	LYPD1
2806570	LYPD1
2510058	LYPD6
2509983	LYPD6B
3135587	LYPLA1
2380765	LYPLAL1
3088097	MAPK4
2916823	LYRM1
3447885	LYRM5
2828185	LYRM7
3767168	LYRC37A4
2517452	LYRC37B
3717452	LYRC37B2
2426173	LYRC38
2417737	LYRC40
3651506	LYRC41
3712835	LYRC48
3600212	LYRC49
2916823	LYRC50
3447885	LYRC52
2828185	LYRC54
3611607	LYRC55
3086809	LYRC56
3385600	LYRC58
3356112	LYRC58
3421511	LYVE1
3430581	MABP
3040518	MACC1
2331213	MACF1
2576261	MAD2L1
2396781	MAD2L2
2714672	MAEA
2345860	MARECB
3056875	MAFB
3451614	MAFB
2706610	MAGEF1
3058520	MAGIE
2523909	MAGIS
3526285	MAGO1
3009523	MAGO1-2
2103923	MAGO3
2003309	MAGR1
3019168	MALAT1
3370259	MALT1
3174121	MAMOC2
2786872	MAMI_3
3694710	MAMLD1
2971801	MAN1A1
2133381	MAN1A2
2330629	LSM6
3236048	MAN1C1
3236361	MAN2A1
3097162	MCMV
3063865	MCMT
3231679	MDA5
368178	MDCH1
3085400	MDGP3
3880523	MAGFA
2488693	MAGFL
3627383	MAGR2
3019881	MARS
2334404	NASP
4002623	NAT13
3878934	NAT6
3320626	NAV2
2541290	NBB8
3485262	NBEA
2506335	NBEA
2324378	NBEAL1
262122	NBEAL2
2706265	NBLADU301
2434203	NBP1
2572517	NBP1
308778	NBP1
2843851	NBP1-2
2650158	NBP1-3
308778	NBP1-4
2843851	NBP1-5
308778	NBP1-6
2843851	NBP1-7
2843851	NBP1-8
308778	NBP1-9
2843851	NBP1-10
308778	NBP1-11
2843851	NBP1-12
308778	NBP1-13
2843851	NBP1-14
308778	NBP1-15
2843851	NBP1-16
308778	NBP1-17
2843851	NBP1-18
308778	NBP1-19
2843851	NBP1-20
308778	NBP1-21
2843851	NBP1-22
308778	NBP1-23
2843851	NBP1-24
308778	NBP1-25
2843851	NBP1-26
308778	NBP1-27
2843851	NBP1-28
308778	NBP1-29
2843851	NBP1-30
308778	NBP1-31
2843851	NBP1-32
308778	NBP1-33
2843851	NBP1-34
308778	NBP1-35
2843851	NBP1-36
308778	NBP1-37
2843851	NBP1-38
308778	NBP1-39
2843851	NBP1-40
308778	NBP1-41
2843851	NBP1-42
308778	NBP1-43
2843851	NBP1-44
308778	NBP1-45
2843851	NBP1-46
308778	NBP1-47
2843851	NBP1-48
308778	NBP1-49
2843851	NBP1-50
308778	NBP1-51
2843851	NBP1-52
308778	NBP1-53
2843851	NBP1-54
308778	NBP1-55
2843851	NBP1-56
308778	NBP1-57
2843851	NBP1-58
308778	NBP1-59
2843851	NBP1-60
308778	NBP1-61
2843851	NBP1-62
308778	NBP1-63
2843851	NBP1-64
308778	NBP1-65
2843851	NBP1-66
308778	NBP1-67
2843851	NBP1-68
308778	NBP1-69
2843851	NBP1-70
308778	NBP1-71
2843851	NBP1-72
308778	NBP1-73
2843851	NBP1-74
308778	NBP1-75
2843851	NBP1-76
308778	NBP1-77
2843851	NBP1-78
308778	NBP1-79
2843851	NBP1-80
308778	NBP1-81
2843851	NBP1-82
308778	NBP1-83
2843851	NBP1-84
308778	NBP1-85
2843851	NBP1-86
308778	NBP1-87
2843851	NBP1-88
308778	NBP1-89
2843851	NBP1-90
308778	NBP1-91
2843851	NBP1-92
308778	NBP1-93
2843851	NBP1-94
308778	NBP1-95
2843851	NBP1-96
308778	NBP1-97
2843851	NBP1-98
308778	NBP1-99
2843851	NBP1-100
308778	NBP1-101
2843851	NBP1-102
308778	NBP1-103
2843851	NBP1-104
308778	NBP1-105
2843851	NBP1-106
308778	NBP1-107
2843851	NBP1-108
308778	NBP1-109
2843851	NBP1-110
308778	NBP1-111
2843851	NBP1-112
308778	NBP1-113
2843851	NBP1-114
308778	NBP1-115
2843851	NBP1-116
308778	NBP1-117
2843851	NBP1-118
308778	NBP1-119
2843851	NBP1-120
308778	NBP1-121
2843851	NBP1-122
308778	NBP1-123
2843851	NBP1-124
308778	NBP1-125
2843851	NBP1-126
308778	NBP1-127
2843851	NBP1-128
308778	NBP1-129
2843851	NBP1-130
308778	NBP1-131
2843851	NBP1-132
308778	NBP1-133
2843851	NBP1-134
308778	NBP1-135
2843851	NBP1-136
308778	NBP1-137
2843851	NBP1-138
308778	NBP1-139
2843851	NBP1-140
308778	NBP1-141
2843851	NBP1-142
308778	NBP1-143
2843851	NBP1-144
308778	NBP1-145
2843851	NBP1-146
308778	NBP1-147
2843851	NBP1-148
308778	NBP1-149
2843851	NBP1-150
308778	NBP1-151
2843851	NBP1-152
308778	NBP1-153
2843851	NBP1-154
308778	NBP1-155
2843851	NBP1-156
308778	NBP1-157
2843851	NBP1-158
308778	NBP1-159
2843851	NBP1-160
308778	NBP1-161
2843851	NBP1-162
308778	NBP1-163
2843851	NBP1-164
308778	NBP1-165
2843851	NBP1-166
308778	NBP1-167
2843851	NBP1-168
308778	NBP1-169
2843851	NBP1-170
308778	NBP1-171
2843851	NBP1-172
308778	NBP1-173
2843851	NBP1-174
308778	NBP1-175
2843851	NBP1-176
308778	NBP1-177
2843851	NBP1-178
308778	NBP1-179
2843851	NBP1-180
308778	NBP1-181
2843851	NBP1-182
308778	NBP1-183
2843851	NBP1-184
308778	NBP1-185
2843851	NBP1-186
308778	NBP1-187
2843851	NBP1-188
308778	NBP1-189
2843851	NBP1-190
308778	NBP1-191
2843851	NBP1-192
308778	NBP1-193
2843851</td	

【図 6-28】

TCID	遺伝子名29
2384015	NOSTAP
2514216	NOSTRIN
2431112	NGTC1H2
2431112	NGTC1H2NL
2449601	NOTCH14
3113202	NOV
3568745	NOVA1
4015401	NOX1
3385981	NOX4
3527514	NP
3347888	NPAT
3801411	NPCC1
3801411	NPCC1
3571904	NPCC2
3230697	NPDC1
3891008	NPFL1
3724835	NPFL3
4040447	NPFL4
2895648	NPFLP
3850309	NPFLP
3852077	NPFLP
3862077	NPFLP1
2370926	NPL
3774029	NPLLOC
3404436	NPML
3068048	NPML2
2738378	NPNT
2359780	NPRL
2806533	NPRL3
2767127	NPRLR
3268488	NOG1
3756048	NR1D1
2014142	NR1D2
3666696	NR2C2AP
3810110	NR2F2
2787032	NR3C1
3415229	NR4A1
3161978	NR4A3
3225096	NR8A1
3067478	NRCA1
3023565	NRF1
3925038	NRIP1
3250140	NSD1
9284592	NSP1
2524301	NSP2
2568374	NSRN1
2562643	NRXN1
3545634	NRXN3
3068048	NSAP11
2842951	NSD1
3724197	NSF
3804637	NSFL1C
2847292	NSN2

TCID	遺伝子名29
2334706	NSUN4
3280224	NSUN6
3319119	OLFML1
3444043	OLR1
2685348	OPA1
3295782	OPALIN
3359524	OPA1L
3181578	OPAH1
2892219	OPRM1
3358639	NTM
3133330	NTAN1
3568656	NTM
3498666	NTNA4
3353014	NTD1P1
2361761	NTRK1
3171711	NTRK2
3037818	NTRK3
2452405	NUAK2
3643162	NUBP2
3631366	NUBL
3322281	NUCB2
2900832	NUDC
310713	NUDC
3198159	NUDF1
3045247	NUDF10
3006327	NUDT11
3541485	NUDT14
3045948	NUDT16
2842543	NUDT16P
3622247	NUDT17
2432247	NUDT17
2901190	NU2WS3
3706517	NR344
3329983	NR4B1
3235615	NR4B2
3322004	NR4B6
3453724	NR4B8
2742109	NUDT6
3284438	NUF2
3512449	NUFIP1
3671347	NUMB
2707127	NUK1R
3643808	NUPL153
4012821	NUPL1CL
3685408	NUPL2
3358610	NUPL8
3470797	NUPLD2
3654609	NUPLB
3145436	NSB
2923000	NSLR1
3693398	NSUAP1
3041876	OSBP1
3278165	NXF1
3739867	NXN
3305017	OBFC1
3417465	OBFC2B
3283399	OBGCN
2965144	OSTM
2768602	OTOP1
2785195	OTUD4
3010162	OSPL1A
3041876	OSPL1B
3295338	OSCR1
2456112	OTX1
2730281	OQAM
3366178	OTX2
2421211	OQF2A
2408095	OTX2
2807359	OSMR
3023565	OTXR1
3214804	OCN
3081120	OGT
2587615	OLA1

TCID	遺伝子名29
3155333	PLAT
3262038	PLAU
3264959	PLAU
2475042	PLB1
3657642	PLCB1
3657524	PLCKAP2
3334372	PLCB3
3595905	PLCB4
2432847	PLCD3
3685274	PLCP1
3265677	PLCE1
2904504	PLCH2
2316574	PLCL1
3216574	PLCL2
4005121	PLD1
2902263	PLD2
3216574	PLD3
3428265	PLGA
4005121	PLGA
2612163	PLLC1
3009580	PLMS2L3
2934181	PLND1C
3571542	PNMA1
3128731	PNMA2
3319287	PNPLA2
3067502	PNPLA8
4042198	PNRC2
3235226	PNCB14
3216505	PNCH3
3235226	PNCH4
3216505	PNCH5
3073757	PNCH6
3235226	PNCH7
3235226	PNCH8
3235226	PNCH9
3235226	PNCH10
3235226	PNCH11
3235226	PNCH12
3235226	PNCH13
3235226	PNCH14
3235226	PNCH15
3235226	PNCH16
3235226	PNCH17
3235226	PNCH18
3235226	PNCH19
3235226	PNCH20
3235226	PNCH21
3235226	PNCH22
3235226	PNCH23
3235226	PNCH24
3235226	PNCH25
3235226	PNCH26
3235226	PNCH27
3235226	PNCH28
3235226	PNCH29
3235226	PNCH30
3235226	PNCH31
3235226	PNCH32
3235226	PNCH33
3235226	PNCH34
3235226	PNCH35
3235226	PNCH36
3235226	PNCH37
3235226	PNCH38
3235226	PNCH39
3235226	PNCH40
3235226	PNCH41
3235226	PNCH42
3235226	PNCH43
3235226	PNCH44
3235226	PNCH45
3235226	PNCH46
3235226	PNCH47
3235226	PNCH48
3235226	PNCH49
3235226	PNCH50
3235226	PNCH51
3235226	PNCH52
3235226	PNCH53
3235226	PNCH54
3235226	PNCH55
3235226	PNCH56
3235226	PNCH57
3235226	PNCH58
3235226	PNCH59
3235226	PNCH60
3235226	PNCH61
3235226	PNCH62
3235226	PNCH63
3235226	PNCH64
3235226	PNCH65
3235226	PNCH66
3235226	PNCH67
3235226	PNCH68
3235226	PNCH69
3235226	PNCH70
3235226	PNCH71
3235226	PNCH72
3235226	PNCH73
3235226	PNCH74
3235226	PNCH75
3235226	PNCH76
3235226	PNCH77
3235226	PNCH78
3235226	PNCH79
3235226	PNCH80
3235226	PNCH81
3235226	PNCH82
3235226	PNCH83
3235226	PNCH84
3235226	PNCH85
3235226	PNCH86
3235226	PNCH87
3235226	PNCH88
3235226	PNCH89
3235226	PNCH90
3235226	PNCH91
3235226	PNCH92
3235226	PNCH93
3235226	PNCH94
3235226	PNCH95
3235226	PNCH96
3235226	PNCH97
3235226	PNCH98
3235226	PNCH99
3235226	PNCH100
3235226	PNCH101
3235226	PNCH102
3235226	PNCH103
3235226	PNCH104
3235226	PNCH105
3235226	PNCH106
3235226	PNCH107
3235226	PNCH108
3235226	PNCH109
3235226	PNCH110
3235226	PNCH111
3235226	PNCH112
3235226	PNCH113
3235226	PNCH114
3235226	PNCH115
3235226	PNCH116
3235226	PNCH117
3235226	PNCH118
3235226	PNCH119
3235226	PNCH120
3235226	PNCH121
3235226	PNCH122
3235226	PNCH123
3235226	PNCH124
3235226	PNCH125
3235226	PNCH126
3235226	PNCH127
3235226	PNCH128
3235226	PNCH129
3235226	PNCH130
3235226	PNCH131
3235226	PNCH132
3235226	PNCH133
3235226	PNCH134
3235226	PNCH135
3235226	PNCH136
3235226	PNCH137
3235226	PNCH138
3235226	PNCH139
3235226	PNCH140
3235226	PNCH141
3235226	PNCH142
3235226	PNCH143
3235226	PNCH144
3235226	PNCH145
3235226	PNCH146
3235226	PNCH147
3235226	PNCH148
3235226	PNCH149
3235226	PNCH150
3235226	PNCH151
3235226	PNCH152
3235226	PNCH153
3235226	PNCH154
3235226	PNCH155
3235226	PNCH156
3235226	PNCH157
3235226	PNCH158
3235226	PNCH159
3235226	PNCH160
3235226	PNCH161
3235226	PNCH162
3235226	PNCH163
3235226	PNCH164
3235226	PNCH165
3235226	PNCH166
3235226	PNCH167
3235226	PNCH168
3235226	PNCH169
3235226	PNCH170
3235226	PNCH171
3235226	PNCH172
3235226	PNCH173
3235226	PNCH174
3235226	PNCH175
3235226	PNCH176
3235226	PNCH177
3235226	PNCH178
3235226	PNCH179
3235226	PNCH180
3235226	PNCH181
3235226	PNCH182
3235226	PNCH183
3235226	PNCH184
3235226	PNCH185
3235226	PNCH186
3235226	PNCH187
3235226	PNCH188
3235226	PNCH189
3235226	PNCH190
3235226	PNCH191
3235226	PNCH192
3235226	PNCH193
3235226	PNCH194
3235226	PNCH195
3235226	PNCH196
3235226	PNCH197
3235226	PNCH198
3235226	PNCH199
3235226	PNCH200
3235226	PNCH201
3235226	PNCH202
3235226	PNCH203
3235226	PNCH204
3235226	PNCH205
3235226	PNCH206
3235226	PNCH207
3235226	PNCH208
3235226	PNCH209
3235226	PNCH210
3235226	PNCH211
3235226	PNCH212
3235226	PNCH213
3235226	PNCH214
3235226	PNCH215
3235226	PNCH216
3235226	PNCH217
3235226	PNCH218
3235226	PNCH219
3235226	PNCH220
3235226	PNCH221
3235226	PNCH222
3235226	PNCH223
3235226	PNCH224
3235226	PNCH225
3235226	PNCH226
3235226	PNCH227
3235226	PNCH228
3235226	PNCH229
3235226	PNCH230
3235226	PNCH231
3235226	PNCH232
3235226	PNCH233
3235226	PNCH234
3235226	PNCH235
3235226	PNCH236
3235226	PNCH237
3235226	PNCH238
3235226	PNCH239
3235226	PNCH240
3235226	PNCH241
3235226	PNCH242
3235226	PNCH243
3235226	PNCH244
3235226	PNCH245
3235226	PNCH246
3235226	PNCH247
3235226	PNCH248
3235226	PNCH249
3235226	PNCH250
3235226	PNCH251
3235226	PNCH252
3235226	PNCH253
3235226	PNCH254
3235226	PNCH255
3235226	PNCH256
3235226	PNCH257
3235226	PNCH258
3235226	PNCH

【図 6 - 3 2】

TCID	遺伝子_nu20
2266883	PRPF58A
3534201	PRPF58B
3221543	PRPF4
3414104	PRPF40B
3454006	PRPF40B
2892738	PRPF48
3413852	PRPH
3998514	PRPS1
3998514	PRPS1L
3771813	PRPSAP1
3838824	PRR12
3883318	FRR14
2904801	PRR15
2854543	PRR16
3582520	PRP2
3678002	PRR01
2682473	PRRT3
2394798	PRRX1
3028766	PRRS1
2898808	PRRS16
3028766	PRRS2
3343452	PRRS23
3028766	PRRS3
9281703	PRTFDC1
2956623	PRUNE
3210815	PRUNE2
3210467	PRUNE4
4038437	PRY
4038437	PRY2
3232762	PSAP
3150711	PSAT1
3126366	PSD3
3126191	PSD3
2501238	PSD4
3543481	PSEN1
3863929	PSG1
3883781	PSG1
3843829	PSG11
3883829	PSG2
3883781	PSG2
3883781	PSG3
3853929	PSG4
3883781	PSG5
3883781	PSG6
3883781	PSG7
3883929	PSG8
3883781	PSG9
3883781	PSIMCT-1

TCID	遺伝子_nu20
3060478	PTPTE12
3036602	PTPTE22
3953597	PSMA1
3817861	PSMA7
2358908	PSMB4
2600098	PTPRM
2003285	PSMB8
2327817	PTPRU
3372209	PSMC3
3721881	PSMC3P
3883291	PSMC4
2838201	PTTG1
2838201	PTTG2
2404254	PUM1
2542816	PUM2
2612701	PSMD14
2317038	PUSL1
3015442	PVRIG
3391201	PTPL1
3285235	PTPL2
2886406	PVRIG
3873289	PSME1
2585441	PVRIL3
3354065	PTMK3
3134222	PYDNL
2349606	PTBP2
2821617	PXK
3014742	PTC01
3215851	PTCH1
3562410	PYGL
3625440	PYQO1
3727767	PTEN
3286251	PTENP1
3267684	PTER
3635752	PTGDR
3444344	PZP
3443348	PZP
3236717	PTGRN
3220673	PTGR1
2782334	QDP1
2474738	QPCT
3156578	QSER1
2280001	QTK1
3405207	PTMA
3283244	QTRE
3402736	PTMS
3820727	QTTR7
3074857	PTN
3458451	PTNDM2
3639006	PTOV1
2911903	PTPA1
3131741	PTAH1FIP1
2404819	PTPA2
3181616	PTPA3
3180142	PTPC01
3279882	PTPLA
3164601	PTPLAD2
2692411	PTPLB
3281894	PTPM1
3622371	PTB27A
3788972	PTC7
3788978	PTB27B
3298334	PTC7
3883781	PTC7
27234620	PTPN13
2565652	PTPN14
2456518	PTPN14
2505629	PTPN16
2428795	PTPN22
3219323	PTPN23
3219365	PTPN3
3674023	PTPRA
3707642	PTPRC
3086750	RABEP1
3166209	RABCAP1

【図 6 - 3 3】

TCID	遺伝子_nu29
2349703	RABAP1L
2342624	RABCGB
3294420	RAC01
3451980	RACGAP1
3454223	RACGAP1
3451980	RACGAP1P
2817941	RAGRF2
2820597	RAD11G
2870187	RAET1G
2870257	RAET1L
2979187	RAET1L
2883244	RAF1
3327143	RAG1
2360700	RAG1AP1
3369931	RAG2
3680234	RAGE
3712078	RAI1
4001223	RAI2
2693420	RALB
3228523	RALGD8
3417563	RBM52
2815060	RBM53
2897863	RBP7
3914307	RGS519
3496568	RBNM2
3519118	RBNM28
3978619	RBNM3
3033307	RBNM33
2822468	RBM5
2822469	RBM6
3348245	RBNM14
2675628	RBNM15B
3566688	RBNM23
3519118	RBNM28
3978619	RBNM3
3033307	RBNM33
2822468	RBM5
3348245	RBNM14
2675628	RBNM15B
3566688	RBNM23
3519118	RBNM28
3978619	RBNM3
3033307	RBNM33
2822468	RBM5
3348245	RBNM14
2675628	RBNM15B
3566688	RBNM23
3519118	RBNM28
3978619	RBNM3
3033307	RBNM33
2822468	RBM5
3348245	RBNM14
2675628	RBNM15B
3566688	RBNM23
3519118	RBNM28
3978619	RBNM3
3033307	RBNM33
2822468	RBM5
3348245	RBNM14
2675628	RBNM15B
3566688	RBNM23
3519118	RBNM28
3978619	RBNM3
3033307	RBNM33
2822468	RBM5
3348245	RBNM14
2675628	RBNM15B
3566688	RBNM23
3519118	RBNM28
3978619	RBNM3
3033307	RBNM33
2822468	RBM5
3348245	RBNM14
2675628	RBNM15B
3566688	RBNM23
3519118	RBNM28
3978619	RBNM3
3033307	RBNM33
2822468	RBM5
3348245	RBNM14
2675628	RBNM15B
3566688	RBNM23
3519118	RBNM28
3978619	RBNM3
3033307	RBNM33
2822468	RBM5
3348245	RBNM14
2675628	RBNM15B
3566688	RBNM23
3519118	RBNM28
3978619	RBNM3
3033307	RBNM33
2822468	RBM5
3348245	RBNM14
2675628	RBNM15B
3566688	RBNM23
3519118	RBNM28
3978619	RBNM3
3033307	RBNM33
2822468	RBM5
3348245	RBNM14
2675628	RBNM15B
3566688	RBNM23
3519118	RBNM28
3978619	RBNM3
3033307	RBNM33
2822468	RBM5
3348245	RBNM14
2675628	RBNM15B
3566688	RBNM23
3519118	RBNM28
3978619	RBNM3
3033307	RBNM33
2822468	RBM5
3348245	RBNM14
2675628	RBNM15B
3566688	RBNM23
3519118	RBNM28
3978619	RBNM3
3033307	RBNM33
2822468	RBM5
3348245	RBNM14
2675628	RBNM15B
3566688	RBNM23
3519118	RBNM28
3978619	RBNM3
3033307	RBNM33
2822468	RBM5
3348245	RBNM14
2675628	RBNM15B
3566688	RBNM23
3519118	RBNM28
3978619	RBNM3
3033307	RBNM33
2822468	RBM5
3348245	RBNM14
2675628	RBNM15B
3566688	RBNM23
3519118	RBNM28
3978619	RBNM3
3033307	RBNM33
2822468	RBM5
3348245	RBNM14
2675628	RBNM15B
3566688	RBNM23
3519118	RBNM28
3978619	RBNM3
3033307	RBNM33
2822468	RBM5
3348245	RBNM14
2675628	RBNM15B
3566688	RBNM23
3519118	RBNM28
3978619	RBNM3
3033307	RBNM33
2822468	RBM5
3348245	RBNM14
2675628	RBNM15B
3566688	RBNM23
3519118	RBNM28
3978619	RBNM3
3033307	RBNM33
2822468	RBM5
3348245	RBNM14
2675628	RBNM15B
3566688	RBNM23
3519118	RBNM28
3978619	RBNM3
3033307	RBNM33
2822468	RBM5
3348245	RBNM14
2675628	RBNM15B
3566688	RBNM23
3519118	RBNM28
3978619	RBNM3
3033307	RBNM33
2822468	RBM5
3348245	RBNM14
2675628	RBNM15B
3566688	RBNM23
3519118	RBNM28
3978619	RBNM3
3033307	RBNM33
2822468	RBM5
3348245	RBNM14
2675628	RBNM15B
3566688	RBNM23
3519118	RBNM28
3978619	RBNM3
3033307	RBNM33
2822468	RBM5
3348245	RBNM14
2675628	RBNM15B
3566688	RBNM23
3519118	RBNM28
3978619	RBNM3
3033307	RBNM33
2822468	RBM5
3348245	RBNM14
2675628	RBNM15B
3566688	RBNM23
3519118	RBNM28
3978619	RBNM3
3033307	RBNM33
2822468	RBM5
3348245	RBNM14
2675628	RBNM15B
3566688	RBNM23
3519118	RBNM28
3978619	RBNM3
3033307	RBNM33
2822468	RBM5
3348245	RBNM14
2675628	RBNM15B
3566688	RBNM23
3519118	RBNM28
3978619	RBNM3
3033307	RBNM33
2822468	RBM5
3348245	RBNM14
2675628	RBNM15B
3566688	RBNM23
3519118	RBNM28
3978619	RBNM3
3033307	RBNM33
2822468	RBM5
3348245	RBNM14
2675628	RBNM15B
3566688	RBNM23
3519118	RBNM28
3978619	RBNM3
3033307	RBNM33
2822468	RBM5
3348245	RBNM14
2675628	RBNM15B
3566688	RBNM23
3519118	RBNM28
3978619	RBNM3
3033307	RBNM33
2822468	RBM5
3348245	RBNM14
2675628	RBNM15B
3566688	RBNM23
3519118	RBNM28
3978619	RBNM3
3033307	RBNM33
2822468	RBM5
3348245	RBNM14
2675628	RBNM15B
3566688	RBNM23
3519118	RBNM28
3978619	RBNM3
3033307	RBNM33
2822468	RBM5
3348245	RBNM14
2675628	RBNM15B
3566688	RBNM23
3519118	RBNM28
3978619	RBNM3
3033307	RBNM33
2822468	RBM5
3348245	RBNM14
2675628	RBNM15B
3566688	RBNM23
3519118	RBNM28
3978619	RBNM3
3033307	RBNM33
2822468	RBM5
3348245	RBNM14
2675628	RBNM15B
3566688	RBNM23
3519118	RBNM28
3978619	RBNM3
3033307	RBNM33
2822468	RBM5
3348245	RBNM14
2675628	RBNM15B
3566688	RBNM23
3519118	RBNM28
3978619	RBNM3
3033307	RBNM33
2822468	RBM5
3348245	RBNM14
2675628	RBNM15B
3566688	RBNM23
3519118	RBNM28
3978619	RBNM3
3033307	RBNM33
2822468	RBM5
3348245	RBNM14
2675628	RBNM15B
3566688</	

【図 6 - 36】

TCID	遺伝子 na29
2001414	SEPNIN1
3333657	SERPING1
2440305	SERPINH1
2551185	SERPINH1
5367259	SESN3
2589929	SETD1
2672632	SETD2
3676205	SETD3
3630781	SETD4
2609406	SETD5
3489414	SETD6
3228007	SETX
3687277	SEZ6L
3687281	SF983
3842988	SFI1
2076816	SIMBLT1
2324143	SIP1
3128278	SIPR1
3206681	SIPR17A
3771800	SIPR5
2403740	SIPR54
3747324	SIPR56
3886050	SIPR88
2548070	SIPR87
2386156	SIFT2D2
2948883	SIFT42
2562435	SIFTB
2842101	SIFXN1
3200985	SIFXN3
2789861	SIGC8
2937029	SIGG3
3007124	SIGK2
2848536	SIGK5
2340895	SIGP1
2976014	SICK1
3096545	SIGK196
3101802	SIGK3
3101786	SIGK3
3280235	SIGMS1
2738684	SIGM52
3208683	SIGP1
3506108	SIGPP1
2528421	SIGPP2
3431892	SH2B3
3088213	SH2D4A
3088214	SH2D4B
3228804	SH3GLB2
3717432	SH3GLP1
3304970	SH3PXD2A
2887164	SH3PXD2B
2783137	SH3RF1
3126894	SLC18A1
2838924	SH3RF2
3380965	SHANK2
3180685	SLC1A1
2485838	SLC1A4
3205659	SHB

TCID	遺伝子 na29
2982647	SHBG
3373031	SLC22A4
3373031	SLC22A5
3213847	SLC23A3
2772334	SLC24A5
3892334	SLC24A5
3593104	SLC24A5
2673270	SLC24S
3418007	SLC25A5
3595243	SLC25A5
3202163	SLC25A13
3968360	SLC26OM2
3486728	SLC26A15
2090167	SLC25A27
2319340	SLC26A33
3689619	SIGLEC12
3686907	SIGLEC8
3009006	SLC26A37
3689619	SIGLEC7
3377569	SLC25A45
3897390	SLC26A45
3244111	SLC27A1
2787059	SLC27A1
3418394	SLC27A1
2827645	SLC27A6
3212420	SLC28A3
3042810	SLC28A4
2588564	SLC28A4
3106559	SLC28A7
2440811	SLC28A12
2645275	SLC25A5
3894727	SIRPA
3595675	SLC27A2
3249587	SIRT1
3577788	SIRT3
3434034	SIRT4
3474536	SIRT5
3018605	SLC28A4
2542847	SIPA1L1
2440811	SIPA1L2
3106559	SIPCA9
2442754	SLC23A9
3595675	SLC27A3
2239885	SLC27A3
3042810	SLC27A5
3244111	SLC27A5
2787059	SLC27A6
3434034	SLC27A7
3212420	SLC28A3
2588564	SLC28A4
3106559	SLC28A5
2627525	SLC24A2
2701927	SLC33A1
2721959	SLC33A2
3009006	SLC34A2
3696035	SLC124
3871312	SLC128
2956061	SLC38B2
2887268	SLC16A2
3040987	SLC38B3
3477917	SLC16A4
3074039	SLC35B4
3239018	SLC35C1
2921402	SLC16A10
3239018	SLC35C1
3454578	SLC16A2
2735381	SLC39A5
2827525	SLC124
2701927	SLC33A1
2721959	SLC33A2
3009006	SLC34A2
3696035	SLC124
3871312	SLC128
2956061	SLC38B2
2887268	SLC16A2
3040987	SLC38B3
3477917	SLC16A4
3074039	SLC35B4
3239018	SLC35C1
2921402	SLC16A10
3239018	SLC35C1
3454578	SLC16A2
2735381	SLC39A5
2827525	SLC124
2701927	SLC33A1
2721959	SLC33A2
3009006	SLC34A2
3696035	SLC124
3871312	SLC128
2956061	SLC38B2
2887268	SLC16A2
3040987	SLC38B3
3477917	SLC16A4
3074039	SLC35B4
3239018	SLC35C1
2921402	SLC16A10
3239018	SLC35C1
3454578	SLC16A2
2735381	SLC39A5
2827525	SLC124
2701927	SLC33A1
2721959	SLC33A2
3009006	SLC34A2
3696035	SLC124
3871312	SLC128
2956061	SLC38B2
2887268	SLC16A2
3040987	SLC38B3
3477917	SLC16A4
3074039	SLC35B4
3239018	SLC35C1
2921402	SLC16A10
3239018	SLC35C1
3454578	SLC16A2
2735381	SLC39A5
2827525	SLC124
2701927	SLC33A1
2721959	SLC33A2
3009006	SLC34A2
3696035	SLC124
3871312	SLC128
2956061	SLC38B2
2887268	SLC16A2
3040987	SLC38B3
3477917	SLC16A4
3074039	SLC35B4
3239018	SLC35C1
2921402	SLC16A10
3239018	SLC35C1
3454578	SLC16A2
2735381	SLC39A5
2827525	SLC124
2701927	SLC33A1
2721959	SLC33A2
3009006	SLC34A2
3696035	SLC124
3871312	SLC128
2956061	SLC38B2
2887268	SLC16A2
3040987	SLC38B3
3477917	SLC16A4
3074039	SLC35B4
3239018	SLC35C1
2921402	SLC16A10
3239018	SLC35C1
3454578	SLC16A2
2735381	SLC39A5
2827525	SLC124
2701927	SLC33A1
2721959	SLC33A2
3009006	SLC34A2
3696035	SLC124
3871312	SLC128
2956061	SLC38B2
2887268	SLC16A2
3040987	SLC38B3
3477917	SLC16A4
3074039	SLC35B4
3239018	SLC35C1
2921402	SLC16A10
3239018	SLC35C1
3454578	SLC16A2
2735381	SLC39A5
2827525	SLC124
2701927	SLC33A1
2721959	SLC33A2
3009006	SLC34A2
3696035	SLC124
3871312	SLC128
2956061	SLC38B2
2887268	SLC16A2
3040987	SLC38B3
3477917	SLC16A4
3074039	SLC35B4
3239018	SLC35C1
2921402	SLC16A10
3239018	SLC35C1
3454578	SLC16A2
2735381	SLC39A5
2827525	SLC124
2701927	SLC33A1
2721959	SLC33A2
3009006	SLC34A2
3696035	SLC124
3871312	SLC128
2956061	SLC38B2
2887268	SLC16A2
3040987	SLC38B3
3477917	SLC16A4
3074039	SLC35B4
3239018	SLC35C1
2921402	SLC16A10
3239018	SLC35C1
3454578	SLC16A2
2735381	SLC39A5
2827525	SLC124
2701927	SLC33A1
2721959	SLC33A2
3009006	SLC34A2
3696035	SLC124
3871312	SLC128
2956061	SLC38B2
2887268	SLC16A2
3040987	SLC38B3
3477917	SLC16A4
3074039	SLC35B4
3239018	SLC35C1
2921402	SLC16A10
3239018	SLC35C1
3454578	SLC16A2
2735381	SLC39A5
2827525	SLC124
2701927	SLC33A1
2721959	SLC33A2
3009006	SLC34A2
3696035	SLC124
3871312	SLC128
2956061	SLC38B2
2887268	SLC16A2
3040987	SLC38B3
3477917	SLC16A4
3074039	SLC35B4
3239018	SLC35C1
2921402	SLC16A10
3239018	SLC35C1
3454578	SLC16A2
2735381	SLC39A5
2827525	SLC124
2701927	SLC33A1
2721959	SLC33A2
3009006	SLC34A2
3696035	SLC124
3871312	SLC128
2956061	SLC38B2
2887268	SLC16A2
3040987	SLC38B3
3477917	SLC16A4
3074039	SLC35B4
3239018	SLC35C1
2921402	SLC16A10
3239018	SLC35C1
3454578	SLC16A2
2735381	SLC39A5
2827525	SLC124
2701927	SLC33A1
2721959	SLC33A2
3009006	SLC34A2
3696035	SLC124
3871312	SLC128
2956061	SLC38B2
2887268	SLC16A2
3040987	SLC38B3
3477917	SLC16A4
3074039	SLC35B4
3239018	SLC35C1
2921402	SLC16A10
3239018	SLC35C1
3454578	SLC16A2
2735381	SLC39A5
2827525	SLC124
2701927	SLC33A1
2721959	SLC33A2
3009006	SLC34A2
3696035	SLC124
3871312	SLC128
2956061	SLC38B2
2887268	SLC16A2
3040987	SLC38B3
3477917	SLC16A4
3074039	SLC35B4
3239018	SLC35C1
2921402	SLC16A10
3239018	SLC35C1
3454578	SLC16A2
2735381	SLC39A5
2827525	SLC124
2701927	SLC33A1
2721959	SLC33A2
3009006	SLC34A2
3696035	SLC124
3871312	SLC128
2956061	SLC38B2
2887268	SLC16A2
3040987	SLC38B3
3477917	SLC16A4
3074039	SLC35B4
3239018	SLC35C1
2921402	SLC16A10
3239018	SLC35C1
3454578	SLC16A2
2735381	SLC39A5
2827525	SLC124
2701927	SLC33A1
2721959	SLC33A2
3009006	SLC34A2
3696035	SLC124
3871312	SLC128
2956061	SLC38B2
2887268	SLC16A2
3040987	SLC38B3
3477917	SLC16A4
3074039	SLC35B4
3239018	SLC35C1
2921402	SLC16A10
3239018	SLC35C1
3454578	SLC16A2
2735381	SLC39A5
2827525	SLC124
2701927	SLC33A1
2721959	SLC33A2
3009006	SLC34A2
3696035	SLC124
3871312	SLC128
2956061	SLC38B2
2887268	SLC16A2
3040987	SLC38B3
3477917	SLC16A4
3074039	SLC35B4
3239018	SLC35C1
2921402	SLC16A10
3239018	SLC35C1
3454578	SLC16A2
2735381	SLC39A5
2827525	SLC124
2701927	SLC33A1
2721959	SLC33A2
3009006	SLC34A2
3696035	SLC124
3871312	SLC128
2956061	SLC38B2
2887268	SLC16A2
3040987	SLC38B3
3477917	SLC16A4
3074039	SLC35B4
3239018	SLC35C1
2921402	SLC16A10
3239018	SLC35C1
3454578	SLC16A2
2735381	SLC39A5
2827525	SLC124
2701927	SLC33A1
27219	

【図 6-40】

TCID	遺伝子 na29
3116614	TG
2568612	TGFA
2230251	TGFB2
2161728	TGFBR1
2615380	TGFBR2
2422722	TGFBR3
3776504	TGF1
2562198	TGOLN2
3096835	TGS1
2550542	THADA
3007694	THAP5
3504648	THBS1
3626581	THEM4
2288103	THOC3
3893654	THOC5
3577351	THOC6
3767446	THR4
2088147	THSD
3341407	THSP
3514879	THSD1
3514879	THSD1P
3600283	THSD4
2671621	TMED7
2566811	TI1A1
3182222	TMEDFF1
3129948	TMEM006
3626665	TMEM011
3763380	TMEM100
2052508	TMAM2
2671821	TICAM2
2333051	TIE1
2792230	TIF1A
2725133	TIGD2
2583283	TIM4
2274956	TMIM17A
3289031	TMIM22
3433033	TMIM46
3078534	TMIP1
3772681	TMIP2
3843504	TMIP3
2663130	TMIP4
3568012	TINF2
2849113	TIARP
3883611	TIIP1
2369132	TIIP4
3366011	TIIP5
2420209	TIIP6
3616579	TIIP7
3173860	TIIP2
3817116	TIIP3
3895107	TK2
3781042	TLCD1
3211579	TLIE1
3178209	TLIE4
3211579	TLIE4
2750753	TLI1
3659125	TLN2

TCID	遺伝子 na29
2765162	TLR10
2746348	TLR2
3036929	TLR3
2926560	TLR4
3027435	TLR5
3149544	TLR6
2700345	TM4SF1
3749525	TMEM220
2981317	TMEM30A
2726532	TMEM33
3448481	TMEM39A
3110608	TMEM84
3881688	TMEM84
3414168	TMEM86
3635578	TMEMC3
2404675	TMEM47
2134323	TMEM48
2609762	TMEM49
3136015	TMEM50
2317426	TMEM51
2421214	TMEM54
3045778	TMED4
2422264	TMED5
3081516	TMEM60
3591281	TMEM82
3129948	TMEM90
3136015	TMEM98
2316152	TMEM99
2406089	TMEM99
3475688	TMEM128
3751904	TMEM132D
3346147	TMEM133
3387481	TMEM135
3654765	TMEM136
3029016	TMEM139
2493860	TMEM144
3836330	TMEM147
2910364	TMEM148
3336336	TMEMR513
2701204	TMEM149
2495387	TMEM150
3187767	TMEM151
3161240	TMED01
3051783	TMED02
3417545	TMEM157
3388231	TMEM162
3795658	TMEM168
3475688	TMEM172
3116124	TMEM177
3384622	TMEM180A
2900520	TMEM180B
3431278	TMEM180C
3898988	TMEM184
3265244	TMEM188
3081516	TMEM190
3758183	TMEM191
3775942	TMEM192
3765268	TMEM193
2424957	TMEM195
3705988	TMEM196
3420029	TMEM197
3088476	TMEM198
2616220	TMEM199
3812204	TMEM200
2726921	TMEM511E2
2910364	TMEM144A
3336336	TMEMR513
3381203	TMEMR514
2701204	TMEM145
2495387	TMEM146
3187767	TMEM147
3161240	TMED01
3051783	TMED02
3417545	TMEM157
3388231	TMEM162
3795658	TMEM168
3475688	TMEM172
3116124	TMEM177
3384622	TMEM180A
2900520	TMEM180B
3127703	TMFRS8
3069816	TMFRS10B
3659588	TMEM188

【図 6-41】

TCID	遺伝子 na29
3150455	TNFRSF11B
3645555	TNFRSF12A
3464149	TNFRSF11
3441849	TNFSF1A
2666052	TNFSF21
2705706	TNFSF10
3487269	TNFSF11
3500787	TNFSF13B
2726532	TNF8F16
2444593	TNF8F18
2705268	TNIK
3085270	TNIKS
3373675	TNIKSBP1
3267850	TNIKS2
2342172	TNIK3K
2620492	TNIK3K
2450708	TNIK62
3411117	TNIK7
3222128	TNF8F16
3444593	TNF8F18
2705617	TNIK
3364451	TNIK7
3388456	TNIK8
3322267	TNIKBP1
35628172	TNIKJ
3241920	TNIK8
3319303	TNIK1
2987227	TNIK2
3341625	TNIK3
3265402	TNP01
3661661	TNP02
3653398	TNP05A
3849102	TNP08B
2809153	TNS1
3048220	TNS3
2949828	TNXA
3494822	TNXB
3762743	TOB1
3607111	TOMM34
3157385	TOP1MT
29006720	TREM1
29006720	TREM2
3758183	TCPA
3747452	TCPB
3747452	TCPB3
2805941	TCPBP1
2926720	TCPD4
2884922	TRERF1
3011650	TRERF1
3464916	TRERF1A1P1
2916133	TRERF1B
3138888	TOX
2457842	TP53BP2
2544201	TP53D3
3145149	TP53NP1
3883013	TP53NP2
3060096	TP53TG1
2317317	TP73
3217123	TRM14
3161133	TRP10
3141857	TRP05
3746845	TRM18
3238485	TRM18L
3262041	TRSC1
3620368	TRSC2
3262036	TRSC4
3327948	TTC17
2850734	TTC23
3277948	TTC25
3622511	TPR4
2948269	TPR26
2920168	TRUKN
3340987	UTRAG
2944205	TPMT
3126554	TPQ
3466554	TPPO
3090568	TPR14A
3490504	TPR14A
3090568	UTP14C
3405054	UTP14C
3726992	UTP18
2992168	UTRN
3340987	UTRAG
3441941	VAMP1
3744217	VAMP2
2443989	VAMP4
3771037	WBP2
3233705	WBP1
3385543	WBPL1
3259526	WBPL2
3778691	WPAP1
3787024	WPAP2
2602213	WRAS2
3758291	WAT1
3492051	WAT2
3606532	WATL1
2426538	WAV3
3565571	WHDH
3906515	WPB1
3262071	WCL
2752478	WDR17
3688386	WCX1
3688386	WCX2
3688386	WCX3A
3688386	WCX3B
3688386	WCY
2345802	WDPR8
3432422	WDQ3
3688386	WDR1
3277723	WDR17
3202355	WDR20A
2805336	WDR21
2826211	WDR21B
3490510	WDR20
3566928	WDR22
2555490	XPBP1
3688339	XPBP2
3068292	XPBP3
3068292	XPBP4
3068292	XPBP5
3068292	XPBP6
3068292	XPBP7
3068292	XPBP8
3068292	XPBP9
3068292	XPBP10
3068292	XPBP11
3068292	XPBP12
3068292	XPBP13
3068292	XPBP14
3068292	XPBP15
3068292	XPBP16
3068292	XPBP17
3068292	XPBP18
3068292	XPBP19
3068292	XPBP20
3068292	XPBP21
3068292	XPBP22
3068292	XPBP23
3068292	XPBP24
3068292	XPBP25
3068292	XPBP26
3068292	XPBP27
3068292	XPBP28
3068292	XPBP29
3068292	XPBP30
3068292	XPBP31
3068292	XPBP32
3068292	XPBP33
3068292	XPBP34
3068292	XPBP35
3068292	XPBP36
3068292	XPBP37
3068292	XPBP38
3068292	XPBP39
3068292	XPBP40
3068292	XPBP41
3068292	XPBP42
3068292	XPBP43
3068292	XPBP44
3068292	XPBP45
3068292	XPBP46
3068292	XPBP47
3068292	XPBP48
3068292	XPBP49
3068292	XPBP50
3068292	XPBP51
3068292	XPBP52
3068292	XPBP53
3068292	XPBP54
3068292	XPBP55
3068292	XPBP56
3068292	XPBP57
3068292	XPBP58
3068292	XPBP59
3068292	XPBP60
3068292	XPBP61
3068292	XPBP62
3068292	XPBP63
3068292	XPBP64
3068292	XPBP65
3068292	XPBP66
3068292	XPBP67
3068292	XPBP68
3068292	XPBP69
3068292	XPBP70
3068292	XPBP71
3068292	XPBP72
3068292	XPBP73
3068292	XPBP74
3068292	XPBP75
3068292	XPBP76
3068292	XPBP77
3068292	XPBP78
3068292	XPBP79
3068292	XPBP80
3068292	XPBP81
3068292	XPBP82
3068292	XPBP83
3068292	XPBP84
3068292	XPBP85
3068292	XPBP86
3068292	XPBP87
3068292	XPBP88
3068292	XPBP89
3068292	XPBP90
3068292	XPBP91
3068292	XPBP92
3068292	XPBP93
3068292	XPBP94
3068292	XPBP95
3068292	XPBP96
3068292	XPBP97
3068292	XPBP98
3068292	XPBP99
3068292	XPBP100
3068292	XPBP101
3068292	XPBP102
3068292	XPBP103
3068292	XPBP104
3068292	XPBP105
3068292	XPBP106
3068292	XPBP107
3068292	XPBP108
3068292	XPBP109
3068292	XPBP110
3068292	XPBP111
3068292	XPBP112
3068292	XPBP113
3068292	XPBP114
3068292	XPBP115
3068292	XPBP116
3068292	XPBP117
3068292	XPBP118
3068292	XPBP119
3068292	XPBP120
3068292	XPBP121
3068292	XPBP122
3068292	XPBP123
3068292	XPBP124
3068292	XPBP125
3068292	XPBP126
3068292	XPBP127
3068292	XPBP128
3068292	XPBP129
3068292	XPBP130
3068292	XPBP131
3068292	XPBP132
3068292	XPBP133
3068292	XPBP134
3068292	XPBP135
3068292	XPBP136
3068292	XPBP137
3068292	XPBP138
3068292	XPBP139
3068292	XPBP140
3068292	XPBP141
3068292	XPBP142
3068292	XPBP143
3068292	XPBP144
3068292	XPBP145
3068292	XPBP146
3068292	XPBP147
3068292	XPBP148
3068292	XPBP149
3068292	XPBP150
3068292	XPBP151
3068292	XPBP152
3068292	XPBP153
3068292	XPBP154

【図 6 - 4 4】

TCID	遺伝子_na29
2824463	Y1H-C2
2227830	ZYH-C07
3585087	ZYH-HAB
3643207	ZYH-HAH
2530869	ZYH-HAQ
2457677	ZYH-AP1
2437645	ZYH-AP1
3671329	ZY2
3613604	ZADH2
2704052	ZBX
2688409	ZBED2
3347919	ZBTB16
3696089	ZBTB33
3466218	ZBTB39
3166243	ZBTB43
3366241	ZBTB44
2671217	ZBTB45
2411250	ZBTB45C11
5084590	ZCCCH12
3703665	ZCCCH14
3687607	ZCCCH16
3781341	ZCCCH2
3260601	ZCCCH24
2721600	ZCCCH4
2818279	ZCCCH8
3063668	ZCWPW1
3322858	ZDH-C13
2633175	ZDH-C14
3504681	ZDHHC20
3189431	ZDHHC21
3531425	ZDHHC6
3531420	ZDHHC6
4011341	ZDHHC8
2241318	ZEB1
2576572	ZEB2
2528320	ZFAN02B
2605684	ZFAN03
3462094	ZFC3H1
3797016	ZFP161
3842794	ZFP28
3860064	ZFP30
3589754	ZFP36L1
3331730	ZFP61
3331730	ZFP91-CNTF
3111762	ZFP92
3971622	ZFY
3619650	ZFYVE16
3619650	ZFYVE19
3560129	ZFYVE19
3635397	ZFYVE21
3260016	ZFYVE27
2757796	ZFYVE28
3906042	ZHX3

【図 6 - 4 5】

TCID	遺伝子_na29
3672053	ZSCAN1
3018147	ZSCAN1
2722701	ZMA13
3122611	ZMA14
3460129	ZMYM2
4011689	ZMYM3
2320752	ZMYM4
2405929	ZNYND12
3129361	ZNYN5
3603662	ZNF397
3603662	ZNF397DS
3763688	ZNF407
2465561	ZNF124
2908290	ZNF31
3672928	ZNF132
3643742	ZNF135
3655888	ZNF144
3319858	ZNF145
3626318	ZNF155
3651454	ZNF443
3991692	ZNF449
3078774	ZNF467
3642638	ZNF470
2900423	ZNF187
2900372	ZNF193
3369761	ZNF195
2620160	ZNF197
2474851	ZNF512
3717633	ZNF207
3466846	ZNF208
3654220	ZNF208
3101260	ZNF217
3244530	ZNF222
3651218	ZNF224
3635418	ZNF226
3872441	ZNF652
3818668	ZNF599
3835565	ZNF233
3646767	ZNF561
3635467	ZNF234
3285814	ZNF235
3869549	ZNF562
3860824	ZNF568
3114820	ZNF572
3861439	ZNF675
3392871	ZNF850
3687367	ZNF267
3842301	ZNF681
3871903	ZNF682
3004768	ZNF773
3019407	ZNF277
3294578	ZNF692
3626568	ZNF280
3626563	ZNF693
3697114	ZNF600
3672604	ZNF606
3633266	ZNF995
3696714	ZNF611
3747324	ZNF624
3626041	ZNF628
3626078	ZNF629
2331903	ZNF643
2422517	ZNF644
3761737	ZNF652

【図 7 - 1】

CELファイル	亜型病態	単純化病態
151276HUEX1A11.CEL	FA	B
151279HUEX1A11.CEL	FA	B
15126HUEX1A11.CEL	FA	B
151329HUEX1A11.CEL	FA	B
151345HUEX1A11.CEL	FA	B
151356HUEX1A11.CEL	FA	B
151359HUEX1A11.CEL	FA	B
151361HUEX1A11.CEL	FA	B
151364HUEX1A11.CEL	FA	B
151793HUEX1A11.CEL	FA	B
151794HUEX1A11.CEL	FA	B
151795HUEX1A11.CEL	FA	B
151797HUEX1A11.CEL	FA	B
151798HUEX1A11.CEL	FA	B
151799HUEX1A11.CEL	FA	B
151800HUEX1A11.CEL	FA	B
151801HUEX1A11.CEL	FA	B
151802HUEX1A11.CEL	FA	B
151803HUEX1A11.CEL	FA	B
151804HUEX1A11.CEL	FA	B
151805HUEX1A11.CEL	FA	B
151806HUEX1A11.CEL	FA	B
151285HUEX1A11.CEL	LCT	B
151291HUEX1A11.CEL	LCT	B
151294HUEX1A11.CEL	LCT	B
151295HUEX1A11.CEL	LCT	B
151305HUEX1A11.CEL	LCT	B
151309HUEX1A11.CEL	LCT	B
151316HUEX1A11.CEL	LCT	B
151326HUEX1A11.CEL	LCT	B
151338HUEX1A11.CEL	LCT	B
151373HUEX1A11.CEL	LCT	B
151860HUEX1A11.CEL	LCT	B

【図 7 - 2】

151862HUEX1A11.CEL	LCT	B
151863HUEX1A11.CEL	LCT	B
151864HUEX1A11.CEL	LCT	B
151865HUEX1A11.CEL	LCT	B
151868HUEX1A11.CEL	LCT	B
151871HUEX1A11.CEL	LCT	B
151872HUEX1A11.CEL	LCT	B
151876HUEX1A11.CEL	LCT	B
151881HUEX1A11.CEL	LCT	B
151883HUEX1A11.CEL	LCT	B
151890HUEX1A11.CEL	LCT	B
151893HUEX1A11.CEL	LCT	B
151896HUEX1A11.CEL	LCT	B
151897HUEX1A11.CEL	LCT	B
151899HUEX1A11.CEL	LCT	B
151902HUEX1A11.CEL	LCT	B
151908HUEX1A11.CEL	LCT	B
151909HUEX1A11.CEL	LCT	B
151911HUEX1A11.CEL	LCT	B
151912HUEX1A11.CEL	LCT	B
151913HUEX1A11.CEL	LCT	B
151914HUEX1A11.CEL	LCT	B
151915HUEX1A11.CEL	LCT	B
151916HUEX1A11.CEL	LCT	B
151918HUEX1A11.CEL	LCT	B
151919HUEX1A11.CEL	LCT	B
151920HUEX1A11.CEL	LCT	B
151923HUEX1A11.CEL	LCT	B
151275HUEX1A11.CEL	NHP	B
151283HUEX1A11.CEL	NHP	B
151284HUEX1A11.CEL	NHP	B
151289HUEX1A11.CEL	NHP	B
151293HUEX1A11.CEL	NHP	B
151306HUEX1A11.CEL	NHP	B

【図7-3】

151308HUEX1A11.CEL	NHP	B
151315HUEX1A11.CEL	NHP	B
151325HUEX1A11.CEL	NHP	B
151330HUEX1A11.CEL	NHP	B
151380HUEX1A11.CEL	NHP	B
151381HUEX1A11.CEL	NHP	B
151382HUEX1A11.CEL	NHP	B
151752HUEX1A11.CEL	NHP	B
151753HUEX1A11.CEL	NHP	B
151754HUEX1A11.CEL	NHP	B
151757HUEX1A11.CEL	NHP	B
151759HUEX1A11.CEL	NHP	B
151760HUEX1A11.CEL	NHP	B
151762HUEX1A11.CEL	NHP	B
151763HUEX1A11.CEL	NHP	B
151779HUEX1A11.CEL	NHP	B
151787HUEX1A11.CEL	NHP	B
151788HUEX1A11.CEL	NHP	B
151873HUEX1A11.CEL	NHP	B
151340HUEX1A11.CEL	ATC	M
151354HUEX1A11.CEL	ATC	M
151879HUEX1A11.CEL	ATC	M
151886HUEX1A11.CEL	ATC	M
151887HUEX1A11.CEL	ATC	M
151278HUEX1A11.CEL	FC	M
151281HUEX1A11.CEL	FC	M
151317HUEX1A11.CEL	FC	M
151323HUEX1A11.CEL	FC	M
151334HUEX1A11.CEL	FC	M
151362HUEX1A11.CEL	FC	M
151365HUEX1A11.CEL	FC	M
151840HUEX1A21.CEL	FC	M
151842HUEX1A11.CEL	FC	M
151843HUEX1A11.CEL	FC	M
151844HUEX1A11.CEL	FC	M

【図7-4】

151846HUEX1A11.CEL	FC	M
151847HUEX1A11.CEL	FC	M
151848HUEX1A11.CEL	FC	M
151849HUEX1A11.CEL	FC	M
151851HUEX1A11.CEL	FC	M
151852HUEX1A11.CEL	FC	M
151857HUEX1A11.CEL	FC	M
151859HUEX1A11.CEL	FC	M
151321HUEX1A11.CEL	FVPTC	M
151339HUEX1A11.CEL	FVPTC	M
151341HUEX1A11.CEL	FVPTC	M
151347HUEX1A11.CEL	FVPTC	M
151349HUEX1A11.CEL	FVPTC	M
151355HUEX1A11.CEL	FVPTC	M
151363HUEX1A11.CEL	FVPTC	M
151367HUEX1A11.CEL	FVPTC	M
151368HUEX1A11.CEL	FVPTC	M
151819HUEX1A11.CEL	FVPTC	M
151820HUEX1A11.CEL	FVPTC	M
151824HUEX1A11.CEL	FVPTC	M
151825HUEX1A11.CEL	FVPTC	M
151828HUEX1A11.CEL	FVPTC	M
151829HUEX1A11.CEL	FVPTC	M
151831HUEX1A11.CEL	FVPTC	M
151832HUEX1A11.CEL	FVPTC	M
151834HUEX1A11.CEL	FVPTC	M
151836HUEX1A11.CEL	FVPTC	M
151850HUEX1A11.CEL	FVPTC	M
151856HUEX1A11.CEL	FVPTC	M
151277HUEX1A11.CEL	HC	M
151318HUEX1A11.CEL	HC	M
151352HUEX1A11.CEL	HC	M
151375HUEX1A11.CEL	HC	M
151780HUEX1A11.CEL	HC	M

【図7-5】

151781HUEX1A11.CEL	HC	M
151782HUEX1A11.CEL	HC	M
151783HUEX1A11.CEL	HC	M
151784HUEX1A11.CEL	HC	M
151785HUEX1A11.CEL	HC	M
151786HUEX1A11.CEL	HC	M
151789HUEX1A11.CEL	HC	M
151791HUEX1A11.CEL	HC	M
151792HUEX1A11.CEL	HC	M
151808HUEX1A11.CEL	HC	M
151809HUEX1A11.CEL	HC	M
151810HUEX1A11.CEL	HC	M
151811HUEX1A11.CEL	HC	M
151812HUEX1A11.CEL	HC	M
151813HUEX1A11.CEL	HC	M
151814HUEX1A11.CEL	HC	M
151861HUEX1A21.CEL	HC	M
151877HUEX1A11.CEL	HC	M
151901HUEX1A11.CEL	HC	M
151906HUEX1A11.CEL	HC	M
151917HUEX1A11.CEL	HC	M
151921HUEX1A11.CEL	HC	M
151300HUEX1A11.CEL	MTC	M
151304HUEX1A11.CEL	MTC	M
151376HUEX1A11.CEL	MTC	M
151773HUEX1A11.CEL	MTC	M
151774HUEX1A11.CEL	MTC	M
151775HUEX1A11.CEL	MTC	M
151776HUEX1A11.CEL	MTC	M
151777HUEX1A11.CEL	MTC	M
151869HUEX1A11.CEL	MTC	M
151874HUEX1A11.CEL	MTC	M
151878HUEX1A11.CEL	MTC	M
151880HUEX1A12.CEL	MTC	M

【図7-6】

151882HUEX1A11.CEL	MTC	M
151884HUEX1A11.CEL	MTC	M
151888HUEX1A11.CEL	MTC	M
151889HUEX1A11.CEL	MTC	M
151891HUEX1A11.CEL	MTC	M
151892HUEX1A11.CEL	MTC	M
151893HUEX1A11.CEL	MTC	M
151894HUEX1A11.CEL	MTC	M
151903HUEX1A11.CEL	MTC	M
151905HUEX1A11.CEL	MTC	M
151286HUEX1A11.CEL	PTC	M
151288HUEX1A11.CEL	PTC	M
151289HUEX1A11.CEL	PTC	M
151319HUEX1A11.CEL	PTC	M
151320HUEX1A11.CEL	PTC	M
151324HUEX1A11.CEL	PTC	M
151344HUEX1A11.CEL	PTC	M
151346HUEX1A11.CEL	PTC	M
151350HUEX1A11.CEL	PTC	M
151353HUEX1A11.CEL	PTC	M
151379HUEX1A11.CEL	PTC	M
151382HUEX1A12.CEL	PTC	M
151384HUEX1A11.CEL	PTC	M
151816HUEX1A11.CEL	PTC	M
151817HUEX1A11.CEL	PTC	M
151818HUEX1A11.CEL	PTC	M
151821HUEX1A11.CEL	PTC	M
151826HUEX1A11.CEL	PTC	M
151827HUEX1A11.CEL	PTC	M
151833HUEX1A11.CEL	PTC	M
151835HUEX1A11.CEL	PTC	M
151838HUEX1A11.CEL	PTC	M
151839HUEX1A11.CEL	PTC	M
151841HUEX1A11.CEL	PTC	M

【図7-7】

151866HUEX1A21.CEL	PTC	M
151894HUEX1A11.CEL	PTC	M

【図8-1】

GELファイル名	亜型病態	単純化病態
F0012001	B	B
F0012002	B	B
F0012003	B	B
F0012004	B	B
F0012005	FA	B
F0012006	FA	B
F0012007	FA	B
F0012008	FA	B
F0012009	FA	B
F0012010	FA	B
F0012011	FA	B
F0012012	FA	B
F0012013	FA	B
F0012014	FA	B
F0012015	FA	B
F0012016	FA	B
F0012017	FC	M
F0012018	FC	M
F0012019	FC	M
F0012020	FC	M
F0012021	FVPTC	M
F0012022	FVPTC	M
F0012023	FVPTC	M
F0012024	HA	B
F0012025	HA	B
F0012026	HA	B
F0012027	HC	M
F0012028	MTC	M
F0012029	NHP	B
F0012030	NHP	B
F0012031	NHP	B
F0012032	NHP	B
F0012033	NHP	B

【図8-2】

F0012034	NHP	B
F0012035	NHP	B
F0012036	NHP	B
F0012037	NHP	B
F0012038	NHP	B
F0012039	NHP	B
F0012040	NHP	B
F0012041	NHP	B
F0012042	NHP	B
F0012043	NHP	B
F0012044	NHP	B
F0012045	NHP	B
F0012046	NHP	B
F0012047	NHP	B
F0012048	NHP	B
F0012049	NHP	B
F0012050	NHP	B
F0012051	NHP	B
F0012052	NHP	B
F0012053	NHP	B
F0012054	PTC	M
F0012055	PTC	M
F0012056	PTC	M
F0012057	PTC	M
F0012058	PTC	M
F0012059	PTC	M
F0012060	PTC	M
F0012061	PTC	M
F0012062	PTC	M
F0012063	PTC	M
F0012064	PTC	M
F0012065	PTC	M
F0012066	PTC	M
F0012067	PTC	M

【図8-3】

F0012068	PTC	M
F0012069	PTC	M
F0012070	PTC	M
F0012071	PTC	M
F0012072	PTC	M
F0012073	PTC	M
F0012074	PTC	M

【図9-1】

ランク	遺伝子記号	TCID	Ref Seq
1	SEMA3D	3059667	NM_152754
2	MT1G	3692999	NM_005950
3	MGC26647	3060450	BC028365
4	CLDN16	2657808	NM_006580
5	DPP4	2584018	NM_001935
6	LIPH	2708855	NM_139248
7	TM7SF4	3110508	NM_030788
8	RAO2	3369931	NM_000356
9	SLC26A4	3018605	NM_000441
10	STK32A	2834282	NM_001112724
11	CD36	3010503	NM_001001548
12	PLA2R1	2583374	NM_007366
13	ELMO1	3046197	NM_014800
14	TGID2526806	2526806	未知
15	NEIL2	3451814	NM_006159
16	CXCL9	2773947	NM_002416
17	CYS1TR2	3489138	NM_020377
18	LONRF2	2567167	NM_198461
19	TMSL8	4016193	NM_021992
20	CXCL13	2732508	NM_006419
21	RGS13	2372812	NM_002927
22	P6D3	3126191	NM_013110
23	TNFRSF17	3648391	NM_001192
24	TSPAN8	3461981	NM_004616
25	CXCL11	2773972	NM_005409
26	AIM2	2439554	NM_004833
27	ERO1LB	2462329	NM_019891
28	TRPC5	4018327	NM_012471
29	TC2N	3576704	NM_152332
30	PIP3-E	2980449	NM_015553
31	ZMAT4	3132616	NM_024645
32	PTPRC	2373842	NM_002838
33	RHOBTB3	2820925	NM_014899

【図9-2】

34	TIMP1	3976341	NM_003254
35	MPZL2	3393720	NM_144765
36	IL7R	2806468	NM_002185
37	SLC4A4	2730746	NM_001998484
38	MYEF2	3622934	NM_016132
39	LGALS2	3960174	NM_006498
40	KCNA3	2427619	NM_002232
41	PDE5A	2783596	NM_001083
42	COP1	3389450	NM_052889
43	ANK2	2740067	NM_001148
44	EPS8	3445908	NM_004447
45	PLAG1	3136178	NM_002655
46	TLR10	2766192	NM_030956
47	IGFBP2	2708922	NM_006548
48	PDK4	3062082	NM_002612
49	TMEM100	3763390	NM_001099640
50	SLC5A8	3467949	NM_145913
51	KLRG1	3404030	NM_003810
52	CP	2700244	NM_000096
53	RYR2	2387126	NM_001035
54	TMEM171	2815220	NM_173490
55	BHLHB2	2608725	NM_003670
56	ARNTL	3321150	NM_001178
57	GBPS	2422035	NM_052942
58	CYS1TR1	4013460	NM_006639
59	ACBD7	3279058	NM_001039844
60	LYPLA1	3135567	NM_006330
61	GABBR2	3217242	NM_005458
62	ITGA4	2518272	NM_000885
63	PLEKHF2	3107828	NM_024613
64	LOC401498	3166544	NM_212558
65	CASP1	3389353	NM_033292
66	MLLT3	3200982	NM_004529
67	CMAH	2945882	NM_002174

【図 9 - 3】

68	ITPR1	2608469	NM_001099952
69	GLDC	3197955	NM_000170
70	LRRN3	3019158	NM_001099660
71	TMEM156	2766289	NM_024943
72	ATP8A1	2767378	NM_006095
73	CSGALNACT1	3126504	NM_018371
74	PYHIN1	2362351	NM_152501
75	ZNF208	3856646	ENST00000340708
76	DOCK8	3159330	NM_203447
77	JAK2	3160895	NM_004972
78	SORBS2	2796995	NM_021069
79	CD2	2353669	NM_001767
80	RHOH	2724671	NM_004310
81	FLEK	2486811	NM_002664
82	ABCD2	3450861	NM_005164
83	PRICKLE1	3451375	NM_153026
84	KLRB1	3443804	NM_002258
85	STK17B	2593159	NM_004226
86	CD69	3443868	NM_001781
87	PGCP	3108226	NM_016134
88	NOD1	3044092	NM_006092
89	ENTPD1	3259253	NM_001776
90	C1orf34	2412312	NM_001080494
91	CCDC146	3009838	NM_020879
92	LRRN1	2608309	NM_020873
93	C12orf35	3410384	NM_018169
94	ANXA1	3174816	NM_000700
95	CAMK4	2823880	NM_001744
96	BFBMP1	2554018	NM_004105
97	SPP1	2735027	NM_001040058
98	C17orf87	3742627	AY358809
99	SEPP1	2855285	NM_001093726
100	PTPN22	2428796	NM_015967

【図 10 - 1】

ランク	遺伝子記号	TCID	p値	変化倍率
1	SCG3	3594003	5.77E-35	6.20
2	SYT4	3805614	9.65E-75	4.17
3	SCG2	2601230	3.63E-74	4.42
4	DNAJC12	3292413	5.07E-74	3.19
5	CHGB	3875179	5.06E-73	5.88
6	NEFM	3909436	7.29E-71	4.39
7	INA	3262129	2.30E-70	3.95
8	KIAA1409	3549264	3.73E-70	2.55
9	CALCA	3364127	1.40E-68	5.73
10	CEACAMS	3834341	3.01E-67	5.55
11	ASCL1	3429008	4.03E-66	3.61
12	SNAP25	3876245	1.66E-65	3.59
13	RAB3C	2810805	3.32E-65	3.53
14	SCN9A	2585400	7.04E-62	3.02
15	RGS7	2463227	2.08E-61	1.66
16	ST18	3135046	1.42E-60	2.82
17	SCGN	2898934	2.82E-60	3.54
18	PCSKJ	2868044	1.02E-59	2.76
19	NRXN1	2552643	2.31E-59	2.61
20	PRUNE2	3210497	1.82E-58	9.59
21	C19orf30	3817651	3.45E-58	2.35
22	C6orf117	2915571	5.01E-58	2.60
23	SLC2A12	2974935	6.94E-57	2.57
24	FMN2	2387711	1.73E-56	3.36
25	OR10G9	3353876	9.70E-56	3.20
26	NOL4	3803628	1.75E-54	2.87
27	JAKMIP2	2880361	2.69E-54	2.35
28	DNAJC6	2340350	3.61E-54	1.98
29	SYT1	3423622	4.31E-54	3.36
30	CYP3A5	3063406	4.63E-54	1.78
31	HMP19	2841802	1.19E-53	2.68
32	GRP	3790529	1.80E-53	2.40

【図 10 - 2】

33	RET	3243846	3.10E-53	1.51
34	KIAA1244	2927604	9.26E-53	1.44
35	CNTN1	3411721	4.37E-52	3.20
36	GRIA3	3989448	1.14E-51	3.33
37	TSHZ2	3889419	2.00E-51	2.79
38	PRUNE2	3210616	2.04E-51	3.06
39	FSTL5	2791894	6.58E-51	3.82
40	EDN3	3891447	9.93E-51	2.76
41	LGK5	3423144	1.11E-50	2.72
42	PBCV1	2976417	1.80E-50	2.78
43	GALNT13	2511045	2.24E-50	3.28
44	CADPS	2679406	1.85E-49	1.77
45	PHYHPL	3247977	1.88E-49	2.51
46	GRM8	3071063	5.28E-49	2.00
47	CNEKS3	2980516	2.30E-48	1.22
48	MEIS2	3618333	1.00E-47	1.99
49	HPGD	2794408	2.06E-47	3.40
50	DCX	4018218	3.69E-47	1.72
51	CAS	3137120	4.13E-47	1.55
52	FGF9	3480885	5.66E-47	2.32
53	DNER	2602770	5.94E-47	1.12
54	NCALD	3147173	9.64E-47	2.43
55	TMEM16D	3428333	1.65E-46	2.58
56	AMPH	3046739	4.08E-46	1.19
57	SLC4A10	2512790	5.70E-46	3.37
58	BAALC	3110217	1.01E-45	1.31
59	TCID2525682	2525682	3.54E-45	1.06
60	KCNND2	3021009	2.13E-44	2.12
61	ADCYAP1	3775906	2.25E-44	1.61
62	CACNA2D2	2675315	3.53E-43	1.43
63	REST	2728408	4.17E-43	-1.61
64	PCDHB10	2832423	8.03E-43	1.94
65	TMEM196	3040465	8.87E-43	2.51
66	BMP5	2958172	1.37E-42	3.04

【図 10 - 3】

67	SEMA3B	3059393	1.70E-42	3.94
68	PPFIA2	3463821	1.81E-42	2.46
69	GRIA2	2749222	7.09E-42	2.32
70	CACNG2	3959787	8.76E-42	1.90
71	PRKAR2B	3018375	1.91E-41	2.78
72	KCNB2	3103062	6.57E-41	1.25
73	PACRG	2935311	8.69E-41	1.64
74	HMGCLL1	2958117	1.08E-40	1.83
75	WAIF1	2969289	2.12E-40	1.78
76	CNTNAP2	3029900	5.87E-40	1.54
77	DDC	3050388	5.92E-40	1.24
78	PGF14	3523499	8.04E-40	1.77
79	NEFL	3128271	9.05E-40	1.89
80	MAP1B	2814756	6.91E-39	2.48
81	CPLX2	2842255	9.32E-39	1.03
82	PMOS	2433232	1.57E-38	2.36
83	CRGA	3549092	2.07E-38	1.05
84	CEACAM6	3834379	2.57E-38	3.14
85	CHST9	3802416	2.96E-38	2.39
86	PON3	3061964	5.03E-38	2.97
87	TSHR	3546213	5.91E-38	-4.16
88	DNAH5	2849056	1.67E-37	1.66
89	GAP43	2637112	1.91E-37	2.66
90	GCH1	3565524	5.81E-37	2.77
91	KCNMB	2613293	9.06E-37	1.04
92	TPFL	3933559	2.55E-36	2.60
93	PCDHB4	2832315	2.72E-36	1.74
94	KCNJ15	3920850	3.35E-36	-2.85
95	PON1	3061942	4.75E-36	1.61
96	RDM2	3110395	8.47E-36	3.17
97	TXNDC13	3896976	1.11E-35	1.77
98	GPX2	3568603	1.16E-35	2.28
99	NKAIN2	2924081	1.40E-35	2.01
100	TMOD1	3181240	1.40E-35	2.35

【図 1 1 - 1】

ランク	遺伝子記号	TCID	Ref Seq
1	NRCAM	3067478	NM_001037132
2	DOCK9	3522398	NM_015296
3	CAMK2N1	2400177	NM_018584
4	C6orf168	2966193	NM_032511
5	SCEL	3494629	NM_144777
6	SIPA1L2	2460817	NM_020808
7	IL1RAP	2657831	NM_002182
8	PPM2C	3107342	NM_018444
9	RHOBTB3	2820925	NM_014899
10	AMOT	4018454	NM_133265
11	SDC4	3597234	NM_002999
12	MET	3020343	NM_001127500
13	DCBLD2	2686023	NM_080927
14	SYT5	3973891	NM_138780
15	AHNAK2	1581221	NM_138420
16	MYH10	3744463	NM_005964
17	TCID2526806	2526806	未知
18	TACSTD2	2414958	NM_002353
19	PROS1	2683304	NM_000313
20	ERBB3	3417249	NM_001982
21	EPS8	3445908	NM_004447
22	XPR1	2370123	NM_004736
23	KRT19	3757108	NM_002276
24	7A5	3040518	NM_182762
25	FN1	2598261	NM_212482
26	GABBR2	3217242	NM_005458
27	TRAK2	2594812	NM_015049
28	GABR2	2884845	NM_021911
29	GALNT7	2751936	NM_017423
30	IGFBP6	3415744	NM_002178
31	NEIL2	3451814	NM_006159
32	SQEF	2648535	NM_015595
33	SLC47A1	3713951	NM_018242

【図 1 1 - 2】

34	PDZRN4	3411810	NM_013377
35	MPZL2	3393720	NM_144765
36	CMYAS	2817464	NM_153610
37	ARMCX6	4015838	NM_019007
38	SLC34A2	2721959	NM_006424
39	MPPE2	3367673	NM_001584
40	TUSC3	3087167	NM_006765
41	DITNA	3784208	NM_032975
42	FAM176A	2560625	NM_032181
43	C5orf28	2855578	BC013351
44	CYSLTR2	3489138	NM_020377
45	S100A5	4045589	NM_002962
46	PDE5A	2783596	NM_001083
47	KCNJ2	3733275	NM_000891
48	AK1	3226138	NM_000476
49	LIPH	2708855	NM_139248
50	MPF7	3282601	NM_173496
51	CSNK1G3	2826550	NM_004384
52	ZCCHC16	3987607	NM_001004308
53	PSD3	3126191	NM_015310
54	BHLHB2	2608725	NM_003670
55	EGFR	3002640	NM_005228
56	SERPINA1	3577612	NM_001002236
57	ITGA3	3726154	NM_002204
58	CSGALNACT1	3126504	NM_018371
59	CHDL1	2451593	NM_001276
60	METTL7B	3416895	NM_152637
61	TGFA	2558612	NM_003236
62	NAB2	3417809	NM_005967
63	NFATC3	3666033	NM_173163
64	NPC2	3571904	NM_006432
65	GGCT	3044129	ENST00000275428
66	TPO	2466554	NM_000547
67	HGD	4047070	NM_000187

【図 1 1 - 3】

68	GIMAPS	3031573	NM_018384
69	PKHD1L1	3111561	NM_177531
70	ALDH3A2	3714068	NM_001031806
71	PRR15	2994981	NM_175887
72	HRASLS3	3376529	NM_007069
73	ZCCHC12	3988596	NM_173798
74	STK32A	2834282	NM_00112724
75	ANK2	2740067	NM_001148
76	SORBS2	2796995	NM_021069
77	ITGA2	2809245	NM_002203
78	MYEP2	3622934	NM_016132
79	SYNE1	2979871	NM_182961
80	PLEKHA4	3867458	NM_020904
81	PLCD3	3759587	NM_133373
82	LAMB3	2453793	NM_001017402
83	FAM43A	2658785	NM_153690
84	TPD52L1	2924330	NM_001003395
85	CLDN1	2710599	NM_021101
86	B3GNT3	3824596	NM_014256
87	KIAA1217	3238962	NM_019590
88	MAP2	2525533	NM_002374
89	LRP1B	2578790	NM_018557
90	ITPR1	2608469	NM_001099952
91	CARD8	3866958	NM_014959
92	DGKI	3074912	NM_004717
93	LIFR	2854092	NM_002310
94	DOCK8	3159330	NM_203447
95	C9orf51	3173974	NM_004816
96	GPR98	2819779	NM_032119
97	TFP3	3933536	NM_003226
98	ERO1LB	2462329	NM_019891
99	ARHGAP24	2734421	NM_001025616
100	CDON	3396770	NM_016952
101	TBC1D4	3518086	NM_014832

【図 1 2 - 1】

1	TGFA	2558612
2	PROS1	2683304
3	MET	3020343
4	DPP4	2584018
5	GALNT7	2751936
6	TPO	2466554
7	SDC4	3907234
8	FADP4	3142381
9	KIT	2727587
10	ELMO1	3046197
11	CDH3	3666366
12	CAMK2N1	2400177
13	KRT19	3757108
14	SCEL	3494629
15	TFP3	3933536
16	LRP1B	2578790
17	CITED1	4012178
18	PLA2R1	2583374
19	STK32A	2834282
20	IL1RAP	2657831
21	LGALS3	3536706
22	GPR155	2587790
23	MPPE2	3367673
24	C6orf168	2966193
25	METTL7B	3416895
26	NPC2	3571904
27	NAB2	3417809
28	KHDRBS2	2959039
29	LIPH	2708855
30	CXorf27	3973891
31	FN1	2598261
32	EPS8	3445908
33	ZMAT4	3132616

【図 1 1 - 4】

102	LRP2	2586038	NM_004525
-----	------	---------	-----------

【図12-2】

34	SLC26A4	3018605
35	TNFRSF11B	3150455
36	ANGPTL1	2445982
37	NFATC3	3666033
38	ITPR1	2608469
39	GABRB2	2884845
40	TBC1D4	3518086
41	SCG5	3587495
42	CYP1B1	2548699
43	HMGAA2	3420316
44	TC2N	3576704
45	ATP10D	2726072
46	RAG2	3369931
47	DUSP6	3464860
48	ERO1LB	2462329
49	SCNN1A	3441885
50	ABCC3	3726691
51	ARHGAP24	2734421
52	SEMA3D	3059667
53	CHE3L1	2451593
54	SPOCK1	2876897
55	PDE5A	2783596
56	MYH10	3744463
57	SERPINAI1	3577612
58	SIPAI1L2	2460817
59	ITM2A	4013549
60	TNFAIP8	2825629
61	MYEF2	3622934
62	KCNJ2	3733275
63	CRABP1	3603295
64	MATN2	3108526
65	CLDN16	2657808
66	NRCAM	3067478
67	HEY2	2924492

【図12-3】

68	PTTG1	2838201
69	SPINT1	3590164
70	CDC27	3750625
71	NOD1	3044072
72	KPNAS	2922340
73	DYNLT1	2981874
74	ODZ1	4020655
75	GABBR2	3217242
76	SLC33A1	2701927
77	UPP1	3000953
78	AUTS2	3006572
79	SLC34A2	2721959
80	MPGE8	3638204
81	RXRG	2442008
82	KLF8	3978943
83	ANK2	2740067
84	TM7SF4	3110608
85	ZCCHC16	3987607
86	FNDC4	2545953
87	GLT8D2	3468888
88	GDF15	3824993
89	GIMAP8	3031466
90	MAP2	2525533
91	TIMP1	3976341
92	PGCP	3108226
93	KLK7	3868783
94	DNASE1L3	2678298
95	ANKRD12	3778252
96	CLDN1	2710599
97	SERINC2	2328273
98	HSD17B6	3417703
99	TSC22D1	3512294
100	TRPC5	4018327

【図13-1】

TCID	遺伝子記号	型1	型2	型3
3132616	ZMAT4	FA_FVPTC	FA_PTC	FVPTC_NHP
2809793	GZMK	FC_LCT	FVPTC_LCT	HC_LCT
3444086	KLRK1	FC_LCT	FVPTC_LCT	HC_LCT
2959039	KHDRBS2	FA_FC	FA_HC	HC_NHP
2557808	CLDN16	FA_FC	FA_PTC	LCT_PTC
4020655	ODZ1	FA_FC	FVPTC_LCT	LCT_PTC
3692999	MT1G	FA_MTC	FA_PTC	MTC_NHP
2710599	CLDN1	FA_FC	FA_PTC	NHP_PTC
3536706	LGALS3	FA_FVPTC	FA_PTC	NHP_PTC
3577612	SERPINAI1	FA_FVPTC	FA_PTC	NHP_PTC
2727587	KIT	FA_FVPTC	FVPTC_NHP	NHP_PTC
3367673	MPPED2	FA_PTC	FVPTC_NHP	NHP_PTC
2884845	GABRB2	FA_PTC	LCT_PTC	NHP_PTC
2682304	PROS1	FA_PTC	LCT_PTC	NHP_PTC
3564210	PYGL	ATC_FA	ATC_LCT	ATC_NHP
3158508	MELK	ATC_FA	ATC_NHP	ATC_PTC
3913483	TCFL5	FA_FC	FA_FVPTC	FA_PTC
3726691	ABCC3	FA_FC	FA_PTC	FA_PTC
3662201	MT1H	FA_FC	FA_PTC	FA_PTC
3369931	RAG2	FA_FC	FA_PTC	FA_PTC
2573570	TFCP2L1	FA_FC	FA_PTC	FA_PTC
2466554	TPO	FA_FC	FA_PTC	FA_PTC
3944404	APOL1	FA_FVPTC	FA_PTC	FVPTC_NHP
3451814	NELL2	FA_FVPTC	FA_PTC	FVPTC_NHP
3592214	DUOX1	FA_HC	FVPTC_LCT	FVPTC_NHP
2809810	GZMA	FC_LCT	FVPTC_LCT	FVPTC_NHP
3018605	SLC26A4	FA_FC	FVPTC_NHP	FVPTC_NHP
3755862	IKZF3	FA_PTC	HC_LCT	HC_NHP
2373842	PTPRC	FC_LCT	HC_LCT	HC_NHP
3443891	CLEC2B	FVPTC_LCT	HC_LCT	HC_NHP
3031556	GIMAP2	FVPTC_LCT	HC_LCT	HC_NHP
3031517	GIMAP7	FVPTC_LCT	HC_LCT	HC_NHP
3160895	JAK2	FVPTC_LCT	HC_LCT	HC_NHP

【図13-2】

3666033	NFATC3	FVPTC_LCT	HC_LCT
3417703	HSD17B6	FA_HC	HC_NHP
3875179	CHGB	FA_MTC	LCT_MTC
2834282	STK32A	FA_FC	LCT_PTC
2751936	GALNT7	FA_PTC	LCT_PTC
2708855	LIPH	FA_PTC	LCT_PTC
3393720	MPZL2	FA_PTC	LCT_PTC
3464860	DUSP6	FVPTC_LCT	LCT_PTC
3416895	METTL7B	FVPTC_LCT	LCT_PTC
2711225	ATP13A4	FVPTC_LCT	MTC_NHP
3364127	CALCA	LCT_MTC	MTC_NHP
2526806	FA_PTC	NHP_PTC	NHP_PTC
3430462	BTBD11	FA_PTC	NHP_PTC
3086809	C8orf79	FA_PTC	NHP_PTC
3396770	CDON	FA_PTC	NHP_PTC
2584018	DPP4	FA_PTC	NHP_PTC
2598261	FN1	FA_PTC	NHP_PTC
2378068	GOS2	FA_PTC	NHP_PTC
3925639	NRIP1	FA_PTC	NHP_PTC
3270270	PTPRE	FA_PTC	NHP_PTC
2721959	SLC34A2	FA_PTC	NHP_PTC
2730746	SLC4A4	FA_PTC	NHP_PTC
2796995	SOREB2	FA_PTC	NHP_PTC
3976341	TIMP1	FA_PTC	NHP_PTC
2455933	ESRRG	FVPTC_NHP	NHP_PTC
2819779	GPR98	FVPTC_NHP	NHP_PTC
2578790	LRP1B	FVPTC_NHP	NHP_PTC
2586038	LRP2	FVPTC_NHP	NHP_PTC
3108526	MATN2	FVPTC_NHP	NHP_PTC
4014029	RPS6KA6	FVPTC_NHP	NHP_PTC
2961177	COL12A1	ATC_LCT	ATC_NHP
3590014	CASC5	ATC_NHP	ATC_NHP
3258444	CEP55	ATC_NHP	ATC_NHP
3565663	DLG7	ATC_NHP	ATC_NHP

【図 1 3 - 3】

2838656	HMMR	ATC_NHP
3258168	KIF11	ATC_NHP
3312490	MKI67	ATC_NHP
3776139	NDC80	ATC_NHP
3590388	NUSAP1	ATC_NHP
3881443	TPX2	ATC_NHP
2406391	PA_FC	
2445982	ANGPTL1	FA_FC
3459722	AVPR1A	FA_FC
3124344	C8orf15	FA_FC
3107234	C8orf39	FA_FC
3010503	CD36	FA_FC
3580769	CKB	FA_FC
3603295	CRABP1	FA_FC
2336891	DIO1	FA_FC
3384704	DLG2	FA_FC
2678298	DNASEBIL3	FA_FC
2981874	DYNLT1	FA_FC
3008144	EIF4H	FA_FC
2462329	ERO1LB	FA_FC
4027639	F8	FA_FC
3142381	FABP4	FA_FC
3576749	FBLN5	FA_FC
3937967	FLJ26056	FA_FC
3393479	FKYD6	FA_FC
3197140	GLIS3	FA_FC
3250278	HK1	FA_FC
2770469	IGFBP7	FA_FC
2452440	KLHDC8A	FA_FC
3067302	LAMB1	FA_FC
2854092	LIFR	FA_FC
3745525	LOC388335	FA_FC
3244055	LOC439911	FA_FC
3788097	MAPK4	FA_FC

【図 1 3 - 4】

2581000	NEB	FA_FC
2980449	PIP3-E	FA_FC
2955827	PLA2G7	FA_FC
3009229	POR	FA_FC
2349848	PRMT6	FA_FC
3555675	RNASE1	FA_FC
2984884	RNASET2	FA_FC
3363868	RRAS2	FA_FC
3899173	RRBP1	FA_FC
2387126	RYR2	FA_FC
3365136	SERGEF	FA_FC
2529421	SGPP2	FA_FC
3921442	SH3BGRL	FA_FC
2319340	SLC25A33	FA_FC
3114832	SQL8	FA_FC
2932508	TIAM2	FA_FC
3943504	TIMP3	FA_FC
3388438	TRPC6	FA_FC
2538480	TSSC1	FA_FC
3441941	VAMP1	FA_FC
2331558	BMP8A	FA_HC
2648991	KCNAB1	FA_HC
2931172	IYD	FA_MTC
3661718	LPCAT2	FA_MTC
3889419	TSHZ2	FA_MTC
3040518	TA5	FA_PTC
2991233	AHR	FA_PTC
3244622	ALOX5	FA_PTC
3627248	ANXA2	FA_PTC
3848039	C3	FA_PTC
2739160	CCDC109B	FA_PTC
2902844	CFB	FA_PTC
2451593	CHOL1	FA_PTC
3129065	CLU	FA_PTC

【図 1 3 - 5】

3335894	CST6	FA_PTC
3385769	CTSC	FA_PTC
3634811	CTSH	FA_PTC
2773434	CXCL2	FA_PTC
3973891	CXorf27	FA_PTC
2548699	CYP1B1	FA_PTC
3489138	CYSLTR2	FA_PTC
3768535	FAM20A	FA_PTC
3106984	GPAM	FA_PTC
3727583	HLF	FA_PTC
3820443	ICAM1	FA_PTC
3415744	IGFBP6	FA_PTC
2657831	IL1RAP	FA_PTC
3787187	KATNAL2	FA_PTC
2764192	KIAA0746	FA_PTC
3978943	KLP8	FA_PTC
3757108	KRT19	FA_PTC
2634091	NFKBIZ	FA_PTC
2639054	PARP14	FA_PTC
3111561	PKHD1L1	FA_PTC
3977067	PLP2	FA_PTC
3426502	PLXNC1	FA_PTC
3930360	RUNX1	FA_PTC
2908762	RUNX2	FA_PTC
3106559	SLC26A7	FA_PTC
2827645	SLC27A6	FA_PTC
3907190	SLP1	FA_PTC
2491271	TMSB10	FA_PTC
2352669	CD2	FC_LCT
2440354	CD48	FC_LCT
2326463	CD52	FC_LCT
2773947	CXCL9	FC_LCT
2854327	FVB	FC_LCT
2903401	HLA-DPB1	FC_LCT

【図 1 3 - 6】

3315675	IFTIM1	FC_LCT
2772566	IGJ	FC_LCT
2563785	IGK@	FC_LCT
3512874	LCP1	FC_LCT
3421511	LYZ	FC_LCT
2519480	GULP1	FC_NHP
3110789	ZPPM2	FC_NHP
3288518	C10orf72	FVPTC_LCT
3410384	C12orf35	FVPTC_LCT
3338192	CCND1	FVPTC_LCT
3622239	DUOXA1	FVPTC_LCT
3217242	GABBR2	FVPTC_LCT
2587790	GPR155	FVPTC_LCT
3482888	GTF3A	FVPTC_LCT
3323052	NAV2	FVPTC_LCT
2562529	ST3GAL5	FVPTC_LCT
2825629	TNFAIP8	FVPTC_LCT
2705706	TNFSF10	FVPTC_LCT
2448971	UCHL5	FVPTC_LCT
2740067	ANK2	FVPTC_NHP
3802396	AQP4	FVPTC_NHP
2515183	C2orf37	FVPTC_NHP
2855578	C5orf28	FVPTC_NHP
2742581	FAT4	FVPTC_NHP
2726542	FLJ21511	FVPTC_NHP
2583374	PLA2R1	FVPTC_NHP
2699623	PLSCR4	FVPTC_NHP
3513549	RCBTB2	FVPTC_NHP
2336539	ZYG11A	FVPTC_NHP
2439554	AIM2	HC_LCT
3945651	APOBEC3G	HC_LCT
3302187	ARHGAP19	HC_LCT
3267314	BAG3	HC_LCT
3635198	BCL2A1	HC_LCT

【図13-7】

3866958	CARD8	HC_LCT
3389353	CASP1	HC_LCT
3393744	CD3D	HC_LCT
2635741	CD96	HC_LCT
3187577	CEP110	HC_LCT
3815399	CNN2	HC_LCT
3629811	DENNDA4A	HC_LCT
3159330	DOCK8	HC_LCT
2424524	DIFYD	HC_LCT
2739308	BQF	HC_LCT
2997907	EPDR1	HC_LCT
3397589	ETS1	HC_LCT
2422035	GBP5	HC_LCT
3031573	GIMAP5	HC_LCT
3982612	GPR174	HC_LCT
2362394	IFI16	HC_LCT
3918447	IFNAR2	HC_LCT
2806468	IL7R	HC_LCT
4013549	ITM2A	HC_LCT
3404030	KLRG1	HC_LCT
2508520	KYNU	HC_LCT
2531310	LOC93349	HC_LCT
4037595	ND1	HC_LCT
3256590	PAPSS2	HC_LCT
3772525	PSCD1	HC_LCT
2362351	PYHIN1	HC_LCT
2592356	STAT4	HC_LCT
3576704	TC2N	HC_LCT
3176209	TLE4	HC_LCT
2579572	ZEB2	HC_LCT
3319898	ZNF143	HC_LCT
3197231	C9orf68	HC_NHP
2750627	CPE	HC_NHP
3108226	PGCP	HC_NHP

【図13-8】

3301713	BLNK	LCT_MTC
3110395	RIMS2	LCT_MTC
3594003	SCG3	LCT_MTC
2966193	C6orf168	LCT_PTC
3445908	EPS8	LCT_PTC
2708922	KIF2BP2	LCT_PTC
3126191	PSD3	LCT_PTC
3183757	RAI23B	LCT_PTC
2711205	ATP13A4	MTC_NHP
3486096	FREM2	MTC_NHP
2734421	ARHGAP24	NHP_PTC
2763278	GPR125	NHP_PTC
3625271	RAB27A	NHP_PTC
3059667	SEMA3D	NHP_PTC

【図14-1】

試料ID	試料の型	亜型病態	単純化病態
A0017251	FNA	FA	B
A0017252	FNA	FA	B
A0017255	FNA	FA	B
A0017256	FNA	FA	B
A0017264	FNA	FA	B
A0017267	FNA	FA	B
A0017272	FNA	FA	B
A0017285	FNA	FA	B
A0017289	FNA	FA	B
A0017291	FNA	FA	B
A0017292	FNA	FA	B
A0017298	FNA	FA	B
A0017978	FNA	FA	B
A0017986	FNA	FA	B
A0017987	FNA	FA	B
A0017989	FNA	FA	B
A0017991	FNA	FA	B
A0017995	FNA	FA	B
A0018000	FNA	FA	B
A0018004	FNA	FA	B
A0018006	FNA	FA	B
A0018008	FNA	FA	B
A0018010	FNA	FA	B
A0018011	FNA	FA	B
A0018018	FNA	FA	B
A0017258	FNA	NHP	B
A0017265	FNA	NHP	B
A0017271	FNA	NHP	B
A0017275	FNA	NHP	B
A0017276	FNA	NHP	B
A0017278	FNA	NHP	B
A0017280	FNA	NHP	B

【図14-2】

A0017295	FNA	NHP	B
A0017296	FNA	NHP	B
A0017297	FNA	NHP	B
A0017299	FNA	NHP	B
A0017979	FNA	NHP	B
A0017980	FNA	NHP	B
A0017983	FNA	NHP	B
A0017984	FNA	NHP	B
A0017985	FNA	NHP	B
A0017988	FNA	NHP	B
A0017993	FNA	NHP	B
A0017994	FNA	NHP	B
A0017997	FNA	NHP	B
A0017998	FNA	NHP	B
A0018009	FNA	NHP	B
A0018020	FNA	NHP	B
A0018021	FNA	NHP	B
A0018022	FNA	NHP	B
A0017270	FNA	FC	M
A0017294	FNA	FC	M
A0017981	FNA	FC	M
A0018016	FNA	FC	M
A0018023	FNA	FC	M
A0018025	FNA	FC	M
A0017269	FNA	FVPTC	M
A0017279	FNA	FVPTC	M
A0017982	FNA	FVPTC	M
A0017999	FNA	FVPTC	M
A0017268	FNA	MTC	M
A0017250	FNA	PTC	M
A0017253	FNA	PTC	M
A0017254	FNA	PTC	M
A0017257	FNA	PTC	M
A0017266	FNA	PTC	M

【図14-3】

A0017273	FNA	PTC	M
A0017274	FNA	PTC	M
A0017281	FNA	PTC	M
A0017282	FNA	PTC	M
A0017284	FNA	PTC	M
A0017286	FNA	PTC	M
A0017290	FNA	PTC	M
A0017293	FNA	PTC	M
A0017990	FNA	PTC	M
A0017992	FNA	PTC	M
A0017996	FNA	PTC	M
A0018001	FNA	PTC	M
A0018002	FNA	PTC	M
A0018003	FNA	PTC	M
A0018005	FNA	PTC	M
A0018007	FNA	PTC	M
A0018012	FNA	PTC	M
A0018014	FNA	PTC	M
A0018015	FNA	PTC	M
A0018017	FNA	PTC	M
A0018019	FNA	PTC	M
A0018024	FNA	PTC	M
A0018027	FNA	PTC	M

【図15】

試料ID	試料の型	亜型	単純化病態
miR101	FNA	PTC	M
miR102	FNA	NHP	B
miR103	FNA	PTC	M
miR104	FNA	BN	B
miR105	FNA	BN	B
miR106	FNA	LCT	B
miR107	FNA	LCT	B
miR108	FNA	BN	B
miR109	FNA	PTC	M
miR110	FNA	FVPTC	M
miR111	FNA	LCT	B
miR112	FNA	PTC	M
miR113	FNA	BN	B
miR114	FNA	NHP	B
miR115	FNA	CN	B
miR116	FNA	B	B
miR117	FNA	NHP	B
miR118	FNA	CN	B
miR119	FNA	PTC	M
miR120	FNA	PTC	M
miR121	FNA	非診断的	非診断的
miR122	FNA	NHP	B
miR123	FNA	NHP	B
miR124	FNA	NHP	B

【図16】

mRNA	CHR	P	DE
hsa-miR-127-5p	14	0.0011	-1
hsa-miR-154	14	0.0032	-1
hsa-miR-295b-1*	7	0.0311	-1
hsa-miR-220a	X	0.0347	-1
hsa-miR-370	14	0.0779	-1
hsa-miR-96*	7	0.0843	-1
hsa-miR-197	1	0.1004	1
hsa-miR-220c	19	0.1137	-1
hsa-miR-19a	13	0.1159	1
hsa-miR-339-3p	7	0.1218	1
hsa-miR-146a*	5	0.1388	1
hsa-miR-200b*	1	0.1577	1
hsa-miR-200b	1	0.1584	1

【図17-1】

miRNA	プローブID	CHR	P	DE	Rep
hsa-miR-542-5p	ILMN_3167175	X	0.0020	0.378	1
hsa-miR-191*	ILMN_3167124	3	0.0023	-0.192	ND
hsa-miR-577	ILMN_3167406	4	0.0023	-0.229	1
hsa-miR-542-3p	ILMN_3167074	X	0.0040	0.284	0.55
hsa-miR-604	ILMN_3167804	10	0.0041	-0.376	0.95
hsa-miR-125a-5p	ILMN_3167670	19	0.0041	0.099	0.95
hsa-miR-27b	ILMN_3168409	9	0.0045	0.134	1
hsa-miR-551b	ILMN_3166993	3	0.0051	0.776	1
hsa-miR-563	ILMN_3167408	3	0.0052	-0.087	ND
hsa-miR-424	ILMN_3166938	X	0.0054	0.138	0.59
hsa-miR-135b	ILMN_3167874	1	0.0057	0.261	1
hsa-miR-197	ILMN_3167864	1	0.0058	-0.090	ND
hsa-miR-221*	ILMN_3168580	X	0.0064	0.410	1
hsa-miR-221	ILMN_3167681	X	0.0065	0.062	1
HS_107	ILMN_3167213	0	0.0066	-0.173	1
hsa-miR-429	ILMN_3167806	1	0.0068	0.344	0.77
hsa-miR-99a	ILMN_3168213	21	0.0069	0.176	0.86
hsa-miR-31	ILMN_3167837	9	0.0069	0.313	1
HS_131	ILMN_3158028	0	0.0071	-0.207	0.91
hsa-miR-200b	ILMN_3168294	1	0.0075	0.227	0.5
hsa-miR-302c	ILMN_3166944	4	0.0081	-0.307	1
hsa-miR-181e-2*	ILMN_3168577	9	0.0082	0.186	1
hsa-miR-130b*	ILMN_3168588	22	0.0085	-0.178	1
hsa-let-7e	ILMN_3168463	19	0.0089	0.084	0.5
hsa-miR-218	ILMN_3168380	4,5	0.0097	0.209	0.91
hsa-miR-133b	ILMN_3168348	6	0.0100	0.279	0.95
hsa-miR-125b	ILMN_3168389	21,11	0.0102	0.080	ND
hsa-miR-1296	ILMN_3167351	10	0.0105	0.384	ND
hsa-miR-222	ILMN_3167963	X	0.0109	0.138	1
hsa-miR-222*	ILMN_3168712	X	0.0110	0.192	1
hsa-miR-450a	ILMN_3168187	X,X	0.0111	0.186	ND
hsa-miR-31*	ILMN_3168847	9	0.0113	0.388	1
hsa-let-7i*	ILMN_3168724	12	0.0113	0.225	0.77

【図17-2】

HS_73.1	ILMN_3167416	0	0.0119	0.482	1
hsa-miR-200a	ILMN_3167801	1	0.0121	0.416	ND
hsa-miR-922	ILMN_3168748	3	0.0123	-0.074	ND
hsa-miR-136*	ILMN_3168667	14	0.0131	0.224	ND
hsa-miR-1231	ILMN_3168765	1	0.0132	0.113	ND
hsa-miR-224	ILMN_3168515	X	0.0144	0.326	0.95
hsa-miR-146b-5p	ILMN_3167894	10	0.0148	0.290	1
hsa-miR-141*	ILMN_3168669	12	0.0148	0.368	ND
hsa-miR-708	ILMN_3168563	11	0.0150	0.348	ND
hsa-miR-296-3p	ILMN_3168049	20	0.0186	0.253	0.64
hsa-miR-125b-2*	ILMN_3168804	21	0.0187	0.319	ND
hsa-miR-608	ILMN_3167500	10	0.0191	-0.464	1
HS_162	ILMN_3167742	0	0.0194	0.313	1
hsa-miR-200c*	ILMN_3168701	12	0.0201	0.232	0.82
hsa-miR-141	ILMN_3168064	12	0.0205	0.183	ND
HS_151.1	ILMN_3157470	0	0.0207	-0.483	1
hsa-miR-451	ILMN_3167614	17	0.0209	-0.027	ND
hsa-miR-424*	ILMN_3168638	X	0.0219	0.286	ND
hsa-miR-519e*	ILMN_3168031	19	0.0236	-0.269	0.73
hsa-miR-26b	ILMN_3167374	2	0.0223	-0.021	ND
hsa-miR-150*	ILMN_3168730	19	0.0224	-0.265	ND
hsa-miR-361-3p	ILMN_3168815	X	0.0228	-0.188	0.95
hsa-miR-495	ILMN_3167052	14	0.0241	0.096	ND
hsa-miR-519e*	ILMN_3168031	19	0.0256	-0.269	0.73
HS_101	ILMN_3167526	0	0.0256	-0.175	ND
hsa-miR-1226	ILMN_3168807	3	0.0266	-0.267	ND
hsa-miR-576-3p	ILMN_3168559	4	0.0272	-0.188	0.77
hsa-miR-146e*	ILMN_3168687	5	0.0272	-0.276	ND
hsa-miR-28-3p	ILMN_3168657	3	0.0273	-0.121	ND
hsa-miR-1178	ILMN_3168877	12	0.0285	0.316	ND
hsa-miR-146b-3p	ILMN_3168941	10	0.0289	0.225	1
HS_130	ILMN_3168254	0	0.0294	-0.183	ND
hsa-miR-203	ILMN_3167375	14	0.0320	0.229	ND
hsa-miR-1250	ILMN_3168585	17	0.0329	-0.168	ND

【図 17-3】

hsa-miR-16	ILMN_3167989	3,13	0.0334	-0.032	ND
HS_196.1	ILMN_3166967	0	0.0344	0.209	0.82
HS_266.1	ILMN_3168251	0	0.0364	0.320	ND
hsa-let-7a*	ILMN_3168708	22,9	0.0370	0.232	ND
HS_48.1	ILMN_3167790	0	0.0371	0.249	1
solexa-7111-119	ILMN_3168909	0	0.0378	0.151	ND
hsa-miR-766	ILMN_3167038	X	0.0386	-0.248	ND
hsa-miR-450b-5p	ILMN_3168884	X	0.0386	0.111	ND
solexa-555-1991	ILMN_3168904	0	0.0387	-0.080	ND
hsa-miR-663	ILMN_3167088	20	0.0400	-0.468	0.91
hsa-miR-99b	ILMN_3168262	19	0.0405	0.209	ND
hsa-miR-382	ILMN_3167239	14	0.0409	0.114	ND
hsa-miR-27b*	ILMN_3168599	9	0.0422	0.140	0.86
hsa-miR-566	ILMN_3167704	3	0.0424	-0.194	ND
hsa-miR-452	ILMN_3167050	X	0.0426	0.175	ND
hsa-miR-125a-3p	ILMN_3168574	19	0.0458	0.180	ND
hsa-miR-206	ILMN_3168019	6	0.0467	0.251	ND
hsa-miR-309-3p	ILMN_3168363	X,X,X	0.0470	0.183	ND
hsa-miR-342-5p	ILMN_3168614	14	0.0477	-0.154	ND
hsa-miR-23b	ILMN_3167997	9	0.0500	0.035	ND
hsa-miR-24-1*	ILMN_3168844	9	0.0504	0.289	ND
hsa-miR-200c	ILMN_3167002	12	0.0524	0.092	ND
hsa-miR-1-293	ILMN_3168857	12	0.0524	0.169	ND
HS_231	ILMN_3167534	0	0.0525	0.251	ND
hsa-miR-372	ILMN_3167184	19	0.0533	-0.087	ND
hsa-miR-335	ILMN_3167996	7	0.0535	0.077	ND
hsa-miR-193a-3p	ILMN_3168366	17	0.0548	0.113	0.86
hsa-miR-200a*	ILMN_3167179	1	0.0551	0.227	ND
hsa-miR-1297	ILMN_3168867	13	0.0551	0.089	ND
HS_284.1	ILMN_3168214	0	0.0558	-0.156	ND
HS_86	ILMN_3167504	0	0.0558	0.106	0.64
hsa-miR-1180	ILMN_3168881	17	0.0567	-0.097	ND
hsa-miR-187	ILMN_3168167	18	0.0575	0.164	ND
hsa-miR-135a	ILMN_3167823	3,12	0.0601	0.146	ND

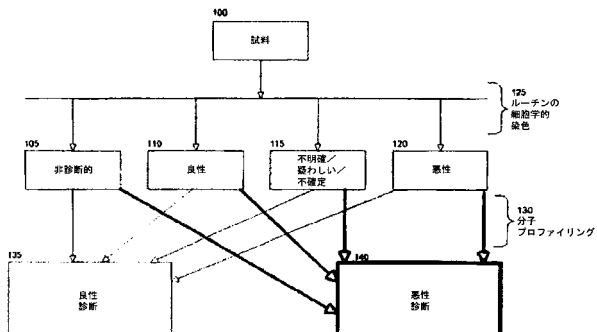
【図 17-4】

hsa-miR-943	ILMN_3168720	4	0.0605	-0.076	ND
hsa-miR-1279	ILMN_3168811	12	0.0615	-0.211	ND
hsa-miR-657	ILMN_3167034	17	0.0615	-0.063	ND
hsa-miR-15a*	ILMN_3168662	13	0.0617	0.218	ND
hsa-miR-449b	ILMN_3168441	5	0.0634	-0.076	ND
HS_208	ILMN_3167907	0	0.0635	0.064	ND
hsa-miR-489	ILMN_3167272	7	0.0641	0.335	ND
hsa-miR-155*	ILMN_3168715	21	0.0671	-0.207	ND
hsa-miR-511	ILMN_3167598	10,10	0.0680	0.208	ND
HS_116	ILMN_3167951	0	0.0682	-0.235	ND
hsa-miR-34a	ILMN_3168429	1	0.0695	0.189	ND
HS_38.1	ILMN_3168353	0	0.0717	-0.114	ND
hsa-miR-708*	ILMN_3168647	11	0.0719	0.110	ND
HS_35	ILMN_3167886	0	0.0732	0.153	ND
hsa-miR-515-5p	ILMN_3166995	19,19	0.0748	-0.254	ND
HS_3	ILMN_3168047	0	0.0755	1.395	ND
HS_166.1	ILMN_3168315	0	0.0793	-0.134	ND
HS_156	ILMN_3168305	0	0.0794	0.250	ND
hsa-miR-376a*-9.1	ILMN_3167419	0	0.0798	0.218	ND
solexa-5169-164	ILMN_3168902	0	0.0822	0.167	ND
HS_8	ILMN_3167836	0	0.0825	0.188	ND
hsa-miR-556-5p	ILMN_3167655	1	0.0836	0.175	ND
hsa-miR-375	ILMN_3167229	2	0.0845	0.174	ND
hsa-miR-520f	ILMN_3167075	19	0.0858	0.208	ND
hsa-miR-1321	ILMN_3168663	X	0.0859	-0.122	ND
hsa-miR-548f	ILMN_3168534	5,X,2,10	0.0869	0.087	ND
hsa-let-7i	ILMN_3168316	12	0.0879	0.017	ND
hsa-miR-151-3p	ILMN_3168705	8	0.0888	0.065	ND
hsa-miR-561	ILMN_3167109	2	0.0890	-0.157	ND
HS_12	ILMN_3168104	0	0.0904	0.192	ND
hsa-miR-212	ILMN_3167761	17	0.0907	0.213	ND
hsa-miR-505	ILMN_3168412	X	0.0913	-0.203	ND
hsa-miR-524-5p	ILMN_3168284	19	0.0918	0.207	ND
hsa-miR-744*	ILMN_3168733	17	0.0930	0.173	ND

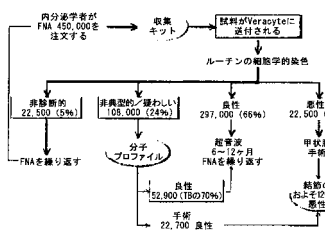
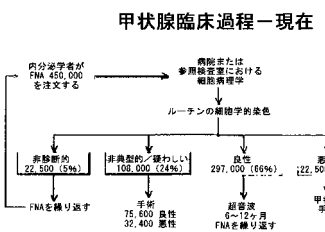
【図 17-5】

hsa-miR-148b*	ILMN_3168567	12	0.0937	0.112	ND
hsa-miR-155	ILMN_3168170	21	0.0942	-0.119	ND
HS_89	ILMN_3168065	0	0.0944	0.138	ND
HS_267	ILMN_3167573	0	0.0948	-0.094	ND
hsa-miR-630	ILMN_3167844	15	0.0959	-0.282	ND
hsa-miR-33a	ILMN_3167691	22	0.0969	0.237	ND
HS_106	ILMN_3167464	0	0.0976	-0.119	ND
HS_37.1	ILMN_3167398	0	0.0992	-0.212	ND
hsa-miR-658	ILMN_3168097	22	0.0999	0.244	ND
hsa-miR-101*	ILMN_3168196	1	0.1001	0.119	ND

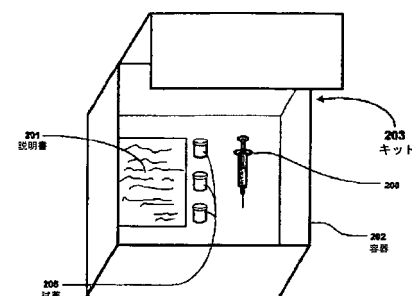
【図 18A】



【図 18B】



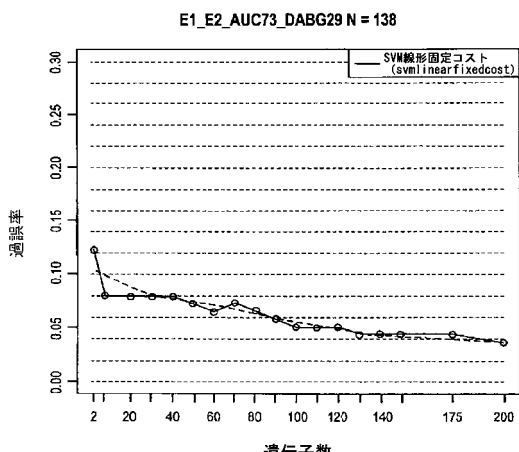
【図 19】



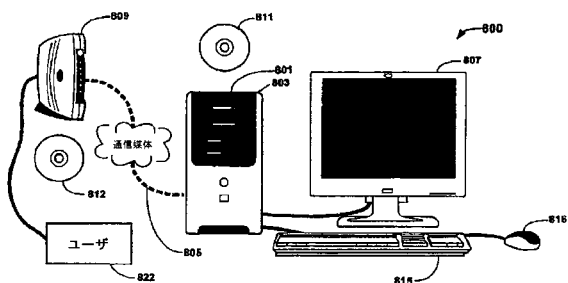
【図 2 0】

分子プロファイリングレポート			
カスタマー: 1234			
組織の型: 甲状腺			
予備的診断: 結節			
試料品質: ±			
結節ID	良性	非良性	非診断的
a	+	-	-
b	+	-	-
c	+	-	-
d	+	-	-

【図 2 2】



【図 2 1】



【手続補正書】

【提出日】平成27年4月3日(2015.4.3)

【手続補正1】

【補正対象書類名】特許請求の範囲

【補正対象項目名】全文

【補正方法】変更

【補正の内容】

【特許請求の範囲】

【請求項1】

少なくとも95%の陰性適中率(NPV)で、対象から得られた細胞学的に不明確または疑わしい試料において、甲状腺の状態を検出する方法であって、該試料は、該試料が不明確または疑わしいことを示す細胞学的試験が行われてあり、前記方法が、

a) 甲状腺組織の試料における1つまたは複数の遺伝子発現産物の発現のレベルをアッセイする工程と、

b) 工程a)からの前記レベルに、訓練されたアルゴリズムを適用して、独立した試料について少なくとも95%の陰性適中率(NPV)で、前記甲状腺組織の試料を良性または正常であるとして分類する工程であって、該訓練されたアルゴリズムが、訓練試料から得られた発現データの訓練セットで訓練されている、工程と、

を含む方法。

【請求項2】

前記方法が、70%より高い特異度を有する、請求項1記載の方法。

【請求項3】

前記方法が、80%より高い特異度を有する、請求項1記載の方法。

【請求項4】

前記方法が、90%より高い特異度を有する、請求項1記載の方法。

【請求項 5】

前記方法が、70%より高い感度を有する、請求項1記載の方法。

【請求項 6】

前記方法が、80%より高い感度を有する、請求項1記載の方法。

【請求項 7】

前記方法が、90%より高い感度を有する、請求項1記載の方法。

【請求項 8】

前記方法が、95%より高い正確度を有する、請求項1記載の方法。

【請求項 9】

前記甲状腺組織の試料が、針吸引、細針吸引、コア針生検、吸引生検、ラージコア (large core) 生検、切開生検、切除生検、パンチ生検、薄片生検、または皮膚生検により得られる、請求項1記載の方法。

【請求項 10】

前記1つまたは複数の遺伝子発現産物がRNAを含む、請求項1記載の方法。

【請求項 11】

前記訓練試料が、細針吸引により得られた訓練試料を含む、請求項1記載の方法。

【請求項 12】

前記訓練セットが、転移性副甲状腺癌、転移性黒色腫、転移性腎癌、転移性乳癌、および転移性B細胞リンパ腫からなる群から選択される病態を有する訓練試料を含む、請求項1記載の方法。

【請求項 13】

前記訓練セットが、正常な甲状腺、濾胞性腺腫、副甲状腺、濾胞癌、リンパ性甲状腺炎、濾胞性甲状腺乳頭癌、甲状腺乳頭癌、結節性過形成、甲状腺髓様癌、ハースル細胞癌、ハースル細胞腺腫、および甲状腺未分化癌からなる群から選択される病態を有する訓練試料を含む、請求項1記載の方法。

【請求項 14】

前記病態が、転移性B細胞リンパ腫である、請求項12記載の方法。

【請求項 15】

前記病態が、濾胞性腺腫、濾胞癌、甲状腺乳頭癌、ハースル細胞癌、および濾胞性甲状腺乳頭癌からなる群から選択される、請求項13記載の方法。

【請求項 16】

前記病態が、濾胞性腺腫、濾胞癌、および甲状腺乳頭癌からなる群から選択される、請求項13記載の方法。

【請求項 17】

前記病態が、ハースル細胞癌である、請求項13記載の方法。

【請求項 18】

前記訓練セットが、300を超える訓練試料を含む、請求項1記載の方法。

【請求項 19】

前記1つまたは複数の遺伝子発現産物が、それぞれ異なるオントロジー群からの2つまたはそれを超える遺伝子発現産物を含む、請求項1記載の方法。

【請求項 20】

前記1つまたは複数の遺伝子発現産物のレベルが、マイクロアレイ、SAGE、プロッティング、RT-PCR、定量的PCR、または配列決定により測定される、請求項1記載の方法。

【請求項 21】

前記分類が、次の遺伝子または対応する転写物クラスタID : CALCA, CEACAM5, SCG3, SCN9A, SYT4, FABP7, FXYD2, HAVCRI, LOC100101266, NR1H4, PREPL, SLC3A1, DMRT2, GCM2, KIDINS220, KL, PTH, SYCP2L, AGR3, C10orf81, MYB, SYCP2, VTCN1, CDH19, MLANA, S100B, SILV, TYR, TYRL, ALDHIBI, CD44, CPE, DEFB1, EGF, FRMD3, HSD17B6, IGF2BP2, IQCA1, ITGB3, LOC100129258, NUPR1, ODZ1, PVALB, PVRL2, RPL3, SLC16A1, ST3GAL5, ZBED2, ABCD2, AIM2, ARSG, AUTS2, C11orf72, C4orf7, CCL19, CCND1, CD36, CD52, CD

96, CFH, CFHR1, CLDN1, CLDN16, CR2, CXCL13, DAB2, DPP4, DPP6, EAF2, EMR3, FABP4, FBXO2, FLJ42258, FN1, FPR2, FXYD6, GOS2, GABRB2, GIMAP2, GPR174, GZMK, HCG11, I L7R, ITGB1, KCNA3, KLRG1, LCP1, LIPH, LOC100131599, LOC647979, LRP1B, MAPK6, MAT N2, MDK, MPPED2, MT1F, MT1G, MT1H, MT1P2, MYEF2, NRCAM, P2RY13, P1GN, PKHD1L1, P LA2G16, PLCB1, PLEK, PROS1, PTPRC, PTPRE, PYGL, PYHIN1, RGS13, RIMS2, ROS1, RXRG, SCEL, SEMA3D, SERGEF, SERPINAI, SERPINA2, SLC24A5, SLC34A2, SLC4A4, SNCA, STK3 2A, TIMP1, TIMP2, TMSB10, TNFRSF17, WIPI1, ZFYVE16, ACSL1, AHNAK, ASPN, BCL2L1, CC2D2B, DDI2, DNAJC13, DYNLT1, FAH, FREM2, GMFG, HNRNPA3, IGHG1, LRP12, MAGI3, NDUF2, OR10D1P, PDE8A, PDHA1, PFKFB2, PHYH, PPP2R2B, PRKG1, PZP, RNF24, RRAGD, SCN2A, SCUBE3, SDHALP2, SHC1, SLC43A3, THRSP, TNFRSF1A, TXNDC12, または VWA5Aのうちの少なくとも 2 つの前記甲状腺組織の試料における発現のレベルに基づく、請求項 1 記載の方法。

【請求項 2 2】

前記工程 b) に基づいて対象が治療される、請求項 1 記載の方法。

【請求項 2 3】

前記訓練試料が、細針吸引および外科的生検により得られた試料を含む、請求項 1 記載の方法。

【請求項 2 4】

前記分類が、ALDH1B1, PKHD1L1, STK32A, SEMA3D, PYGL, CFH, CFHR1, AUTS2 および F XYD6からなる群から選択される少なくとも 1 つの遺伝子または対応する転写物クラスタ ID の前記甲状腺組織の試料における発現のレベルに基づく、請求項 1 記載の方法。

【請求項 2 5】

前記分類が、ALDH1B1, PKHD1L1, STK32A, SEMA3D, PYGL, CFH, CFHR1, AUTS2 および F XYD6からなる群から選択される少なくとも 2 つの遺伝子または対応する転写物クラスタ ID の前記甲状腺組織の試料における発現のレベルに基づく、請求項 2 4 記載の方法。

【手続補正 2】

【補正対象書類名】明細書

【補正対象項目名】0 0 0 8

【補正方法】変更

【補正の内容】

【0 0 0 8】

本発明は、表にリスト化された多型からなる群より選択される一つまたは複数の多型に特異的に結合する一つまたは複数の結合剤を含む組成物も含む。

以下に、本発明の基本的な諸特徴および種々の態様を列挙する。

[1]

以下の工程を含む、対象における甲状腺癌を診断する方法：

- (a) 遺伝子発現産物を含む生物学的試料を該対象から得る工程；
- (b) 該生物学的試料の、図6から選択される遺伝子に対応する一つまたは複数の遺伝子発現産物について、発現レベルを測定する工程；および
- (c) 遺伝子発現レベルを該生物学的試料における甲状腺癌の存在と相關させることにより、該生物学的試料を癌性として同定する工程。

[2]

前記生物学的試料が甲状腺細胞を含む、[1] 記載の方法。

[3]

前記生物学的試料が組織試料である、[1] 記載の方法。

[4]

前記試料が、針吸引、細針吸引、コア針生検、吸引生検、ラージコア (large core) 生検、切開生検、切除生検、パンチ生検、薄片生検、または皮膚生検により得られる、[1] 記載の方法。

[5]

前記遺伝子発現産物がRNAである、[1]記載の方法。

[6]

前記遺伝子発現産物が、mRNA、rRNA、tRNA、またはmiRNAである、[5]記載の方法。

[7]

RNA発現レベルが、マイクロアレイ、SAGE、プロッティング、RT-PCR、または定量的PCRにより測定される、[5]記載の方法。

[8]

前記遺伝子発現産物がタンパク質である、[1]記載の方法。

[9]

タンパク質遺伝子発現レベルが、ELISA、質量分析、プロッティング、プロテオミクス技術、または免疫組織化学的検査により測定される、[8]記載の方法。

[10]

前記一つまたは複数の遺伝子発現産物の前記発現レベルを、対照試料における各遺伝子発現産物についての対照発現レベルと比較する工程であって、前記生物学的試料と該対照試料との間に遺伝子発現産物の遺伝子発現レベルの差が存在する場合、該生物学的試料が癌性として同定される工程をさらに含む、[1]記載の方法。

[11]

前記生物学的試料と前記対照試料との間のmRNAレベルの差が、訓練されたアルゴリズムを使用して比較される、[10]記載の方法。

[12]

前記一つまたは複数の遺伝子発現産物が、表3、表4または表5から選択される遺伝子に対応する、[1]記載の方法。

[13]

前記一つまたは複数の遺伝子発現産物が、リスト1～31または表6のうちの一つまたは複数から選択される遺伝子に対応する、[1]記載の方法。

[14]

前記遺伝子発現産物が、急性骨髄性白血病シグナル伝達経路、2型ソマトスタチン受容体シグナル伝達経路、cAMP媒介シグナル伝達経路、細胞周期およびDNA傷害チェックポイント(cell cycle and DNA damage checkpoint)シグナル伝達経路、Gタンパク質共役型受容体シグナル伝達経路、インテグリンシグナル伝達経路、黒色腫細胞シグナル伝達経路、リラキシンシグナル伝達経路、または甲状腺癌シグナル伝達経路由来である、[1]記載の方法。

[15]

前記一つまたは複数の遺伝子発現産物が、接着経路、ECM経路、甲状腺癌経路、接着斑経路、アポトーシス経路、p53経路、密着結合経路、TGF 経路、ErbB経路、Wnt経路、癌概要経路(pathway in cancer overview)、細胞周期経路、VEGF経路、Jak/STAT経路、MAPK経路、PPAR経路、mTOR経路、または自己免疫性甲状腺経路由来である、[1]記載の方法。

[16]

前記遺伝子発現産物が接着経路由来である、[15]記載の方法。

[17]

少なくとも2つの遺伝子発現産物が測定され、かつ該遺伝子発現産物が少なくとも2つの異なる経路由来である、[15]記載の方法。

[18]

少なくとも一つの遺伝子発現産物が接着経路由来であり、かつ少なくとも一つの遺伝子発現産物が接着斑経路由来である、[17]記載の方法。

[19]

前記密着結合経路からの第二の遺伝子発現産物をさらに含む、[18]記載の方法。

[20]

前記遺伝子発現産物が複数の経路にカテゴリー化される、[15]記載の方法。

[21]

前記遺伝子発現産物が前記接着経路および前記接着斑経路にカテゴリー化される、[20]記載の方法。

[22]

前記遺伝子発現産物が前記密着結合経路にもカテゴリー化される、[21]記載の方法。

[23]

前記遺伝子発現産物が、細胞老化オントロジー群、細胞皮質オントロジー群、細胞周期オントロジー群、細胞死／アポトーシスオントロジー群、細胞分化オントロジー群、細胞分裂オントロジー群、細胞間結合オントロジー群、細胞遊走オントロジー群、細胞形態形成オントロジー群、細胞運動オントロジー群、細胞突起オントロジー群、細胞増殖オントロジー群、細胞認識オントロジー群、細胞体オントロジー群、細胞表面オントロジー群、細胞表面結合型受容体シグナル伝達オントロジー群、細胞接着オントロジー群、転写オントロジー群、免疫応答オントロジー群、血管形成オントロジー群、細胞膜オントロジー群、稀少膜成分オントロジー群、細胞頂端膜オントロジー群、細胞側底膜または細胞側膜オントロジー群、インテグリンオントロジー群、細胞表面オントロジー群、細胞外空間オントロジー群、細胞骨格オントロジー群、または炎症オントロジー群由来である、[1]記載の方法。

[24]

図6にリスト化された一つまたは複数の遺伝子が、癌を示す代謝経路またはシグナル伝達経路のセットに対応する代表的な配列を含有している、[1]記載の方法。

[25]

工程(d)の結果が、示唆された治療的介入を提供することをさらに含む、[1]記載の方法。

[26]

発現分析の結果が、所定の診断が正確である90%を超える統計的信頼水準を提供する、[1]記載の方法。

[27]

発現分析の結果が、所定の診断が正確である95%を超える統計的信頼水準を提供する、[1]記載の方法。

[28]

予備的診断を得るため、工程(a)の後、前記生物学的試料の一部に対して細胞学的分析を実施する工程

をさらに含む、[1]記載の方法。

[29]

不確定試料および非診断的試料という予備的診断を有する試料が、工程(b)および(c)の方法によりさらに分析される、[28]記載の方法。

[30]

図6から選択される遺伝子が、図2、図3、図4、または図5にリスト化された遺伝子からさらに選択される、[1]記載の方法。

[31]

前記生物学的試料の遺伝子発現産物のうちの少なくとも2つの発現レベルを測定する工程

を含む、[1]記載の方法。

[32]

前記生物学的試料の遺伝子発現産物のうちの少なくとも5つの発現レベルを測定する工程

を含む、[1]記載の方法。

[33]

前記生物学的試料の遺伝子発現産物のうちの少なくとも10個の発現レベルを測定する工

程

を含む、[1]記載の方法。

[34]

遺伝子発現レベルの差が少なくとも10%である、[1]記載の方法。

[35]

遺伝子発現レベルの差が少なくとも25%である、[1]記載の方法。

[36]

遺伝子発現レベルの差が少なくとも50%である、[1]記載の方法。

[37]

遺伝子発現レベルの差が少なくとも2倍である、[1]記載の方法。

[38]

遺伝子発現レベルの差が少なくとも5倍である、[1]記載の方法。

[39]

遺伝子発現レベルの差が少なくとも10倍である、[1]記載の方法。

[40]

前記生物学的試料が、75%より高い精度で癌性として同定される、[1]記載の方法。

[41]

前記生物学的試料が、70%より高い感度で癌性として同定される、[1]記載の方法。

[42]

前記生物学的試料が、70%より高い特異度で癌性として同定される、[1]記載の方法

。

[43]

前記生物学的試料が、70%より高い感度および70%より高い特異度で癌性として同定される、[1]記載の方法。

[44]

前記生物学的試料が、95%より高い陽性適中率で癌性として同定される、[1]記載の方法。

[45]

前記生物学的試料が、95%より高い陰性適中率で癌性として同定される、[1]記載の方法。

[46]

精度が、訓練されたアルゴリズムを使用して計算される、[40]～[45]のいずれか一項記載の方法。

[47]

前記対照試料が、試験試料と同一の個体、該試験試料とは異なる個体、組織バンク、または細胞バンクから得られる、[1]記載の方法。

[48]

前記対照試料の遺伝子発現産物の遺伝子レベルがデータベース由来である、[1]記載の方法。

[49]

前記試料が術前検体である、[1]記載の方法。

[50]

前記試料が術後検体である、[1]記載の方法。

[51]

悪性甲状腺癌を良性甲状腺疾患と区別する、[1]記載の方法。

[52]

前記生物学的試料において、濾胞性腺腫、濾胞癌、リンパ性甲状腺炎、濾胞型甲状腺乳頭癌 (follicular variant papillary thyroid carcinoma)、甲状腺乳頭癌、結節性過形成、甲状腺髓様癌、ハースル細胞癌、ハースル細胞腺腫、または甲状腺未分化癌を同定する、[1]記載の方法。

[5 3]

前記生物学的試料において、転移性非甲状腺癌を同定する、[1] 記載の方法。

[5 4]

前記生物学的試料において、転移性副甲状腺癌、転移性黒色腫、転移性腎癌、転移性乳癌、または転移性B細胞リンパ腫を同定する、[1] 記載の方法。

[5 5]

同定された情報を有する結果のセットを伝達する工程
をさらに含む、[1] 記載の方法。

[5 6]

前記情報がインターネットを通して伝達される、[55] 記載の方法。

[5 7]

以下の工程を含む、癌を分類する方法：

- (a) 遺伝子発現産物を含む生物学的試料を得る工程；
- (b) 該生物学的試料の、図6から選択される遺伝子に対応する一つまたは複数の遺伝子発現産物について、発現レベルを測定する工程；
- (c) 該一つまたは複数の遺伝子発現産物の該発現レベルを、対照試料における各遺伝子発現産物についての対照発現レベルと比較する工程；および
- (d) 指定された信頼水準で、該生物学的試料と該対照試料との間に遺伝子発現レベルの差が存在する場合に、該生物学的試料を癌の亜型について陽性として同定する工程。

[5 8]

前記生物学的試料において、濾胞性腺腫、濾胞癌、リンパ性甲状腺炎、濾胞型甲状腺乳頭癌、甲状腺乳頭癌、結節性過形成、甲状腺髓様癌、ハースル細胞癌、ハースル細胞腺腫、または甲状腺未分化癌を同定する、[57] 記載の方法。

[5 9]

前記生物学的試料において、転移性非甲状腺癌を同定する、[57] 記載の方法。

[6 0]

前記生物学的試料において、転移性副甲状腺癌、転移性黒色腫、転移性腎癌、転移性乳癌、または転移性B細胞リンパ腫を同定する、[57] 記載の方法。

[6 1]

図6にリスト化された一つもしくは複数の遺伝子発現産物の一部に、またはそれらの相補体に結合するプローブを含む、癌を診断するための組成物。

[6 2]

前記プローブが抗体である、[61] 記載の組成物。

[6 3]

前記プローブがオリゴヌクレオチドである、[61] 記載の組成物。

[6 4]

前記プローブが共有結合的に付着している、基板
をさらに含む、[61] 記載の組成物。

[6 5]

訓練されたアルゴリズムを使用した指定された信頼水準での癌の診断において使用する
のに適している、[64] 記載の組成物。

[6 6]

前記癌が甲状腺癌である、[65] 記載の組成物。

[6 7]

前記プローブが、表3、表4、または表5から選択される遺伝子に対応する一つまたは複数の遺伝子発現産物に結合する、[61] 記載の組成物。

[6 8]

前記プローブが、リスト1～31または表6のうちの一つまたは複数から選択される遺伝子
に対応する一つまたは複数の遺伝子発現産物に結合する、[61] 記載の組成物。

[6 9]

前記プローブが、急性骨髓性白血病経路、2型ソマトスタチン受容体経路、cAMP媒介経路、細胞周期およびDNA傷害チェックポイント経路、Gタンパク質共役型受容体経路、インテグリン経路、黒色腫細胞経路、リラキシン経路、または甲状腺癌シグナル伝達経路からの遺伝子のうちの一つまたは複数の一部に結合する、[61]記載の組成物。

[7 0]

前記プローブが、接着経路、ECM経路、甲状腺癌経路、接着斑経路、アポトーシス経路、p53経路、密着結合経路、TGF 経路、ErbB経路、Wnt経路、癌概要経路、細胞周期経路、VEGF経路、Jak/STAT経路、MAPK経路、PPAR経路、mTOR経路、または自己免疫性甲状腺経路からの遺伝子のうちの一つまたは複数の一部に結合する、[61]記載の組成物。

[7 1]

少なくとも2つの異なる経路からの遺伝子発現産物に結合する少なくとも2個のプローブが存在する、[61]記載の組成物。

[7 2]

少なくとも遺伝子発現産物が接着経路由来であり、かつ少なくとも一つの遺伝子発現産物が接着斑経路由来である、[71]記載の組成物。

[7 3]

密着結合経路からの遺伝子発現産物をさらに含む、[72]記載の組成物。

[7 4]

前記遺伝子発現産物が複数の経路にカテゴリー化される、[61]記載の組成物。

[7 5]

前記遺伝子発現産物が接着経路および接着斑経路にカテゴリー化される、[74]記載の組成物。

[7 6]

前記遺伝子発現産物が密着結合経路にもカテゴリー化される、[75]記載の組成物。

[7 7]

前記遺伝子発現産物が、細胞老化オントロジー群、細胞皮質オントロジー群、細胞周期オントロジー群、細胞死／アポトーシスオントロジー群、細胞分化オントロジー群、細胞分裂オントロジー群、細胞間結合オントロジー群、細胞遊走オントロジー群、細胞形態形成オントロジー群、細胞運動オントロジー群、細胞突起オントロジー群、細胞増殖オントロジー群、細胞認識オントロジー群、細胞体オントロジー群、細胞表面オントロジー群、細胞表面結合型受容体シグナル伝達オントロジー群、細胞接着オントロジー群、転写オントロジー群、免疫応答オントロジー群、血管形成オントロジー群、細胞膜オントロジー群、稀少膜成分オントロジー群、細胞頂端膜オントロジー群、細胞側底膜または細胞側膜オントロジー群、インテグリンオントロジー群、細胞表面オントロジー群、細胞外空間オントロジー群、細胞骨格オントロジー群、または炎症オントロジー群からの遺伝子のうちの一つまたは複数の一部を含む、[61]記載の組成物。

[7 8]

以下の工程を含む、分子プロファイリングビジネスを実行する方法：

(a) [1]記載の遺伝子発現産物のレベルを測定することにより、癌の診断またはモニタリングのサービスを提供する工程；または

(b) 一つまたは複数の[1]記載の遺伝子発現産物の量を測定するために、[61]記載の組成物を使用する工程；

(c) (a)または(b)の得られたデータに基づき、診断、予後、および必要とされる治療について助言する工程；および

(d) (a)、(b)、または(c)のサービスを、医師、病院、および診療所に、協同的にまたは独立して販売する工程。

フロントページの続き

(51) Int.Cl.	F I	テーマコード(参考)
G 01N 33/50	(2006.01)	C 12M 1/00 A
G 01N 33/53	(2006.01)	C 12M 1/34 F
G 01N 33/574	(2006.01)	G 01N 33/50 P
		G 01N 33/53 M
		G 01N 33/53 Y
		G 01N 33/574 A

(74)代理人 100148699
弁理士 佐藤 利光
(74)代理人 100128048
弁理士 新見 浩一
(74)代理人 100129506
弁理士 小林 智彦
(74)代理人 100114340
弁理士 大関 雅人
(74)代理人 100114889
弁理士 五十嵐 義弘
(74)代理人 100121072
弁理士 川本 和弥
(72)発明者 ケネディ ジュリア シー。
アメリカ合衆国 カリフォルニア州 サンフランシスコ カステナダ アベニュー 360
(72)発明者 アンダーソン ボニー
アメリカ合衆国 カリフォルニア州 サンフランシスコ カリフォルニア ストリート 2110
(72)発明者 チュドバ ダリア アイ。
アメリカ合衆国 カリフォルニア州 サンノゼ ル フェーブル ドライブ 5603
(72)発明者 ワン エリック ティー。
アメリカ合衆国 カリフォルニア州 ミルピタス メンテ リンズ ループ 713
(72)発明者 ワン ホイ
アメリカ合衆国 カリフォルニア州 サンブルノ グッドウィン ドライブ 220
(72)発明者 ペイガン モライマ
アメリカ合衆国 カリフォルニア州 サンフランシスコ スコット ストリート 625 アパート
メント 104
(72)発明者 ラビー ヌストラト
アメリカ合衆国 カリフォルニア州 サウス サンフランシスコ ショアライン コート 700
0 スイート 250
(72)発明者 ワイルド ジョナサン アイ。
アメリカ合衆国 カリフォルニア州 バーリングーム クロベリー レーン 1112

F ターム(参考) 2G045 AA26 CB01 DA14
4B024 AA12 BA80 CA09 HA14
4B029 AA07 AA23 BB17 BB20 CC01 CC03 CC08 FA03 FA12
4B063 QA13 QA18 QA19 QQ02 QQ08 QQ42 QQ52 QQ53 QR32 QR35
QR36 QR55 QR77 QS03 QS12 QS34 QS36 QX02

专利名称(译)	用于疾病的分子谱分析方法和组合物		
公开(公告)号	JP2015144606A	公开(公告)日	2015-08-13
申请号	JP2015044674	申请日	2015-03-06
[标]申请(专利权)人(译)	威拉赛特公司		
申请(专利权)人(译)	贝拉公司网站		
[标]发明人	ケネディ ジュリアシー アンダーソン ボニー チュドバダリア アイ ワンエリック ティー ¹ ワンホイ ペイガン モライマ ラビーヌスラト ワイルドジョナサン アイ		
发明人	ケネディ ジュリアシー. アンダーソン ボニー. チュドバダリア アイ. ワンエリック ティー. ワンホイ ペイガン モライマ ラビーヌスラト ワイルドジョナサン アイ.		
IPC分类号	C12N15/09 C12Q1/04 C12Q1/68 C12M1/34 C12M1/00 G01N33/50 G01N33/53 G01N33/574		
CPC分类号	C12Q1/6886 C12Q2600/112 C12Q2600/158 C12Q2600/178 G01N33/574 G01N33/57407 A61B10/0096 A61B10/0283 G06Q99/00 G16B25/00 A61B50/30		
FI分类号	C12N15/00.A C12N15/00.F C12Q1/04 C12Q1/68.A C12M1/34.Z C12M1/00.A C12M1/34.F G01N33/50.P G01N33/53.M G01N33/53.Y G01N33/574.A C12N15/09.200 C12Q1/6886.C C12Q1/6886.Z		
F-TERM分类号	2G045/AA26 2G045/CB01 2G045/DA14 4B024/AA12 4B024/BA80 4B024/CA09 4B024/HA14 4B029/AA07 4B029/AA23 4B029/BB17 4B029/BB20 4B029/CC01 4B029/CC03 4B029/CC08 4B029/FA03 4B029/FA12 4B063/QA13 4B063/QA18 4B063/QA19 4B063/QQ02 4B063/QQ08 4B063/QQ42 4B063/QQ52 4B063/QQ53 4B063/QR32 4B063/QR35 4B063/QR36 4B063/QR55 4B063/QR77 4B063/QS03 4B063/QS12 4B063/QS34 4B063/QS36 4B063/QX02		
代理人(译)	清水初衷 井上隆一 佐藤俊光 小林智彦 正人大关 五十嵐弘		
优先权	61/199585 2008-11-17 US 61/270812 2009-07-13 US		
外部链接	Espacenet		

摘要(译)

要解决的问题：提供一种诊断甲状腺癌的方法，该方法可以早期准确地进行诊断。诊断甲状腺癌的方法，包括以下步骤。（a）针对对应于从特定列表中选择的基因的一种或多种基因表达产物，获得包含来自受试者（b）生物样品100的基因表达产物的生物样品

100, 测量表达水平并 (c) 通过使基因表达水平与生物学样品中甲状腺癌的存在相关联来鉴定生物学样品为癌性的。[选择图]图18A

(21) 出願番号	特願2015-44674 (P2015-44674)	(71) 出願人	51111849 ペラサイト インコーポレイテッド
(22) 出願日	平成27年3月6日 (2015.3.6)		アメリカ合衆国 カリフォルニア州 サウス サンフランシスコ ショアライン コ
(62) 分割の表示	特願2011-536339 (P2011-536339) の分割		
	原出願日 平成21年11月17日 (2009.11.17)		-ト 7000 スイート 250
(31) 優先権主張番号	61/199,585	(74) 代理人	100102978
(32) 優先日	平成20年11月17日 (2008.11.17)		弁理士 清水 初志
(33) 優先権主張国	米国 (US)	(74) 代理人	100102118
(31) 優先権主張番号	61/270,812		弁理士 春名 雄夫
(32) 優先日	平成21年7月13日 (2009.7.13)	(74) 代理人	100160923
(33) 優先権主張国	米国 (US)		弁理士 山口 裕幸
		(74) 代理人	100119507
			弁理士 刑部 俊
		(74) 代理人	100142929
			弁理士 井上 隆一

最終頁に続く